

*Федеральное агентство связи*  
ФЕДЕРАЛЬНОЕ ГОСУДАРСТВЕННОЕ БЮДЖЕТНОЕ ОБРАЗОВАТЕЛЬНОЕ  
УЧРЕЖДЕНИЕ ВЫСШЕГО ОБРАЗОВАНИЯ  
ПОВОЛЖСКИЙ ГОСУДАРСТВЕННЫЙ УНИВЕРСИТЕТ  
ТЕЛЕКОММУНИКАЦИЙ И ИНФОРМАТИКИ

*Российская академия наук*  
ФЕДЕРАЛЬНОЕ ГОСУДАРСТВЕННОЕ БЮДЖЕТНОЕ УЧРЕЖДЕНИЕ НАУКИ  
ИНСТИТУТ МАТЕМАТИКИ ИМ. С.Л. СОБОЛЕВА СО РАН

И.А. Блатов, Н.В. Добробог, А.И. Задорин

# МЕТОДЫ СПЛАЙН-ФУНКЦИЙ ДЛЯ ЗАДАЧ С ПОГРАНИЧНЫМ СЛОЕМ

Самара  
ПГУТИ  
2019

УДК 519.6

Методы сплайн-функций для задач с пограничным слоем. / И.А. Блатов, Н.В. Добробог, А.И. Задорин — Самара: ПГУТИ, 2019 — 258 с.

ISBN 978-5-90429-92-0

В монографии излагаются разделы теории сплайнов, необходимые для численного решения задач с пограничным слоем, адаптационные алгоритмы численного решения сингулярно возмущенных краевых задач, в которые расчетная сетка подстраивается под пограничный слой, приводится обоснование сходимости адаптационных процессов.

Издание предназначено для студентов, магистров и аспирантов, изучающих сплайны и их приложения, а также для инженеров, научных работников и специалистов, занимающихся разработкой программного обеспечения численного решения краевых задач.

Библиогр. 74 назв.

©Поволжский государственный университет  
телекоммуникации и информатики

©Институт математики им. С.Л. Соболева СО РАН

ISBN 978-5-90429-92-0

# Оглавление

<b>ВВЕДЕНИЕ</b>	<b>8</b>
<b>1 ЭЛЕМЕНТЫ ТЕОРИИ СПЛАЙНОВ</b>	<b>15</b>
1.1 Определение сплайнов . . . . .	15
1.1.1 Разделенные разности . . . . .	15
1.1.2 В-сплайны . . . . .	21
1.1.3 Основные свойства В-сплайнов . . . . .	21
1.2 Эквивалентные нормы в пространствах сплайнов . . . . .	36
1.3 О биортогональных базисах в пространствах $S(\Delta_n, m - 1, 1)$ и $[S(\Delta_n, m - 1, 1)]^*$ . . . . .	38
1.4 Теоремы Карла де Бора о сплайновых аппроксимациях . . . . .	43
<b>2 ИНТЕРПОЛЯЦИОННЫЕ ФОРМУЛЫ ДЛЯ ФУНКЦИЙ С БОЛЬШИМИ ГРАДИЕНТАМИ</b>	<b>48</b>
2.1 Интерполяционные формулы, точные на погранслойной составляющей . . . . .	48
2.1.1 Необходимость построения специальных формул . . . . .	48
2.1.2 Интерполяционная формула, точная на погранслойной составляющей . . . . .	50
2.1.3 Интерполяционная формула подгонки с двумя узлами . . . . .	52
2.2 Классические формулы интерполяции и численного дифференцирования на сетке Шишкина . . . . .	54
<b>3 ИНТЕРПОЛЯЦИЯ ПОЛИНОМИАЛЬНЫМИ СПЛАЙНАМИ ФУНКЦИЙ С ПОГРАНИЧНЫМ СЛОЕМ</b>	<b>59</b>

3.1	Интерполяция параболическими сплайнами функций с большими градиентами в пограничном слое . . . . .	59
3.1.1	Постановка задачи . . . . .	59
3.1.2	Формулировка основных результатов . . . . .	61
3.1.3	Вспомогательные результаты . . . . .	62
3.1.4	Доказательство теорем . . . . .	71
3.1.5	Результаты численных экспериментов . . . . .	74
3.2	Интерполяция кубическими сплайнами функций с большими градиентами в пограничном слое . . . . .	76
3.2.1	Постановка задачи . . . . .	76
3.2.2	Формулировка основных результатов . . . . .	78
3.2.3	Вспомогательные результаты . . . . .	80
3.2.4	Доказательство теорем . . . . .	93
3.2.5	Результаты численных экспериментов . . . . .	98
<b>4</b>	<b>ИНТЕРПОЛЯЦИЯ L-СПЛАЙНАМИ ФУНКЦИЙ С ПОГРАНИЧНЫМ СЛОЕМ</b>	<b>102</b>
4.1	Постановка задачи и формулировка результатов . . . . .	102
4.2	Вспомогательные результаты . . . . .	105
4.2.1	Обобщенные $B$ -сплайны и их свойства . . . . .	105
4.2.2	Свойства матриц систем линейных алгебраических уравнений . . . . .	108
4.2.3	Аппроксимационные свойства пространства $SL(\Omega, 3, 1)$ . . . . .	113
4.3	Доказательство теорем . . . . .	115
4.3.1	Доказательство теоремы 1 . . . . .	115
4.3.2	Доказательство теоремы 3 . . . . .	117
4.3.3	Доказательство теорем 4, 5 и следствия 1 . . . . .	119
4.4	Результаты численных экспериментов . . . . .	120
<b>5</b>	<b>МЕТОДЫ КОЛЛОКАЦИОННОГО ТИПА ВЫСОКИХ ПОРЯДКОВ ДЛЯ СИНГУЛЯРНО ВОЗМУЩЕННЫХ КРАЕВЫХ ЗАДАЧАХ</b>	<b>123</b>
5.1	Постановка задачи и основная теорема . . . . .	123
5.2	Алгоритм численного решения коллокационной задачи . . . . .	125
5.3	Асимптотические свойства коллокационной задачи и технические предложения . . . . .	126

5.3.1	Обращение операторов $L$ и $\mathcal{L}$ . . . . .	126
5.3.2	Асимптотические разложения решения задачи (5.1.1) и его производных . . . . .	129
5.3.3	Некоторые свойства разбиения $\Delta$ и асимптотических рядов . . .	130
5.4	О сплайн аппроксимации асимптотических рядов в норме и точках коллокации . . . . .	132
5.4.1	Аппроксимация функций $\bar{u}_n$ . . . . .	132
5.4.2	Аппроксимация функции $\Pi_n\left(\frac{t-1}{\varepsilon}\right)$ . . . . .	134
5.5	О коррекции сплайн-аппроксимаций . . . . .	135
5.5.1	Построение скорректированного сплайна . . . . .	136
5.5.2	Свойства функции $U(t)$ . . . . .	139
5.6	О базисах в пространствах $F$ . . . . .	140
5.6.1	О роли базисов пространства $F$ в доказательстве теоремы 1 . .	140
5.6.2	Конструкция вспомогательных базисов в случае $q(t) \equiv 0$ . . . .	142
5.6.3	Изучение вспомогательного базиса . . . . .	144
5.7	Структура коллокационной матрицы . . . . .	151
5.8	Завершение доказательства теоремы 1 в случае ”укороченного” оператора	154
5.9	Доказательство теоремы 1 в общем случае . . . . .	156
5.9.1	Схема доказательства теоремы 1 . . . . .	157
5.9.2	Свойства проекторов $\mathcal{P}(\varepsilon, m)$ . . . . .	159
5.9.3	Завершение доказательства теоремы 1 . . . . .	163

**6 МЕТОДЫ КОНЕЧНЫХ ЭЛЕМЕНТОВ ГАЛЁРКИНА  
ДЛЯ ЛИНЕЙНЫХ И НЕЛИНЕЙНЫХ СИНГУЛЯРНО  
ВОЗМУЩЕННЫХ КРАЕВЫХ ЗАДАЧ 167**

6.1	Постановки задач и основные результаты . . . . .	168
6.1.1	Исходные задачи . . . . .	168
6.1.2	Постановки галеркинских задач и основные теоремы . . . . .	169
6.2	Рекомендации к численному решению галеркинских задач и сравнение с методом шарнирных элементов . . .	171
6.3	Некоторые свойства решений линейных задач и их функций Грина . .	172
6.4	О галеркинских проекторах . . . . .	176
6.4.1	Определение и простейшие свойства галеркинских проекторов .	176
6.4.2	Дальнейшие свойства галеркинских проекторов . . . . .	179

6.5	Доказательство теоремы 1 . . . . .	181
6.6	Доказательство теоремы 2 . . . . .	194
<b>7</b>	<b>СХОДИМОСТЬ МЕТОДОВ АДАПТАЦИИ СЕТОК В ПРОЕКЦИОННЫХ МЕТОДАХ ДЛЯ СИНГУЛЯРНО ВОЗМУЩЕННЫХ КРАЕВЫХ ЗАДАЧ</b>	<b>197</b>
7.1	Алгоритм адаптации сеток Г.И. Шишкина для сингулярно- возмущенной краевой задачи с симметричным оператором . . . . .	198
7.1.1	Постановка задачи . . . . .	198
7.1.2	Формулировки основных результатов . . . . .	199
7.1.3	Галёркинский проектор . . . . .	200
7.1.4	Построение биортогональных функционалов . . . . .	202
7.1.5	Доказательства и вспомогательные результаты . . . . .	210
7.1.6	Численный эксперимент . . . . .	219
7.2	Алгоритм адаптации сеток Г.И. Шишкина для сингулярно возмущен- ной краевой задачи с несимметричным оператором . . . . .	221
7.2.1	Постановка задачи и основные результаты . . . . .	221
7.2.2	Доказательство квазиоптимальности . . . . .	230
7.2.3	Численный эксперимент . . . . .	235
7.3	Алгоритм адаптации сеток Н.С. Бахвалова для несамосопряженных сингулярно-возмущенных краевых задач . . . . .	237
7.3.1	Постановки задач и предварительные сведения . . . . .	237
7.3.2	Адаптация сетки и основной результат . . . . .	240
7.3.3	Метод галеркинских проекций и доказательство основного результата . . . . .	241
7.3.4	Численный эксперимент . . . . .	247
	<b>Список литературы</b>	<b>251</b>

## Некоторые обозначения и сокращения, используемые в работе:

$\mathbb{N}$  – множество натуральных чисел

$\mathbb{R}$  – множество вещественных чисел

*supp* – носитель финитной функции

$\varepsilon$  – малый положительный параметр

$C, C_1, C_2, \dots$  – положительные постоянные, не зависящие от  $\varepsilon$  и расчетной сетки

СЛАУ – система линейных алгебраических уравнений

л.н.п. – линейное нормированное пространство

м.к.э. – метод конечных элементов

м.ш.э. – метод шарнирных элементов

ПСМ – проекционно-сеточные методы

$S(\Delta, k, m)$  – пространство сплайнов степени  $k$  дефекта  $m$ , определенных на разбиении  $\Delta$  расчетной области

$[z]$  – целая часть вещественного числа  $z$

$dim(\cdot)$  – размерность

$mes(\cdot)$  – мера множества

$sign(\cdot)$  – знак

$(\dots)^T$  – операция транспонирования

$f(x) = O(g(x))$  – означает выполнение условия  $|f(x)| \leq C|g(x)|$

$f(x) = O^*(g(x))$  – означает выполнение условия  $C_1|f(x)| \leq |g(x)| \leq C_2|f(x)|$

$\langle u, \phi \rangle$  – обозначает действие линейного функционала  $\phi$  на л.н.п.  $X$ :  $\phi(u) = \langle u, \phi \rangle$

$(\cdot, \cdot)$  – скалярное произведение в  $L_2[a, b]$

$C[a, b]$  – пространство непрерывных на  $[a, b]$  функций с нормой  $\|\cdot\|_{C[a, b]}$

$C^k[a, b]$  – пространство  $k$  раз непрерывно дифференцируемых на  $[a, b]$  функций

$L_2[a, b]$  – пространства квадратично суммируемых на  $[a, b]$  функций

$\delta_{ij}$  – символ Кронекера

$I$  – единичная матрица

$\|A\|_2$  – спектральная норма квадратной матрицы  $A$ ,  $\|A\|_2 = \sqrt{\lambda_{max}(AA^T)}$

$\|A\|_\infty$  – норма матрицы, согласованная с  $\|\cdot\|_\infty$  - нормой вектора  $\|A\|_\infty = \max_i \sum_{j=1}^k |a_{ij}|$

$\|A\|_1$  – норма матрицы, согласованная с  $l_1$ -нормой вектора  $\|A\|_1 = \max_j \sum_{i=1}^k |a_{ij}|$

$\|\cdot\|$  – норма в  $C[a, b]$

# ВВЕДЕНИЕ

Основу данной монографии составили результаты совместных исследований И.А. Блатова<sup>1</sup> с А.И. Задориным<sup>2</sup> в рамках выполнения грантов РФФИ (15-01-06584, 16-01-00727) и с Н.В. Добробог<sup>3</sup>. В некоторой степени книга является продолжением монографии И.А. Блатова, В.В. Стрыгина 1997 года [30]. Книга адресована прежде всего научным работникам, инженерам и специалистам, которые занимаются разработкой программного обеспечения для жестких краевых задач. Она может также служить первоначальным учебным пособием для студентов и аспирантов, изучающих сплайны и их приложения.

Как известно, сплайны обладают большой гибкостью, это позволяет с их помощью приближать даже функции, имеющие большие скачки производных. Поэтому в книге рассматриваются численные методы, в основе которых лежат сплайны.

Затронутые в книге проблемы охватывают широкий круг вопросов — от фундаментальных, связанных с существованием приближений, получением оценок сходимости, разработкой и обоснованием адаптационных алгоритмов решения задач с особенностями, до практических проблем определения границы пограничного слоя, выбора точек коллокаций и др. Предметом рассмотрения в книге являются классические краевые задачи для обыкновенных дифференциальных уравнений.

Книга состоит из семи глав.

В главе 1 даны основные определения и изучены свойства В-сплайнов. Выведены формулы дифференцирования и рекуррентные формулы понижения порядка сплайнов. В завершении главы тщательно излагаются прекрасные результаты Карла де Бора об аппроксимации функций сплайнами.

В главе 2 рассмотрены вопросы построения интерполяционных формул для

---

<sup>1</sup>Блатов Игорь Анатольевич, заведующий кафедрой Высшей математики, д.ф.-м.н., профессор ФГБОУ ВО ПГУТИ. Р.т. (846) 228-00-71, 443090, Самара, Московское шоссе, 77. E-mail: blatow@mail.ru

<sup>2</sup>Задорин Александр Иванович, ведущий научный сотрудник, зав. лабораторией МММ, д.ф.-м.н., профессор Института математики им. С.Л. Соболева Сибирского отделения Российской академии наук, Омский филиал. Р.т. (3812) 23-67-39, 644099, Омск, ул. Певцова, 13, Омский филиал ФГБУН ИМ СО РАН. E-mail: zadorin@ofim.oscsbras.ru

<sup>3</sup>Добробог Надежда Викторовна, доцент кафедры Высшей математики, к.ф.-м.н. ФГБОУ ВО ПГУТИ. Р.т. (846) 228-00-71, 443090, Самара, Московское шоссе, 77. E-mail: dobrobog-nv@psuti.ru



функций с большими градиентами в пограничном слое. Показано, что применение многочлена Лагранжа на равномерной сетке при малых значениях возмущающего параметра  $\varepsilon$  приводит к погрешностям порядка  $O(1)$ . Исследовано два подхода к построению интерполяционных формул, погрешность которых равномерна по малому параметру: построение формул, точных на погранслойной составляющей и применение сетки Шишкина, сгущающейся в пограничном слое. Задачи по этой главе исследованы нами в [18]–[22], [51]–[53].

Глава 3 состоит из двух частей. Здесь будут рассмотрены задачи полиномиальной сплайн-интерполяции функций, имеющих область больших градиентов. Основная часть изложенного материала представляет результаты работы, выполненной при частичной финансовой поддержке РФФИ (коды проектов 15-01-06584, 16-01-00727) и изложена в [33]–[35].

Параболические и кубические сплайны широко применяются для гладкой интерполяции функций. Такие сплайны исследованы в [2, 66, 41, 50] и во многих других работах. В данной главе освящен вопрос разработки сплайн-интерполяционных формул для функций с большими градиентами. Например, такими функциями моделируются конвективно-диффузионные процессы с преобладающей конвекцией. Наличие больших градиентов существенно сказывается на точности классических разностных схем, т.к. отсутствует сходимость в случае, когда коэффициент диффузии меньше шага сетки. Известны два подхода для построения  $\varepsilon$ -равномерно сходящихся разностных схем: подгонка схемы к погранслойной составляющей [58] и применение классических разностных схем на сетках, сгущающихся в пограничном слое [25], [70].

При применении разностных схем к решению сингулярно возмущенных задач возникает необходимость восстановления функции для всех значений независимой переменной. Однако, в соответствии с [51, 18, 52] применение полиномиальных сплайн-интерполяционных формул к функциям с большими градиентами в пограничном слое может приводить к погрешностям порядка  $O(1)$ . В [52] исследован вопрос применения многочленов Лагранжа для интерполяции функций, имеющих большие градиенты в экспоненциальном пограничном слое [70], на сетке Шишкина. Получена оценка погрешности, равномерная по малому параметру  $\varepsilon$ . Таким образом, можно применять кусочно-полиномиальную интерполяцию на сетке Шишкина. Но такая интерполяция не является гладкой. В [19] построен аналог параболического сплайна дефекта один, точный на погранслойной составляющей интерполируемой

функции и доказано, что погрешность интерполяции равномерна по погранслоистой составляющей и ее производным.

В первом разделе главы 3 исследуется параболическая сплайн-интерполяция по Субботину [41] на сетке Шишкина. Получены оценки погрешности интерполяции, которые, однако, не являются равномерными по возмущающему  $\varepsilon$ . Показано, что при  $\varepsilon \rightarrow 0$  погрешность интерполяции может неограниченно возрастать, и необходима разработка специальных методов интерполяции для данного класса задач. Как показано в [17], многие важные свойства интерполяционных сплайнов определяются свойствами матриц, элементы которых представляют собой скалярные произведения  $B$ -сплайнов. Доказательства основных результатов данного раздела также получены путем детального изучения этих матриц.

Отметим, что расходимость интерполяционных процессов на основе кубических и параболических сплайнов рассматривалась в работах [66, 50, 56, 57] и ряде других, однако рассмотренные там примеры расходимости либо носили очень искусственный характер, либо устанавливались неявным образом с помощью теоремы Банаха-Штейнгауза. Будет показана неравномерность по малому параметру сходимости сплайновой интерполяции на широком классе функций, соответствующих решениям сингулярно возмущенных задач.

В [18] построен неполиномиальный аналог кубического сплайна, точный на погранслоистой составляющей. Численные эксперименты показали преимущество в точности построенного сплайна. Однако вид погранслоистой составляющей не всегда известен, и в этом случае не видно разумной альтернативы сгущению сетки в погранслое.

Во втором разделе главы 3 исследуется традиционная кубическая сплайн-интерполяция [50] на кусочно-равномерной сетке Шишкина, сгущающейся в пограничном слое. Получены оценки погрешности интерполяции, как и в случае параболических сплайнов, которые не являются равномерными по  $\varepsilon$ . Показано, что при  $\varepsilon \rightarrow 0$  и фиксированном числе узлов  $N$  погрешность интерполяции погранслоистой составляющей может неограниченно возрастать, и необходима разработка специальных методов интерполяции для данного класса задач, такой метод здесь предложен и исследован. Предложен модифицированный интерполяционный кубический сплайн, для которого получены равномерные по малому параметру оценки погрешности порядка  $O((\ln N/N)^4)$ .

Изложенные в главе 3 результаты свидетельствуют о необходимости

разработки универсальных методов высокого порядка гладкой сплайн-интерполяции функций на сильно неравномерных сетках и проекционно-сеточных методов высокого порядка для сингулярно возмущенных краевых задач, поскольку при применении проекционно-сеточных методов не возникает необходимость в интерполяции сеточного решения. Задачи этой главы исследовались нами в [33]-[35].

В главе 4 будет рассмотрена задача обобщенной сплайн-интерполяции функций, имеющих области больших градиентов, с применением экспоненциальных  $L$ -сплайнов, пространство которых содержит функцию, описывающую пограничный слой.  $L$ -сплайны — это функции класса  $C^2$ , которые на каждом сеточном интервале представляют собой сумму многочлена второй степени и функции типа пограничного слоя.

Отметим, что интерполяционные  $L$ -сплайны рассматривались во многих работах, например, в [2, 67], см. также обзор литературы в [67]. Однако важные для сингулярно возмущенных задач вопросы равномерной по параметру сходимости интерполяционных процессов для таких сплайнов ранее не исследовались.

В данной главе доказано существование и единственность интерполяционного  $L$ -сплайна и получены асимптотически неулучшаемые оценки погрешности, из которых вытекает равномерная по возмущающему параметру сходимость интерполяционного процесса на функциях, имеющих четыре непрерывных производных. Установлено, что кубический и параболический интерполяционные сплайны являются предельными для решения рассматриваемой задачи. Как следствие основного результата получено, что для параболической сплайн-интерполяции в случае совпадения узлов интерполяции с узлами сплайна на равномерной сетке, несмотря на неограниченность совокупности констант Лебега, на классе четырежды непрерывно дифференцируемых функций имеет место сходимость третьего порядка по шагу сетки, как и в случае традиционной сплайн-интерполяции по Субботину или Марсдену [47]. По исследованию обобщенных сплайнов отметим работы [36], [37].

В главе 5 будут рассмотрены коллокационные схемы для скалярных уравнений второго порядка, при этом целью работы было построение схемы четвертого порядка сходимости, равномерно по  $\varepsilon$  в  $C$ -норме. В основе построения этой схемы лежит два подхода, разработанные для нежестких задач, каждый из которых позволяет получить четвертый порядок сходимости. С их помощью для нежестких задач строятся схемы, решения которых с порядком  $O(1/m^4)$  близки к кубическому сплайну, интерполирующему точное решение исходной задачи. При

первом подходе [50, гл. 10, §5] используются кубические сплайны минимального дефекта, а близость к интерполяционному сплайну и высокий порядок сходимости достигается за счет специальной коррекции оператора задачи. Здесь существенной является равномерность расчетной сетки. При втором подходе [50, гл. 10, §6] используются эрмитовы сплайны и неравномерная сетка, а повышенная точность достигается за счет специального выбора точек коллокации.

В случае СВЗ мы будем искать решение в виде кубического сплайна дефекта 1 вне зоны пограничного слоя, где сетка равномерна, и виде эрмитова кубического сплайна в зоне погранслоя, где сетка сгущается. При этом в зоне погранслоя схема будет строиться в соответствии со вторым подходом, а вне ее — в соответствии с первым.

Отметим, что коллокационные схемы для СВЗ, сходящиеся со вторым порядком равномерно по  $\varepsilon$ , строились, например, в [6].

Глава 6 посвящена методу конечных элементов Галеркина для решения линейных и нелинейных сингулярно возмущенных краевых задач второго порядка на базе сплайнов 1-ой степени. Практическое применение отличается исключительной простотой. Вначале рассматривается линейная задача, коэффициенты которой могут иметь особенности в погранслое. Здесь также используется метод галеркинских проекций. На основе полученных результатов рассмотрена сильно нелинейная краевая задача. Для последней доказано, что при малых  $\varepsilon$  и  $1/m$ , где  $m$  определяет число узлов расчетной сетки, существуют галеркинские приближения и они сходятся при  $m \rightarrow \infty$  к точному решению равномерно по  $\varepsilon$  и  $m$  со скоростью  $1/m^2$ .

В главе 7 затрагиваются вопросы разработки адаптационных алгоритмов и обоснования их сходимости посредством изучения свойств операторов проектирования. Метод галеркинских проекций [11] является универсальным методом доказательства асимптотически неулучшаемых априорных оценок погрешности проекционно-сеточных методов. Метод успешно применялся и для сингулярно возмущенных краевых задач [3]. При применении проекционно-сеточных методов к решению задач с особенностями (в частности, СВКЗ) широко используется метод адаптивных подвижных сеток [9]. Однако, несмотря на обширную литературу (см., например, [48] и библиографию там же), вопросы строгого обоснования сходимости алгоритмов адаптации сеток к некоторому предельному разбиению и получения оценок погрешности приближенного решения на этом предельном разбиении существенно менее изучены.

Процесс адаптации сетки к особенностям состоит в определении подобласти, на которой для уточнения решения требуется переизмельчение сетки. Известны два типа адаптации — априорная и апостериорная. В первом случае параметры сетки выбираются до начала вычислений вне зависимости от получающихся результатов, во втором случае — в процессе решения задачи после анализа вычисленных промежуточных приближенных решений.

Большинство работ по данной тематике принадлежат Г.И. Шишкину и его исследовательской группе (см., например, [70, 71, 72, 73, 74]), однако эти результаты относятся к разностным методам. В работах Г.И. Шишкина рассматриваются разностные схемы решения краевых задач для уравнений в частных производных, старшие производные которых (либо некоторые из них) содержат малый параметр. Предложены разностные схемы на последовательно как априорно [70, 71, 72], так и апостериорно [72, 73, 74], адаптирующихся сетках. Для определения границы подобластей, на которых требуется уточнение решения, используются вспомогательные функционалы-индикаторы. В качестве индикатора может быть выбран градиент решения (например, [73, 74]) или мажоранта сингулярной составляющей решения [74], или мажоранта сеточной границы пограничного слоя [71]. Г.И. Шишкиным отмечено, что в апостериорных процедурах более выигрышной является адаптация на основе градиента решения [74]. В работах исследуется вопрос сходимости разностных схем и повышения точности разностной аппроксимации.

При априорном задании сетки предполагается, что известна первичная информация о структуре пограничного слоя или оценках производных решения. В случае, когда эта информация недоступна или ее получение связано с большими трудностями, предпочтительны апостериорные процедуры.

В последние годы разработкой адаптивных методов решения задач с особенностями активно занимается группа ученых И.А. Блатов, Н.В. Добробог, Е.В. Китаева [40, 33, 39, 27]. Полученные ими результаты изложены в главе 7. В первой её части будет показано, что в основу доказательства сходимости алгоритмов адаптации для задач с симметричным оператором на сетках Шишкина может быть положен метод галеркинских проекций [40]. В следующем разделе главы этот метод переносится на случай СВКЗ с несимметричным оператором на сетках Шишкина [39]. А в третьем разделе метод галеркинских проекций реализуется на несамосопряженных СВКЗ, в которых коэффициенты уравнений могут содержать функции типа пограничного слоя, в случае использования сеток Бахвалова [27].

Численные эксперименты приведены практически в каждой главе, они показывают, что предложенные в этой книге методы в большинстве случаев обладают большей эффективностью, чем метод шарнирных элементов и др. Мы привели здесь наиболее сильные результаты по методу коллокаций и методу Галеркина, а также совершенно новые результаты строгого обоснования сходимости адаптационных алгоритмов решения задач с особенностями. Настоящая книга в определенном смысле подводит итоги развития теории проекционно-сеточных методов для рассматриваемого класса задач за последние годы и намечает перспективные направления исследований в области обобщенной сплайн-интерполяции и методов обоснования сходимости адаптивных подвижных сеток для решения сингулярно возмущенных задач.

# Глава 1

## ЭЛЕМЕНТЫ ТЕОРИИ СПЛАЙНОВ

### 1.1 Определение сплайнов

#### 1.1.1 Разделенные разности

**Определение.** Пусть на вещественной оси  $(-\infty, \infty)$  заданы узлы  $x_0, x_1, \dots, x_n$  ( $x_i \neq x_j$ ), в которых определена функция  $f(x)$ . Разделенными разностями первого порядка называют числа

$$\begin{aligned} f(x_0, x_1) &= \frac{f(x_1) - f(x_0)}{x_1 - x_0}, \\ f(x_1, x_2) &= \frac{f(x_2) - f(x_1)}{x_2 - x_1}, \\ &\dots, \\ f(x_{n-1}, x_n) &= \frac{f(x_n) - f(x_{n-1})}{x_n - x_{n-1}}. \end{aligned}$$

По разделенным разностям первого порядка определяются разделенные разности второго порядка

$$\begin{aligned} f(x_0, x_1, x_2) &= \frac{f(x_1, x_2) - f(x_0, x_1)}{x_2 - x_0}, \\ f(x_1, x_2, x_3) &= \frac{f(x_2, x_3) - f(x_1, x_2)}{x_3 - x_1}, \dots \end{aligned}$$

Аналогично определяются разделенные разности третьего порядка

$$f(x_0, x_1, x_2, x_3) = \frac{f(x_1, x_2, x_3) - f(x_0, x_1, x_2)}{x_3 - x_0}$$

и т.д.

В курсе методов вычислений доказывается, что для  $m$  раз непрерывно

дифференцируемых функций

$$f(x_0, x_1, \dots, x_m) = \frac{f^{(m)}(\xi)}{m!},$$

где  $\xi$  — некоторая средняя точка промежутка  $[x_0, x_m]$ .

Совершенно очевидно, что операция взятия разделенной разности любого порядка линейна, т.е. если  $F(x) = \alpha f(x) + \beta g(x)$ , то

$$F(x_k, \dots, x_{k+m}) = \alpha f(x_k, \dots, x_{k+m}) + \beta g(x_k, \dots, x_{k+m}).$$

Это простое утверждение имеет полезное обобщение. Пусть  $f(x, t) g(t)$  непрерывны по  $t \in [0, T]$ .

Положим

$$F(x) = \int_0^T f(x, t)g(t) dt.$$

Тогда

$$F(x_k, \dots, x_{k+m}) = \int_0^T f(x_k, \dots, x_{k+m}; t) g(t) dt.$$

Возьмем в качестве  $f(x)$  функцию  $x^m$ . Очевидно, что в этом случае

$$f(x_i, x_{i+1}) = \frac{x_{i+1}^m - x_i^m}{x_{i+1} - x_i} = x_{i+1}^{m-1} + x_{i+1}^{m-2} x_i + \dots + x_i^{m-1}.$$

Отсюда видно, что разделенная разность  $f(x_i, x_{i+1})$  является многочленом степени  $m - 1$  аргументов  $x_i, x_{i+1}$ .

Упражнение 1.1.1. Доказать, что разделенная разность порядка  $m$  от многочлена степени  $m$  является постоянной величиной, а разделенные разности более высокого порядка равны нулю.

Для дальнейшего нам понадобятся различные представления разделенных разностей. Обозначим через  $\omega_k(x)$  многочлен

$$(x - x_k)(x - x_{k+1}) \cdots (x - x_{k+m}).$$

Очевидно, при  $j \geq k$

$$\omega_k'(x_j) = (x_j - x_k) \cdots (x_j - x_{j-1})(x_j - x_{j+1}) \cdots (x_j - x_{k+m}).$$

Используя индукцию, легко показать, что справедливо представление

$$f(x_k, \dots, x_{k+m}) = \sum_{j=k}^{k+m} f(x_j) / \omega_k'(x_j). \quad (1.1.1)$$



## Усеченная степенная функция $g_m(x; t)$

Пусть  $m$  — произвольное натуральное число. Через  $\xi_+^m$  будем обозначать следующую функцию

$$\xi_+^m = \begin{cases} \xi^m, & \xi > 0 \\ 0, & \xi \leq 0. \end{cases}$$

Введем в рассмотрение функцию  $g_m(x; t) = (x - t)_+^{m-1}$ . Очевидно, что

$$g_m(x; t) = \begin{cases} (x - t)^{m-1}, & x > t \\ 0, & x \leq t. \end{cases}$$

Используя эту функцию и формулу Тейлора с остаточным членом в интегральной форме, можно записать:

$$f(x) = \sum_{j=0}^{m-1} f^{(j)}(a) \frac{(x-a)^j}{j!} + \frac{1}{(m-1)!} \int_a^b g_m(x; t) f^{(m)}(t) dt. \quad (1.1.2)$$

Заметим, что при  $m \geq 1$

$$\frac{d}{dt}(x-t)_+^m = -m(x-t)_+^{m-1}.$$

Функция  $g_m(x; t)$  бесконечно дифференцируема по  $t$  и  $x$  при  $t \neq x$ ; в точке  $t = x$  она непрерывно дифференцируема  $(m-2)$  раз, а ее  $(m-1)$ -ая производная претерпевает разрыв.

Упражнение 1.2.1. Доказать равенство

$$(x-t)_+^m + (-1)^m(t-x)_+^m \equiv (x-t)^m.$$

## Полиномиальные сплайны

Пусть на промежутке  $[a, b]$  задана сетка

$$\Delta_n : a = x_0 < x_1 < \dots < x_n < x_{n+1} = b. \quad (1.1.3)$$

**Определение.** Функцию  $S_m = S_{m,k}(x)$  называют полиномиальным сплайном (или просто сплайном) степени  $m$  дефекта  $k$  ( $1 \leq k \leq m$ ) с узлами (1.1.3), если:

1. на каждом отрезке  $[x_i, x_{i+1}]$  ( $0 \leq i \leq n$ )  $S_m(x)$  является полиномом степени не выше  $m$ ;

2. на всем промежутке  $[a, b]$  функция  $S_m(x)$  ( $m - k$ ) раз непрерывно дифференцируема.

Другими словами, сплайны склеены из полиномов на элементарных отрезках  $[x_i, x_{i+1}]$  так, чтобы в узлах была обеспечена нужная гладкость.

Под  $S_{0,-1}(x)$  будем понимать кусочно-постоянные функции с точками разрыва  $x_1, \dots, x_n$ , непрерывные справа.

Простейшим примером сплайна, определенного на сетке (1.1.3) является ломаная, узлами которой являются точки  $x_0, x_1, \dots, x_{n+1}$ . Степень и дефект этого сплайна равны 1.

Усеченная степенная функция  $g_m(x; t)$ , введенная чуть ранее, является сплайном степени  $m - 1$  дефекта 1 относительно  $t$ ; единственный узел этого сплайна — точка  $x$ .

Образует для функции  $g_m(x; t)$  разделенную разность порядка  $m$  по узлам  $x_k, x_{k+1}, \dots, x_{k+m}$  ( $0 \leq k \leq k + m \leq n$ ). Из (1.1.1) имеем

$$g_m(x_k, \dots, x_{k+m}; t) = \sum_{j=k}^{k+m} \frac{g_m(x_j; t)}{\omega'_k(x_j)}. \quad (1.1.4)$$

Функция  $g_m(x_j; t)$  бесконечно дифференцируема по  $t$  при  $t \neq x_j$  и, конечно, есть сплайн степени  $m - 1$  дефекта 1 с узлом  $x_j$ . Поэтому функция  $g(t)$ , стоящая в правой части равенства (1.1.4) также есть сплайн степени  $m - 1$  дефекта 1, для которого уже узлами будут точки  $x_k, \dots, x_{k+m}$ .

Вновь вернемся к формуле Тейлора (1.1.2) и от правой и левой части (1.1.2) образуем разделенную разность степени  $m$ . Учитывая упражнение 1.1.1, легко получить еще одно весьма полезное представление разделенной разности

$$f(x_k, \dots, x_{k+m}) = \frac{1}{(m-1)!} \int_a^b g_m(x_k, \dots, x_{k+m}; t) f^{(m)}(t) dt. \quad (1.1.5)$$

Упражнение 1.3.1. Пусть  $C^m[a, b]$  — пространство  $m$  раз непрерывно дифференцируемых функций на отрезке  $[a, b]$  и  $f \in C^m[a, b]$ . Обозначим через  $L_n(f; x)$  интерполяционный полином Лагранжа степени ( $n \geq m + 1$ )

$$L_n(f; x) = \sum_{k=0}^n f(x_k) \frac{\omega_0(x)}{(x - x_k) \omega'_0(x_k)}.$$

Доказать, что для остаточного члена

$$R(f; x) = f(x) - L_n(f; x)$$

интерполяционного полинома Лагранжа справедливо представление

$$R(f; x) = \frac{1}{(m-1)!} \int_a^b [g_m(x; t) - \sum_{k=0}^n g_m(x_k; t) e_k(x)] f^{(m)}(t) dt, \quad (1.1.6)$$

где

$$e_k = \frac{\omega_0(x)}{(x-x_k)\omega_0'(x)}$$

— фундаментальные многочлены Лагранжа.

Упражнение 1.3.2. Положим

$$\delta_0(x) = \begin{cases} 1/2, & |x| < 1 \\ 0, & |x| \geq 1, \end{cases}$$

$$\delta_m(x) = \int_{2x-1}^{2x+1} \delta_{m-1}(s) ds, \quad m = 1, 2, \dots$$

Доказать, что  $\delta_m(x)$  на  $[-1, 1]$  является сплайном степени  $m$  дефекта 1. Указать узлы.

### Размерность пространства сплайнов

Пусть сетка (1.1.3) задана. Обозначим через  $S(\Delta_n, m, k)$  совокупность сплайнов степени  $m$  дефекта  $k$ , определенных на сетке  $\Delta_n$ . Очевидно, что это линейное пространство.

**Теорема 1** *Размерность пространства  $S(\Delta_n, m, k)$  равна  $m + 1 + n \cdot k$ .*

**Доказательство.** Рассмотрим вначале отрезок  $[x_0, x_1]$ . По определению сплайн  $S_{m,k}(x)$  на этом отрезке является полиномом

$$P_m(x) = \sum_{s=0}^m a_s x^s.$$

На соседнем отрезке  $[x_1, x_2]$  сплайн  $S_{m,k}(x)$  совпадает с другим полиномом  $Q_m(x)$ . Рассмотрим разность  $Q_m - P_m$  и представим ее в виде

$$Q_m(x) - P_m(x) = \sum_{s=0}^m b_s (x - x_1)^s. \quad (1.1.7)$$

Из условий гладкости сплайна  $S_{m,k}(x)$  в узле  $x_1$  мы имеем

$$Q_m^{(j)}(x_1) = P_m^{(j)}(x_1) \quad (j = 0, 1, \dots, m-k).$$

Отсюда и из представления (1.1.7) немедленно вытекает, что  $b_s = 0$  ( $s = 0, 1, \dots, m - k$ ).

Совершенно аналогично на отрезке  $[x_2, x_3]$  сплайн  $S_{m,k}(x)$  совпадает с полиномом  $T_m(x)$ . Поэтому

$$T_m(x) - Q_m(x) = \sum_{s=0}^m c_s(x - x_2)^s, \quad c_s = 0, \quad (s = 0, \dots, m - k).$$

На  $[x_0, x_3]$

$$S_{m,k}(x) = \sum_{s=0}^m a_s x^s + \sum_{s=m-k+1}^m b_s (x - x_1)_+^s + \sum_{s=m-k+1}^m c_s (x - x_2)_+^s.$$

Удобно ввести новые обозначения  $b_s = \alpha_{1,s}$ ,  $c_s = \alpha_{2,s}$ ,  $\dots$ .

Продолжая наши рассуждения, получаем, что на всем промежутке  $[a, b]$   $S_{m,k}(x)$  представляется в виде

$$S_{m,k}(x) = \sum_{s=0}^m a_s x^s + \sum_{j=1}^n \sum_{s=m-k+1}^m \alpha_{j,s} (x - x_j)_+^s. \quad (1.1.8)$$

Таким образом, сплайн  $S_{m,k}(x)$  является линейной комбинацией функций

$$\begin{aligned} &1, x, x^2, \dots, x^m, \\ &(x - x_1)_+^{m-k+1}, \dots, (x - x_1)_+^m, \dots, \\ &(x - x_n)_+^{m-k+1}, \dots, (x - x_n)_+^m. \end{aligned} \quad (1.1.9)$$

Осталось лишь показать, что эти функции линейно независимы на отрезке  $[a, b]$ . Если это было бы не так, то для некоторого набора констант  $a_s$ ,  $\alpha_{j,s}$  линейная комбинация (1.1.8) стала бы тождественным нулем на отрезке  $[a, b]$ . Тогда, рассматривая правую часть (1.1.8) на отрезке  $[x_0, x_1]$ , мы бы получили

$$\sum_{s=0}^m a_s x^s \equiv 0 \quad (x \in [x_0, x_1]).$$

Следовательно,  $a_s = 0$  при  $s = 0, 1, \dots, m$

Учитывая последнее, рассмотрим теперь правую часть (1.1.8) на отрезке  $[x_1, x_2]$ . Легко видеть, что это приводит к тождеству

$$\sum_{s=m-k+1}^m \alpha_{1,s} (x - x_1)^s \equiv 0 \quad (x \in [x_1, x_2]).$$

Следовательно,  $\alpha_{1,s} = 0$  при  $s = m - k + 1, \dots, m$  и т.д. Отсюда и вытекает линейная независимость функций (1.1.9). Теорема доказана.

Кстати, заметим, что функции (1.1.9) образуют базис в пространстве сплайнов  $S_{m,k}(\Delta_n, m, k)$ .

Упражнение 1.4.1. Какова размерность пространства ломаных с вершинами в узлах сетки (1.1.3)? Как вычислить значения  $y(x)$  в точке, отличной от узловой, если значения в узлах  $y_0, y_1, \dots, y_{n+1}$  заданы?

## 1.1.2 В-сплайны

### 1.1.3 Основные свойства В-сплайнов

Понятие В-сплайна было введено И. Шенбергом [12]. Эти функции нашли широкие применения в численных методах благодаря значительным упрощениям, связанными с финитностью носителей В-сплайнов.

Пусть  $x_k < x_{k+1} < \dots < x_k + m$  ( $m \geq 1$ ).

**Определение.** Функция

$$B_{m-1}(t) = B_{m-1}(x_k, \dots, x_{k+m}; t) = m g_m(x_k, \dots, x_{k+m}; t), \quad (1.1.10)$$

где  $g_m(x_k, \dots, x_{k+m}; t)$  — разделенная разность  $m$ -го порядка функции  $g_m(x; t)$ , называется В-сплайном степени  $(m - 1)$  дефекта 1 относительно узлов  $x_k, \dots, x_{k+m}$ .

Рассмотрим пример. Допустим, что узлы  $x_i$  — равноотстоящие:  $x_{k+1} = x_k + h$ ,  $x_{k+2} = x_k + 2h \dots$  Подсчитаем  $B_1(t)$ , используя формулу (1.1.4). Имеем

$$\begin{aligned} \omega_k(x) &= (x - x_k)(x - x_{k+1})(x - x_{k+2}), \\ \omega'_k(x) &= (x - x_{k+1})(x - x_{k+2}) + \\ &+ (x - x_k)(x - x_{k+2}) + (x - x_k)(x - x_{k+1}). \end{aligned}$$

Поэтому

$$\begin{aligned} \omega'_k(x_k) &= 2h^2, \\ \omega'_k(x_{k+1}) &= -h^2, \\ \omega'_k(x_{k+2}) &= 2h^2. \end{aligned}$$

Далее, из формулы (1.1.1)

$$B_1(t) = 2 \left\{ \frac{(x_k - t)_+}{2h^2} + \frac{(x_{k+1} - t)_+}{-h^2} + \frac{(x_{k+2} - t)_+}{2h^2} \right\}.$$

Очевидно,  $B_1(t) \equiv 0$  при  $t \geq x_{k+2}$ . Далее

$$B_1(t) = \begin{cases} \frac{x_{k+2} - t}{h^2}, & t \in [x_{k+1}, x_{k+2}] \\ 2 \left[ \frac{x_{k+1} - t}{-h^2} + \frac{x_{k+2} - t}{2h^2} \right] = \frac{t - x_k}{h^2}, & t \in [x_k, x_{k+1}]. \end{cases}$$

Наконец,  $B_1(t) \equiv 0$  при  $t \leq x_k$ .

Упражнение 2.1.2. Построить график функции

$$B_2(t) = B_2(x_k, x_{k+1}, x_{k+2}, x_{k+3}; t).$$

Перейдем к изучению основных свойств В-сплайнов.

**Свойство 1.**

$$B_{m-1} \equiv 0 \quad t \notin [x_k, x_{k+m}]. \quad (1.1.11)$$

**Доказательство.** Равенство (1.1.11) при  $t \geq x_{k+m}$  вытекает из определения функций  $(x - t)_+^{m-1}$ . Пусть теперь  $t \leq x_k$ . Тогда

$$g_m(x_s; t) \equiv (x_s - t)^{m-1} \quad (s = k, k + 1, \dots, k + m)$$

и

$$B_{m-1}(t) = m \sum_{s=k}^{k+m} \frac{(x_s - t)^{m-1}}{\omega'_k(x_s)} \quad (t \leq x_k).$$

Выражение, стоящее справа, не отличается от разделенной разности  $m$ -го порядка для многочлена  $(x - t)^{m-1}$ , и, следовательно, равно нулю.

**Свойство 2.**

$$\int_a^b B_{m-1}(t) dt = \int_{x_k}^{x_{k+m}} B_{m-1}(t) dt = 1. \quad (1.1.12)$$

Действительно, для разделенной разности  $f(x_k, \dots, x_{k+m})$  представление (1.1.5) можно представить в виде

$$f(x_k, \dots, x_{k+m}) = \frac{1}{m!} \int_a^b B_{m-1}(t) f^{(m)}(t) dt. \quad (1.1.13)$$

В (1.1.13) положим  $f \equiv x^m$ . Тогда получим

$$f(x_k, \dots, x_{k+m}) = \int_a^b B_{m-1}(t) dt = \int_{x_k}^{x_{k+1}} B_{m-1}(t) dt.$$

С другой стороны, как хорошо известно,

$$f(x_k, \dots, x_{k+m}) = \frac{1}{m!} f^{(m)}(\xi) \quad (\xi \in (x_k, x_{k+m})),$$

и в рассматриваемом случае  $f^{(m)}(x) \equiv m!$ . Отсюда и следует, что

$$f(x_k, \dots, x_{k+m}) \equiv 1.$$

### Свойство 3.

$$B_{m-1}(t) > 0 \quad x_k < t < x_{k+m}. \quad (1.1.14)$$

**Доказательство.** При  $m = 2$  неравенство очевидно. Пусть теперь  $m > 2$ . Так как  $B_{m-1}$  на любом отрезке  $[x_j, x_{j+1}]$  есть многочлен степени  $m - 1$ , то либо он имеет здесь конечное число нулей, либо он тождественно равен нулю на  $[x_j, x_{j+1}]$ . Из (1.1.12) вытекает, что  $B_{m-1}$  не является нулевой функцией. Значит существует такой отрезок  $[x_{k'}, x_{l'}]$ , содержащийся в  $[x_k, x_{k+m}]$ , на котором  $B_{m-1}$  имеет лишь конечное число нулей, а на примыкающих отрезках  $[x_{k'-1}, x_{k'}]$ ,  $[x_{l'}, x_{l'+1}]$  тождественно равен нулю. Здесь возможны два случая:

1.  $[x_{k'}, x_{l'}] = [x_k, x_{k+m}]$ ;
2.  $[x_{k'}, x_{l'}] \subset [x_k, x_{k+m}]$ .

Начнем с рассмотрения первого случая. Для доказательства неравенства (1.1.14) допустим противное: существует точка  $t^*$ , в которой  $B_{m-1}(t^*) = 0$ . Так как  $B_{m-1}(t)$  обращается в нуль на концах отрезка  $[x_k, x_{k+m}]$ , то  $B'_{m-1}(t)$  на  $(x_k, x_{k+m})$  имеет не менее двух перемен знака. Рассуждая аналогично, получаем, что  $B''_{m-1}(t)$  имеет на  $(x_k, x_{k+m})$  не менее трех перемен знака и т.д. Наконец, производная  $B_{m-1}^{(m-2)}(t)$  порядка  $m - 2$  имеет на  $(x_k, x_{k+m})$  не менее  $m - 1$  перемен знака.

С другой стороны, на отрезке  $[x_k, x_{k+m}]$  функция  $B_{m-1}^{(m-2)}$  кусочно-линейная; графиком ее является  $m$ -звенная ломаная с вершинами в точках  $x_s$  ( $s = k, \dots, k+m$ ). Поскольку  $B_{m-1}^{(m-2)}(x_k) = B_{m-1}^{(m-2)}(x_{k+m}) = 0$ , то  $B_{m-1}^{(m-2)}$  очевидно не может на  $(x_k, x_{k+m})$  менять знак  $(m - 1)$  раз. Мы пришли к противоречию.

Перейдем теперь ко второму случаю. Предположим, что имеем строгое включение  $[x_{k'}, x_{l'}] \subset [x_k, x_{k+m}]$  ( т.е.  $k' > k$ , или  $l' < k + m$ ). Можно утверждать, что  $B'_{m-1}$  имеет не менее одной перемены знака на  $[x_{k'}, x_{l'}]$ ,  $\dots$  производная  $B_{m-1}^{(m-1)}$  — не менее  $m - 2$  перемен знака. Но на  $[x_{k'}, x_{l'}]$   $B_{m-1}^{(m-2)}$  является  $(l' - k')$ -звенной ломаной, которая на концах отрезка принимает нулевые значения. При этом  $l' - k' <$

$m$ . Следовательно, эта ломаная не может менять знак  $(m - 2)$  раз. Получили противоречие и во втором случае.

Следует отметить, что  $B_{m-1}$  имеет лишь одну точку экстремума на  $(x_k, x_{k+m})$ . Действительно, допустим противное. Нетрудно показать, что  $B'_{m-1}$  имеет по крайней мере на  $(x_k, x_{k+m})$  две перемены знака. Тогда, повторив рассуждения первого пункта, доказанного выше утверждения, приходим к противоречию.

## Базис в пространстве полиномиальных сплайнов дефекта 1

**Определение.** Если функция  $f(x)$  отлична от нуля лишь на некотором компактном множестве, то она является финитной, а само это множество называется носителем функции  $f$  и обозначается  $\text{supp } f$ .

Из (1.1.14) вытекает равенство

$$\text{supp } B_{m-1}(x_k, \dots, x_{k+m}; t) = (x_k, x_{k+m}).$$

**Лемма 1** Пусть  $f_i(t)$   $(-\infty < t < \infty, i = 1, \dots, p)$  – финитные функции, причем

$$\text{supp } f_i = (\alpha_i, \beta_i) \quad (i = 1, \dots, p).$$

Если  $\alpha_i < \alpha_{i+1}$   $(i = 1, \dots, p)$ , то система  $f_1(t), \dots, f_p(t)$  линейно независима.

**Доказательство.** Допустим противное. Существует такой нетривиальный набор констант  $c_1, \dots, c_p$ , что

$$c_1 f_1(t) + \dots + c_p f_p(t) \equiv 0. \quad (1.1.15)$$

Выберем теперь  $x_1^* \in (\alpha_1, \alpha_2)$ . Очевидно, что

$$f_1(x_1^*) \neq 0, f_j(x_1^*) = 0 \quad (j = 2, 3, \dots, p).$$

Подставляя  $x_1^*$  в (1.1.15), легко вывести, что  $c_1 = 0$ . Далее, выберем точку  $x_2^* \in (\alpha_2, \alpha_3)$ . Используя ее, легко получить  $c_2 = 0$ , и т.д. Лемма доказана.

Для дальнейшего нам потребуется одно вспомогательное утверждение.

**Лемма 2** Носитель любого ненулевого сплайна  $S$  степени  $m - 1$  дефекта 1 содержит не менее  $m$  смежных интервалов разбиения  $\Delta_n$ .

**Доказательство.** Допустим противное. Пусть ненулевой сплайн  $S(t)$  имеет носителем интервал  $(x_k, x_l)$ , где  $l < k + m$  и тождественно равен нулю на примыкающих отрезках.



На отрезке  $[x_k, x_l]$  разложим этот сплайн по базису

$$1, t, \dots, t^{m-1}, (t - x_{k+1})_+^{m-1}, \dots, (t - x_{l-1})_+^{m-1}.$$

Получим

$$S(t) = a_0 + a_1 t + \dots + a_{m-1} t^{m-1} + \\ + \alpha_{k+1} (t - x_{k+1})_+^{m-1} + \dots + \alpha_{l-1} (t - x_{l-1})_+^{m-1}.$$

Так как в точке  $t = x_k$

$$S(x_k) = S'(x_k) = \dots = S^{m-2}(x_k) = 0,$$

то полином

$$a_0 + a_1 t + \dots + a_{m-1} t^{m-1}$$

можно представить в виде  $\alpha_k (t - x_k)_+^{m-1}$ . Поэтому имеем

$$S(t) = \sum_{j=k}^{l-1} \alpha_j (t - x_j)_+^{m-1} \quad (t \in [x_k, x_l]).$$

Далее в точке  $t = x_l$  имеем

$$S(x_l) = S'(x_l) = \dots = S^{m-2}(x_l) = 0.$$

Последнее соотношение можно более подробно записать в эквивалентной форме

$$\alpha_k (x_l - x_k)^{m-1} + \alpha_{k+1} (x_l - x_{k+1})^{m-1} + \dots + \alpha_{l-1} (x_l - x_{l-1})^{m-1} = 0,$$

$$\alpha_k (x_l - x_k)^{m-2} + \alpha_{k+1} (x_l - x_{k+1})^{m-2} + \dots + \alpha_{l-1} (x_l - x_{l-1})^{m-2} = 0,$$

$\dots,$

$$\alpha_k (x_l - x_k) + \alpha_{k+1} (x_l - x_{k+1}) + \dots + \alpha_{l-1} (x_l - x_{l-1}) = 0.$$

При  $l = k + m - 1$  для отыскания  $m$  чисел  $\alpha_k, \alpha_{k+1}, \dots, \alpha_{k+m-1}$  мы получаем линейную однородную систему с ненулевым определителем Вандермонда. Следовательно, все  $\alpha_i = 0$  и  $S \equiv 0$ .

Аналогичный вывод получается и при других  $l < k + m$ . Наше утверждение доказано.

Пусть теперь на числовой прямой задана строго возрастающая последовательность узлов, обозначим её  $\pi$

$$\pi = \{x_k\}, \quad k = 0, \pm 1, \pm 2, \dots$$

Через  $B_{m-1,k}(t)$  будем обозначать сплайн  $B_{m-1}(x_k, \dots, x_{k+m}, t)$  с носителем  $(x_k, x_{k+m})$ .

Пусть концы отрезка  $[a, b]$  совпадают с узлами  $x_p$  и  $x_q$ . Всюду ниже через  $\overline{B}_{m-1,k}$  будем обозначать "усеченный"  $B$ -сплайн

$$\overline{B}_{m-1,k}(t) = \begin{cases} B_{m-1,k}(t), & a \leq t \leq b \\ 0, & t \notin [a, b]. \end{cases}$$

Рассмотрим множество  $\sigma$  "усеченных"  $B$ -сплайнов  $\overline{B}_{m-1,k}$  отличных от нуля на интервале  $(a, b)$ .

$$\overline{B}_{m-1,p-m+1}, \overline{B}_{m-1,p-m+2}, \dots, \overline{B}_{m-1,q-1}.$$

**Теорема 2** *Совокупность  $\sigma$  всех "усеченных"  $B$ -сплайнов линейно независима.*

**Доказательство.** Допустим, что утверждение неверно. Тогда найдется такой нетривиальный набор констант  $\alpha_{p-m+1}, \dots, \alpha_{q-1}$ , что

$$\overline{S}(t) = \sum_{j=p-m+1}^{q-1} \alpha_j \overline{B}_{m-1,j}(t) \equiv 0 \quad t \in [a, b]. \quad (1.1.16)$$

Рассмотрим сплайн

$$S(t) = \sum_{j=p-m+1}^{q-1} \alpha_j B_{m-1,j}(t) \quad (-\infty < t < \infty).$$

Легко заметить, что  $S(t)$  может быть отличен от нуля лишь при  $t \leq a$  и  $t \geq b$ , т.е. на интервалах

$$\Gamma_1 = (x_{p-m+1}, x_p), \quad \Gamma_2 = (x_q, x_{q+m-1}).$$

Отметим, что каждый из интервалов  $\Gamma_1$  и  $\Gamma_2$  содержит лишь  $m-1$  элементарных отрезков и поэтому (см. лемму 2) сплайн  $S(t)$  тождественно равен нулю на  $\Gamma_1$  и  $\Gamma_2$ . Следовательно,  $S(t) \equiv 0$  на всей числовой прямой также. В силу леммы 1 числа  $\alpha_j = 0$  ( $j = p-m+1, \dots, q-1$ ). Получили противоречие. Теорема доказана.

## Производная $B$ -сплайна

Установим весьма полезную формулу

$$\frac{d}{dt} B_{m-1,k} = \frac{m}{x_{k+m} - x_k} (B_{m-2,k} - B_{m-2,k+1}). \quad (1.1.17)$$

где

$$\begin{aligned} B_{m-1,k} &= B_{m-1,k}(x_k, \dots, x_{k+m}; t), \\ B_{m-2,k} &= B_{m-2,k}(x_k, \dots, x_{k+m-1}; t), \\ B_{m-2,k+1} &= B_{m-2,k+1}(x_{k+1}, \dots, x_{k+m}; t). \end{aligned}$$

Сначала вычислим  $B_{m-2,k} - B_{m-2,k+1}$  в точке  $t \in I_j = [x_j, x_{j+1}]$  ( $k \leq j \leq k+m-1$ ).

По определению В-сплайна и свойств разделенной разности имеем

$$B_{m-2,k} = (m-1)g_{m-1}(x_k, \dots, x_{k+m-1}; t) = (m-1) \sum_{s=k}^{k+m-1} \frac{(x_s - t)_+^{m-2}}{\omega'_k(x_s)}.$$

При  $s \leq j$  слагаемые  $(x_s - t)_+^{m-2}$  на  $I_j$  обращаются в нуль. Опуская их, имеем

$$B_{m-2,k} = (m-1) \sum_{s=j+1}^{k+m-1} \frac{(x_s - t)^{m-2}}{(x_s - x_k) \cdots (x_s - x_{k+m-1})}.$$

Домножим числитель и знаменатель правой части на  $(x_s - x_{k+m})$ . Тогда окончательно получим для  $t \in I_j$

$$B_{m-2,k} = (m-1) \sum_{s=j+1}^{k+m-1} \frac{(x_s - t)^{m-2}(x_s - x_{k+m})}{\omega'_k(x_s)}.$$

Аналогичным образом выводим

$$B_{m-2,k+1} = (m-1) \sum_{s=j+1}^{k+m} \frac{(x_s - t)^{m-2}(x_s - x_k)}{\omega'_k(x_s)}.$$

Поэтому для разности получаем при  $t \in I_j$

$$\begin{aligned} & B_{m-2,k+1} - B_{m-2,k} = \\ &= (m-1) \left\{ \sum_{s=j+1}^{k+m-1} \frac{(x_s - t)^{m-2}(x_{k+m} - x_k)}{\omega'_k(x_s)} + \right. \\ & \quad \left. + \frac{(x_{k+m} - t)^{m-2}(x_{k+m} - x_k)}{\omega'_k(x_{k+m})} \right\} = \\ &= (m-1)(x_{k+m} - x_k) \sum_{s=j+1}^{k+m} \frac{(x_s - t)^{m-2}}{\omega'_k(x_s)}. \end{aligned} \tag{1.1.18}$$

Далее, по определению  $B_{m-1,k}$

$$B_{m-1,k} = m \sum_{s=k}^{k+m} \frac{(x_s - t)_+^{m-1}}{\omega'_k(x_s)},$$

и поэтому

$$\frac{d}{dt}B_{m-1,k} = -m(m-1) \sum_{s=k}^{k+m} \frac{(x_s - t)_+^{m-2}}{\omega'_k(x_s)}.$$

Опуская в последнем равенстве слагаемые  $(x_s - t)_+^{m-2}$  при  $s \leq j$ , обращающиеся в нуль на промежутке  $I_j$ , без труда получаем

$$\frac{d}{dt}B_{m-1,k} = -m(m-1) \sum_{s=j+1}^{k+m} \frac{(x_s - t)_+^{m-2}}{\omega'_k(x_s)} \quad (t \in I_j).$$

Отсюда и из (1.1.18) вытекает (1.1.17).

### Нормированные В-сплайны

Пусть снова на числовой прямой задана строго возрастающая последовательность узлов  $\pi = \{x_k\} (k = 0, \pm 1, \pm 2, \dots)$ . Во многих случаях вместо  $B_{m-1,k}$  удобнее работать с так называемыми нормированными В-сплайнами

$$N_{m-1,k}(t) = \frac{x_{k+m} - x_k}{m} B_{m-1,k}(t). \quad (1.1.19)$$

**Теорема 3** *Нормированные В-сплайны образуют разложение единицы, т.е.*

$$\sum_{k=-\infty}^{\infty} N_{m-1,k}(t) \equiv 1. \quad (1.1.20)$$

**Доказательство.** Из определения  $B_{m-1,k}(t)$  и (1.1.19) вытекает, что

$$N_{m-1,k}(t) = (x_{k+m} - x_k)g(x_k, \dots, x_{k+m}; t).$$

С другой стороны, по определению разделенной разности,

$$g(x_k, \dots, x_{k+m}; t) = \frac{g_m(x_{k+1}, \dots, x_{k+m}; t) - g_m(x_k, \dots, x_{k+m-1}; t)}{x_{k+m} - x_k}.$$

Поэтому для нормированного В-сплайна имеет место весьма полезное представление

$$N_{m-1,k}(t) = g_m(x_{k+1}, \dots, x_{k+m}; t) - g_m(x_k, \dots, x_{k+m-1}; t). \quad (1.1.21)$$

Зафиксируем отрезок  $I_j = [x_j, x_{j+1}] (j = 0, 1, \dots, n)$ . На этом отрезке отличны от нуля лишь сплайны

$$N_{m-1,j-m+1}, N_{m-1,j-m+2}, \dots, N_{m-1,j}.$$

Поэтому при  $t \in I_j$  имеет место соотношение

$$\sum_{k=-\infty}^{\infty} N_{m-1,k}(t) = \sum_{k=j-m+1}^j N_{m-1,j}.$$

Отсюда и из нового представления (1.1.21) получаем

$$\begin{aligned} & \sum_{k=-\infty}^{\infty} N_{m-1,k}(t) = \\ &= \sum_{k=j-m+1}^j [g_m(x_{k+1}, \dots, x_{k+m}; t) - g_m(x_k, \dots, x_{k+m-1}; t)] = \\ &= g_m(x_{j+1}, \dots, x_{j+m}; t) - g_m(x_{j-m+1}, \dots, x_j; t). \end{aligned} \quad (1.1.22)$$

Так как

$$g_m(x_{j-m+1}, \dots, x_j; t) = \sum_{s=j-m+1}^j \frac{(x_s - t)_+^{m-1}}{\omega'_{j-m+1}(x_s)},$$

то вычитаемое в правой части (1.1.22) равно нулю. Наконец, разделенная разность  $g_m(x_{j+1}, \dots, x_{j+m}; t)$  (см. упражнение 1.1.1) выражается через производную  $(m-1)$ -го порядка

$$g_m(x_{j+1}, \dots, x_{j+m}; t) = \frac{1}{(m-1)!} \frac{d^{m-1}}{dx^{m-1}} g_m(x; t) \Big|_{x=\xi}.$$

Отсюда и из (1.1.22) вытекает утверждение теоремы.

Из свойств  $B$ -сплайнов и теоремы 3 вытекает, что для любого целого  $m \geq 0$

$$\begin{aligned} 0 \leq N_{m-1,k}(t) \leq 1, \quad -\infty < t < \infty, \\ \text{supp} N_{m-1,k} = (x_k, x_{k+m}). \end{aligned} \quad (1.1.23)$$

При практической работе со сплайнами очень важными являются рекуррентные соотношения

$$N_{m-1,k}(t) = \frac{t - x_k}{x_{k+m-1} - x_k} N_{m-2,k}(t) + \frac{x_{k+m} - t}{x_{k+m} - x_{k+1}} N_{m-2,k+1}(t), \quad (1.1.24)$$

позволяющие свести вычисление  $N_{m-1,k}$  к нормированным сплайнам  $N_{m-2,k}$  более низких степеней. Для доказательства формулы (1.1.24) рассмотрим отрезок  $I_j = [x_j, x_{j+1}]$ . Из определения  $N_{m-2,p}$  и  $B_{m-2,p}$  при  $t \in I_j$ , учитывая формулы (1.1.17) и (1.1.18) имеем

$$\frac{1}{x_{k+m} - x_{k+1}} N_{m-2,k+1}(t) = \sum_{s=j+1}^{k+m} \frac{(x_s - t)^{m-2} (x_s - x_k)}{\omega'_k(x_s)}, \quad (1.1.25)$$

$$\frac{1}{x_{k+m} - x_k} N_{m-2,k}(t) = \sum_{s=j+1}^{k+m-1} \frac{(x_s - t)^{m-2} (x_s - x_{k+m})}{\omega'_k(x_s)}. \quad (1.1.26)$$

Умножим (1.1.25) на  $(x_{k+m} - t)$ , а (1.1.26) — на  $(x_k - t)$ . Учитывая равенство

$$(x_s - x_k)(x_{k+m} - t) - (x_s - x_{k+m})(x_k - t) = (x_s - t)(x_{k+m} - x_k),$$

получаем

$$\begin{aligned} & \frac{(x_{k+m} - t)}{x_{k+m} - x_{k+1}} N_{m-2,k+1}(t) - \frac{(x_k - t)}{x_{k+m-1} - x_k} N_{m-2,k}(t) = \\ & (x_{k+m} - x_k) \sum_{s=j+1}^{k+m-1} \frac{(x_s - t)^{m-1}}{\omega'_k(x_s)} + \frac{(x_{k+m} - t)^{m-1} (x_{k+m} - x_k)}{\omega'_k(x_{k+m})} = \\ & (x_{k+m} - x_k) \sum_{s=j+1}^{k+m} \frac{(x_s - t)^{m-1}}{\omega'_k(x_s)} = N_{m-1,k}(t). \end{aligned}$$

Из произвольности  $j$  вытекает формула (1.1.24). Отметим, что из формулы (1.1.20) вытекает представление

$$N_{0,k}(t) = \begin{cases} 1, & t \in (x_k, x_{k+1}] \\ 0, & t \notin (x_k, x_{k+1}]. \end{cases}$$

Упражнение 2.4.1. Пусть сетка  $\pi$  имеет равноотстоящие узлы  $x_{j+1} = x_j + h$  для любого  $j$ . Используя рекуррентное соотношение (1.1.24), вычислить  $N_{1,k}$ ,  $N_{2,k}$ ,  $N_{3,k}$  в узлах сетки.

Упражнение 2.4.2. Доказать, что для сетки  $\pi$  с равноотстоящими узлами кривая  $N_{3,k}(t)$  симметрична относительно прямой  $t = x_{k+2}$

$$N_{3,k}(x_{k+2} - \tau) = N_{3,k}(x_{k+2} + \tau) \quad (0 < \tau < 2h).$$

Упражнение 2.4.3. Написать рекуррентное соотношение для сплайнов  $B_{m-1,k}(t)$ .

В заключении отметим, что из (1.1.17) для нормированных сплайнов имеет место формула дифференцирования

$$\frac{d}{dt} N_{m-1,k}(t) = \frac{m-1}{x_{k+m-1} - x_k} N_{m-2,k}(t) - \frac{m-1}{x_{k+m} - x_{k+1}} N_{m-2,k+1}(t). \quad (1.1.27)$$

Нормированные В-сплайны удобно использовать при вычислениях.

## Вычисление значений полиномиального сплайна дефекта 1

Пусть на промежутке  $[a, b]$  задана сетка

$$\Delta_n : a = x_0 < x_1 < \cdots < x_{n+1} = b. \quad (1.1.28)$$

Рассмотрим пространство  $S(\Delta_n, m-1, 1)$  полиномиальных сплайнов степени  $m-1$  дефекта 1 на сетке  $\Delta_n$ . Известно, что размерность этого пространства равна  $m+n$ .

Дополним сетку  $\Delta_n$  узлами

$$x_{1-m} < x_{2-m} < \cdots < a, \quad b < x_{n+2} < \cdots < x_{n+m-1}.$$

Расширенную сетку обозначим через  $\bar{\Delta}_n$ .

Нормированные В-сплайны

$$N_{m-1,1-m}(t), N_{m-1,2-m}(t), \cdots, N_{m-1,n}(t) \quad (-\infty < t < \infty)$$

образуют базис в пространстве  $S(\bar{\Delta}_n, m-1, 1)$ . Поэтому любой элемент  $S \in S(\bar{\Delta}_n, m-1, 1)$  представим в виде

$$S = \sum_{k=1}^{m+n-1} c_k N_{m-1,k-m}(t).$$

Рассмотрим вопрос о вычислении  $S(t)$ . Зафиксируем  $j \in (0, 1, \cdots, n)$ . При фиксированном  $t \in I_j = (x_j, x_{j+1}]$  для всех целых  $i \leq j-n$  и  $i \geq j+1$

$$N_{m-1,i}(t) = 0.$$

Поэтому при  $t \in (x_j, x_{j+1}]$  из (1.1.26) имеем

$$S(t) = \sum_{k=j+1}^{j+m} c_k N_{m-1,k-m}(t).$$

С другой стороны, если дополнить сетку  $\Delta_n$  до бесконечной сетки (см. (1.1.11)), то с учетом финитности  $N_{m-1,i}$  можно записать

$$S(t) = \sum_{k=-\infty}^{\infty} c_k N_{m-1,k-m}(t) \quad (t \in I_j). \quad (1.1.29)$$

Здесь  $c_k = 0$  при  $k < j+1$  и  $k > j+m$ .

Используя рекуррентную формулу (1.1.24), имеем

$$S(t) = \sum_k c_k \left[ \frac{t - x_{k-m}}{x_{k-1} - x_{k-m}} N_{m-2, k-m}(t) + \frac{x_k - t}{x_k - x_{k-m+1}} N_{m-2, k-m+1}(t) \right] \quad (t \in I_j).$$

Производя теперь в последней сумме перегруппировку слагаемых, нетрудно получить

$$S(t) = \sum_k c_k^{[1]} N_{m-2, k-m}(t),$$

где

$$c_k^{[1]} = \frac{t - x_{k-m}}{x_{k-1} - x_{k-m}} c_k + \frac{x_{k-1} - t}{x_{k-1} - x_{k-m}} c_{k-1}.$$

Продолжая эту процедуру, приходим к представлению

$$S(t) = \sum_k c_k^{[p]}(t) N_{m-1-p, k-m}(t), \quad (1.1.30)$$

где

$$c_k^{[p]}(t) = \begin{cases} c_k, & p = 0 \\ \frac{t - x_{k-m}}{x_{k-p} - x_{k-m}} c_k^{[p-1]} + \frac{x_{k-p} - t}{x_{k-p} - x_{k-m}} c_{k-1}^{[p-1]}, & p > 0. \end{cases} \quad (1.1.31)$$

Легко видеть, что  $c_k^{[p]}(t)$  является полиномом степени  $p$  относительно  $t$ . При  $p = m-1$  из (1.1.30) имеем

$$S(t) = \sum_k c_k^{[m-1]}(t) N_{0, k-m}(t), \quad (1.1.32)$$

где при  $t \in (x_j, x_{j+1}]$

$$N_{0, k-m}(t) = \begin{cases} 1, & k - m = j \\ 0, & k - m \neq j. \end{cases}$$

Таким образом, из суммы (1.1.32) остается одно слагаемое, и мы получаем

$$S(t) = c_{j+m}^{[m-1]}(t), \quad t \in (x_j, x_{j+1}]. \quad (1.1.33)$$

Очевидно, что при  $1 \leq p \leq m-1$   $c_k^{[p]}(t)$  является выпуклой линейной комбинацией  $c_k^{[p-1]}$  и  $c_{k-1}^{[p-1]}$ , т.е. коэффициенты при этих величинах в (1.1.32) неотрицательны и их сумма равна 1. Значит, если при определении  $c_k^{[p-1]}$  и  $c_{k-1}^{[p-1]}$  допущена ошибка, не превосходящая по абсолютной величине некоторого  $\epsilon > 0$ , то величина  $c_k^{[p]}$  будет вычислена с ошибкой, также не превосходящей по модулю  $\epsilon$ .



Величины  $c_k^{[p]}$ , определяемые соотношением (1.1.31), удобно расположить в виде таблицы (треугольной)

$$\begin{array}{ccccccc}
 c_{j+1}^{[0]}(t) & & & & & & \\
 c_{j+2}^{[0]}(t) & c_{j+2}^{[1]}(t) & & & & & \\
 \vdots & \vdots & & & & & \\
 c_{j+m-2}^{[0]}(t) & c_{j+m-2}^{[1]}(t) & \cdots & & & & \\
 c_{j+m-1}^{[0]}(t) & c_{j+m-1}^{[1]}(t) & \cdots & c_{j+m-1}^{[m-2]}(t) & & & \\
 c_{j+m}^{[0]}(t) & c_{j+m}^{[1]}(t) & \cdots & c_{j+m}^{[m-2]}(t) & c_{j+m}^{[m-1]}(t) & & 
 \end{array}$$

которая при вычислениях заполняется по столбцам слева направо.

Единственный элемент, стоящий в последнем столбце, и есть искомое значение  $S(t)$ . Поскольку нет необходимости хранить  $c_k^{[p-1]}(t)$  после того, как вычислены  $c_k^{[p]}(t)$ , то можно записать эти величины на место  $c_k^{[p-1]}(t)$ .

Таким образом, для вычисления  $S(t)$  по формуле (1.1.33) можно применить следующий алгоритм:

Шаг 0. Определить такое  $j$ , что  $x_j < t \leq x_{j+1}$ .

Шаг 1. Положить  $d_k = c_k$  ( $k = j + 1, j + 2, \dots, j + m$ ).

Шаг 2. Для  $p = 1, 2, \dots, m - 1$  выполнить шаг 3.

Шаг 3. Для  $k = j + p + 1, \dots, j + m - 1$  заменить  $d_k$  на

$$\frac{t - x_{k-m}}{x_{k-p} - x_{k-m}} d_k + \frac{x_{k-p} - t}{x_{k-p} - x_{k-m}} d_{k-1}$$

Шаг 4. Положить  $S(t) = d_{j+m}$ .

Упражнение 2.5.1. Предположим, что коэффициенты  $c_k$  известны.

Вычислить интеграл

$$\int_a^b S(t) dt.$$

## Одновременное вычисление значений сплайнов и его производных

Пусть  $S(t)$  задан в виде (1.1.29) и в точке  $t$  требуется вычислить

$$S(t), S'(t), S''(t), \dots, S^{(p)}(t).$$

Продифференцируем (1.1.29), учитывая формулу дифференцирования нормированных сплайнов (1.1.28):

$$\begin{aligned} S'(t) &= \sum_k c_k N'_{m-1,k+m}(t) = \\ &= (m-1) \sum_k c_k \left[ \frac{N_{m-2,k-m}}{x_{k-1} - x_{k-m}} - \frac{N_{m-2,k-m+1}}{x_k - x_{k-m+1}} \right]. \end{aligned}$$

Перегруппируем члены, собирая слагаемые, содержащие  $N_{m-2,i}$ . Получим

$$\begin{aligned} S'(t) &= (m-1) \sum_k \left[ \frac{c_k}{x_{k-1} - x_{k-m}} - \frac{c_{k-1}}{x_{k-1} - x_{k-m}} \right] N_{m-2,k-m}(t) = \\ &= (m-1) \sum_k \bar{c}_k^{[1]} N_{m-2,k-m}(t), \end{aligned}$$

где

$$\bar{c}_k^{[1]} = \frac{c_k - c_{k-1}}{x_{k-1} - x_{k-m}}.$$

Совершенно аналогично получаем

$$S^{(p)}(t) = (m-1) \cdots (m-p) \sum_k \bar{c}_k^{[p]} N_{m-p-1,k-m}(t), \quad (1.1.34)$$

где  $\bar{c}_k^{[p]}$  вычисляются из рекуррентных соотношений

$$\bar{c}_k^{[p]} = \begin{cases} c_k, & p = 0 \\ \frac{\bar{c}_k^{[p-1]} - \bar{c}_{k-1}^{[p-1]}}{x_{k-p} - x_{k-m}}, & m > p > 0. \end{cases} \quad (1.1.35)$$

Легко написать алгоритм отыскания  $\bar{c}_k^{[p]}$ . Для одновременного вычисления

$S(t), S'(t), \dots, S^{(p)}(t)$  удобно ввести в рассмотрение верхнетреугольную матрицу

$$\begin{array}{cccccc}
N_{0,j}(t) & N_{1,j-1}(t) & N_{2,j-2}(t) & \cdots & N_{m-2,j-m+2}(t) & N_{m-1,j-m+1}(t) \\
N_{1,j}(t) & N_{2,j-1}(t) & \cdots & N_{m-2,j-m+3}(t) & N_{m-1,j-m+2}(t) & \\
N_{2,j}(t) & \cdots & N_{m-2,j-m+4}(t) & N_{m-1,j-m+3}(t) & & \\
& & \vdots & \vdots & & \\
& & & N_{m-2,j}(t) & N_{m-1,j-1}(t) & \\
& & & & & N_{m-1,j}(t).
\end{array} \tag{1.1.36}$$

Для вычисления производной  $S^{(p)}(t)$  используются лишь элементы  $(m - p - 1)$  столбца этой матрицы и числа  $\bar{c}_k^{[p]}$ . Выписанную матрицу при фиксированном  $j$  можно интерпретировать как двумерный массив  $N(r, q)$ , где

$$N(r, q) = N_{r-1, j-r+q}(t), \quad r = 1, \dots, m; \quad q = 1, \dots, r, \tag{1.1.37}$$

$$N(r, q) = 0, \quad r < q < 1. \tag{1.1.38}$$

Очевидно, имеем (полагая  $m = r + 1, k = j + q - (r + 1)$ )

$$t - x_k = t - x_{j+1} - (r - q + 2) = B(r - q + 2),$$

$$x_{k+m} - t = x_{j+q} - t = A(q),$$

$$x_{k+m-1} - x_k = x_{j+q-1} - x_{j-(r+1)-q} = A(q - 1) + B(r - q + 2),$$

$$x_{k+m} - x_{k+1} = x_{j+q} - x_{j-r+q} = A(q) + B(r - q + 1).$$

Поэтому рекуррентное соотношение (1.1.24) можно переписать как

$$\begin{aligned}
N(r + 1, q) &= B(r - q + 2) \frac{N(r, q - 1)}{A(q - 1) + B(r - q + 2)} + \\
&+ A(q) \frac{N(r, q)}{A(q) + B(r - q + 1)},
\end{aligned} \tag{1.1.39}$$

т.е.  $N(r + 1, q)$  вычисляется через  $N(r, q - 1), N(r, q)$ . Поэтому таблицу удобно заполнять последовательно по столбцам, следуя алгоритму:

Шаг 1. Определить  $j$  так, чтобы  $x_j < t \leq x_{j+1}$ .

Шаг 2. Положить  $N(1, 1) = 1$ .

Шаг 3. Для  $r = 1, \dots, m - 1$  выполнить шаги 3 - 8.

Шаг 4. Положить  $A(r) = x_{j-r} - t$ ,  $B(r) = t - x_{j+1-r}$ .

Шаг 5. Положить  $N(r, q) = 0$  для  $q > r$ .

Шаг 6. Для  $q = 1, \dots, r$  выполнить шаги 7 - 9.

Шаг 7. Положить

$$M = \frac{N(r, q)}{A(q) - B(r + 1 - q)}.$$

Шаг 8. Положить  $N(r + 1, q) = N(r + 1, q) + A(q)M$ .

Шаг 9. Положить  $N(r + 1, q + 1) = B(r + 1 - q)M$ .

## 1.2 Эквивалентные нормы в пространствах сплайнов

Пространство сплайнов конечномерно и, следовательно, в нем все нормы эквивалентны. В ряде задач бывает важно установить оценки, которые связывают различные нормы.

Здесь мы установим соотношения эквивалентности между нормами шкал  $L_p[a, b]$  и  $W_p^s[a, b]$  в пространствах сплайнов на равномерных сетках.

Пусть  $\Delta_n$  — равномерное разбиение отрезка  $[a, b]$  с шагом  $h = (b - a)/n$ .

**Лемма 3** *Найдется такая константа  $C = C(m)$ , что для любого разбиения  $\Delta_n$  и любой функции  $u \in S(\Delta_n, m - 1, 1)$*

$$\|u\|_{L_\infty[a, b]} \leq Ch^{-1/2} \|u\|_{L_2[a, b]}. \quad (1.2.1)$$

**Доказательство.** Пусть  $u \in S(\Delta_n, m - 1, 1)$ , а  $I_i = [x_i, x_{i+1}]$  — произвольный отрезок разбиения  $\Delta_n$ . На  $I_i$  функция  $u$  — полином степени не выше  $m - 1$ . Отображение  $g(\tau) = x_i + \tau h$  переводит отрезок  $[0, 1]$  в  $I_i$ . Поэтому

$$\|u\|_{L_\infty(I_i)} = \|u(x_i + \tau h)\|_{L_\infty[0, 1]} \quad (1.2.2)$$

Функция  $u(x_i + \tau h)$  — полином степени не выше  $m - 1$  по аргументу  $\tau \in [0, 1]$ . В пространстве полиномов степени, не превосходящей  $m - 1$ , все нормы эквивалентны. Поэтому существует такое  $C > 0$ , что

$$\begin{aligned} \|u(x_i + \tau h)\|_{L_\infty[0,1]} &\leq C \left[ \int_0^1 |u(x_i + \tau h)|^2 d\tau \right]^{1/2} \\ &= Ch^{-1/2} \left[ \int_{x_i}^{x_i+1} |u(t)|^2 dt \right]^{1/2} \leq \\ &\leq Ch^{-1/2} \|u\|_{L_2(I_i)} \leq Ch^{-1/2} \|u\|_{L_2[a,b]}. \end{aligned} \quad (1.2.3)$$

Из (1.2.3) и (1.2.2) вытекает утверждение леммы 3.

**Лемма 4** *Существует такая константа  $C_1 = C_1(m)$ , что для любого  $\Delta_n$  и любой функции  $u \in S(\Delta_n, m - 1, k)$  ( $k < m - 1$ )*

$$\|u^{(j+1)}\|_{L_2[a,b]} \leq C_1 h^{-1} \|u^{(j)}\|_{L_2[a,b]} \quad (j = 0, 1, \dots, m - 1). \quad (1.2.4)$$

Здесь  $u^{(s)}$  — производная функции  $u$  порядка  $s$ .

**Доказательство.** Вновь воспользуемся сжатием  $q$  отрезка  $[0, 1]$ . Имеем

$$\begin{aligned} \|u^{(j+1)}\|_{L_2(I_i)} &= \left\| \frac{d}{dt} u^{(j)} \right\|_{L_2(I_i)} = \\ &= \left( h \int_0^1 \left| \frac{d}{d\tau} u^{(j)}(x_i + \tau h) \right|^2 d\tau \right)^{1/2} = \\ &= \left( h \int_0^1 1/h^2 \left| \frac{d}{d\tau} u^{(j)}(x_i + \tau h) \right|^2 d\tau \right)^{1/2}. \end{aligned} \quad (1.2.5)$$

Линейный оператор  $\frac{d}{d\tau}$  в пространстве полиномов степени не выше  $m - 1$  ограничен. Поэтому

$$\begin{aligned} &\left( \int_0^1 \left| \frac{d}{d\tau} u^{(j)}(x_i + \tau h) \right|^2 d\tau \right)^{1/2} \leq \\ &\leq C \left( \int_0^1 |u^{(j)}(x_i + \tau h)|^2 d\tau \right)^{1/2} = \\ &= Ch^{-1/2} \left[ \int_{x_i}^{x_i+1} |u^{(j)}(t)|^2 dt \right]^{1/2}. \end{aligned} \quad (1.2.6)$$

Отсюда и из (1.2.5) получаем, что для функции  $u$  и на любом отрезке  $I_i$  справедливо неравенство

$$\|u^{(j+1)}\|_{L_2(I_i)} \leq \frac{C}{h} \|u^{(j)}\|_{L_2(I_i)}. \quad (1.2.7)$$

Из последнего неравенства и вытекает утверждение леммы 4.

Будем считать теперь, что разбиение  $\Delta_n$  произвольно.

**Лемма 5** *Для любого частичного промежутка  $I_i$  произвольного разбиения  $\Delta_n$  и любого полинома  $u$  степени  $m - 1$  справедлива оценка*

$$\|u^{(j+1)}\|_{L_\infty(I_i)} \leq \frac{C_2}{h_i} \|u^{(j)}\|_{L_\infty(I_i)} \quad (j = 0, 1, \dots, m - 1), \quad (1.2.8)$$

где  $C_2$  зависит лишь от  $m$ .

Доказательство легко получить по схеме предыдущей леммы.

Из леммы 5 без труда вытекают следующие соотношения эквивалентности норм для функций  $u \in S(\Delta_n, m - 1, 1)$

$$C_1 \|u\|_{L_2[a,b]} \leq \|u\|_{L_\infty[a,b]} \leq C_2 h^{-1/2} \|u\|_{L_2[a,b]} \quad (1.2.9)$$

$$C_1 \|u\|_{W_2^p[a,b]} \leq \|u\|_{W_2^{p+1}[a,b]} \leq C_2 h^{-1} \|u\|_{W_2^p[a,b]}, \quad (1.2.10)$$

где  $h = \min h_i$ .

Если  $u \in S(\Delta_n, m - 1, k)$ , то справедливы неравенства

$$C_1 \|u\|_{L_p[a,b]} \leq \|u\|_{L_p[a,b]} \leq C_2 h^{(1/p-1/q)} \|u\|_{L_p[a,b]} \quad (1.2.11)$$

$$C_1 \|u\|_{W_q^s[a,b]} \leq \|u\|_{W_q^{s+l}[a,b]} \leq C_2 h^{-l} \|u\|_{W_q^s[a,b]} \quad (1.2.12)$$

Здесь  $1 \leq p \leq q \leq \infty$ ,  $l \geq 1$ ,  $l, s$  — целые,  $h = \min h_i$ .

### 1.3 О биортогональных базисах в пространствах

$S(\Delta_n, m - 1, 1)$  и  $[S(\Delta_n, m - 1, 1)]^*$

Пусть  $X$  — конечномерное линейное нормированное пространство размерности  $m$  и  $X^*$  — его сопряженное пространство. Пусть  $\varphi_1, \varphi_2, \dots, \varphi_m$  и  $\chi_1, \chi_2, \dots, \chi_m$  — базисы в  $X$  и  $X^*$  соответственно.

**Определение.** Будем говорить, что базисы  $\{\varphi_i\}$  и  $\{\chi_i\}$  — биортогональны, если

$$\langle \chi_i, \varphi_j \rangle = \delta_{ij},$$

где  $\delta_{ij}$  - символ Кронекера.

Пусть задана сетка  $\Delta_n : x_0 = a < x_1 < \dots < x_m = b$ , а  $\overline{\Delta}_n$  — некоторое ее расширение:

$$x_{-m+1} < \dots < x_0 = a < x_1 < \dots < x_{n+1} = b < \dots < x_{n+m}.$$

Обозначим через  $[a', b']$  некоторый промежуток, содержащий сетку  $\overline{\Delta}_n$ .

Рассмотрим пространство  $S(\overline{\Delta}_n, m-1, 1)$  и в качестве базиса возьмем множество нормированных В-сплайнов, отличных от нуля на  $[a, b]$ . Элементы сопряженного базиса будем искать в виде

$$\langle \mu_i, f \rangle = \int_{x_i}^{x_{i+m}} \lambda_i(t) f(t) dt.$$

Функции  $\lambda_i$  достаточно определить так, чтобы

$$\int_{x_i}^{x_{i+m}} \lambda_i(t) N_{m-1,j}(t) dt = \delta_{ij}. \quad (1.3.1)$$

Введем обозначения

$$\psi_i(t) = (t - x_{i+1}) \cdots (t - x_{i+m-1}) / (m-1)!,$$

$$\psi_i^+(t) = (t - x_{i+1})_+ \cdots (t - x_{i+m-1})_+ / (m-1)! \quad (1.3.2)$$

Заметим, что  $\psi_i^+$  обращается в нуль во всех узлах  $x_s$  ( $s < i+m$ ) разбиения.

Отсюда следует одно интересное свойство разделенных разностей функций  $\psi_i^+$ .

**Лемма 6** *Имеет место равенство*

$$\psi_i^+(x_j, x_{j+1}, \dots, x_{j+m}) = \frac{\delta_{ij}}{(m-1)!(x_{i+m} - x_i)}. \quad (1.3.3)$$

**Доказательство.** При  $s = j, j+1, \dots, j+m$  и  $j < i$ , как отмечалось выше,  $\psi_i^+(x_s) = 0$ , и, следовательно,

$$\psi_i^+(x_j, \dots, x_{j+m}) = 0.$$

Пусть теперь  $j > i$ . Тогда при вычислении разделенной разности  $\psi_i^+(x_j, \dots, x_{j+m})$  используются узлы  $x_j, \dots, x_{j+m} \geq x_{i+1}$ . Легко заметить, что в этих узлах функция  $\psi_i^+$  совпадает с функцией  $\psi_i$ , которая является полиномом степени  $m-1$ . Поэтому

$$\psi_i^+(x_j, \dots, x_{j+m}) = \psi_i(x_j, \dots, x_{j+m}) = 0.$$

Таким образом, при  $i \neq j$ :  $\psi_i^+(x_j, \dots, x_{j+m}) = 0$ .

При  $i = j$  нас интересуют узлы  $x_i, x_{i+1}, \dots, x_{i+m}$ . Функция  $\psi_i^+$  отлична от нуля лишь в узле  $x_{i+m}$ . Легко заметить, что в этих узлах ее значения совпадают со значениями полинома

$$F(t) = \psi_i(t) \frac{t - x_i}{x_{i+m} - x_i}$$

степени  $m - 1$ . Поэтому разделенные разности  $F(x_i, \dots, x_{i+m})$  и  $\psi_i^+(x_i, \dots, x_{i+m})$  совпадают. Осталось лишь заметить, что коэффициент при старшей степени у полинома  $F$  равен  $1/((m - 1)!(x_{i+m} - x_i))$ . Отсюда и следует, что при  $j = i$

$$\psi_i^+(x_i, \dots, x_m) = \frac{1}{(m - 1)!(x_{i+m} - x_i)}.$$

Лемма доказана.

Если некоторая функция  $f(t)$  в узлах сетки (расширенной)  $\bar{\Delta}_n$  совпадает с  $\psi_i^+$ , то в силу (1.3.3)

$$(m - 1)!(x_{i+m} - x_i)f(x_j, x_{j+1}, \dots, x_{j+m}) = \delta_{ij}. \quad (1.3.4)$$

Допустим, что мы построили такую  $m$  раз непрерывно дифференцируемую функцию  $f(t)$ . Тогда, используя формулу Тейлора, представим ее в виде

$$f(t) = \sum_{s=0}^{m-1} \frac{f^{(s)}(a')(t - a')^s}{s!} + \frac{1}{(m - 1)!} \left( \int_{a'}^{b'} (t - \tau)^{m-1} + f^{(m)}(\tau) \right) d\tau.$$

Далее, из (1.3.4), (1.1.2), (1.1.10), (1.1.19) следует, что

$$\begin{aligned} \delta_{ij} &= (m - 1)!f(x_j, x_{j+1}, \dots, x_{j+m})(x_{i+m} - x_i) \equiv \\ &\equiv \int_{a'}^{b'} N_{m-1,j}(\tau)f^{(m)}(\tau)d\tau. \end{aligned} \quad (1.3.5)$$

Из (1.3.5) вытекает следующее утверждение

**Лемма 7** Пусть  $m$  раз непрерывно дифференцируемая функция  $f_i$  совпадает в узлах сетки  $\bar{\Delta}_n$  с функцией  $\psi_i^+$ . Тогда для  $\lambda_i = f_i^{(m)}$  будет справедливо соотношение

$$\int_{a'}^{b'} \lambda_i(t)N_{m-1,j}(t) dt = \delta_{ij}.$$



Действительно, если определить функцию  $f_i \in C_m[a', b']$  так, чтобы

$$f_i(t) = \begin{cases} 0, & t \leq x_i \\ 0, & t = x_{i+1}, \dots, x_{i+m-1} \\ \psi_i(t), & t \geq x_{i+m} \end{cases}$$

то носитель  $\lambda_i = f_i^{(m)}$  будет принадлежать промежутку  $[x_i, x_{i+m}]$  и, следовательно, будут иметь место формулы (1.3.2).

В качестве  $f_i$  можно взять любую функцию вида

$$f_i = G_i(t)\psi_i(t), \quad (1.3.6)$$

где  $G_i \in C_m[a', b']$  и

$$G_i = \begin{cases} 0, & t \leq x_i \\ 1, & t \geq x_{i+m}. \end{cases} \quad (1.3.7)$$

Например,  $G_i = H\left(\frac{t - x_i}{x_{i+m} - x_i}\right)$ , где

$$H(\tau) = \begin{cases} 0, & \tau \leq 0 \\ \int_0^\tau e^{\frac{1}{t(t-1)}} dt \Big/ \int_0^1 e^{\frac{1}{t(t-1)}} dt, & 0 < \tau \leq 1 \\ 1, & \tau \geq 1 \end{cases} \quad (1.3.8)$$

Заметим, что все производные  $H^s$  ( $s = 0, 1, \dots, m$ ) равномерно ограничены на числовой прямой. Отсюда легко вытекает существование такой универсальной константы  $C > 0$ , что при  $t \in [a', b']$

$$|G_i(t)| \leq C, \quad |G_i'(t)| \leq \frac{C}{x_{i+m} - x_i}, \quad |G_i''(t)| \leq \frac{C}{(x_{i+m} - x_i)^2}.$$

и т.д.

Заметим, что при  $t \in (x_i, x_{i+m})$  для некоторой константы  $C > 0$

$$\begin{aligned} |\psi_i(t)| &\leq C(x_{i+m} - x_i)^{m-1}, \quad |\psi_i'(t)| \leq C(x_{i+m} - x_i)^{m-2}, \\ |\psi_i''(t)| &\leq C(x_{i+m} - x_i)^{m-3}, \end{aligned}$$

и т.д.

Используя эти оценки, простым подсчетом легко получить, что при  $t \in (x_i, x_{i+m})$  для некоторой константы  $C > 0$  имеем

$$|f_i(t)| \leq C(x_{i+m} - x_i)^{m-1}, \quad |f_i'(t)| \leq C(x_{i+m} - x_i)^{m-2}, \quad \dots$$

$$|f_i^{(m)}(t)| \leq \frac{C}{(x_{i+m} - x_i)}.$$

Отсюда следует, что при  $t \in (x_i, x_{i+m})$

$$|\lambda_i(t)| = |f_i^{(m)}(t)| \leq \frac{C}{(x_{i+m} - x_i)}.$$

Поэтому

$$|\langle \mu_i, f \rangle| = \left| \int_{x_i}^{x_{i+m}} \lambda_i(t) f(t) dt \right| \leq C \|f\|_{C[x_i, x_{i+m}]},$$

и следовательно, для некоторой константы  $C > 0$

$$\|\mu_i\|_{L_\infty} < C \quad (i = -m + 1, -m + 2, \dots, n). \quad (1.3.9)$$

Здесь  $C$  не зависит от разбиения  $\Delta_n$ . Лемма доказана.

**Теорема 4** *Существуют такие функции  $\lambda_i \in C[a', b']$  ( $i = -m + 1, \dots, n$ ) и константа  $C_1 = C_1(m)$ , что для любого нормированного сплайна*

$$N_{m-1,j} \quad (j = -m + 1, -m + 2, \dots, n)$$

*справедливы соотношения*

$$\langle \mu_i, N_{m-1,j} \rangle = \int_{x_i}^{x_{i+m}} \lambda_i(t) N_{m-1,j}(t) dt = \delta_{i,j}, \quad (1.3.10)$$

*причем*

$$\|\mu_i\|_{L_\infty} = \int_{x_i}^{x_{i+m}} |\lambda_i(t)| dt \leq C_1. \quad (1.3.11)$$

Аналогичный результат имеет место и в пространстве  $L_2[a', b']$ .

Пусть  $N_{m-1,i}^{(2)}$  ( $i = -m + 1, \dots, n$ ) — В-сплайны, нормированные на 1 в  $L_2[a', b']$ .

**Теорема 5** *Существуют такие функции  $\lambda_i^{(2)}(t) \in C[a', b']$ , что*

$$\langle \mu_i^{(2)}, N_{m-1,j}^{(2)} \rangle = \int_{x_i}^{x_{i+m}} \lambda_i^{(2)}(t) N_{m-1,j}^{(2)}(t) dt = \delta_{i,j}, \quad (1.3.12)$$

*причем*

$$\|\mu_i^{(2)}\|_{L_2} = \left( \int_{x_i}^{x_{i+m}} \lambda_i^{(2)}(t) N_{m-1,j}^{(2)}(t) dt \right)^{1/2} = \delta_{i,j}. \quad (1.3.13)$$

**Доказательство.** Положим

$$\lambda_i^{(2)} = \lambda_i(t) \|N_{m-1,i}\|_C / \|N_{m-1,i}^{(2)}\|_C.$$

Легко подсчитать, что

$$\begin{aligned} \|\lambda_i^{(2)}\|_C &= \|\lambda_i\|_C \frac{\|N_{m-1,i}\|_C}{\|N_{m-1,i}^{(2)}\|_C} \leq \\ &\leq \|\lambda_i\|_C / \|N_{m-1,i}^{(2)}\|_C \leq \frac{C}{(x_{i+m} - x_i) \|N_{m-1,i}^{(2)}\|_C}. \end{aligned}$$

Нетрудно заметить, что

$$\|N_{m-1,i}^{(2)}\|_C \geq C_4 (x_{i+m} - x_i)^{-1/2} \quad (C_4 > 0).$$

Поэтому

$$\|\lambda_i^{(2)}(t)\|_C \leq \frac{C}{(x_{i+m} - x_i)^{1/2}}.$$

Отсюда и следует оценка (1.3.13).

## 1.4 Теоремы Карла де Бора о сплайновых аппроксимациях

Конструкция биортогональных базисов позволяет установить существование сплайн-приближений функций, обладающих высокой точностью.

Будем рассматривать гладкие функции  $g \in C^{(k)}[a, b]$ . Мы предполагаем, что  $g$  продолжена на  $(-\infty, a)$ ,  $(b, \infty)$  полиномами степени  $k$  с центрами в точках  $a$  и  $b$  соответственно с сохранением гладкости.

**Теорема 6** *Существует такая константа  $C = C(m)$ , что для любой функции  $g \in C[a, b]$  и для любого разбиения  $\Delta_n$  отрезка  $[a, b]$  найдется такая функция  $g_\Delta \in S(\overline{\Delta}_n, m-1, 1)$ , что для любого частичного отрезка  $I_i = [x_i, x_{i+1}] \subset [a, b]$*

$$\|g - g_\Delta\|_{C[x_i, x_{i+1}]} \leq C \operatorname{dist}_{C[x_{i-m+1}, x_{i+m}]}(g, P_{m-1}), \quad (1.4.1)$$

где  $P_{m-1}$  — пространство полиномов степени не выше  $m-1$ .

**Доказательство.** Пусть  $\mu_s$  — введенные в предыдущем параграфе функционалы, биортогональные  $N_{m-1,j}$ .

Рассмотрим линейный оператор

$$Ag = \sum_{s=1-m}^n \langle \mu_s, g \rangle N_{m-1,s}(t).$$

Из теоремы 5 легко вывести, что если  $g \in S(\Delta_n, m-1, 1)$ , то  $Ag = g$ , т.е.  $A$  — проектор на  $S(\Delta_n, m-1, 1)$ . В частности,  $Ap = p$  для любого полинома  $p \in P_{m-1}$  степени не выше  $m-1$ . Отсюда для  $p \in P_{m-1}$  получаем

$$g - Ag = (g - p) + (p - Ag) = (g - p) - A(p - g).$$

Зафиксируем отрезок  $I_i = [x_i, x_{i+1}]$ . Имеем

$$\|g - Ag\|_{C[x_i, x_{i+1}]} \leq \|g - p\|_{C[x_i, x_{i+1}]} + \|A(p - g)\|_{C[x_i, x_{i+1}]}.$$
 (1.4.2)

На отрезке  $[x_i, x_{i+1}]$  отличны от нуля лишь сплайны

$N_{m-1, i-m+1}, \dots, N_{m-1, i}$ . Поэтому для  $t \in [x_i, x_{i+1}]$

$$A(p - g)(t) = \sum_{s=i-m+1}^i \langle \mu_s, p - g \rangle N_{m-1,s}(t).$$

Заметим далее, что  $\text{supp } \mu_s \in [x_s, x_{s+m}]$  и, следовательно,

$$|\langle \mu_s, p - g \rangle| \leq \|\mu_s\|_{L_\infty} \|p - g\|_{C[x_s, x_{s+m}]}.$$

Так как  $s = i - m + 1, \dots, i$ , то  $[x_s, x_{s+m}] \in I_i^*$  и, следовательно, при всех  $s = i - m + 1, \dots, i$  для некоторого  $C > 0$

$$|\langle \mu_s, p - g \rangle| \leq C \|p - g\|_{C[x_{i-m+1}, x_{i+m}]}.$$

Из последнего соотношения следует, что

$$\|A(p - g)\|_{C[x_i, x_{i+1}]} \leq \max_s |\langle \mu_s, p - g \rangle| \max_s N_{m-1,s}(t).$$
 (1.4.3)

Используя (1.4.3) и (1.4.2), легко вывести, что

$$\|g - Ag\|_{C[x_i, x_{i+1}]} \leq (1 + C_1) \|g - p\|_{C[x_{i-m+1}, x_{i+m}]}$$

для произвольного  $p \in P_{m-1}$ . Теорема 6 доказана.

Будем теперь рассматривать гладкие функции  $g \in C^{(k)}[a, b]$ . Продолжим их на всю числовую ось, полагая

$$\bar{g}(t) = \begin{cases} \sum_{i=0}^k \frac{g^{(i)}(a)}{i!} (t-a)^i, & t \leq a \\ \sum_{i=0}^k \frac{g^{(i)}(b)}{i!} (t-b)^i, & t \geq b. \end{cases}$$

**Теорема 7** Пусть  $\Delta_n$  — произвольное разбиение промежутка  $[a, b]$ , удовлетворяющее условию  $LR$  с константами  $C_1$  и  $C_2$  (т.е.  $C_1 \leq h_i/h_{i+1} \leq C_2$ ).

Тогда найдется такая константа  $C_3 > 0$ , что для любой функции  $g \in C^{(l+1)}[a, b]$  ( $0 \leq l \leq m-1$ ) можно указать такой сплайн  $g_\Delta \in S(\overline{\Delta}_n, m-1, 1)$ , что для любого частичного отрезка  $[x_j, x_{j+1}]$  и любого  $i = 0, 1, \dots, \min(l+1, m-1)$  будет справедлива оценка

$$\left\| \frac{d^i}{dt^i} (g - g_\Delta) \right\|_{C[x_j, x_{j+1}]} \leq C_3 h_j^{l+1-i} \left\| g^{(l+1)} \right\|_{C[x_{j-m+1}, x_{j+m}]} . \quad (1.4.4)$$

**Доказательство.** Установим (1.4.4) вначале при  $i = 0$ . Зафиксируем произвольный отрезок  $[x_j, x_{j+1}]$ . Обозначим через  $P_{j,l}(t)$  полином Тейлора степени  $l$  функции  $g(t)$  с некоторым центром разложения в точке  $x_j$ . Имеем

$$g(t) = P_{j,l}(t) + \frac{1}{l!} \int_{x_j}^t (t-s)^l g^{(l+1)}(s) ds. \quad (1.4.5)$$

Отсюда тотчас же следует, что

$$\|g - P_{j,l}\|_{C[x_{j-m+1}, x_{j+m}]} \leq Ch^{l+1} \|g^{(l+1)}\|_{C[x_{j-m+1}, x_{j+m}]} .$$

Поэтому

$$\text{dist}_{C[x_{j-m+1}, x_{j+m}]} \|g - P_{m-1}\| \leq Ch^{l+1} \|g^{(l+1)}\|_{C[x_{j-m+1}, x_{j+m}]} .$$

Отсюда и из теоремы 6 получаем существование такой функции  $g_\Delta \in S(\Delta_n, m-1, 1)$ , что

$$\|(g - g_\Delta)\|_{C[x_j, x_{j+1}]} \leq Ch^{l+1} \|g^{(l+1)}\|_{C[x_{j-m+1}, x_{j+m}]} . \quad (1.4.6)$$

Перейдем теперь к изучению приближений производных. Из (1.4.5) и (1.4.6) вытекает, что для некоторого  $C_3 > 0$

$$\|g_\Delta - P_{j,l}\|_{C[x_j, x_{j+1}]} \leq C_3 h_j^{l+1} \|g^{(l+1)}\|_{C[x_{j-m+1}, x_{j+m}]} . \quad (1.4.7)$$

Теперь заметим, что  $g_\Delta - P_{j,l}$  на отрезке  $[x_j, x_{j+1}]$  — полином степени  $\leq m-1$  и поэтому в силу леммы 5 и из (1.4.7) следует, что для  $i = 0, 1, \dots, \min(l+1, m-1)$

$$\left\| \frac{d^i}{dt^i} (P_{j,l} - g_\Delta) \right\|_{C[x_j, x_{j+1}]} \leq Ch_j^{l+1-i} \|g^{(l+1)}\|_{C[x_j, x_{j+1}]} . \quad (1.4.8)$$

Наконец, заметим, что из (1.4.5) следует оценка

$$\left\| \frac{d^i}{dt^i} (g - P_{j,l}) \right\|_{C[x_j, x_{j+1}]} \leq Ch_j^{l+1-i} \|g^{(l+1)}\|_{C[x_j, x_{j+1}]} . \quad (1.4.9)$$

Отсюда и из (1.4.8) немедленно вытекает утверждение теоремы 7.

Приведем некоторое обобщение теоремы 7. Для простоты будем считать, что разбиение  $\Delta_n : x_0 = a < x_1 < \dots < x_{n+1} = b$  целиком содержит хотя бы один отрезок вида  $[x_{j-m+1}, x_{j+m}]$ , т.е.  $n \geq 2m - 2$ . Справедливо следующее уточнение теоремы 7, не требующее перехода к расширенному разбиению  $\bar{\Delta}_n$ .

**Теорема 8** Пусть  $\Delta_n$  — произвольное разбиение промежутка  $[a, b]$ , удовлетворяющее условию LR с константами  $C_1$  и  $C_2$ .

Тогда найдется такая константа  $C_3 > 0$ , что для любой функции  $g \in C^{(l+1)}[a, b]$  ( $0 \leq l \leq m - 1$ ) можно указать такой сплайн  $g_\Delta \in S(\Delta_n, m - 1, 1)$ , что для любого частичного отрезка  $[x_j, x_{j+1}]$  и любого  $i = 0, 1, \dots, \min(l + 1, m - 1)$  будет справедлива оценка

$$\left\| \frac{d^i}{dt^i} (g - g_\Delta) \right\|_{C[x_j, x_{j+1}]} \leq C_3 h_j^{l+1-i} \|g^{(l+1)}\|_{C[I_j^*]}, \quad (1.4.10)$$

где

$$I_j^* = \begin{cases} [x_{j-m+1}, x_{j+m}], & m - 1 < j < n + 1 - m \\ [a, x_{j+m}], & 0 \leq j \leq m - 1 \\ [x_{j-m+1}, b], & n + 1 - m \leq j \leq n + 1. \end{cases}$$

**Доказательство.** Введем в рассмотрение расширенное разбиение  $\bar{\Delta}_n$ . Продолжим функцию  $g(t)$  на всю ось, полагая

$$\bar{g}(t) = \begin{cases} \sum_{i=0}^{l+1} \frac{g^{(i)}(a)}{i!} (t - a)^i, & -\infty < t < a \\ g(t), & a \leq t \leq b \\ \sum_{i=0}^{l+1} \frac{g^{(i)}(b)}{i!} (t - b)^i, & b < t < \infty. \end{cases}$$

Тогда для функций  $\bar{g}(t)$  будет справедлива теорема 7. Согласно этой теореме существует такой сплайн  $\bar{g}_\Delta \in S(\bar{\Delta}_n, m - 1, 1)$ , что

$$\left\| \frac{d^i}{dt^i} (\bar{g} - \bar{g}_\Delta) \right\|_{C[x_j, x_{j+1}]} \leq C_3 h_j^{l+1-i} \|\bar{g}^{(l+1)}\|_{C[x_{j-m+1}, x_{j+m}]}. \quad (1.4.11)$$

Но в силу (1.4.10)

$$\bar{g}^{(l+1)}(t) = g^{(l+1)}(a), \quad t \leq a, \quad (1.4.12)$$

$$\bar{g}^{(l+1)}(t) = g^{(l+1)}(b), \quad t \geq b. \quad (1.4.13)$$

Поэтому

$$\begin{aligned} \|\bar{g}^{(l+1)}\|_{C[x_{j-m+1}, x_{j+m}]} &= \|\bar{g}^{(l+1)}\|_{C[x_{j-m+1}, x_{j+m}] \cap [a, b]} = \\ &= \|\bar{g}^{(l+1)}\|_{C[I_j^*]} = \|g^{(l+1)}\|_{C[I_j^*]}. \end{aligned} \quad (1.4.14)$$

Учитывая, что  $\bar{g} = g$  на  $[a, b]$ , из (1.4.14) и (1.4.11) получаем (1.4.9). Теорема 8 доказана.

## Глава 2

# ИНТЕРПОЛЯЦИОННЫЕ ФОРМУЛЫ ДЛЯ ФУНКЦИЙ С БОЛЬШИМИ ГРАДИЕНТАМИ

### 2.1 Интерполяционные формулы, точные на погранслойной составляющей

#### 2.1.1 Необходимость построения специальных формул

Пусть функция  $u(x)$  достаточно гладкая и имеет декомпозицию в виде суммы регулярной и погранслойной составляющих:

$$u(x) = p(x) + \gamma\Phi(x), \quad x \in [0, 1]. \quad (2.1.1)$$

где функции  $p(x)$  и  $\Phi(x)$  – достаточно гладкие, погранслойная составляющая  $\Phi(x)$  известна, но ее производные не являются равномерно ограниченными, регулярная составляющая  $p(x)$  не задана и имеет ограниченные производные до некоторого порядка, постоянная  $\gamma$  не задана.

Рассмотрим краевую задачу:

$$\varepsilon u''(x) + a(x)u'(x) - b(x)u(x) = f(x), \quad u(0) = A, \quad u(1) = B, \quad (2.1.2)$$

где

$$a(x) \geq \alpha > 0, \quad b(x) \geq 0, \quad \varepsilon > 0,$$



функции  $a(x), b(x), f(x)$  – достаточно гладкие. Согласно [7], решение задачи (2.1.2) содержит экспоненциальную погранслою вблизи точки  $x = 0$  и в представлении (2.1.1) можно задать

$$\Phi(x) = \exp(-a_0 \varepsilon^{-1} x), \quad \gamma = -\varepsilon u'(0)/a_0, \quad a_0 = a(0).$$

Тогда

$$|p^{(j)}(x)| \leq C_0 \left[ \varepsilon^{1-j} \exp(-\alpha \varepsilon^{-1} x) + 1 \right], \quad j \geq 1.$$

Отметим, что под  $C$  и  $C_j$  мы подразумеваем положительные постоянные, не зависящие от  $\varepsilon$  и числа шагов сетки  $N$ .

Заметим, что

$$\Phi'(x) < 0, \quad \Phi''(x) > 0, \quad x \in [0, 1]. \quad (2.1.3)$$

Итак, производная  $p'(x)$  является ограниченной при любом значении параметра  $\varepsilon$ , а  $|\Phi'(x)|$  неограниченно растет с убыванием  $\varepsilon$ .

Пусть функция  $u(x)$  задана в узлах равномерной сетки  $\Omega^h$ :

$$\Omega^h = \{x_n : x_n = x_{n-1} + h, \quad x_0 = 0, \quad x_N = 1, \quad n = 1, 2, \dots, N\}, \quad \Delta_n = [x_{n-1}, x_n],$$

где  $u_n = u(x_n)$ ,  $n = 0, 1, 2, \dots, N$ .

Покажем необходимость построения специальной интерполяции для функций с погранслоевой составляющей.

Зададим  $u(x) = e^{-x/\varepsilon}$ . Оценим погрешность линейной интерполяции в случае такой функции. Пусть  $L_2(u, x)$  – интерполяционный многочлен Лагранжа для интервала  $[x_{n-1}, x_n]$ :

$$L_2(u, x) = (u_n - u_{n-1}) \frac{x - x_{n-1}}{h} + u_{n-1}, \quad x \in \Delta_n.$$

Известно, что для погрешности линейной интерполяции справедлива оценка:

$$|L_2(u, x) - u(x)| \leq \frac{h^2}{8} \max_{s \in \Delta_n} |u''(s)|, \quad x \in [x_{n-1}, x_n].$$

Из этой оценки следует, что если производная  $|u''(x)|$  равномерно ограничена на интервале  $[0, 1]$ , то погрешность интерполяции – величина порядка  $O(h^2)$ , если же производная  $|u''(x)|$  не ограничена равномерно сверху, то погрешность интерполяции может быть существенной. В случае  $u(x) = e^{-\varepsilon^{-1}x}$  производная  $u''(x)$  не является ограниченной на интервале  $[0, 1]$  при малых значениях  $\varepsilon$ . При  $\varepsilon = h$

$L_2(u, h/2) - u(h/2) \approx 0,0774$  для любого малого шага  $h$ . Получили, что погрешность интерполяции не может быть уменьшена при  $\varepsilon = h$  и  $h \rightarrow 0$ .

Таким образом, для функций вида (2.1.1) необходимо строить специальные интерполяционные формулы, погрешность которых не зависит от градиентов интерполируемой функции в пограничном слое.

## 2.1.2 Интерполяционная формула, точная на погранслошной составляющей

В [20] для интерполяции функции вида (2.1.1) построена интерполяционная формула с  $k$  узлами интерполяции:

$$L_{\Phi,k}(u, x) = L_{k-1}(u, x) + \frac{[x_1, \dots, x_k]u}{[x_1, \dots, x_k]\Phi} [\Phi(x) - L_{k-1}(\Phi, x)], \quad (2.1.4)$$

где  $[x_1, \dots, x_k]u$  – разделенная разность для функции  $u(x)$  [26],  $L_k(u, x)$  – многочлен Лагранжа с  $k$  узлами интерполяции  $x_1, x_2, \dots, x_k$ .

Несложно убедиться, что формула (2.1.4) является интерполяционной в узлах  $x_1, x_2, \dots, x_k$  и точной на многочленах степени  $(k - 2)$  и на составляющей  $\gamma\Phi(x)$ . Эта формула определена корректно, если  $\Phi^{(k-1)}(x) \neq 0$ ,  $x \in (0, 1)$ .

В [20] доказана следующая лемма.

**Лемма 1** Пусть

$$M_k(\Phi, x) = \frac{\Phi(x) - L_{k-1}(\Phi, x)}{\Phi(x_k) - L_{k-1}(\Phi, x_k)}. \quad (2.1.5)$$

Тогда

$$\left| L_{\Phi,k}(u, x) - u(x) \right| \leq \max_s |p^{(k-1)}(s)| \left[ |M_k(\Phi, x)| + 1 \right] h^{k-1}. \quad (2.1.6)$$

.

В соответствии с этой леммой, предложенная интерполяционная формула (2.1.4) обладает погрешностью порядка  $O(h^{k-1})$ , если функция  $M_k(\Phi, x)$  является равномерно ограниченной.

**Лемма 2** Пусть

$$\Phi^{(k-1)}(x) > 0, \quad \Phi^{(k)}(x) \geq 0 \quad \text{или} \quad \Phi^{(k-1)}(x) < 0, \quad \Phi^{(k)}(x) \leq 0, \quad x \in (0, 1). \quad (2.1.7)$$

Тогда

$$\left| L_{\Phi,k}(u, x) - u(x) \right| \leq 2 \max_s |p^{(k-1)}(s)| h^{k-1}. \quad (2.1.8)$$

.

**Доказательство.** Рассмотрим первый случай в (2.1.7). Учитывая [26, с. 44], что

$$\Phi(x) - L_{k-1}(\Phi, x) = r_{k-1}(x)[x_1, x_2, \dots, x_{k-1}, x]\Phi, r_{k-1}(x) = (x - x_1)(x - x_2) \cdots (x - x_{k-1}),$$

из (2.1.5) получаем

$$M_k(\Phi, x) = \frac{r_{k-1}(x)[x_1, x_2, \dots, x_{k-1}, x]\Phi}{r_{k-1}(x_k)[x_1, x_2, \dots, x_{k-1}, x_k]\Phi}. \quad (2.1.9)$$

Для некоторого  $s \in (0, 1)$  справедливо соотношение [26]

$$[x_1, x_2, \dots, x_{k-1}, x]\Phi = \Phi^{(k-1)}(s)/(k-1)!. \quad (2.1.10)$$

Учитывая условие  $\Phi^{(k-1)}(x) > 0$ , получаем  $z(x) = [x_1, x_2, \dots, x_{k-1}, x]\Phi > 0$ . Для разделенной разности справедливо соотношение [26]  $z'(x) = [x_1, x_2, \dots, x_{k-1}, x, x]\Phi$ . Учитывая условие  $\Phi^{(k)}(x) \geq 0$  и (2.1.10), получаем  $z'(x) \geq 0$ ,  $x \in [0, 1]$ . Итак, функция  $z(x)$  на интервале  $[0, 1]$  является положительной и возрастающей. Учитывая еще неравенство  $|r_{k-1}(x)| \leq r_{k-1}(x_k)$ , из (2.1.9) получаем, что  $|M_k(\Phi, x)| \leq 1$ . Применяя (2.1.6), получаем утверждение леммы.

Отметим, что оценка (2.1.8) равномерно по погранслошной составляющей  $\Phi(x)$ .

Условия этой леммы выполнены в случае функции  $\Phi(x) = e^{(x-1)/\varepsilon}$ , соответствующей экспоненциальному пограничному слою у правой границы.

Используя соотношение [26, с. 45]

$$L_k(u, x) - L_{k-1}(u, x) = r_{k-1}(x)[x_1, x_2, \dots, x_k]u,$$

интерполяционную формулу (2.1.4) можно записать в виде:

$$L_{\Phi, k}(u, x) = L_k(u, x) + \frac{[x_1, \dots, x_k]u}{[x_1, \dots, x_k]\Phi} [\Phi(x) - L_k(\Phi, x)]. \quad (2.1.11)$$

Из (2.1.11) явно следует, что эта формула является интерполяционной и точной на  $\Phi(x)$ . Хотя эта формула является более сложной в сравнении с (2.1.4), где используется многочлен Лагранжа меньшей степени.

**Замечание 1** Дифференцированием интерполянта  $L_{\Phi, k}(u, x)$  можно получить формулы численного дифференцирования, точные на погранслошной составляющей  $\Phi(x)$ .

**Замечание 2** Рассмотрим вопрос численного интегрирования функции с большими градиентами вида (2.1.1). Пусть  $I(u) = \int_a^b u(x) dx$ . Как показано в [54], применение формул Ньютона-Котеса для вычисления интеграла  $I(u)$  приводит к повышению погрешности этих формул до величины порядка  $O(h)$  независимо от числа узлов в базовой формуле, в случае равномерной сетки. Интерполяционная формула (2.1.4) позволяет строить квадратурные формулы, точные на погранслоистой составляющей  $\Phi(x)$ :

$$S_{\Phi,k}(u) = \int_a^b L_{\Phi,k}(u, x) dx.$$

Такие формулы нами исследовались, например, в [54, 55]. Доказано, что погрешность таких формул равномерна по погранслоистой составляющей  $\Phi(x)$ . Доказано, что построенная составная квадратурная формула с  $k$  узлами обладает погрешностью порядка  $O(h^{k-1})$  равномерно по  $\Phi(x)$ . Таким образом, погрешность равномерна по большим градиентам функции  $u(x)$  в пограничном слое.

### 2.1.3 Интерполяционная формула подгонки с двумя узлами

Рассмотрим интерполяционную формулу (2.1.4) в случае  $k = 2$ :

$$L_{\Phi,2}(u, x) = \frac{u_n - u_{n-1}}{\Phi_n - \Phi_{n-1}} [\Phi(x) - \Phi_n] + u_n, \quad x \in \Delta_n. \quad (2.1.12)$$

**Лемма 3** Пусть погранслоистая составляющая  $\Phi(x)$  строго монотонна на интервале  $[x_{n-1}, x_n]$ . Тогда

$$|L_{\Phi,2}(u, x) - u(x)| \leq 2 \max_{s \in \Delta_n} |p'(s)| h, \quad x \in \Delta_n.$$

**Доказательство.** Зададим погрешность интерполяции:

$$R_{\Phi}(u, x) = L_{\Phi,2}(u, x) - u(x).$$

Учитывая представление (2.1.1), получаем  $R_{\Phi}(u, x) = R_{\Phi}(p, x)$ . Следовательно,

$$L_{\Phi,2}(u, x) - u(x) = -\frac{\Phi_n - \Phi(x)}{\Phi_n - \Phi_{n-1}} (p_n - p_{n-1}) + p_n - p(x), \quad x \in \Delta_n.$$

Учитывая строгую монотонность  $\Phi(x)$  на  $\Delta_n$ , получаем утверждение леммы.

Перейдем к анализу формул численного дифференцирования для функций с большими градиентами в пограничном слое.

Сначала покажем неэффективность применения классической формулы для производной в случае функции вида (2.1.1). Зададим  $\Phi(x) = \ln x, x \in [\varepsilon, 1]$ . Оценим относительную погрешность формулы для производной. При  $\varepsilon = h$  имеем

$$\left| \frac{u_1 - u_0}{h} - u'(\varepsilon) \right| / |u'(\varepsilon)| = \varepsilon \left| \frac{\ln(\varepsilon + h) - \ln \varepsilon}{h} - \frac{1}{\varepsilon} \right| = 1 - \ln 2.$$

Итак, точность классической формулы не повышается с уменьшением шага сетки.

На основе дифференцирования интерполанта (2.1.12) получаем формулу численного дифференцирования, точную на  $\Phi(x)$  :

$$u'(x) \approx L'_{\Phi,2}(u, x) = \frac{u_n - u_{n-1}}{\Phi_n - \Phi_{n-1}} \Phi'(x), \quad x \in [x_{n-1}, x_n]. \quad (2.1.13)$$

Пусть

$$|\Phi'(x)| \leq B_n, \quad x \in [x_{n-1}, x_n]. \quad (2.1.14)$$

**Лемма 4** Пусть для некоторой постоянной  $G_n$  справедлива оценка:

$$\frac{\int_{x_{n-1}}^{x_n} |\Phi''(s)| ds}{B_n |\Phi_n - \Phi_{n-1}|} \leq G_n. \quad (2.1.15)$$

Тогда

$$\left| \frac{L'_{\Phi,2}(u, x) - u'(x)}{B_n} \right| \leq G_n \int_{x_{n-1}}^{x_n} |p'(s)| ds + \frac{1}{B_n} \int_{x_{n-1}}^{x_n} |p''(s)| ds, \quad x \in [x_{n-1}, x_n]. \quad (2.1.16)$$

**Доказательство.** Учитывая, что формула (2.1.13) является точной на  $\Phi(x)$ , получаем

$$L'_{\Phi,2}(u, x) - u'(x) = \frac{p_n - p_{n-1}}{\Phi_n - \Phi_{n-1}} \left[ \Phi'(x) - \frac{\Phi_n - \Phi_{n-1}}{h} \right] + \left( \frac{p_n - p_{n-1}}{h} - p'(x) \right). \quad (2.1.17)$$

Учитывая оценку

$$\left| \Phi'(x) - \frac{\Phi_n - \Phi_{n-1}}{h} \right| \leq \int_{x_{n-1}}^{x_n} |\Phi''(s)| ds \quad (2.1.18)$$

и (2.1.15), из (2.1.17) получаем (2.1.16). Лемма доказана.

Остановимся на случае экспоненциального пограничного слоя, когда  $\Phi(x) = e^{-mx/\varepsilon}$ ,  $m > 0$ ,  $x \in [0, 1]$ , зададим  $B_n = m/\varepsilon$ . Тогда

$$\frac{\int_{x_{n-1}}^{x_n} |\Phi''(s)| ds}{B_n |\Phi_n - \Phi_{n-1}|} = 1. \quad (2.1.19)$$

Итак, условию (2.1.15) выполнено при задании  $G_n = 1$ . Учитывая (2.1.19), из (2.1.16) для некоторой постоянной  $C$ , не зависящей от  $\varepsilon$  получаем

$$\varepsilon \left| L'_{\Phi,2}(u, x) - u'(x) \right| \leq Ch, \quad x \in [x_{n-1}, x_n]. \quad (2.1.20)$$

Оценка (2.1.20) справедлива и в случае  $\Phi(x) = \ln x$ ,  $x \in [\varepsilon, 1]$ .

## 2.2 Классические формулы интерполяции и численного дифференцирования на сетке Шишкина

Пусть для функции  $u(x)$  справедливо представление:

$$u(x) = q(x) + \Phi(x), \quad x \in [0, 1], \quad (2.2.1)$$

где

$$|q^{(j)}(x)| \leq C_1, \quad |\Phi^{(j)}(x)| \leq \frac{C_1}{\varepsilon^j} e^{-\alpha x/\varepsilon}, \quad 0 \leq j \leq m_0, \quad (2.2.2)$$

где функции  $q(x)$  и  $\Phi(x)$  в явном виде не заданы,  $\alpha > 0$ ,  $\varepsilon \in (0, 1]$ , постоянная  $C_1$  не зависит от параметра  $\varepsilon$ . Представление (2.2.1) представляет собой декомпозицию Шишкина [70] для решения задачи (2.1.2).

В соответствии с [70] зададим на интервале  $[0, 1]$  кусочно-равномерную сетку: В соответствии с [70] зададим на интервале  $[0, 1]$  кусочно-равномерную сетку:

$$\Omega = \{x_k : x_k = x_{k-1} + h_k, \quad k = 1, 2, \dots, N, \quad x_0 = 0, \quad x_N = 1\} \quad (2.2.3)$$

с шагами:

$$h_k = h = \frac{2\sigma}{N}, \quad 1 \leq k \leq \frac{N}{2}; \quad h_k = H = \frac{2(1-\sigma)}{N}, \quad \frac{N}{2} < k \leq N,$$

где  $\sigma \in (0, 1/2]$ . Параметр  $\sigma$  зададим ниже. Предполагаем, что функция  $u(x)$  известна в узлах сетки  $\Omega$ ,  $u_k = u(x_k)$ ,  $k = 0, 1, \dots, N$ .

Будем строить разностные формулы для вычисления производных функции  $u(x)$  на подинтервалах с  $m$  узлами, покрывающих исходный интервал  $[0, 1]$ . Предполагаем, что  $N$  кратно  $2(m-1)$ , чтобы каждый подинтервал, на котором строится формула для производной, был целиком внутри или вне области граничного слоя  $[0, \sigma]$ ,  $\sigma = x_{N/2}$ .

Итак, разбиваем исходный интервал  $[0, 1]$  на  $N/(m-1)$  подинтервалов:

$$[0, 1] = \bigcup_{k=0, m-1}^{N-m+1} [x_k, x_{k+m-1}].$$

Для построения разностной формулы для производной на интервале  $[x_k, x_{k+m-1}]$ , осуществляем на этом интервале интерполяцию функции  $u(x)$  многочленом Лагранжа:

$$L_{k,m}(u, x) = \sum_{j=k}^{k+m-1} u_j P_{j,k}(x), \quad u_j = u(x_j),$$

где множитель Лагранжа  $P_{j,k}(x)$  имеет вид:

$$P_{j,k}(x) = \prod_{\substack{i=k \\ i \neq j}}^{k+m-1} \frac{x - x_i}{x_j - x_i}.$$

Для сетки (2.2.3) зададим

$$\sigma = \min \left\{ \frac{1}{2}, \frac{m\varepsilon}{\alpha} \ln N \right\}. \quad (2.2.4)$$

**Теорема 1** Пусть для функции  $u(x)$  справедливо представление (2.2.1) с ограничениями (2.2.2) при  $m_0 = m + n$ , где  $m$  – число узлов в разностной формуле для производной,  $n$  – номер вычисляемой производной. Пусть сетка  $\Omega$  задана согласно (2.2.3). Тогда для некоторой постоянной  $C$  на каждом интервале  $[x_k, x_{k+m-1}]$  при  $k = 0, m-1, \dots, N-t+1$  справедлива одна из оценок погрешности:

$$\varepsilon^n |u^{(n)}(x) - L_{k,m}^{(n)}(u, x)| \leq C \left( \frac{\ln N}{N} \right)^{m-n}, \quad n \geq 0, \sigma < 1/2, x_{k+m-1} \leq \sigma, \quad (2.2.5)$$

$$\varepsilon^n |u^{(n)}(x) - L_{k,m}^{(n)}(u, x)| \leq C \left[ \frac{1}{N^m} e^{-\alpha(x_k - \sigma)/\varepsilon} + \frac{\varepsilon^n}{N^{m-n}} \right], \quad n \geq 0, \sigma < 1/2, x_k \geq \sigma, \quad (2.2.6)$$

$$\varepsilon^n |u^{(n)}(x) - L_{k,m}^{(n)}(u, x)| \leq C \left( \min \left( \frac{\ln N}{N}, \frac{1}{N\varepsilon} \right) \right)^{m-n}, \quad n \geq 0, \sigma = 1/2. \quad (2.2.7)$$

**Доказательство.** Для погрешности интерполяции многочленом Лагранжа известно представление [26, с. 89]:

$$u(x) - L_{k,m}(u, x) = w_{k,m}(x)[x, x_k, x_{k+1}, \dots, x_{k+m-1}]u, \quad (2.2.8)$$

где  $[x, x_k, x_{k+1}, \dots, x_{k+m-1}]u$  - разделенная разность для функции  $u(x)$ ,

$$w_{k,m}(x) = (x - x_k)(x - x_{k+1}) \cdots (x - x_{k+m-1}).$$

На основе дифференцирования соотношения (2.2.8) в [26, с. 89] получена формула для погрешности приближения  $n$ -ой производной на основе многочлена Лагранжа:

$$u^{(n)}(x) - L_{k,m}^{(n)}(u, x) = \sum_{j=0}^n \frac{n!}{(n-j)!} w_{k,m}^{(n-j)}(x) \underbrace{[x, \dots, x, x_k, \dots, x_{k+m-1}]}_{j+1 \text{ раз}} u, \quad n \geq 0. \quad (2.2.9)$$

В случае произвольных узлов  $y_1, y_2, \dots, y_p$  для некоторого  $s \in (\min\{y_j\}, \max\{y_j\})$  справедливо представление [26, с. 40]:

$$[y_1, y_2, \dots, y_p]u = \frac{u^{(p-1)}(s)}{(p-1)!}.$$

Тогда из (2.2.9) при всех  $x \in [x_k, x_{k+m-1}]$  получаем

$$|u^{(n)}(x) - L_{k,m}^{(n)}(u, x)| \leq \sum_{j=0}^n \frac{n!}{(n-j)!(m+j)!} \max_{[x_k, x_{k+m-1}]} |u^{(m+j)}(s)| |w_{k,m}^{(n-j)}(x)|, \quad n \geq 0. \quad (2.2.10)$$

Используем исходное представление функции, получаем

$$|u^{(n)}(x) - L_{k,m}^{(n)}(u, x)| \leq |q^{(n)}(x) - L_{k,m}^{(n)}(q, x)| + |\Phi^{(n)}(x) - L_{k,m}^{(n)}(\Phi, x)|.$$

Учитывая полученные оценки, для некоторой постоянной  $C_1$  и для произвольного интервала  $[x_k, x_{k+m-1}]$  получаем

$$|q^{(n)}(x) - L_{k,m}^{(n)}(q, x)| \leq C_1 \sum_{j=0}^n \frac{n!}{(n-j)!(m+j)!} \tau_k^{m+j-n}, \quad n \geq 0, \quad (2.2.11)$$

где  $\tau_k$  - шаг интервала  $[x_k, x_{k+m-1}]$ .

Из (2.2.11) следует, что для некоторой постоянной  $C_2$

$$|q^{(n)}(x) - L_{k,m}^{(n)}(q, x)| \leq C_2 \tau_k^{m-n} \leq \frac{C_3}{N^{m-n}}, \quad x \in [x_k, x_{k+m-1}], \quad n \geq 0. \quad (2.2.12)$$



Теперь получим оценку погрешности на сингулярной составляющей  $\Phi(x)$ .

Рассмотрим случай  $\sigma < 1/2$ . При этом рассмотрим случаи, когда интервал  $[x_k, x_{k+m-1}]$  находится в пограничном слое и вне его.

1). Пусть  $x_{k+m-1} \leq \sigma$ . Тогда интервал  $[x_k, x_{k+m-1}]$  находится в погранслое и в соответствии с (2.2.4)

$$\tau_k = \frac{2m\varepsilon}{\alpha N} \ln N. \quad (2.2.13)$$

Учитывая (2.2.10), для некоторой постоянной  $C_4$  получаем

$$|\Phi^{(n)}(x) - L_{k,m}^{(n)}(\Phi, x)| \leq C_4 \sum_{j=0}^n \frac{\tau_k^{m-n+j}}{\varepsilon^{m+j}}.$$

Следовательно,

$$\varepsilon^n |\Phi^{(n)}(x) - L_{k,m}^{(n)}(\Phi, x)| \leq C_4 \sum_{j=0}^n \left(\frac{\tau_k}{\varepsilon}\right)^{m-n+j}.$$

Учитывая (2.2.13), для некоторой постоянной  $C_5$  получаем

$$\varepsilon^n |\Phi^{(n)}(x) - L_{k,m}^{(n)}(\Phi, x)| \leq C_5 \left(\frac{\ln N}{N}\right)^{m-n}, \quad x \in [x_k, x_{k+m-1}], \quad x_{k+m-1} \leq \sigma. \quad (2.2.14)$$

Из оценок (2.2.1), (2.2.12), (2.2.14) следует (2.2.5).

2). Пусть  $x_k \geq \sigma$ . Используем оценку:

$$\varepsilon^n \left| L_{k,m}^{(n)}(\Phi, x) - \Phi^{(n)}(x) \right| \leq \varepsilon^n |L_{k,m}^{(n)}(\Phi, x)| + \varepsilon^n |\Phi^{(n)}(x)|.$$

В силу условий (2.2.2) и (2.2.4) при  $x_k \geq \sigma$

$$\varepsilon^n |\Phi^{(n)}(x)| \leq \frac{C_6}{N^m} e^{-\alpha(x_k - \sigma)/\varepsilon}. \quad (2.2.15)$$

Учитывая вид многочлена Лагранжа, для некоторой постоянной  $C_7$  получаем

$$|L_{k,m}^{(n)}(u, x)| = \left| \sum_{j=k}^{k+m-1} u_j P_{j,k}^{(n)}(x) \right| \leq \max_{k \leq j \leq k+m-1} |u_j| \frac{C_7}{\tau_k^n}. \quad (2.2.16)$$

Учитывая (2.2.2), из (2.2.16) получаем, что при  $x_k \geq \sigma$

$$|L_{k,m}^{(n)}(\Phi, x)| \leq \frac{C_7}{N^{m-n}} e^{-\alpha(x_k - \sigma)/\varepsilon}. \quad (2.2.17)$$

Из (2.2.12), (2.2.15), (2.2.17) получаем (2.2.6).

Рассмотрим случай  $\sigma = 1/2$ , когда сетка является равномерной. Из (2.2.10) имеем

$$\varepsilon^n |u^{(n)}(x) - L_{k,m}^{(n)}(u, x)| \leq C_8 \sum_{j=0}^n \left(\frac{1}{N\varepsilon}\right)^{m-n+j} \leq C_9 \left(\frac{1}{N\varepsilon}\right)^{m-n}, \quad n \geq 0. \quad (2.2.18)$$

Из условия  $\sigma = 1/2$  следует, что  $\varepsilon \geq \alpha/(2m \ln N)$ . Тогда из (2.2.18) получаем

$$\varepsilon^n |u^{(n)}(x) - L_{k,m}^{(n)}(u, x)| \leq C_{10} \left( \frac{\ln N}{N} \right)^{m-n}, \quad n \geq 0. \quad (2.2.19)$$

Из (2.2.18), (2.2.19) следует (2.2.7). Теорема доказана.

Заметим, что из оценок (2.2.5)-(2.2.7) следуют оценки относительной погрешности, равномерные по параметру  $\varepsilon$ . Отметим, что в случае  $\sigma < 1/2$  вне области пограничного слоя и оценки абсолютной погрешности равномерны по параметру  $\varepsilon$ . Полученная оценка погрешности (2.2.7) при  $\varepsilon = 1$  соответствует известной оценке погрешности в регулярном случае, когда производные функции являются равномерно ограниченными [26].

## Глава 3

# ИНТЕРПОЛЯЦИЯ ПОЛИНОМИАЛЬНЫМИ СПЛАЙНАМИ ФУНКЦИЙ С ПОГРАНИЧНЫМ СЛОЕМ

Пусть  $\Omega : 0 = x_0 < x_1 < \dots < x_N = 1$  – разбиение отрезка  $[0, 1]$ . Обозначим через  $S(\Omega, k, 1)$  пространство полиномиальных сплайнов степени  $k$  дефекта 1 [50] на сетке  $\Omega$ . В случае необходимости будем считать разбиение  $\Omega$  продолженным левее точки 0 с шагом  $h_1 = x_1 - x_0$  и правее точки 1 с шагом  $h_N = x_N - x_{N-1}$ . Под  $C$  и  $C_j$  будем подразумевать положительные постоянные, не зависящие от параметра  $\varepsilon$  и числа узлов сетки, при этом один и тот же символ  $C_j$  может обозначать разные константы.

### 3.1 Интерполяция параболическими сплайнами функций с большими градиентами в пограничном слое

#### 3.1.1 Постановка задачи

Будем предполагать, что интерполируемая функция  $u(x)$  представима в виде:

$$u(x) = q(x) + \Phi(x), \quad x \in [0, 1], \quad |q^{(j)}(x)| \leq C_1, \quad |\Phi^{(j)}(x)| \leq \frac{C_1}{\varepsilon^j} e^{-\alpha x/\varepsilon}, \quad 0 \leq j \leq 3, \quad (3.1.1)$$

где функции  $q(x)$  и  $\Phi(x)$  в явном виде не заданы,  $\alpha > 0, \varepsilon \in (0, 1]$ ,  $C_1$  не зависит от  $\varepsilon$ ,  $\alpha$  отделено от нуля. Согласно (3.1.1), регулярная составляющая  $q(x)$  имеет производные, ограниченные до третьего порядка, а погранслоиная составляющая  $\Phi(x)$  имеет производные, не ограниченные равномерно по  $\varepsilon$ . Представление (3.1.1) справедливо для решения краевой задачи с экспоненциальным пограничным слоем [70], [8].

Зададим параболический сплайн по Субботину [41] для интерполяции функции (3.1.1).

Пусть  $\Omega$  – сетка интервала  $[0, 1]$  с узлами  $\{x_n\}$ , где  $0 \leq n \leq N$ ,  $h_n = x_n - x_{n-1}$ ,  $1 \leq n \leq N$ . Зададим дополнительную сетку:

$$\bar{\Omega} = \left\{ \begin{array}{l} \bar{x}_n, \quad -1 \leq n \leq N, \\ \bar{x}_n = \frac{x_n + x_{n+1}}{2}, \quad 0 \leq n \leq N - 1, \\ \bar{x}_{-1} = x_0 - \frac{h_1}{2}, \\ \bar{x}_N = x_N + \frac{h_N}{2}. \end{array} \right\}$$

Пусть  $g_2(x, u) \in S(\bar{\Omega}, 2, 1)$  – интерполяционный параболический сплайн на сетке  $\bar{\Omega}$ , определяемый из условий:

$$g_2(x_n, u) = u(x_n), \quad 0 \leq n \leq N, \quad g_2'(0, u) = u'(0), \quad g_2'(1, u) = u'(1). \quad (3.1.2)$$

В соответствии с [70] зададим кусочно-равномерную сетку  $\Omega$  с шагами:

$$h_n = h = \frac{\sigma}{N/2}, \quad n = 1, \dots, \frac{N}{2}, \quad h_n = H = \frac{1 - \sigma}{N/2}, \quad n = \frac{N}{2} + 1, \dots, N, \quad (3.1.3)$$

$$\sigma = \min \left\{ \frac{1}{2}, \frac{3\varepsilon}{\alpha} \ln N \right\}.$$

Сетка вида (3.1.3) применяется для обеспечения  $\varepsilon$ -равномерной сходимости разностных схем для сингулярно-возмущенных краевых задач [70, 10]. В данной работе проведем анализ погрешности при применении квадратичного сплайна (3.1.2) на сетке (3.1.3), предполагая, что интерполируемая функция имеет область больших градиентов в соответствии с представлением (3.1.1). Параметр  $\sigma$  в (3.1.3) выбран так, что в области больших градиентов шаг сетки порядка  $O(\varepsilon \ln(N)/N)$ , а вне погранслоиной области шаг порядка  $O(1/N)$  и  $|\Phi(x)| \leq CN^{-3}$ , что соответствует погрешности параболического сплайна в регулярном случае, когда интерполируемая функция имеет ограниченные производные.

В (3.1.3) и ниже считаем что  $N = 2N_0 \geq 6$ .

Итак, пусть функция  $u(x)$ , имеющая представление (3.1.1), задана в узлах сетки  $\Omega$ ,  $u_n = u(x_n)$ ,  $n = 0, 1, \dots, N$ . Исследуем погрешность интерполяции этой функции параболическим сплайном  $g_2(x, u)$  на сетке (3.1.3).

### 3.1.2 Формулировка основных результатов

В соответствии с [66, с. 56] для интерполяционного параболического сплайна  $g_2(x, u)$  справедлива оценка погрешности:

$$|g_2(x, u) - u(x)| \leq C \|u^{(3)}\|_{C[0,1]} \max_n h_n^3, \quad x \in [0, 1]. \quad (3.1.4)$$

Из (3.1.4) следует, что если производная  $u^{(3)}(x)$  является ограниченной, то сплайн  $g_2(x, u)$  обладает третьим порядком точности по шагу сетки. Однако в силу (3.1.1), производная  $u^{(3)}(x)$  неограниченно растет у границы  $x = 0$  с уменьшением  $\varepsilon$  и в этом случае оценка (3.1.4) не является равномерной по малому параметру.

Остановимся на случае, когда в (3.1.3) будет  $\sigma = 1/2$ . В силу (3.1.4) и того, что в этом случае  $\max_n h_n = 1/N$ ,  $\|u^{(3)}\|_{C[0,1]} \leq C\varepsilon^{-3} \leq C_1 \ln^3 N$ , имеет место оценка, равномерная по  $\varepsilon$ :

$$\|u(x) - g_2(x, u)\|_{C[0,1]} \leq CN^{-3} \ln^3 N. \quad (3.1.5)$$

Ниже будем предполагать, что  $\sigma < 1/2$ . Для упрощения выкладок будем считать, что в (3.1.1), (3.1.3)  $\alpha = 1$ , так как значение параметра  $\alpha$  не влияет на обоснование приводимых ниже оценок. Заметим, что  $g_2(x, u) = g_2(x, q) + g_2(x, \Phi)$ , а в силу (3.1.1) и (3.1.4)

$$\|q(x) - g_2(x, q)\|_{C[0,1]} \leq C_1 \max_n h_n^3 \leq C_2 N^{-3}. \quad (3.1.6)$$

Поэтому для того, чтобы сплайн имел погрешность порядка  $O(N^{-3} \ln^3 N)$ , необходимо и достаточно обеспечить оценку

$$\|\Phi(x) - g_2(x, \Phi)\|_{C[0,1]} \leq CN^{-3} \ln^3 N. \quad (3.1.7)$$

Сформулируем основные результаты работы.

**Теорема 1** *Найдутся такие константы  $C, C_3$ , что при  $N^{-1} \leq C_3\varepsilon$  будет справедлива оценка (3.1.5).*

**Теорема 2** Найдутся такие константы  $C_4, C_5$  и  $\beta > 0$ , не зависящие от  $\varepsilon, N$ , что при  $\varepsilon \leq C_4 N^{-1}$  будут справедливы оценки

$$\|g_2(x, \Phi) - \Phi(x)\|_{C[x_n, x_{n+1}]} \leq C_5 \begin{cases} N^{-3} \ln^3 N, & 0 \leq n \leq N/2 - 1, \\ \frac{1}{N^4 \varepsilon} e^{-\beta(n-N/2)}, & N/2 \leq n \leq N - 1. \end{cases} \quad (3.1.8)$$

Следующая теорема показывает, что вторая оценка в (3.1.8) является неупрощаемой.

**Теорема 3** Пусть  $\Phi(x) = e^{-x/\varepsilon}$ . Тогда найдутся такие  $C_6, C_7, \beta_1 > 0$ , не зависящие от  $\varepsilon, N$ , что при  $\varepsilon \leq C_6 N^{-1}$  будут справедливы оценки снизу

$$\|g_2(x, \Phi) - \Phi(x)\|_{C[x_n, x_{n+1}]} \geq \frac{C_7}{N^4 \varepsilon} e^{-\beta_1(n-N/2)}, \quad \frac{N}{2} \leq n \leq N - 1. \quad (3.1.9)$$

### 3.1.3 Вспомогательные результаты

Введем обозначения. Пусть при  $-1 \leq n \leq N - 1$

$$M_{n,1}(x) = \sigma_n \begin{cases} \frac{x-x_n}{x_{n+1}-x_n}, & x \in [x_n, x_{n+1}], \\ \frac{x_{n+2}-x}{x_{n+2}-x_{n+1}}, & x \in [x_{n+1}, x_{n+2}], \\ 0, & x \notin [x_n, x_{n+2}] \end{cases} \quad \sigma_n = \begin{cases} \frac{4}{3h}, & -1 \leq n \leq N/2 - 2, \\ \frac{8}{3(h+H)}, & n = N/2 - 1, \\ \frac{4}{3H}, & N/2 \leq n \leq N - 1 \end{cases}. \quad (3.1.10)$$

Здесь  $M_{n,1}(x)$  соответствующим образом нормированный  $B$ -сплайн первой степени на сетке  $\Omega$ ,

$$N_{n,0}(x) = \begin{cases} 1, & x \in [\bar{x}_n, \bar{x}_{n+1}), \\ 0, & x \notin [\bar{x}_n, \bar{x}_{n+1}) \end{cases} \quad (3.1.11)$$

– нормализованный  $B$ -сплайн нулевой степени на сетке  $\bar{\Omega}$ .

Далее для краткости будем использовать обозначение  $g_2(x) = g_2(x, \Phi)$ . Изучим функцию  $g_2''(x)$ . Обозначим через  $P$  ортогональный в  $L_2[0, 1]$  проектор на  $S(\Omega, 1, 1)$ .

**Лемма 1** Справедлива формула  $Pg_2''(x) = P\Phi''(x)$ .

**Доказательство.** Для произвольной функции  $s(x) \in S(\Omega, 1, 1)$  с учетом граничных условий и условий интерполяции (3.1.2) имеем

$$(g_2'' - \Phi'', s) = (g_2'(x) - \Phi'(x))s(x) \Big|_0^1 - \int_0^1 (g_2'(x) - \Phi'(x))s'(x)dx =$$

$$-\sum_{i=0}^{N-1} (g_2(x) - \Phi(x)) \Big|_{x_i}^{x_{i+1}} s'(x_i) = 0.$$

Лемма доказана.

Представим функцию  $g_2''(x)$  в виде

$$g_2''(x) = \sum_{k=-1}^{N-1} \alpha_k N_{k,0}(x). \quad (3.1.12)$$

Из условия ортогональности разности  $g_2''(x, \Phi) - \Phi''(x)$  пространству  $S(\Omega, 1, 1)$  получаем СЛАУ для коэффициентов

$$\sum_{k=-1}^{N-1} \alpha_k (N_{k,0}, M_{n,1}) = (\Phi'', M_{n,1}), \quad -1 \leq n \leq N-1, \quad (3.1.13)$$

или в матричном виде

$$\Gamma \alpha = F, \quad (3.1.14)$$

где  $\Gamma = \{\gamma_{nk}\} = \{(N_{k,0}, M_{n,1})\}$ ,  $F = (F_{-1}, F_0, \dots, F_{N-1})^T$ ,  $F_j = (\Phi'', M_{j,1})$ .

**Лемма 2** Матрица  $\Gamma$  имеет вид:

$$\Gamma = \text{tridiag}\{a_n, c_n, b_n\}, \quad -1 \leq n \leq N-1, \quad a_{-1} = b_{N-1} = 0, \quad c_{-1} = c_{N-1} = \frac{1}{2}, \quad (3.1.15)$$

$$c_n = 1, \quad 0 \leq n \leq N-2, \quad a_n = b_n = \frac{1}{6}, \quad -1 \leq n \leq N-2, \quad n \neq N/2-1, \quad (3.1.16)$$

$$b_{N/2-1} = \frac{H}{3(h+H)}, \quad a_{N/2-1} = \frac{h}{3(h+H)}. \quad (3.1.17)$$

Доказательство получается прямым вычислением интегралов в (3.1.14) с учетом (3.1.10), (3.1.11).

Обозначим через  $\text{cond}_2(\Gamma)$  спектральное число обусловленности матрицы  $\Gamma$ .

**Следствие 1** Матрица  $\Gamma$  имеет вид:

$$\Gamma = \begin{pmatrix} \Gamma_{11} & \Gamma_{12} \\ \Gamma_{21} & \Gamma_{22} \end{pmatrix}, \quad (3.1.18)$$

где  $\Gamma$ ,  $\Gamma_{11}$ ,  $\Gamma_{22}$  - трехдиагональные квадратные матрицы со строгим диагональным преобладанием порядка  $(N+1) \times (N+1)$ ,  $(N/2) \times (N/2)$  и  $(N/2+1) \times (N/2+1)$  соответственно, причем  $\text{cond}_2(\Gamma) = O(1)$ ,  $\text{cond}_2(\Gamma_{ii}) = O(1)$ ,  $i = 1, 2$ , матрица  $\Gamma_{21}$  - прямоугольная матрица с единственным ненулевым элементом порядка  $O(h/H)$  в правом верхнем углу, матрица  $\Gamma_{12}$  - прямоугольная матрица с единственным ненулевым элементом  $1/6$  в левом нижнем углу.

Данное следствие справедливо, так как в силу (3.1.15)-(3.1.17) все три матрицы  $\Gamma$ ,  $\Gamma_{11}$ ,  $\Gamma_{22}$  имеют строгое диагональное преобладание по строкам с положительным и не зависящим от  $\varepsilon$ ,  $N$  показателем преобладания.

**Лемма 3** Матрицы  $\Gamma_{11}$ ,  $\Gamma_{22}$  обратимы, и для элементов обратных матриц  $\hat{\gamma}_{nk}^{ii}$ ,  $i = 1, 2$ , справедливы оценки

$$|\hat{\gamma}_{nk}^{ii}| \leq C e^{-\beta|n-k|}, \quad (3.1.19)$$

а для элементов  $\hat{\gamma}_{nk}^{22}$  справедливы и оценки снизу

$$|\hat{\gamma}_{nk}^{22}| \geq C_1 e^{-\beta_1|n-k|}, \quad (3.1.20)$$

а также оценки

$$|\hat{\gamma}_{nk}^{22}| \geq |\hat{\gamma}_{np}^{22}| e^{-\beta_2|k-p|}, \quad N/2 - 1 \leq n \leq N - 1, \quad N/2 - 1 \leq k \leq p \leq N - 1, \quad (3.1.21)$$

где  $C, C_1, \beta, \beta_1, \beta_2$  не зависят от  $N, \varepsilon$ .

**Доказательство.** Обратимость матриц  $\Gamma_{11}$ ,  $\Gamma_{22}$  и оценки (3.1.19) вытекают из строгого диагонального преобладания и теоремы Демко [5]. Докажем оценки (3.1.20). Введем матрицу

$$M = \{m_{nk}, N/2 - 1 \leq n, k \leq N - 1\} = \text{tridiag}\left\{\frac{1}{6}, 1, \frac{1}{6}\right\}.$$

Так как  $h \leq H$ , то из (3.1.15)-(3.1.17) следует, что  $\gamma_{nn}^{22} \leq m_{nn}$ ,  $\gamma_{nk}^{22} \geq m_{nk}$ ,  $n \neq k$ .

Тогда для  $M$ -матриц [45, с. 269]  $M^+ = \{m_{nk}^+\}$  и  $\Gamma_{22}^+ = \{(\gamma_{nk}^{22})^+\}$ , получающихся из  $M$  и  $\Gamma_{22}$  заменой знаков всех внедиагональных элементов на противоположные, согласно [45, с. 270], будем иметь

$$\left(\Gamma_{22}^+\right)^{-1} \geq \left(M^+\right)^{-1} \geq \mathbf{0}, \quad (3.1.22)$$

где неравенство между матрицами подразумевается поэлементным.

Непосредственным перемножением исходных и обратных матриц легко убедиться, что для элементов  $\Gamma_{22}^{-1} = \{\hat{\gamma}_{nk}^{22}\}$  и  $M^{-1} = \{\hat{m}_{nk}\}$  справедливы равенства

$$\hat{\gamma}_{nk}^{22} = (-1)^{n+k} \left(\hat{\gamma}_{nk}^{22}\right)^+, \quad \hat{m}_{nk} = (-1)^{n+k} \left(\hat{m}_{nk}\right)^+. \quad (3.1.23)$$

Поэтому приходим к выводу, что

$$|\hat{\gamma}_{nk}^{22}| \geq |\hat{m}_{nk}|. \quad (3.1.24)$$



Заметим, что из тех же соображений, рассматривая пару матриц  $M^+$  и  $I$ , где  $I$  – единичная матрица, получаем

$$\hat{m}_{kk} \geq 1. \quad (3.1.25)$$

С учетом (3.1.24), для доказательства (3.1.20) достаточно доказать оценку

$$|\hat{m}_{nk}| \geq C_1 e^{-\beta_1 |n-k|}. \quad (3.1.26)$$

Рассмотрим  $\{\hat{m}_{nk}\}$  как решение краевой задачи для трехточечного разностного уравнения

$$\hat{m}_{n-1k} + 6\hat{m}_{nk} + \hat{m}_{n+1k} = 0, N/2 - 1 \leq n \leq k - 1$$

с заданными граничными значениями  $\hat{m}_{N/2-2,k} = 0$  и  $\hat{m}_{kk}$ , где  $1 \leq \hat{m}_{kk} \leq C$ . Согласно [65, с.55] находим

$$\hat{m}_{nk} = \left[ \lambda_1^{n-N/2+2} - \lambda_2^{n-N/2+2} \right] / \left[ \lambda_1^{k-N/2+1} - \lambda_2^{k-N/2+1} \right] \hat{m}_{kk}, \quad N/2 - 1 \leq n \leq k - 1,$$

где  $\lambda_{1,2} = -3 \pm \sqrt{8}$ . Отсюда следует оценка (3.1.26) для  $N/2 - 1 \leq n \leq k - 1$ .

Доказательство для  $k+1 \leq n \leq N-1$  аналогично, а при  $n = k$  оценка (3.1.26) вытекает из (3.1.25). Итак, оценка (3.1.20) доказана.

Докажем (3.1.21). Для элементов  $\Gamma^{-1}$  при фиксированном  $n \in [N/2 - 1, N - 1]$  справедливы формулы  $\hat{\gamma}_{nk-1}^{22} \gamma_{k-1k}^{22} + \hat{\gamma}_{nk}^{22} + \hat{\gamma}_{nk+1}^{22} \gamma_{k+1k}^{22} = 0$ ,  $k \neq n$ . Из (3.1.22), (3.1.23) получаем, что  $\text{sign}(\hat{\gamma}_{nk-1}^{22}) = \text{sign}(\hat{\gamma}_{nk+1}^{22})$ . Отсюда, с учетом положительности  $\gamma_{kk}^{22}$  и (3.1.15)-(3.1.17) получаем, что для  $k \neq n$

$$|\hat{\gamma}_{nk}^{22}| \geq |\hat{\gamma}_{nk+1}^{22} \gamma_{k+1k}^{22}| \geq \frac{1}{6} |\hat{\gamma}_{nk+1}^{22}|,$$

и оценка (3.1.21) получается рекуррентно для  $k \neq n$  при  $\beta_2 = \ln 6$ .

Для  $k = n$  она вытекает из (3.1.19) и неравенства  $\hat{\gamma}_{kk}^{22} \geq 1$ , которое следует из (3.1.22)-(3.1.25) Лемма доказана.

**Лемма 4** Для элементов  $F_n$  при любых  $\varepsilon \in (0, 1]$ ,  $N$  справедливы оценки

$$F_n = \begin{cases} O(\varepsilon^{-2} e^{-x_{n+1}/\varepsilon}), & -1 \leq n \leq N/2 - 2, \\ O(\varepsilon^{-2} e^{-x_n/\varepsilon}), & N/2 - 1 \leq n \leq N - 1 \end{cases}, \quad (3.1.27)$$

а при  $\varepsilon \leq CN^{-1}$  также справедливы оценки

$$F_n = \begin{cases} O(H^{-1} \varepsilon^{-1} e^{-x_{N/2}/\varepsilon}), & n = N/2 - 1, \\ O(H^{-2} e^{-x_n/\varepsilon}), & N/2 \leq n \leq N - 1 \end{cases}. \quad (3.1.28)$$

В случае, если  $\Phi(x) = e^{-\frac{x}{\varepsilon}}$ , справедливы и аналогичные оценки снизу, т.е. с заменой в (3.1.27)-(3.1.28)  $O$  на  $O^*$ .

**Доказательство.** Для оценки  $F_n$ , задаваемом в (3.1.14), используем прямое вычисление интегралов. Докажем вторую оценку в (3.1.28), остальные оценки получаются аналогично. При  $n \geq N/2$  в силу (3.1.10), (3.1.11), (3.1.1) имеем:

$$\begin{aligned} |F_n| &= |(\Phi'', M_{n,1})| \leq \int_{x_n}^{x_{n+2}} |M_{n,1}(x)| \cdot |\Phi''(x)| dx \leq C \int_{x_n}^{x_{n+2}} \frac{8}{3(h+H)} \frac{x-x_n}{H} \frac{1}{\varepsilon^2} e^{-\frac{x}{\varepsilon}} dx \\ &\leq CH^{-2} e^{-\frac{x_n}{\varepsilon}} \frac{1}{\varepsilon} \int_{x_n}^{x_{n+2}} \frac{x-x_n}{\varepsilon} e^{-\frac{x-x_n}{\varepsilon}} dx \leq C_1 H^{-2} e^{-\frac{x_n}{\varepsilon}}, \end{aligned}$$

что и требовалось доказать. Если  $\Phi(x) = e^{-\frac{x}{\varepsilon}}$ , то все интегралы вычисляются точно и оценки будут двусторонними. Лемма доказана.

**Лемма 5** Для матрицы  $\Gamma^{-1}$  справедливо представление

$$\Gamma^{-1} = \begin{pmatrix} \tilde{\Gamma}_{11} & \tilde{\Gamma}_{12} \\ \tilde{\Gamma}_{21} & \tilde{\Gamma}_{22} \end{pmatrix}, \quad (3.1.29)$$

где элементы  $\tilde{\gamma}_{nk}^{ij}$  матриц  $\tilde{\Gamma}_{ij}$  при некотором  $\beta > 0$ , не зависящем от  $\varepsilon, N$ , удовлетворяют оценкам:

$$|\tilde{\gamma}_{nk}^{11}| \leq C e^{-\beta|n-k|}, \quad -1 \leq n, k \leq N/2 - 2; \quad (3.1.30)$$

$$|\tilde{\gamma}_{nk}^{22}| \leq C e^{-\beta|n-k|}, \quad N/2 - 1 \leq n, k \leq N - 1,$$

$$|\tilde{\gamma}_{nk}^{12}| \leq C e^{-\beta|n-k|}, \quad -1 \leq n \leq N/2 - 2, N/2 - 1 \leq k \leq N - 1, \quad (3.1.31)$$

$$|\tilde{\gamma}_{nk}^{21}| \leq C(h/H) e^{-\beta|n-k|}, \quad -1 \leq k \leq N/2 - 2, N/2 - 1 \leq n \leq N - 1. \quad (3.1.32)$$

**Доказательство.** Применяя блочный метод Гаусса, находим

$$\Gamma^{-1} = \begin{pmatrix} \Gamma_{11}^{-1} + \Gamma_{11}^{-1} \Gamma_{12} \tilde{\Gamma}^{-1} \Gamma_{21} \Gamma_{11}^{-1} & \Gamma_{11}^{-1} \Gamma_{12} \tilde{\Gamma}^{-1} \\ \tilde{\Gamma}^{-1} \Gamma_{21} \Gamma_{11}^{-1} & \tilde{\Gamma}^{-1} \end{pmatrix}, \quad (3.1.33)$$

где  $\tilde{\Gamma} = \Gamma_{22} - \Gamma_{21} \Gamma_{11}^{-1} \Gamma_{12}$ . Обратимость всех блоков и равномерная по  $\varepsilon, N$  ограниченность всех обратных матриц вытекает из следствия 1. Более того, из теоремы Демко [5] вытекает, что элементы матрицы  $\Gamma_{11}^{-1}$  удовлетворяют оценкам (3.1.30), а, значит, в силу вида матриц  $\Gamma_{12}, \Gamma_{21}$ , таким же оценкам удовлетворяют и элементы матрицы  $\tilde{\Gamma}$ . Но для матриц, имеющих обратную, ограниченную в спектральной норме константой, не зависящей от порядка матрицы и параметров, определяющих ее элементы, в [28] было доказано, что и элементы обратной матрицы  $\tilde{\Gamma}^{-1}$  удовлетворяют таким же оценкам, возможно, с другой константой  $\beta_1 \in (0, 1)$ ,

также не зависящей от  $N, \varepsilon$ . Там же было доказано, что элементы произведения двух матриц, удовлетворяющих оценкам вида (3.1.30), удовлетворяют таким же оценкам, возможно, с другой константой  $\beta_1 \in (0, 1)$ . Отсюда вытекают оценки (3.1.30).

Докажем оценки (3.1.31). Пусть

$$\begin{aligned}\tilde{\Gamma}^{-1} &= \{\tilde{\gamma}_{nk}, N/2 - 1 \leq n, k \leq N - 1\}, \\ \Gamma_{12} &= \{\gamma_{nk}, 1 \leq n \leq N/2 - 2, N/2 - 1 \leq k \leq N - 1\}, \\ \Gamma_{11}^{-1} &= \{\tilde{\gamma}_{nk}^{11}, 1 \leq n, k \leq N/2 - 2\}.\end{aligned}$$

Поскольку у матрицы  $\Gamma_{12}$  отличен от нуля единственный элемент  $\gamma_{N/2-2, N/2-1}$ , то, перемножая матрицы, находим для элементов матрицы  $\tilde{\Gamma}_{12}$  (см. (3.1.29)):

$$\tilde{\gamma}_{nk}^{12} = \tilde{\gamma}_{n, N/2-2}^{11} \gamma_{N/2-2, N/2-1} \tilde{\gamma}_{N/2-2, k}.$$

Отсюда, учитывая оценки (3.1.30) для первого и третьего сомножителей и формулу (3.1.16) для второго сомножителя, получаем

$$|\tilde{\gamma}_{nk}^{12}| \leq C e^{-\beta((N/2-2)-n)} e^{-\beta(k-(N/2-2))} = C e^{-\beta(k-n)} = C e^{-\beta|k-n|}.$$

Оценки (3.1.31) доказаны.

Доказательство оценок (3.1.32) проводится аналогично. Лемма доказана.

**Лемма 6** Для коэффициентов  $\alpha_n$  в представлении (3.1.12) при  $\varepsilon \leq CN^{-1}$  справедливы оценки

$$\alpha_n = \begin{cases} O(\varepsilon^{-2} e^{-\frac{x_{n+1}}{\varepsilon}}), & -1 \leq n \leq N/2 - 2, \\ O\left(H^{-1} \varepsilon^{-1} e^{-\frac{x_{N/2}}{\varepsilon}} e^{-\beta(n-N/2)}\right), & N/2 - 1 \leq n \leq N - 1 \end{cases}, \quad (3.1.34)$$

а при  $N^{-1} \leq C\varepsilon$  справедливы оценки

$$\alpha_n = O\left(\varepsilon^{-2} e^{-\frac{x_{n+1}}{\varepsilon}}\right), \quad -1 \leq n \leq N - 1. \quad (3.1.35)$$

В случае, если  $\Phi(x) = e^{-\frac{x}{\varepsilon}}$ , найдется такая константа  $C$ , не зависящая от  $\varepsilon, N$ , что при  $\varepsilon \leq CN^{-1}$  для  $n \geq N/2 - 1$  в (3.1.34) справедливы и аналогичные оценки снизу, т.е. с заменой  $O$  на  $O^*$ .

**Доказательство.** Из (3.1.14) имеем  $\alpha = \Gamma^{-1}F$ . Пусть  $\alpha = (\alpha^{(1)}, \alpha^{(2)})^T$ , где  $\dim(\alpha^{(1)}) = N/2$ . Аналогичным образом представим  $F$ . Тогда  $\alpha^{(1)} = \tilde{\Gamma}_{11}^{-1}F^{(1)} + \tilde{\Gamma}_{12}^{-1}F^{(2)}$ . Для любого  $n = -1, \dots, N/2 - 2$  имеем

$$\alpha_n^{(1)} = \alpha_n = \sum_{k=-1}^{N/2-2} \tilde{\gamma}_{nk}^{11} F_k + \sum_{k=N/2-1}^{N-1} \tilde{\gamma}_{nk}^{12} F_k. \quad (3.1.36)$$

Далее в силу (3.1.27), (3.1.30), (3.1.31) имеем при достаточно больших  $N$

$$\begin{aligned}
& \left| \sum_{k=-1}^{N/2-2} \tilde{\gamma}_{nk}^{11} F_k \right| \leq \frac{C}{\varepsilon^2} \sum_{k=-1}^{N/2-2} e^{-\beta|n-k|} e^{-x_{k+1}/\varepsilon} = \frac{C}{\varepsilon^2} \sum_{k=-1}^{N/2-2} e^{-\beta|n-k|} e^{-\frac{h(k+1)}{\varepsilon}} = \\
& = \frac{C}{\varepsilon^2} e^{-\frac{h(n+1)}{\varepsilon}} \sum_{k=-1}^{N/2-2} e^{-\beta|n-k|} e^{-\frac{h(k-n)}{\varepsilon}} = C\varepsilon^{-2} e^{-\frac{h(n+1)}{\varepsilon}} \sum_{k=-1}^{N/2-2} e^{-\beta|n-k|} e^{-\frac{8 \ln N(k-n)}{N}} \leq \\
& \leq C\varepsilon^{-2} e^{-\frac{x_{n+1}}{\varepsilon}} \sum_{k=-1}^{N/2-2} e^{-\frac{\beta}{2}|n-k|} \leq C\varepsilon^{-2} e^{-\frac{x_{n+1}}{\varepsilon}}, \tag{3.1.37} \\
& \left| \sum_{k=N/2-1}^{N-1} \tilde{\gamma}_{nk}^{12} F_k \right| \leq C \sum_{k=N/2-1}^{N-1} e^{-\beta|n-k|} \varepsilon^{-2} e^{-\frac{x_k}{\varepsilon}} \leq \\
& \leq C \frac{1}{\varepsilon^2} e^{-\frac{x_{N/2-1}}{\varepsilon}} \sum_{k=N/2-1}^{N-1} e^{-\beta|n-k|} \leq C_1 \varepsilon^{-2} e^{-\frac{x_{N/2-1}}{\varepsilon}} \leq C_1 \varepsilon^{-2} e^{-\frac{x_{n+1}}{\varepsilon}}.
\end{aligned}$$

Таким образом, оценка (3.1.34) при  $-1 \leq n \leq N/2 - 2$  доказана.

Докажем (3.1.34) для  $n \geq N/2 - 1$ . Имеем

$$\alpha_n^{(2)} = \alpha_n = \sum_{k=-1}^{N/2-2} \tilde{\gamma}_{nk}^{21} F_k + \sum_{k=N/2-1}^{N-1} \tilde{\gamma}_{nk}^{22} F_k. \tag{3.1.38}$$

Далее аналогично (3.1.37), применяя (3.1.32) для  $\tilde{\gamma}_{nk}^{21}$  и (3.1.27), (3.1.28) для  $F_k$ , находим

$$\begin{aligned}
& \left| \sum_{k=-1}^{N/2-2} \tilde{\gamma}_{nk}^{21} F_k \right| \leq C \frac{h}{H} \sum_{k=-1}^{N/2-2} e^{-\beta(n-k)} \frac{1}{\varepsilon^2} e^{-\frac{x_{k+1}}{\varepsilon}} = \\
& = C \frac{h}{H} e^{-\beta(n-\frac{N}{2})} \sum_{k=-1}^{N/2-2} e^{-\beta(\frac{N}{2}-k)} \frac{1}{\varepsilon^2} e^{-\frac{x_{k+1}}{\varepsilon}} \leq C_1 \frac{h}{H} e^{-\beta(n-\frac{N}{2})} \frac{1}{\varepsilon^2} e^{-\frac{x_{N/2-1}}{\varepsilon}} \leq \\
& \leq C_1 H^{-1} \varepsilon \frac{\ln N}{N} \frac{1}{\varepsilon^2} e^{-\frac{x_{N/2-1}}{\varepsilon}} e^{-\beta(n-\frac{N}{2})} \leq \frac{C_2}{H\varepsilon} e^{-\frac{x_{N/2}}{\varepsilon}} e^{-\beta(n-\frac{N}{2})}. \tag{3.1.39}
\end{aligned}$$

Оценим второе слагаемое в (3.1.38). Применяем оценки (3.1.30) для  $\tilde{\gamma}_{nk}^{22}$  и (3.1.28) для  $F_k$ , с учетом того, что по условию леммы  $\varepsilon \leq CH$ :

$$\begin{aligned}
& \left| \sum_{k=N/2-1}^{N-1} \tilde{\gamma}_{nk}^{22} F_k \right| \leq C\varepsilon^{-1} H^{-1} \sum_{k=N/2-1}^{N-1} e^{-\beta|n-k|} e^{-x_k/\varepsilon} = \\
& = \frac{C}{\varepsilon H} e^{-\frac{x_{N/2}}{\varepsilon}} \sum_{k=N/2-1}^{N-1} e^{-\beta|n-k|} e^{-\frac{x_k - x_{N/2}}{\varepsilon}} \leq \frac{C}{\varepsilon H} e^{-\frac{x_{N/2}}{\varepsilon}} e^{\frac{h}{\varepsilon}} \sum_{k=N/2}^N e^{-\beta|n-k|} e^{-(k-\frac{N}{2})\frac{H}{\varepsilon}} \leq
\end{aligned}$$

$$\begin{aligned} &\leq \frac{C_1}{\varepsilon H} e^{-\frac{xN/2}{\varepsilon}} \sum_{k=N/2}^N e^{-\beta|n-k|} e^{-\beta(k-\frac{N}{2})} \leq \frac{C_1}{\varepsilon H} e^{-\frac{xN/2}{\varepsilon}} \left( \sum_{k=N/2}^n e^{-\beta(n-\frac{N}{2})} + \right. \\ &\left. + \sum_{k=n+1}^N e^{-\beta(2k-n-\frac{N}{2})} \right) \leq \frac{C_2}{\varepsilon H} e^{-\frac{xN/2}{\varepsilon}} \left( e^{-\frac{\beta}{2}(n-\frac{N}{2})} + e^{-\beta(n-\frac{N}{2})} \right) \leq \frac{C_3}{\varepsilon H} e^{-\frac{xN/2}{\varepsilon}} e^{-\frac{\beta}{2}(n-\frac{N}{2})}, \end{aligned}$$

и переобозначая  $\frac{\beta}{2}$  через  $\beta$ , с учетом (3.1.38), (3.1.39) получаем (3.1.34) для  $n \geq N/2 - 1$ .

Тем самым оценки (3.1.34) доказаны полностью. Оценки (3.1.35) доказываются совершенно аналогично с использованием (3.1.27) вместо (3.1.28) при проведении последней оценки.

Докажем оценки снизу в (3.1.34) для  $n \geq N/2 - 1$  в случае, если  $\Phi(x) = e^{-\frac{x}{\varepsilon}}$ . Обозначим  $(\alpha_{N/2-1}, \dots, \alpha_{N-1})^T = \tilde{\alpha}$ . Тогда вектор  $\tilde{\alpha}$  есть решение СЛАУ  $\Gamma_{22}\tilde{\alpha} = \tilde{F}$ , где элементы вектора  $\tilde{F} = \{\tilde{F}_n, N/2 - 1 \leq n \leq N - 1\}$  имеют вид:  
 $\tilde{F}_{N/2-1} = F_{N/2-1} - \alpha_{N/2-2}a_{N/2-1}$ ;  $\tilde{F}_n = F_n, n \geq N/2$ .

В силу (3.1.28) для  $F_{N/2-1}$ , (3.1.17) для  $a_{N/2-1}$  и (3.1.35) для  $\alpha_{N/2-2}$  имеем:

$$\begin{aligned} |\tilde{F}_{N/2-1}| &\geq C\varepsilon^{-1}H^{-1}e^{-\frac{xN/2}{\varepsilon}} - C_1hH^{-1}\varepsilon^{-2}e^{-\frac{xN/2}{\varepsilon}} = H^{-1}\varepsilon^{-1}e^{-\frac{xN/2}{\varepsilon}}(C - C_1h\varepsilon^{-1}) \geq \\ &\geq H^{-1}\varepsilon^{-1}e^{-\frac{xN/2}{\varepsilon}} \left( C - C_2 \frac{\ln N}{N} \right) \geq C_3H^{-1}\varepsilon^{-1}e^{-\frac{xN/2}{\varepsilon}}, \end{aligned}$$

т.е. элементы вектора  $\tilde{F}$  удовлетворяют оценкам, аналогичным (3.1.28):

$$\tilde{F}_n = \begin{cases} O^*(H^{-1}\varepsilon^{-1}e^{-xN/2/\varepsilon}), & n = N/2 - 1, \\ O^*(H^{-2}e^{-x_n/\varepsilon}), & N/2 \leq n \leq N - 1. \end{cases} \quad (3.1.40)$$

Оценим  $|\alpha_n|$  для  $n = N/2 - 1, \dots, N - 1$ , опираясь на (3.1.40). Имеем

$$|\alpha_n| = \left| \sum_{k=N/2-1}^{N-1} \hat{\gamma}_{nk}^{22} \tilde{F}_k \right| \geq |\hat{\gamma}_{n,N/2-1}^{22} \tilde{F}_{N/2-1}| - \sum_{k=N/2}^{N-1} |\hat{\gamma}_{nk}^{22}| |\tilde{F}_k|. \quad (3.1.41)$$

Найдется постоянная  $C_1$ , такая, что при  $\varepsilon \leq C_1N^{-1}$  будет справедливо неравенство  $\frac{H}{\varepsilon} \geq 2\beta_2$ , где  $\beta_2$  соответствует (3.1.21). Применяя (3.1.21), (3.1.40), получаем

$$\begin{aligned} \sum_{k=N/2}^{N-1} |\hat{\gamma}_{nk}^{22}| |\tilde{F}_k| &\leq C \sum_{k=N/2}^{N-1} |\hat{\gamma}_{nN/2-1}^{22}| e^{\beta_2|k-N/2|} \cdot H^{-2} e^{-\frac{x_k}{\varepsilon}} = CH^{-2} |\hat{\gamma}_{nN/2-1}^{22}| e^{-\frac{xN/2}{\varepsilon}} \times \\ &\times \sum_{k=N/2}^{N-1} e^{\beta_2|k-N/2|} e^{-\frac{x_k-xN/2}{\varepsilon}} = CH^{-2} |\hat{\gamma}_{nN/2-1}^{22}| e^{-\frac{xN/2}{\varepsilon}} \sum_{k=N/2}^{N-1} e^{\beta_2|k-N/2|} e^{-\frac{H}{\varepsilon}|k-N/2|} \leq \end{aligned}$$

$$\leq CH^{-2}|\hat{\gamma}_{nN/2-1}^{22}|e^{-\frac{xN/2}{\varepsilon}} \sum_{k=N/2}^{N-1} e^{-\beta_2|k-N/2|} \leq C_1H^{-2}e^{-\frac{xN/2}{\varepsilon}}|\hat{\gamma}_{nN/2-1}^{22}|. \quad (3.1.42)$$

Наконец, с учетом (3.1.40) получаем

$$|\hat{\gamma}_{nN/2-1}^{22}||\tilde{F}_{N/2-1}| \geq CH^{-1}\varepsilon^{-1}e^{-\frac{xN/2}{\varepsilon}}|\hat{\gamma}_{nN/2-1}^{22}|. \quad (3.1.43)$$

Из (3.1.41)-(3.1.43), (3.1.20) при достаточно малых  $\varepsilon/H$  получаем

$$|\alpha_n| \geq C_2H^{-1}\varepsilon^{-1}e^{-\frac{xN/2}{\varepsilon}}|\hat{\gamma}_{nN/2-1}^{22}| \geq C_3H^{-1}\varepsilon^{-1}e^{-\frac{xN/2}{\varepsilon}}e^{-\beta_1(n-N/2)}.$$

Лемма доказана.

**Лемма 7** *Найдутся такие константы  $C, \beta > 0$ , не зависящие от  $\varepsilon, N$ , что для функции  $g_2''(x)$  при  $N^{-1} \leq C\varepsilon$  будет справедливо соотношение*

$$g_2''(x_n) = O\left(\frac{C}{\varepsilon^2}e^{-x_n/\varepsilon}\right), \quad 0 \leq n \leq N, \quad (3.1.44)$$

а при  $\varepsilon \leq CN^{-1}$  выполнится

$$g_2''(x_n) = O\left(\frac{C}{\varepsilon^2}e^{-x_n/\varepsilon}\right), \quad 0 \leq n \leq \frac{N}{2} - 1, \quad (3.1.45)$$

$$g_2''(x_n) = O\left(\frac{1}{\varepsilon H}e^{-\frac{xN/2}{\varepsilon}}e^{-\beta|n-\frac{N}{2}|}\right), \quad \frac{N}{2} \leq n \leq N. \quad (3.1.46)$$

В случае  $\Phi(x) = e^{-\frac{x}{\varepsilon}}$  найдется такая константа  $C > 0$ , не зависящая от  $\varepsilon, N$ , что при  $\varepsilon \leq CN^{-1}$  для  $n \geq N/2 - 1$  в (3.1.45), (3.1.46) справедливы и аналогичные оценки снизу, т.е. с заменой  $O$  на  $O^*$ .

**Доказательство.** Поскольку в каждом узле  $x_n$  отличен от нуля только один В-сплайн  $N_{n-1,0}$ , то справедливо равенство  $g_2''(x_n) = \alpha_{n-1}N_{n-1,0}(x_n)$ . Отсюда, из леммы 6 и формулы (3.1.11) следует утверждение леммы.

Наконец, установим результат о точности приближения функции  $\Phi''(x)$  функцией  $g_2''(x, \Phi)$ .

**Лемма 8** *Справедлива оценка*

$$\|g_2''(x, \Phi) - \Phi''(x)\|_{L_\infty[0,1]} \leq \frac{C}{\varepsilon^2} \cdot \frac{\ln N}{N}. \quad (3.1.47)$$

**Доказательство.** Обозначим через  $Q : L_2[0, 1] \rightarrow S(\bar{\Omega}, 0, 1)$  линейный оператор, ставящий в соответствие каждой функции  $\Phi''(x) \in L_2[0, 1]$  функцию  $g_2''(x, \Phi)$  вида (3.1.12), где коэффициенты  $\alpha_n$  находятся из системы (3.1.13). Очевидно, что  $QQ = Q$ , т.е.  $Q$  – проектор. Поскольку матрица системы (3.1.13) имеет строгое диагональное преобладание по строкам с положительным показателем преобладания, не зависящим от  $\varepsilon, N$ , то в соответствии с [41, с. 43] получаем, что  $\|Q\|_{L_\infty[0,1] \rightarrow L_\infty[0,1]} \leq C_1$ . Пусть  $P(x) \in S(\bar{\Omega}, 0, 1)$  – сплайн нулевой степени, интерполирующий  $\Phi''(x)$  в узлах сетки  $\Omega$ . Из оценки (3.1.1) и оценки погрешности интерполяции кусочно-постоянной функцией получаем, что

$$\begin{aligned} \|g_2''(x, \Phi) - \Phi''(x)\|_{L_\infty[0,1]} &\leq (1 + \|Q\|_{L_\infty[0,1] \rightarrow L_\infty[0,1]}) \|P(x) - \Phi''(x)\|_{L_\infty[0,1]} \leq \\ &\leq (1 + C_1) \frac{1}{\varepsilon^2} \cdot \frac{\ln N}{N}, \end{aligned}$$

что доказывает лемму.

### 3.1.4 Доказательство теорем

#### Доказательство теорем 1 и 2.

Вначале докажем оценки (3.1.8) для  $n \leq \frac{N}{2} - 1$ . Используем обозначения  $e(x) = g_2(x, \Phi) - \Phi(x)$ ,  $g_2(x) = g_2(x, \Phi)$ . Зафиксируем  $n = 0, \dots, \frac{N}{2} - 1$ . Тогда, поскольку

$$e(x_n) = e(x_{n+1}) = 0, \quad (3.1.48)$$

то, рассматривая  $e(x)$  как решение краевой задачи  $e''(x) = e''(x)$  с условиями (3.1.48) на интервале  $[x_n, x_{n+1}]$ , получаем, что

$$e(x) = \int_{x_n}^{x_{n+1}} G(x, s) e''(s) ds, \quad (3.1.49)$$

где

$$G(x, s) = \frac{1}{x_{n+1} - x_n} \begin{cases} (x - x_n)(x_{n+1} - s), & x_n \leq x \leq s, \\ (s - x_n)(x_{n+1} - x), & s < x \leq x_{n+1} \end{cases} \quad (3.1.50)$$

– функция Грина. Так как  $|G(x, s)| \leq x_{n+1} - x_n = h$ , то из (3.1.49) получаем

$$|e(x)| \leq h \int_{x_n}^{x_{n+1}} |e''(s)| ds \leq h^2 \|e''(s)\|_{C[0,1]}, \quad (3.1.51)$$

Но, поскольку  $h = O(\varepsilon \ln(N)/N)$ , из (3.1.51), (3.1.47) получаем оценку (3.1.8) и утверждение теоремы 1 для  $n \leq \frac{N}{2} - 1$ .

**Замечание 1** Оценки (3.1.8) при  $n = 0, \dots, \frac{N}{2} - 1$  доказаны при любых соотношениях между  $\varepsilon$  и  $N$ .

Докажем теорему 1 и оценки (3.1.8) при  $n \geq N/2$ .

Пусть  $N^{-1} \leq C\varepsilon$ . В силу (3.1.49) и леммы 7 имеем

$$\begin{aligned} \|e(x)_-C[x_n, x_{n+1}]\| &= \left\| \int_{x_n}^{x_{n+1}} G(x, s)e''(s) ds \right\|_{C[x_n, x_{n+1}]} \leq \frac{C}{N} \int_{x_n}^{x_{n+1}} |e''(s)| ds \leq \\ &\leq \frac{C}{N^2} \|e''(s)\|_{L^\infty[x_n, x_{n+1}]} \leq \frac{C_1}{N^2} \|\Phi''(s)\|_{C[x_n, x_{n+1}]} \leq \frac{C_1}{N^2} \|\Phi''(s)\|_{C[x_{N/2}, x_{N/2+1}]} \leq \\ &\leq \frac{C_1}{N^2} \cdot \frac{1}{\varepsilon^2 N^3} \leq \frac{C_2}{N^3}. \end{aligned}$$

Отсюда, с учетом замечания 1, следует утверждение теоремы 1.

Пусть теперь  $\varepsilon \leq CN^{-1}$ . Тогда аналогичным образом имеем

$$\|e(x)\|_{C[x_n, x_{n+1}]} \leq \frac{C}{N} \int_{x_n}^{x_{n+1}} |e''(s)| ds \leq \frac{C}{N} \left( \int_{x_n}^{x_{n+1}} |\Phi''(s)| ds + \int_{x_n}^{x_{n+1}} |g_2''(s)| ds \right). \quad (3.1.52)$$

Далее,

$$\begin{aligned} \int_{x_n}^{x_{n+1}} |\Phi''(s)| ds &\leq \frac{C}{\varepsilon^2} \int_{x_n}^{x_{n+1}} e^{-\frac{x}{\varepsilon}} ds \leq \frac{C}{\varepsilon} e^{-\frac{x_n}{\varepsilon}} = \frac{C}{\varepsilon} e^{-\frac{x_{N/2}}{\varepsilon}} \cdot e^{-\frac{x_n - x_{N/2}}{\varepsilon}} \leq \\ &\leq \frac{C_1}{\varepsilon} N^{-3} e^{-(n-N/2)\frac{H}{\varepsilon}} \leq \frac{C_1}{\varepsilon} N^{-3} e^{-\beta(n-N/2)}. \end{aligned} \quad (3.1.53)$$

Учитывая (3.1.46), получаем

$$\int_{x_n}^{x_{n+1}} |g_2''(s)| ds \leq CN^{-1} \frac{1}{\varepsilon H} e^{-x_{N/2}/\varepsilon} e^{-\beta|n-\frac{N}{2}|} \leq \frac{C}{\varepsilon} N^{-3} e^{-\beta|n-\frac{N}{2}|}. \quad (3.1.54)$$

Из (3.1.52)-(3.1.54) вытекает оценка (3.1.8) при  $N/2 \leq n \leq N-1$ . Теорема 2 доказана полностью.

**Доказательство теоремы 3.** Пусть  $\Phi(x) = e^{-x/\varepsilon}$ . Докажем оценку (3.1.9) при  $n = N/2$ . Для этого заметим, что в силу (3.1.46) и того, что  $e^{-\frac{x_{N/2}}{\varepsilon}} = N^{-3}$ , будет иметь место оценка

$$\|g_2''(x)\|_{L^\infty[x_{N/2}, x_{N/2+1}]} \geq \frac{C}{N^2 \varepsilon}. \quad (3.1.55)$$

Оценим снизу  $e(x)$  на интервале  $[x_{N/2}, x_{N/2+1}]$ . В силу (3.1.49) при  $n = \frac{N}{2}$  имеем

$$\|e(x)\|_{C[x_{N/2}, x_{N/2+1}]} \geq \left\| \int_{x_{N/2}}^{x_{N/2+1}} G(x, s)g_2''(s) ds \right\|_{C[x_{N/2}, x_{N/2+1}]} -$$



$$\left\| \int_{x_{N/2}}^{x_{N/2+1}} G(x, s) \Phi''(s) ds \right\|_{C[x_{N/2}, x_{N/2+1}]} . \quad (3.1.56)$$

Далее в силу (3.1.50) при любом  $x \in [x_{N/2}, x_{N/2+1}]$  имеем

$$\begin{aligned} \left| \int_{x_{N/2}}^{x_{N/2+1}} G(x, s) \Phi''(s) ds \right| &\leq \frac{C}{H} \int_{x_{N/2}}^{x_{N/2+1}} (x_{N/2+1} - x)(s - x_{N/2}) \frac{1}{\varepsilon^2} e^{-\frac{s}{\varepsilon}} ds \leq \\ &e^{-\frac{x_{N/2}}{\varepsilon}} \frac{C}{\varepsilon} \int_{x_{N/2}}^{x_{N/2+1}} \frac{s - x_{N/2}}{\varepsilon} e^{-\frac{s - x_{N/2}}{\varepsilon}} ds \leq C e^{-\frac{x_{N/2}}{\varepsilon}} \leq CN^{-3}, \end{aligned}$$

откуда получаем оценку:

$$\left\| \int_{x_{N/2}}^{x_{N/2+1}} G(x, s) \Phi''(s) ds \right\|_{C[x_{N/2}, x_{N/2+1}]} \leq CN^{-3}. \quad (3.1.57)$$

Докажем, что найдется такая константа  $C_1 > 0$ , что

$$\left\| \int_{x_{N/2}}^{x_{N/2+1}} G(x, s) g_2''(s) ds \right\|_{C[x_{N/2}, x_{N/2+1}]} \geq C_1 \frac{N^{-4}}{\varepsilon}. \quad (3.1.58)$$

Сделаем замену переменной  $\frac{s - x_{N/2}}{H} = \tau$  и обозначим  $v(\tau) = \varepsilon N^2 g_2''(x_{N/2} + \tau H)$ .

Тогда оценка (3.1.58) эквивалентна тому, что

$$\left\| \int_0^1 \tilde{G}(x, s) v(s) ds \right\|_{C[0,1]} \geq C_2 > 0, \quad (3.1.59)$$

где  $\tilde{G}(x, s)$  – функция Грина (3.1.50) при  $x_n = 0, x_{n+1} = 1$ ,  $v(\tau)$  – двузвенная кусочно-постоянная на  $[0, 1]$  функция с разрывом в точке  $\tau = 1/2$ , причем в силу (3.1.55)

$$\|v(\tau)\|_{L_\infty[0,1]} \geq C > 0. \quad (3.1.60)$$

Докажем (3.1.59). Предположим противное. Тогда существуют последовательности констант  $C_j \rightarrow 0$  и кусочно-постоянных двузвенных функций  $v_j(\tau) : \|v_j(\tau)\|_{L_\infty[0,1]} = 1$  таких, что при  $j \rightarrow \infty$

$$\left\| \int_0^1 \tilde{G}(\tau, s) v_j(s) ds \right\|_{C[0,1]} \leq C_j \rightarrow 0.$$

Но из последовательности таких функций можно выделить сходящуюся подпоследовательность. Переходя к пределу, получим, что для некоторой функции  $v(\tau)$  такой, что  $\|v(\tau)\|_{L_\infty[0,1]} = 1$  будет

$$\int_0^1 \tilde{G}(\tau, s) v(s) ds \equiv 0.$$

Но функция в левой части последнего тождества есть решение задачи  $y'' = v$ ,  $y(0) = 0$ ,  $y(1) = 0$ , которое не может быть тождественно нулевым при  $v \neq 0$ . Полученное противоречие доказывает (3.1.59).

Из (3.1.56)-(3.1.58) получаем, что найдется такая не зависящая от  $\varepsilon, N$  константа  $C$ , что при  $\varepsilon \leq CN^{-1}$  будут справедливы оценки

$$\|e(x)\|_{C[x_{N/2}, x_{N/2+1}]} \geq C_1 \frac{N^{-4}}{\varepsilon},$$

откуда следует оценка (3.1.9) для  $n = N/2$ . Доказательство для остальных  $n$  с учетом леммы 7 совершенно аналогично.

### 3.1.5 Результаты численных экспериментов

Зададим функцию вида (3.1.1):

$$u(x) = \cos \frac{\pi x}{2} + e^{-\frac{x}{\varepsilon}}, \quad x \in [0, 1].$$

Результаты расчетов сведены в три таблицы. В таблицах приведены максимальные погрешности сплайновой интерполяции, вычисленные в узлах сгущенной сетки, получающейся из исходной расчетной сетки разбиением каждого ее частичного интервала на 10 равных частей. В таблице 1 приведены погрешности для параболического сплайна  $g_2(x, u)$  на равномерной сетке, из таблицы видно, что погрешность возрастает при уменьшении  $\varepsilon$  для фиксированного  $N$ . На рисунке приведены графики функции  $u(x)$  и сплайна  $g_2(x, u)$  на сетке с параметром (3.1.3), иллюстрирующие отсутствие равномерной сходимости интерполяционного процесса при малых значениях  $\varepsilon$ , что соответствует теореме 3.

Отметим, что применение параболического сплайна на равномерной сетке при малых значениях параметра  $\varepsilon$  приводит к значительным погрешностям. Например, при  $\varepsilon = 10^{-8}$  и  $N = 2^9$  погрешность интерполяции порядка  $O(10^4)$ . Так в таблице 2 приведены погрешности для  $g_2(x, u)$  на сетке Шишкина. Из таблицы так же видно, что погрешность возрастает при уменьшении  $\varepsilon$  для фиксированного  $N$ . Результаты таблицы 3 для модифицированного сплайна  $gm_2(x, u)$  демонстрируют равномерную по  $\varepsilon$  сходимость интерполяционного процесса.

Таблица 3.1: Погрешность параболического сплайна  $g_2(x, u)$  на равномерной сетке

	$N = 2^4$	$N = 2^5$	$N = 2^6$	$N = 2^7$	$N = 2^8$	$N = 2^9$
$\varepsilon = 1$	$2.82 \cdot 10^{-7}$	$1.76 \cdot 10^{-8}$	$1.16 \cdot 10^{-9}$	$1.02 \cdot 10^{-10}$	$4.30 \cdot 10^{-12}$	$2.68 \cdot 10^{-13}$
$10^{-1}$	$3.43 \cdot 10^{-4}$	$2.33 \cdot 10^{-5}$	$1.51 \cdot 10^{-6}$	$9.58 \cdot 10^{-8}$	$6.03 \cdot 10^{-9}$	$4.11 \cdot 10^{-10}$
$10^{-2}$	0.43	$8.38 \cdot 10^{-2}$	$9.72 \cdot 10^{-3}$	$8.00 \cdot 10^{-4}$	$5.59 \cdot 10^{-5}$	$3.65 \cdot 10^{-6}$
$10^{-3}$	9.88	4.58	1.93	0.66	0.15	$2.03 \cdot 10^{-2}$
$10^{-4}$	$1.05 \cdot 10^2$	$5.23 \cdot 10^1$	$2.58 \cdot 10^1$	$1.25 \cdot 10^1$	5.90	2.59
$10^{-5}$	$1.06 \cdot 10^3$	$5.30 \cdot 10^2$	$2.64 \cdot 10^2$	$1.32 \cdot 10^2$	$6.56 \cdot 10^1$	$3.24 \cdot 10^1$
$10^{-6}$	$1.06 \cdot 10^4$	$5.30 \cdot 10^3$	$2.65 \cdot 10^3$	$1.33 \cdot 10^3$	$6.62 \cdot 10^2$	$3.30 \cdot 10^2$
$10^{-7}$	$1.06 \cdot 10^5$	$5.30 \cdot 10^4$	$2.65 \cdot 10^4$	$1.33 \cdot 10^4$	$6.63 \cdot 10^3$	$3.30 \cdot 10^3$
$10^{-8}$	$1.06 \cdot 10^6$	$5.30 \cdot 10^5$	$2.65 \cdot 10^5$	$1.33 \cdot 10^5$	$6.63 \cdot 10^4$	$3.31 \cdot 10^4$

Таблица 3.2: Погрешность параболического сплайна на кусочно-равномерной сетке с  $\sigma$  из (3.1.3)

	$N = 2^4$	$N = 2^5$	$N = 2^6$	$N = 2^7$	$N = 2^8$	$N = 2^9$
$\varepsilon = 1$	$9.38 \cdot 10^{-6}$	$1.18 \cdot 10^{-6}$	$1.47 \cdot 10^{-7}$	$1.84 \cdot 10^{-8}$	$2.31 \cdot 10^{-9}$	$2.89 \cdot 10^{-10}$
$10^{-1}$	$1.44 \cdot 10^{-3}$	$2.50 \cdot 10^{-4}$	$3.64 \cdot 10^{-5}$	$4.90 \cdot 10^{-6}$	$6.35 \cdot 10^{-7}$	$8.09 \cdot 10^{-8}$
$10^{-2}$	$4.37 \cdot 10^{-3}$	$1.58 \cdot 10^{-3}$	$4.49 \cdot 10^{-4}$	$1.04 \cdot 10^{-4}$	$2.15 \cdot 10^{-5}$	$4.03 \cdot 10^{-6}$
$10^{-3}$	$7.05 \cdot 10^{-3}$	$1.58 \cdot 10^{-3}$	$4.49 \cdot 10^{-4}$	$1.04 \cdot 10^{-4}$	$2.15 \cdot 10^{-5}$	$4.03 \cdot 10^{-6}$
$10^{-4}$	$7.32 \cdot 10^{-2}$	$4.08 \cdot 10^{-3}$	$4.49 \cdot 10^{-4}$	$1.04 \cdot 10^{-4}$	$2.15 \cdot 10^{-5}$	$4.03 \cdot 10^{-6}$
$10^{-5}$	$7.35 \cdot 10^{-1}$	$4.11 \cdot 10^{-2}$	$2.36 \cdot 10^{-3}$	$1.39 \cdot 10^{-4}$	$2.15 \cdot 10^{-5}$	$4.03 \cdot 10^{-6}$
$10^{-6}$	7.35	$4.11 \cdot 10^{-1}$	$2.37 \cdot 10^{-2}$	$1.40 \cdot 10^{-3}$	$8.46 \cdot 10^{-5}$	$5.18 \cdot 10^{-6}$
$10^{-7}$	73.5	4.11	$2.37 \cdot 10^{-1}$	$1.40 \cdot 10^{-2}$	$8.46 \cdot 10^{-4}$	$5.19 \cdot 10^{-5}$
$10^{-8}$	735	41.1	2.37	$1.40 \cdot 10^{-1}$	$8.46 \cdot 10^{-3}$	$5.19 \cdot 10^{-4}$

Таблица 3.3: Погрешность модифицированного сплайна  $gm_2(x, u)$  на кусочно-равномерной сетке с  $\sigma$  из (3.1.3)

	$N = 2^4$	$N = 2^5$	$N = 2^6$	$N = 2^7$	$N = 2^8$	$N = 2^9$
$\varepsilon = 1$	$9.38 \cdot 10^{-6}$	$1.18 \cdot 10^{-6}$	$1.47 \cdot 10^{-7}$	$1.84 \cdot 10^{-8}$	$2.31 \cdot 10^{-9}$	$2.89 \cdot 10^{-10}$
$10^{-1}$	$1.44 \cdot 10^{-3}$	$2.50 \cdot 10^{-4}$	$3.64 \cdot 10^{-5}$	$4.90 \cdot 10^{-6}$	$6.35 \cdot 10^{-7}$	$8.09 \cdot 10^{-8}$
$10^{-2}$	$4.37 \cdot 10^{-3}$	$1.58 \cdot 10^{-3}$	$4.49 \cdot 10^{-4}$	$1.04 \cdot 10^{-4}$	$2.15 \cdot 10^{-5}$	$4.03 \cdot 10^{-6}$
$10^{-3}$	$4.37 \cdot 10^{-3}$	$1.58 \cdot 10^{-3}$	$4.49 \cdot 10^{-4}$	$1.04 \cdot 10^{-4}$	$2.15 \cdot 10^{-5}$	$4.03 \cdot 10^{-6}$
$10^{-4}$	$4.37 \cdot 10^{-3}$	$1.58 \cdot 10^{-3}$	$4.49 \cdot 10^{-4}$	$1.04 \cdot 10^{-4}$	$2.15 \cdot 10^{-5}$	$4.03 \cdot 10^{-6}$
$10^{-5}$	$4.37 \cdot 10^{-3}$	$1.58 \cdot 10^{-3}$	$4.49 \cdot 10^{-4}$	$1.04 \cdot 10^{-4}$	$2.15 \cdot 10^{-5}$	$4.03 \cdot 10^{-6}$
$10^{-6}$	$4.37 \cdot 10^{-3}$	$1.58 \cdot 10^{-3}$	$4.49 \cdot 10^{-4}$	$1.04 \cdot 10^{-4}$	$2.15 \cdot 10^{-5}$	$4.03 \cdot 10^{-6}$
$10^{-7}$	$4.37 \cdot 10^{-3}$	$1.58 \cdot 10^{-3}$	$4.49 \cdot 10^{-4}$	$1.04 \cdot 10^{-4}$	$2.15 \cdot 10^{-5}$	$4.03 \cdot 10^{-6}$
$10^{-8}$	$4.37 \cdot 10^{-3}$	$1.59 \cdot 10^{-3}$	$4.49 \cdot 10^{-4}$	$1.04 \cdot 10^{-4}$	$2.15 \cdot 10^{-5}$	$4.03 \cdot 10^{-6}$

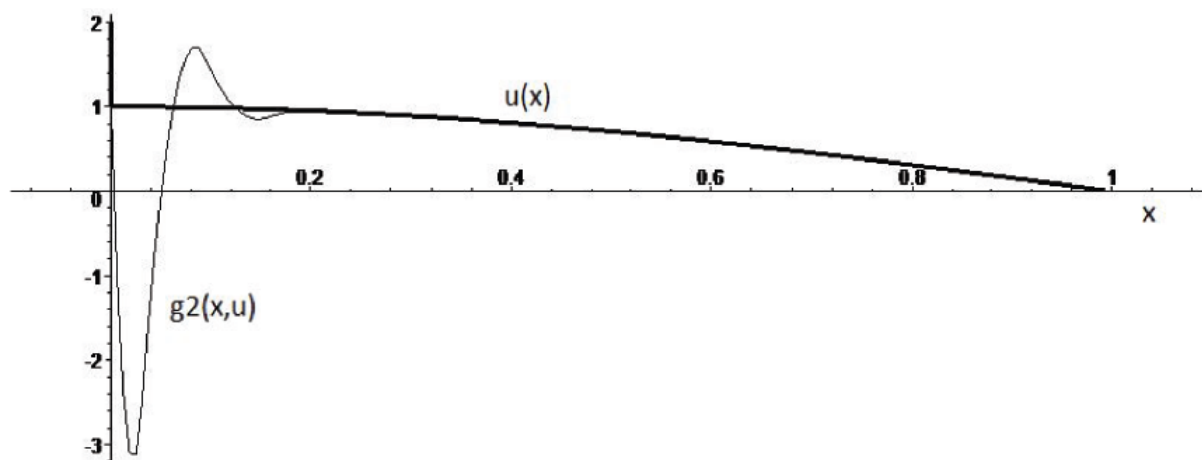


Рис. 3.1: Графики  $u(x)$  и  $g_2(x, u)$  при  $\varepsilon = 10^{-7}$ ,  $N = 32$  сетка Шипкина

## 3.2 Интерполяция кубическими сплайнами функций с большими градиентами в пограничном слое

Будем говорить, что квадратная матрица  $A = \{a_{nk}\}$  имеет диагональное преобладание по строкам с показателем преобладания  $r > 0$ , если справедлива формула

$$\min_n (|a_{nn}| - \sum_{k \neq n} |a_{nk}|) \geq r.$$

### 3.2.1 Постановка задачи

Пусть интерполируемая функция  $u(x)$  представима в виде:

$$u(x) = q(x) + \Phi(x), \quad x \in [0, 1], \quad (3.2.1)$$

где

$$|q^{(j)}(x)| \leq C_1, \quad |\Phi^{(j)}(x)| \leq \frac{C_1}{\varepsilon^j} e^{-\alpha x/\varepsilon}, \quad 0 \leq j \leq 4, \quad (3.2.2)$$

где функции  $q(x)$  и  $\Phi(x)$  в явном виде не заданы,  $\alpha > 0, \varepsilon > 0$ , некоторая постоянная  $C_1$  не зависит от  $\varepsilon$ .

Согласно (3.2.2), регулярная составляющая  $q(x)$  имеет производные, ограниченные до четвертого порядка, а погранслойная составляющая  $\Phi(x)$  имеет производные, не ограниченные равномерно по параметру  $\varepsilon$ .

В соответствии с [70, 10, 8], представление (3.2.1) с ограничениями (3.2.2) имеет место для решения сингулярно возмущенной краевой задачи:

$$\varepsilon u''(x) + a_1(x)u'(x) - a_2(x)u(x) = f(x), \quad u(0) = A, \quad u(1) = B, \quad (3.2.3)$$

где

$$a_1(x) \geq \alpha > 0, \quad a_2(x) \geq 0, \quad \varepsilon > 0,$$

функции  $a_1(x)$ ,  $a_2(x)$ ,  $f(x)$  – достаточно гладкие. При малых значениях параметра  $\varepsilon$  решение задачи (3.2.3) имеет погранслоиную область больших градиентов у границы  $x = 0$ , чему соответствует представление (3.2.1).

Изучим задачу кубической сплайн-интерполяции функции (3.2.1). Вначале рассмотрим случай равномерной сетки. Пусть  $N$  – натуральное число,  $\Delta$  – равномерное с шагом  $H = 1/N$  и узлами  $x_n$ ,  $n = 0, 1, \dots, N$ , разбиение отрезка  $[0, 1]$ . Пусть  $g_3(x, u) \in S(\Delta, 3, 1)$  – интерполяционный кубический сплайн на сетке  $\Delta$ , определяемый из условий

$$g_3(x_n, u) = u(x_n), \quad 0 \leq n \leq N, \quad g_3'(0, u) = u'(0), \quad g_3'(1, u) = u'(1). \quad (3.2.4)$$

**Теорема 1** *В случае равномерной сетки найдется такая константа  $C$ , что будет справедлива оценка*

$$\|u(x) - g_3(x, u)\|_{C[0,1]} \leq C(N\varepsilon)^{-4}. \quad (3.2.5)$$

*Если в (3.2.1)  $\Phi(x) = e^{-\alpha x/\varepsilon}$ , то имеет место и оценка снизу*

$$\|u(x) - g_3(x, u)\|_{C[0,1]} \geq C_1 \min\{(N\varepsilon)^{-1}, (N\varepsilon)^{-4}\}. \quad (3.2.6)$$

Эта и последующие теоремы будут доказаны далее. Из теоремы 1 следует, что при  $\varepsilon = O(1/N)$  погрешность интерполяции будет величиной порядка  $O^*(1)$  и выше, и необходимо применение адаптивных сеток.

**Замечание 1** *Заменяя краевые условия (3.2.4) на [50] "естественные"  $g_3''(0, u) = 0$ ,  $g_3''(1, u) = 0$ , можно "улучшить" оценку (3.2.6) до*

$$\|u(x) - g_3(x, u)\|_{C[0,1]} \geq C_1 \min\{1, (N\varepsilon)^{-4}\},$$

*но ясно, что и в этом случае  $g_3(x, u)$  непригоден для аппроксимации.*

В соответствии с [70] зададим сетку  $\Omega$  с узлами  $x_n$ ,  $n = 0, 1, \dots, N$ , и шагами

$$h_n = h = \frac{\sigma}{N/2}, n = 1, \dots, \frac{N}{2}, h_n = H = \frac{1 - \sigma}{N/2}, n = \frac{N}{2} + 1, \dots, N. \quad (3.2.7)$$

В соответствии с [70] зададим

$$\sigma = \min \left\{ \frac{1}{2}, \frac{4\varepsilon}{\alpha} \ln N \right\}. \quad (3.2.8)$$

**Замечание 2** В дальнейшем будем считать, что  $N = 2N_0 \geq 8$ .

Итак, пусть функция  $u(x)$  задана в узлах сетки  $\Omega$ ,  $u_n = u(x_n)$ ,  $n = 0, 1, \dots, N$ . Исследуем погрешность интерполяции кубическим сплайном на кусочно-равномерной сетке (3.2.7) с заданием параметра  $\sigma$  в соответствии с (3.2.8).

### 3.2.2 Формулировка основных результатов

В соответствии с [50] для интерполяционного кубического сплайна  $g_3(x, u) \in S(\Omega, 3, 1)$  справедлива оценка погрешности:

$$|g_3(x, u) - u(x)| \leq \frac{5}{384} \|u^{(4)}\|_{C[0,1]} \max_n h_n^4. \quad (3.2.9)$$

Из (3.2.9) следует, что если производная  $u^{(4)}(x)$  является ограниченной, сплайн  $g_3(x, u)$  обладает четвертым порядком точности по шагу сетки. Однако, в силу (3.2.2), производная  $u^{(4)}(x)$  неограниченно растет у границы  $x = 0$  с уменьшением  $\varepsilon$ . Как следует из теоремы 1, погрешность кубического сплайна на равномерной сетке может быть порядка  $O(1)$  и выше.

Заметим, что  $g_3(x, u) = g_3(x, q) + g_3(x, \Phi)$ , а в силу условий (3.2.2) и (3.2.9)  $\|q(x) - g_3(x, q)\|_{C[0,1]} \leq C_2 \max_n h_n^4 \leq C_2 N^{-4}$ . Поэтому для построения сплайна, аппроксимирующего  $u(x)$  с порядком  $O(N^{-4} \ln^4 N)$ , необходимо и достаточно обеспечить оценку

$$\|\Phi(x) - g_3(x, \Phi)\|_{C[0,1]} \leq C_2 N^{-4} \ln^4 N. \quad (3.2.10)$$

В случае, когда в (3.2.8)  $\sigma = 1/2$ , оценка (3.2.10) имеет место в силу (3.2.5) и того, что в этом случае  $N\varepsilon = O^*(N/\ln N)$ . Поэтому ниже будем предполагать, что  $\sigma < 1/2$ . Также, не ограничивая общности, будем считать, что в (3.2.2)  $\alpha = 1$ , так как общий случай сводится к этому заменой  $\alpha x = y$  с сохранением оценок вида (3.2.2).

Далее для краткости будем использовать обозначение  $g_3(x) = g_3(x, \Phi)$ ,  $g_3(x) \in S(\Omega, 3, 1)$ .

**Теорема 2** Найдутся такие константы  $C_2, C_3$ , что при  $N^{-1} \leq C_3 \varepsilon$  будут справедливы оценки (3.2.10).

**Теорема 3** Найдутся такие константы  $C_4, C_5$  и  $\beta > 0$ , не зависящие от  $\varepsilon, N$ , что при  $\varepsilon \leq C_4 N^{-1}$  будут справедливы оценки

$$\|g_3(x) - \Phi(x)\|_{C[x_n, x_{n+1}]} \leq C_5 \begin{cases} N^{-4} \ln^4 N, & 0 \leq n \leq N/2 - 1 \\ \varepsilon^{-1} N^{-5} \exp\left(-\beta(n - N/2)\right), & N/2 \leq n \leq N - 1 \end{cases} \quad (3.2.11)$$

Следующая теорема показывает, что оценки (3.2.11) неумлучшаемы.

**Теорема 4** Пусть  $\Phi(x) = e^{-x/\varepsilon}$ . Тогда найдутся такие  $C_4, C_6, \beta_1 > 0$ , не зависящие от  $\varepsilon, N$ , что при  $\varepsilon \leq C_4 N^{-1}$  будут справедливы оценки снизу

$$\|g_3(x) - \Phi(x)\|_{C[x_n, x_{n+1}]} \geq C_6 N^{-5} \varepsilon^{-1} e^{-\beta_1(n - N/2)}, \quad \frac{N}{2} \leq n \leq N - 1. \quad (3.2.12)$$

Построим модифицированный интерполяционный сплайн. Положим

$$\bar{x}_{N/2} = (x_{N/2} + x_{N/2+1})/2, \quad \bar{x}_n = x_n, \quad n \in [0, N/2 - 1] \cup [N/2 + 1, N]$$

Пусть  $gt_3(x, u)$  — интерполяционный кубический сплайн, определяемый из условий

$$gt_3(\bar{x}_n, u) = u(\bar{x}_n), \quad n \in [0, N], \quad gt_3'(0, u) = u'(0), \quad gt_3'(1, u) = u'(1). \quad (3.2.13)$$

Единственным отличием  $gt_3(x, u)$  от  $g_3(x, u)$  является то, что узел интерполяции  $x_{N/2}$  заменяется узлом  $\bar{x}_{N/2}$ . Узлы самого сплайна при этом не меняются и совпадают с узлами  $\Omega$ .

**Теорема 5** Найдутся такие не зависящие от  $\varepsilon, N$  константы  $\gamma_0 > 0, C$ , что при  $\varepsilon \ln N \leq \gamma_0$  будет справедлива оценка

$$\|u(x) - gt_3(x, u)\|_{C[0,1]} \leq CN^{-4} \ln^4 N. \quad (3.2.14)$$

**Замечание 3** Условие  $\varepsilon \ln N \leq \gamma_0$  будет выполнено при  $\varepsilon \leq CN^{-1}$ . Поэтому в силу теорем 2, 5 применение интерполяционного сплайна  $gt_3(x, u)$  при  $\varepsilon = O(N^{-1})$  и интерполяционного сплайна  $g_3(x, u)$  при  $N^{-1} = O(\varepsilon)$  позволяет получить равномерные по  $N, \varepsilon$  оценки вида (3.2.10), (3.2.14).

**Замечание 4** Предполагается, что функция  $u(x)$  задана своими значениями в точках сетки  $\Omega$ , а  $\bar{x}_{N/2} \notin \Omega$ . Поэтому для получения оценок вида (3.2.10), (3.2.14) необходимо найти значение  $u(\bar{x}_{N/2})$  с точностью  $O(\ln^4 N/N^4)$ . Как показано в [52], это можно сделать с помощью многочлена Лагранжа невысокой фиксированной степени по соседним с  $\bar{x}_{N/2}$  узлам.

### 3.2.3 Вспомогательные результаты

Изучим функцию  $g_3''(x)$ . Согласно [41, с. 60], справедлива формула

$$g_3''(x) = P\Phi''(x), \quad (3.2.15)$$

где  $P$  - ортогональный в  $L_2[0, 1]$  проектор на  $S(\Omega, 1, 1)$ . Пусть

$$N_{n,1}(x) = \begin{cases} \frac{x-x_n}{x_{n+1}-x_n}, x \in [x_n, x_{n+1}] \\ \frac{x_{n+2}-x}{x_{n+2}-x_{n+1}}, x \in [x_{n+1}, x_{n+2}], -1 \leq n \leq N-1 \\ 0, x \notin [x_n, x_{n+2}] \end{cases} \quad (3.2.16)$$

—  $B$ -сплайн первой степени. Из (3.2.16) находим

$$\| N_{n,1} \|_{L_2[0,1]} = \frac{1}{\sqrt{3}}(h_{n+1} + h_{n+2})^{1/2}, \quad (3.2.17)$$

т.е.

$$\| N_{n,1} \|_{L_2[0,1]} = \begin{cases} O^*(h^{1/2}), & 0 \leq n \leq N/2 - 2, \\ O^*(H^{1/2}), & N/2 - 1 \leq n \leq N - 1. \end{cases} \quad (3.2.18)$$

Пусть  $\tilde{N}_{n,1}(x) = N_{n,1}(x) / \| N_{n,1} \|_{L_2[0,1]}$ ,  $0 \leq n \leq N - 2$ . При  $n = -1$  и  $n = N - 1$  положим

$$\tilde{N}_{-1,1}(x) = \tilde{N}_{0,1}(x + h), \quad \tilde{N}_{N-1,1}(x) = \tilde{N}_{N-2,1}(x - H).$$

Из (3.2.16), (3.2.18) вытекает формула

$$\| \tilde{N}_{n,1} \|_{C[0,1]} = \begin{cases} O^*(h^{-1/2}), & -1 \leq n \leq N/2 - 2, \\ O^*(H^{-1/2}), & N/2 - 1 \leq n \leq N - 1. \end{cases} \quad (3.2.19)$$

Представим функцию  $g_3''(x)$  в виде

$$g_3''(x) = \sum_{n=-1}^{N-1} \alpha_n \tilde{N}_{n,1}(x). \quad (3.2.20)$$

Из условий ортогональности разности  $g_3''(x, \Phi) - \Phi''(x)$  пространству  $S(\Omega, 1, 1)$  получим СЛАУ для коэффициентов

$$\sum_{n=-1}^{N-1} \alpha_n (\tilde{N}_{n,1}, \tilde{N}_{k,1}) = (\Phi'', \tilde{N}_{k,1}), \quad -1 \leq k \leq N - 1, \quad (3.2.21)$$



или в матричном виде

$$\Gamma\alpha = F, \quad (3.2.22)$$

где  $\Gamma = \{\gamma_{nk}\} = \{(\tilde{N}_{n,1}, \tilde{N}_{k,1})\}$  — матрица Грама нормированных  $B$ -сплайнов,

$$F = (F_{-1}, F_0, \dots, F_{N-1})^T, \quad F_j = (\Phi'', \tilde{N}_j).$$

**Лемма 1** Матрица  $\Gamma$  имеет вид

$$\Gamma = \text{tridiag}\{a_n, c_n, b_n\}, \quad -1 \leq n \leq N-1, \quad a_{-1} = b_{N-1} = 0, \quad (3.2.23)$$

$$a_{n+1} = b_n = \frac{1}{4}, \quad 0 \leq n \leq N-2, \quad n \neq N/2-2, \quad n \neq N/2-1, \quad (3.2.24)$$

$$a_{N/2} = b_{N/2-1} = \frac{H^{1/2}}{2\sqrt{2}(h+H)^{1/2}}, \quad a_{N/2-1} = b_{N/2-2} = \frac{h^{1/2}}{2\sqrt{2}(h+H)^{1/2}}, \quad (3.2.25)$$

$$c_n = 1, \quad 0 \leq n \leq N-2, \quad c_{-1} = c_{N-1} = \frac{1}{\sqrt{2}}. \quad (3.2.26)$$

Доказательство получается прямым вычислением интегралов с учетом (3.2.17).

Обозначим через  $\text{cond}_2\Gamma$  спектральное число обусловленности  $\Gamma$ .

**Следствие 1** Матрица  $\Gamma$  имеет вид

$$\Gamma = \begin{pmatrix} \Gamma_{11} & \Gamma_{12} \\ \Gamma_{21} & \Gamma_{22} \end{pmatrix}, \quad (3.2.27)$$

где  $\Gamma, \Gamma_{11}, \Gamma_{22}$  — трехдиагональные квадратные матрицы со строгим диагональным преобладанием порядка  $(N/2) \times (N/2)$  и  $(N/2+1) \times (N/2+1)$  соответственно, причем  $\text{cond}_2\Gamma = O(1)$ ,  $\text{cond}_2\Gamma_{ii} = O(1)$ ,  $i = 1, 2$ , а матрицы  $\Gamma_{12}$  и  $\Gamma_{21}$  — прямоугольные матрицы с единственным ненулевым элементом порядка  $O((h/H)^{1/2})$  в левом нижнем и правом верхнем углах соответственно.

Данное следствие справедливо, так как в силу (3.2.23)-(3.2.26) все три матрицы  $\Gamma, \Gamma_{11}, \Gamma_{22}$  имеют строгое диагональное преобладание по строкам с положительным не зависящим от  $\varepsilon, N$  показателем преобладания.

**Лемма 2** Матрицы  $\Gamma_{11}, \Gamma_{22}$  обратимы, и для элементов  $\tilde{\gamma}_{nk}^{ii}$ ,  $i = 1, 2$  обратных матриц справедливы оценки

$$|\tilde{\gamma}_{nk}^{ii}| \leq Ce^{-\beta|n-k|}, \quad (3.2.28)$$

а для элементов  $\Gamma_{22}$  также справедливы оценки снизу

$$|\check{\gamma}_{nk}^{22}| \geq C_1 e^{-\beta_1 |n-k|}, \quad (3.2.29)$$

а также

$$|\check{\gamma}_{nk}^{22}| \geq |\check{\gamma}_{np}^{22}| e^{-\beta_2 |k-p|}, \quad N/2 - 1 \leq n \leq N - 1, \quad N/2 - 1 \leq k \leq p \leq N - 1, \quad (3.2.30)$$

где  $C, C_1, \beta, \beta_1, \beta_2$  не зависят от  $N, \varepsilon$ .

**Доказательство.** Обратимость матриц  $\Gamma_{11}, \Gamma_{22}$  и оценки (3.2.28) вытекают из строгого диагонального преобладания и теоремы Демко [5]. Докажем оценки (3.2.29).

Рассмотрим матрицу

$$M = \{m_{nk}, N/2 - 1 \leq n, k \leq N - 1\} = \text{tridiag}\left\{\frac{1}{4}, 1, \frac{1}{4}\right\}.$$

Поскольку  $h \leq H$ , то из (3.2.23)-(3.2.26) следует, что  $\gamma_{nn}^{22} \leq m_{nn}$ ,  $\gamma_{nk}^{22} \geq m_{nk}$ ,  $n \neq k$ . Тогда для  $M$ -матриц (см. [45, с. 269])  $\Gamma M_{22} = \{\gamma m_{nk}^{22}\}$  и  $MM = \{mm_{nk}\}$ , получающихся из  $M$  и  $\Gamma_{22}$  заменой знаков всех внедиагональных элементов на противоположные, согласно [45, с.270, п. 36.19] будем иметь

$$\check{\gamma} \check{m}_{nk}^{22} \geq \check{m} \check{m}_{nk} \geq 0, \quad (3.2.31)$$

где  $\check{\gamma} \check{m}_{nk}^{22}$  и  $\check{m} \check{m}_{nk}$  – соответствующие элементы обратных матриц. Но непосредственным перемножением исходных и обратных матриц легко убедиться, что для элементов  $\Gamma_{22}^{-1} = \{\check{\gamma}_{nk}\}$  и  $M^{-1} = \{\check{m}_{nk}\}$  будут справедливы равенства

$$\check{\gamma}_{nk} = (-1)^{n+k} \gamma \check{m}_{nk}, \quad \check{m}_{nk} = (-1)^{n+k} m \check{m}_{nk}. \quad (3.2.32)$$

Поэтому приходим к выводу, что

$$|\check{\gamma}_{nk}^{22}| \geq |\check{m}_{nk}|. \quad (3.2.33)$$

Заметим, что из тех же соображений, рассматривая пару матриц  $MM$  и  $I$ , где  $I$  – единичная матрица, получаем

$$\check{m}_{kk} \geq 1. \quad (3.2.34)$$

Ввиду (3.2.33) для доказательства (3.2.29) достаточно доказать оценку

$$|\check{m}_{nk}| \geq C_1 e^{-\beta_1 |n-k|}. \quad (3.2.35)$$

Рассматривая  $\{\check{m}_{nk}\}$  как решения краевой задачи для трехточечного разностного уравнения

$$\frac{1}{4}\check{m}_{n-1k} + \check{m}_{nk} + \frac{1}{4}\check{m}_{n+1k} = 0, \quad N/2 - 1 \leq n \leq k - 1 \quad (3.2.36)$$

с заданными граничными значениями  $m_{(N/2-2)k} = 0$  и  $\check{m}_{kk} : 1 \leq \check{m}_{kk} \leq C$ , находим согласно [65, с.55, формула (5)]

$$\check{m}_{nk} = \frac{\lambda_1^{n-N/2+2} - \lambda_2^{n-N/2+2}}{\lambda_1^{k-N/2+1} - \lambda_2^{k-N/2+1}} \check{m}_{kk}, \quad N/2 - 1 \leq n \leq k - 1, \quad \lambda_{1,2} = -2 \pm \sqrt{3}. \quad (3.2.37)$$

Отсюда следует (3.2.35) для  $N/2 - 1 \leq n \leq k - 1$ . Доказательство для  $k + 1 \leq n \leq N - 1$  аналогично, а при  $n = k$  оценка вытекает из (3.2.34). Оценка (3.2.29) доказана.

Докажем (3.2.30). Для элементов  $\Gamma^{-1}$  при фиксированном  $n \in [N/2 - 1, N - 1]$  справедливы формулы

$$\check{\gamma}_{nk-1}^{22} \gamma_{k-1k}^{22} + \check{\gamma}_{nk}^{22} + \check{\gamma}_{nk+1}^{22} \gamma_{k+1k}^{22} = 0, \quad k \neq n.$$

Из (3.2.31), (3.2.32) получаем, что  $\text{sign } \check{\gamma}_{nk-1}^{22} = \text{sign } \check{\gamma}_{nk+1}^{22}$ . Отсюда, с учетом (3.2.23)-(3.2.26) и положительности  $\gamma_{kk}^{22}$  и находим для  $k \neq n$

$$|\check{\gamma}_{nk}^{22}| \geq |\check{\gamma}_{nk+1}^{22} \gamma_{k+1k}^{22}| \geq \frac{1}{4} |\check{\gamma}_{nk+1}^{22}|,$$

и оценка (3.2.30) доказана для  $k \neq n$  при  $\beta_2 = \ln 4$ . Для  $k = n$  она вытекает из (3.2.28) и неравенства  $\check{\gamma}_{kk}^{22} \geq 1$ , которое следует из (3.2.31)-(3.2.34) Лемма доказана.

**Лемма 3** Для элементов  $F_n$  при любых  $\varepsilon \in (0, 1)$ ,  $N$  справедливы оценки

$$F_n = \begin{cases} O(h^{1/2} \varepsilon^{-2} e^{-x_{n+1}/\varepsilon}), & -1 \leq n \leq N/2 - 2, \\ O(H^{1/2} \varepsilon^{-2} e^{-x_n/\varepsilon}), & N/2 - 1 \leq n \leq N - 1, \end{cases} \quad (3.2.38)$$

а при  $\varepsilon \leq CN^{-1}$  также справедливы оценки

$$F_n = \begin{cases} O(H^{-1/2} \varepsilon^{-1} e^{-x_{N/2}/\varepsilon}), & n = N/2 - 1, \\ O(H^{-3/2} \varepsilon^{-1} e^{-x_n/\varepsilon}), & N/2 \leq n \leq N - 1. \end{cases} \quad (3.2.39)$$

В случае, если  $\Phi(x) = e^{-\frac{x}{\varepsilon}}$ , справедливы и аналогичные оценки снизу, т.е. с заменой в (3.2.38)-(3.2.39)  $O$  на  $O^*$ .

**Доказательство:** Используем прямое вычисление интегралов с учетом (3.2.19). Докажем, например, вторую оценку (3.2.39), остальные получаются совершенно аналогично. Имеем в силу (3.2.16), (3.2.19), (3.2.2) при  $n \geq N/2$

$$|F_n| = |(\Phi'', \tilde{N}_{n,1})| \leq \int_{x_n}^{x_{n+2}} |\tilde{N}_{n,1}(x)| \cdot |\Phi''(x)| dx \leq C \int_{x_n}^{x_{n+2}} H^{-1/2} \frac{x-x_n}{H} \frac{1}{\varepsilon^2} e^{-\frac{x}{\varepsilon}} dx =$$

$$= CH^{-3/2} e^{-\frac{x_n}{\varepsilon}} \frac{1}{\varepsilon} \int_{x_n}^{x_{n+2}} \frac{x - x_n}{\varepsilon} e^{-\frac{x-x_n}{\varepsilon}} dx \leq C_1 H^{-3/2} e^{-\frac{x_n}{\varepsilon}},$$

что и требовалось. Если  $\Phi(x) = e^{-\frac{x}{\varepsilon}}$ , то все интегралы вычисляются точно и оценки будут двусторонними. Лемма доказана.

**Лемма 4** Для матрицы  $\Gamma^{-1}$  справедливо представление

$$\Gamma^{-1} = \begin{pmatrix} \tilde{\Gamma}_{11} & \tilde{\Gamma}_{12} \\ \tilde{\Gamma}_{21} & \tilde{\Gamma}_{22} \end{pmatrix}, \quad (3.2.40)$$

где элементы  $\tilde{\gamma}_{nk}^{ij}$  матриц  $\tilde{\Gamma}_{ij}$  при некотором  $\beta > 0$ , не зависящем от  $\varepsilon, N$ , удовлетворяют оценкам

$$\begin{aligned} |\tilde{\gamma}_{nk}^{11}| &\leq C e^{-\beta|n-k|}, \quad -1 \leq n, k \leq N/2 - 2; \\ |\tilde{\gamma}_{nk}^{22}| &\leq C e^{-\beta|n-k|}, \quad N/2 - 1 \leq n, k \leq N - 1, \\ |\tilde{\gamma}_{nk}^{ij}| &\leq C(h/H)^{1/2} e^{-\beta|n-k|}, \end{aligned} \quad (3.2.41)$$

где

$$\begin{aligned} -1 \leq n \leq N/2 - 2, N/2 - 1 \leq k \leq N - 1 \text{ при } i = 1, j = 2; \\ -1 \leq k \leq N/2 - 2, N/2 - 1 \leq n \leq N - 1 \text{ при } i = 2, j = 1. \end{aligned}$$

**Доказательство.** Применяя блочный метод Гаусса, находим

$$\Gamma^{-1} = \begin{pmatrix} \Gamma_{11}^{-1} + \Gamma_{11}^{-1} \Gamma_{12} \tilde{\Gamma}^{-1} \Gamma_{21} \Gamma_{11}^{-1} & \Gamma_{11}^{-1} \Gamma_{12} \tilde{\Gamma}^{-1} \\ \tilde{\Gamma}^{-1} \Gamma_{21} \Gamma_{11}^{-1} & \tilde{\Gamma}^{-1} \end{pmatrix}, \quad (3.2.42)$$

где  $\tilde{\Gamma} = \Gamma_{22} - \Gamma_{21} \Gamma_{11}^{-1} \Gamma_{12}$ . Здесь обратимость всех блоков и равномерная по  $\varepsilon, N$  ограниченность всех обратных матриц вытекает из следствия 1. Более того, из теоремы Демко [5] вытекает, что элементы матрицы  $\Gamma_{11}^{-1}$  удовлетворяют оценкам вида (3.2.41), а, значит, в силу вида матриц  $\Gamma_{12}, \Gamma_{21}$  таким же оценкам удовлетворяют и элементы матрицы  $\tilde{\Gamma}$ . Но для матриц, имеющих обратную, ограниченную в спектральной норме константой, не зависящей от порядка матрицы и параметров, определяющих ее элементы, в [28] было доказано, что и элементы обратной матрицы  $\tilde{\Gamma}^{-1}$  удовлетворяют таким же оценкам, возможно, с другой константой  $\beta_1 \in (0, 1)$ , также не зависящей от  $N, \varepsilon$ . Там же было доказано, что элементы произведения двух матриц, удовлетворяющих оценкам вида (3.2.41), удовлетворяют таким же оценкам, возможно, с другой константой  $\beta_1 \in (0, 1)$ . Отсюда вытекают первая из оценок (3.2.41).

Докажем оставшиеся оценки (3.2.41) при  $i = 1, j = 2$ . При  $i = 2, j = 1$  они получатся в силу симметрии  $\Gamma^{-1}$ . Пусть  $\tilde{\Gamma}^{-1} = \{\tilde{\gamma}_{nk}, N/2 - 1 \leq n, k \leq N - 1\}$ ,  $\Gamma_{12} = \{\gamma_{nk}, 1 \leq n \leq N/2 - 2, N/2 - 1 \leq k \leq N - 1\}$ ,  $\Gamma_{11}^{-1} = \{\tilde{\gamma}_{nk}^{11}, 1 \leq n, k \leq N/2 - 2\}$ . Поскольку у матрицы  $\Gamma_{12}$  отличен от нуля единственный элемент  $\gamma_{(N/2-2)(N/2-1)}$ , то, перемножая матрицы, находим для элементов матрицы  $\tilde{\Gamma}_{12}$ :  $\tilde{\gamma}_{nk}^{12} = \tilde{\gamma}_{n(N/2-2)}^{11} \gamma_{(N/2-2)(N/2-1)} \tilde{\gamma}_{(N/2-2)k}$ . Отсюда, учитывая оценки (3.2.41) для первого и третьего сомножителей и формулу (3.2.25) для второго сомножителя, получаем

$$\begin{aligned} |\tilde{\gamma}_{nk}^{12}| &\leq C e^{-\beta((N/2-2)-n)} (h/H)^{1/2} e^{-\beta(k-(N/2-2))} = \\ &= C (h/H)^{1/2} e^{-\beta(k-n)} = C (h/H)^{1/2} e^{-\beta|k-n|}. \end{aligned}$$

Лемма доказана.

**Лемма 5** Для коэффициентов  $\alpha_n$  в представлении (3.2.20) при  $\varepsilon \leq CN^{-1}$  справедливы оценки

$$\alpha_n = \begin{cases} O(h^{1/2} \varepsilon^{-2} e^{-x_{n+1}/\varepsilon}), & -1 \leq n \leq N/2 - 2, \\ O(H^{-1/2} \varepsilon^{-1} e^{-x_{N/2}/\varepsilon}), & n = N/2 - 1, \\ O(H^{-1/2} \varepsilon^{-1} e^{-x_{N/2}/\varepsilon} e^{-\beta(n-N/2)}), & N/2 \leq n \leq N - 1 \end{cases}, \quad (3.2.43)$$

а при  $N^{-1} \leq C\varepsilon$  — оценки

$$\alpha_n = \begin{cases} O(h^{1/2} \varepsilon^{-2} e^{-x_{n+1}/\varepsilon}), & -1 \leq n \leq N/2 - 2, \\ O(H^{1/2} \varepsilon^{-2} e^{-x_{n+1}/\varepsilon}), & N/2 - 1 \leq n \leq N - 1 \end{cases}. \quad (3.2.44)$$

В случае, если  $\Phi(x) = e^{-\frac{x}{\varepsilon}}$ , найдется такая константа  $C > 0$ , не зависящая от  $\varepsilon, N$ , что при  $\varepsilon \leq CN^{-1}$  для  $n \geq N/2 - 1$  в (3.2.43) справедливы и аналогичные оценки снизу, т.е. с заменой  $O$  на  $O^*$ .

**Доказательство.** Имеем  $\alpha = \Gamma^{-1}F$ . Пусть  $\alpha = (\alpha^{(1)}, \alpha^{(2)})^T$ , где  $\dim \alpha^{(1)} = N/2$ . Аналогичным образом представим  $F$ . Тогда  $\alpha^{(1)} = \tilde{\Gamma}_{11}F^{(1)} + \tilde{\Gamma}_{12}F^{(2)}$ .

Для любого  $n \in [-1, N/2 - 2]$  имеем

$$\alpha_n^{(1)} = \alpha_n = \sum_{k=-1}^{N/2-2} \tilde{\gamma}_{nk}^{11} F_k + \sum_{k=N/2-1}^{N-1} \tilde{\gamma}_{nk}^{12} F_k. \quad (3.2.45)$$

Далее в силу (3.2.38), (3.2.41) имеем при достаточно больших  $N$

$$\left| \sum_{k=-1}^{N/2-2} \tilde{\gamma}_{nk}^{11} F_k \right| \leq \frac{C}{\varepsilon^2} h^{1/2} \sum_{k=-1}^{N/2-2} e^{-\beta|n-k|} e^{-x_{k+1}/\varepsilon} =$$

$$\begin{aligned}
&= \frac{C}{\varepsilon^2} h^{1/2} \sum_{k=-1}^{N/2-2} e^{-\beta|n-k|} e^{-\frac{h(k+1)}{\varepsilon}} = \frac{C}{\varepsilon^2} h^{1/2} e^{-\frac{h(n+1)}{\varepsilon}} \sum_{k=-1}^{N/2-2} e^{-\beta|n-k|} e^{-\frac{h(k-n)}{\varepsilon}} = \\
&= Ch^{1/2} \varepsilon^{-2} e^{-\frac{h(n+1)}{\varepsilon}} \sum_{k=-1}^{N/2-2} e^{-\beta|n-k|} e^{-\frac{8 \ln N(k-n)}{N}} \leq \\
&\leq Ch^{1/2} \varepsilon^{-2} e^{-\frac{x_{n+1}}{\varepsilon}} \sum_{k=-1}^{N/2-2} e^{-\frac{\beta}{2}|n-k|} \leq Ch^{1/2} \varepsilon^{-2} e^{-x_{n+1}/\varepsilon}, \tag{3.2.46} \\
&\left| \sum_{k=N/2-1}^{N-1} \tilde{\gamma}_{nk}^{12} F_k \right| \leq C \sum_{k=N/2-1}^{N-1} \frac{h^{1/2}}{H^{1/2}} e^{-\beta|n-k|} H^{1/2} \varepsilon^{-2} e^{-x_k/\varepsilon} \leq \\
&\leq C \frac{h^{1/2}}{\varepsilon^2} e^{-\frac{x_{N/2-1}}{\varepsilon}} \sum_{k=N/2-1}^{N-1} e^{-\beta|n-k|} \leq \\
&\leq C_1 h^{1/2} \varepsilon^{-2} e^{-x_{N/2-1}/\varepsilon} \leq C_1 h^{1/2} \varepsilon^{-2} e^{-x_{n+1}/\varepsilon}.
\end{aligned}$$

Тем самым оценка (3.2.43) при  $1 \leq n \leq N/2 - 2$  доказана. Доказательство (3.2.43) при  $n = N/2 - 1$  совершенно аналогично с использованием оценок (3.2.39), (3.2.41).

Докажем (3.2.43) для  $n \geq N/2$ . Имеем

$$\alpha_n^{(2)} = \alpha_n = \sum_{k=-1}^{N/2-2} \tilde{\gamma}_{nk}^{21} F_k + \sum_{k=N/2-1}^{N-1} \tilde{\gamma}_{nk}^{22} F_k. \tag{3.2.47}$$

Далее совершенно аналогично (3.2.46) находим, применяя (3.2.41) для  $\tilde{\gamma}_{nk}^{21}$  и (3.2.38) для  $F_k$ ,

$$\begin{aligned}
&\left| \sum_{k=-1}^{N/2-2} \tilde{\gamma}_{nk}^{21} F_k \right| \leq C \frac{h}{H^{1/2}} \sum_{k=-1}^{N/2-2} e^{-\beta(n-k)} \frac{1}{\varepsilon^2} e^{-x_{k+1}/\varepsilon} = \\
&= C \frac{h}{H^{1/2}} e^{-\beta(n-\frac{N}{2})} \sum_{k=-1}^{N/2-2} e^{-\beta(\frac{N}{2}-k)} \frac{1}{\varepsilon^2} e^{-x_{k+1}/\varepsilon} \leq C_1 \frac{h}{H^{1/2}} e^{-\beta(n-\frac{N}{2})} \frac{1}{\varepsilon^2} e^{-x_{\frac{N}{2}-1}/\varepsilon} \leq \\
&\leq C_1 \varepsilon \frac{\ln N}{N^{1/2}} \frac{1}{\varepsilon^2} e^{-\frac{x}{\frac{N}{2}-1}/\varepsilon} e^{-\beta(n-\frac{N}{2})} \leq C_2 H^{-1/2} \frac{1}{\varepsilon} e^{-\frac{x}{\frac{N}{2}}/\varepsilon} e^{-\beta(n-\frac{N}{2})}, \tag{3.2.48}
\end{aligned}$$

и применяя (3.2.41) для  $\tilde{\gamma}_{nk}^{22}$  и (3.2.39) для  $F_k$ , с учетом того, что в (3.2.43)  $\varepsilon \leq CH$ :

$$\left| \sum_{k=N/2-1}^{N-1} \tilde{\gamma}_{nk}^{22} F_k \right| \leq C(\varepsilon H^{-1/2}) \sum_{k=N/2-1}^{N-1} e^{-\beta|n-k|} \frac{1}{\varepsilon^2} e^{-x_k/\varepsilon} =$$

$$\begin{aligned}
&= C(\varepsilon H^{-1/2}) \sum_{k=N/2-1}^{N-1} e^{-\beta|n-k|} \frac{1}{\varepsilon^2} e^{-\frac{x_k}{\varepsilon}} = \\
&= C(\varepsilon H^{-1/2}) \frac{1}{\varepsilon^2} e^{-\frac{x_{N/2}}{\varepsilon}} \sum_{k=N/2-1}^{N-1} e^{-\beta|n-k|} e^{-\frac{x_k - x_{N/2}}{\varepsilon}} = \\
&C(\varepsilon H^{-1/2}) \frac{1}{\varepsilon^2} e^{-\frac{x_{N/2}}{\varepsilon}} e^{\frac{h}{\varepsilon}} \sum_{k=N/2-1}^{N-1} e^{-\beta|n-k|} e^{-(k-\frac{N}{2}+1)\frac{H}{\varepsilon}} \leq \\
&\leq C_1(\varepsilon H^{-1/2}) \frac{1}{\varepsilon^2} e^{-\frac{x_{N/2}}{\varepsilon}} \sum_{k=N/2-1}^{N-1} e^{-\beta|n-k|} e^{-(k-\frac{N}{2}+1)} = \\
&= C_1(\varepsilon H^{-1/2}) \frac{1}{\varepsilon^2} e^{-\frac{x_{N/2}}{\varepsilon}} \left( \sum_{k=N/2-1}^n e^{-\beta(n-\frac{N}{2}+1)} + \sum_{k=n+1}^{N-1} e^{-\beta(2k-n-\frac{N}{2}+1)} \right) \leq \\
&\leq C_2(H^{-1/2}) \frac{1}{\varepsilon} e^{-\frac{x_{N/2}}{\varepsilon}} \left( e^{-\frac{\beta}{2}(n-\frac{N}{2})} + e^{-\beta(n-\frac{N}{2})} \right) \leq \\
&\leq C_3 H^{-1/2} \frac{1}{\varepsilon} e^{-\frac{x_{N/2}}{\varepsilon}} e^{-\frac{\beta}{2}(n-\frac{N}{2})},
\end{aligned}$$

и переобозначая  $\frac{\beta}{2}$  через  $\beta$ , с учетом (3.2.47), (3.2.48) получаем (3.2.43) для  $n \geq N/2$ .

Тем самым оценки (3.2.43) доказаны полностью. Оценки (3.2.44) доказываются совершенно аналогично с использованием (3.2.38) вместо (3.2.39) при проведении последней оценки.

Докажем оценки снизу в (3.2.43) для  $n \geq N/2 - 1$  в случае, если  $\Phi(x) = e^{-\frac{x}{\varepsilon}}$ . Обозначим  $(\alpha_{N/2-1}, \dots, \alpha_{N-1})^T = \tilde{\alpha}$ . Тогда вектор  $\tilde{\alpha}$  есть решение СЛАУ

$$\Gamma_{22} \tilde{\alpha} = \tilde{F}, \quad (3.2.49)$$

где элементы вектора  $\tilde{F} = \{\tilde{F}_n, N/2 - 1 \leq n \leq N - 1\}$  имеют вид

$$\tilde{F}_{N/2-1} = F_{N/2-1} - \alpha_{N/2-2} a_{N/2-1}; \quad \tilde{F}_n = F_n, \quad n \geq N/2. \quad (3.2.50)$$

При этом в силу (3.2.39) для  $F_{N/2-1}$ , (3.2.25) для  $a_{N/2-1}$ , (3.2.44) для  $\alpha_{N/2-2}$ , имеем

$$\begin{aligned}
|\tilde{F}_{N/2-1}| &\geq C H^{-1/2} \varepsilon^{-1} e^{-\frac{x_{N/2}}{\varepsilon}} - C_1 h H^{-1/2} \varepsilon^{-2} e^{-\frac{x_{N/2}}{\varepsilon}} = \\
&= H^{-1/2} \varepsilon^{-1} e^{-\frac{x_{N/2}}{\varepsilon}} (C - C_1 h \varepsilon^{-1}) \geq \\
&H^{-1/2} \varepsilon^{-1} e^{-\frac{x_{N/2}}{\varepsilon}} \left( C - C_1 \frac{\ln N}{N} \right) \geq C_2 H^{-1/2} \varepsilon^{-1} e^{-\frac{x_{N/2}}{\varepsilon}},
\end{aligned}$$

т.е. элементы вектора  $\tilde{F}$  удовлетворяют оценкам, аналогичным (3.2.39):

$$\tilde{F}_n = \begin{cases} O^*(H^{-1/2}\varepsilon^{-1}e^{-x_{N/2}/\varepsilon}), n = N/2 - 1, \\ O^*(H^{-3/2}e^{-x_n/\varepsilon}), N/2 \leq n \leq N - 1. \end{cases} \quad (3.2.51)$$

Оценим  $|\alpha_n|$  для  $n \in [N/2 - 1, N - 1]$ , опираясь на (??). Имеем

$$|\alpha_n| = \left| \sum_{k=N/2-1}^{N-1} \check{\gamma}_{nk}^{22} \tilde{F}_k \right| \geq |\check{\gamma}_{nN/2-1}^{22} \tilde{F}_{N/2-1}| - \sum_{k=N/2}^{N-1} |\check{\gamma}_{nk}^{22}| |\tilde{F}_k|. \quad (3.2.52)$$

Пусть  $\varepsilon N$  столь мало, что  $\frac{H}{\varepsilon} \geq 2\beta_2$ . Применяя (3.2.30), (3.2.51), имеем

$$\begin{aligned} \sum_{k=N/2}^{N-1} |\check{\gamma}_{nk}^{22}| |\tilde{F}_k| &\leq C \sum_{k=N/2}^{N-1} |\check{\gamma}_{nN/2-1}^{22}| e^{\beta_2|k-N/2|} \cdot H^{-3/2} e^{-\frac{xk}{\varepsilon}} = \\ &= CH^{-3/2} |\check{\gamma}_{nN/2-1}^{22}| e^{-\frac{xN/2}{\varepsilon}} \sum_{k=N/2}^{N-1} e^{\beta_2|k-N/2|} e^{-\frac{xk-xN/2}{\varepsilon}} = \\ &= CH^{-3/2} |\check{\gamma}_{nN/2-1}^{22}| e^{-\frac{xN/2}{\varepsilon}} \sum_{k=N/2}^{N-1} e^{\beta_2|k-N/2|} e^{-\frac{H}{\varepsilon}|k-N/2|} \leq \\ &CH^{-3/2} |\check{\gamma}_{nN/2-1}^{22}| e^{-\frac{xN/2}{\varepsilon}} \sum_{k=N/2}^{N-1} e^{-\beta_2|k-N/2|} \leq C_1 H^{-3/2} e^{-\frac{xN/2}{\varepsilon}} |\check{\gamma}_{nN/2-1}^{22}|. \end{aligned} \quad (3.2.53)$$

Наконец, с учетом (3.2.51) получаем

$$|\check{\gamma}_{nN/2-1}^{22}| |\tilde{F}_{N/2-1}| \geq CH^{-1/2} \varepsilon^{-1} e^{-\frac{xN/2}{\varepsilon}} |\check{\gamma}_{nN/2-1}^{22}|. \quad (3.2.54)$$

Из (3.2.52)-(3.2.54), (3.2.28) при достаточно малых  $\varepsilon/H$  получаем

$$|\alpha_n| \geq C_2 H^{-1/2} \varepsilon^{-1} e^{-\frac{xN/2}{\varepsilon}} |\check{\gamma}_{nN/2-1}^{22}| \geq C_3 H^{-1/2} \varepsilon^{-1} e^{-\frac{xN/2}{\varepsilon}} e^{-\beta_2(n-N/2)}.$$

Лемма доказана.

**Лемма 6** *Найдутся такие константы  $C > 0, \beta > 0$ , не зависящие от  $\varepsilon, N$ , что для функции  $g_3''(x)$  при  $N^{-1} \leq C\varepsilon$  будут справедливы оценки*

$$g_3''(x_n) = O\left(\frac{C}{\varepsilon^2} e^{-x_n/\varepsilon}\right), \quad 0 \leq n \leq N, \quad (3.2.55)$$

*а при  $\varepsilon \leq CN^{-1}$  — оценки*

$$g_3''(x_n) = O\left(\frac{C}{\varepsilon^2} e^{-x_n/\varepsilon}\right), \quad 0 \leq n \leq \frac{N}{2} - 1, \quad (3.2.56)$$



$$g_3''(x_n) = O\left(\frac{1}{\varepsilon H} e^{-\frac{x_{N/2}}{\varepsilon}} e^{-\beta|n-\frac{N}{2}|}\right), \quad \frac{N}{2} \leq n \leq N, \quad (3.2.57)$$

В случае, если  $\Phi(x) = e^{-\frac{x}{\varepsilon}}$ , найдется такая константа  $C > 0$ , не зависящая от  $\varepsilon$ ,  $N$ , что при  $\varepsilon \leq CN^{-1}$  для  $n \geq N/2 - 1$  в (3.2.56), (3.2.57) справедливы и аналогичные оценки снизу, т.е. с заменой  $O$  на  $O^*$ .

**Доказательство.** Поскольку в каждом узле  $x_n$  отличен от нуля только один  $B$ -сплайн  $N_{n-1,1}$ , то справедливо равенство  $g_3''(x_n) = \alpha_{n-1} \tilde{N}_{n-1,1}(x_n)$ . Отсюда, из леммы 5 и оценок (3.2.19) следует утверждение леммы.

Рассмотрим теперь модифицированный сплайн  $gm_3(x, u)$  из (3.2.13). Обозначим через  $N_{n,l}(x)$  нормализованный  $B$ -сплайн степени  $l$  на сетке  $\Omega$  [50]. Для функций  $N_{n,l}(x)$  справедливы формулы [50, с. 31],

$$N_{n,l}(x) = \frac{x - x_n}{x_{n+l} - x_n} N_{n,l-1}(x) + \frac{x_{n+l+1} - x}{x_{n+l+1} - x_{n+1}} N_{n+1,l-1}(x), \quad (3.2.58)$$

$$N'_{n,l}(x) = \frac{l}{x_{n+l} - x_n} N_{n,l-1}(x) - \frac{l}{x_{n+l+1} - x_{l+1}} N_{n+1,l-1}(x). \quad (3.2.59)$$

Далее для краткости обозначим  $gm_3(x, u) = gm_3(x)$ . Представим  $gm_3(x)$  в виде

$$gm_3(x) = \sum_{n=-3}^{N-1} \alpha_n N_{n,3}(x). \quad (3.2.60)$$

Везде далее коэффициенты  $\alpha_n$  соответствуют разложению сплайна  $gm_3(x)$ .

Из условий интерполяции (3.2.13) получим СЛАУ для коэффициентов

$$\begin{aligned} \sum_{n=-3}^{N-1} \alpha_n N'_{n,3}(0) &= u'(0), \\ \sum_{n=-3}^{N-1} \alpha_n N_{n,3}(\bar{x}_k) &= u(\bar{x}_k), \quad -3 \leq k \leq N, \\ \sum_{n=-3}^{N-1} \alpha_n N'_{n,3}(1) &= u'(1). \end{aligned} \quad (3.2.61)$$

Преобразуем СЛАУ (3.2.61) в соответствии с [46]. Для этого вычислим значения входящих в нее кубических сплайнов и их производных по формулам (3.2.58), (3.2.59) и исключим из двух первых и двух последних уравнений неизвестные  $\alpha_{-3}$  и  $\alpha_{N-1}$ . В результате формулы для  $\alpha_{-3}$  и  $\alpha_{N-1}$  будут иметь вид

$$\alpha_{-3} = \alpha_{-1} - 2hu'(0), \quad \alpha_{N-1} = \alpha_{N-3} + 2Hu'(1), \quad (3.2.62)$$

а СЛАУ для остальных коэффициентов после умножения на 6 всех уравнений примет вид

$$A\alpha = U, \quad (3.2.63)$$

где  $A = \{a_{nk}\}, -2 \leq n, k \leq N-2$  —  $(N+1) \times (N+1)$ - матрица,  $U = (U_{-2}, U_{-1}, \dots, U_{N-2})^T$  —  $(N+1)$ -вектор. При этом ненулевые элементы матрицы  $A$  имеют вид

$$a_{nn} = 4, a_{nn-1} = a_{nn+1} = 1, n \in [-1, N/2-2] \cup [N/2+2, N-3], \quad (3.2.64)$$

$$a_{(-2)(-1)} = a_{(N-2)(N-3)} = 2, a_{(-2)(-2)} = a_{(N-2)(N-2)} = 4, \quad (3.2.65)$$

$$a_{(N/2-2)(N/2-3)} = 1, a_{(N/2-2)(N/2-2)} = 2, a_{(-2)(-2)} = a_{(N-2)(N-2)} = 4, \quad (3.2.66)$$

$$a_{(N/2-1)(N/2-2)} = 1, a_{(N/2-1)(N/2-1)} = 2 + \frac{3(h+H)}{2h+H}, a_{(N/2-1)(N/2)} = \frac{3h}{2h+H}, \quad (3.2.67)$$

$$a_{(N/2+1)(N/2)} = \frac{3H}{2H+h}, a_{(N/2+1)(N/2+1)} = 2 + \frac{3(h+H)}{2H+h}, a_{(N/2+1)(N/2+2)} = 1, \quad (3.2.68)$$

$$a_{(N/2)(N/2-1)} = \frac{3}{4} \cdot \frac{H^2}{(H+2h)(h+H)},$$

$$a_{(N/2)(N/2)} = \frac{3}{2} \cdot \frac{2h+H/2}{2h+H} \cdot \frac{H}{H+h} + \frac{H}{2H+h} \left( \frac{9}{4} \cdot \frac{H+2h}{H+h} + \frac{27}{8} \right), \quad (3.2.69)$$

$$a_{(N/2)(N/2+1)} = \frac{H+2h}{2H+h} \left( \frac{3}{4} \cdot \frac{H+2h}{H+h} + \frac{9}{8} \right), a_{(N/2)(N/2+2)} = \frac{1}{8},$$

а остальные элементы равны нулю.

Элементы вектора  $U$  имеют вид

$$U_{-2} = 6u(0) + 2hu'(0), U_n = u(x_{n+2}), -1 \leq n \leq N-3, U_{N-2} = 6u(1) - 2Hu'(1). \quad (3.2.70)$$

Обозначим

$$\bar{a}_{nk} = \lim_{h/H \rightarrow 0} a_{nk}.$$

Тогда из (3.2.69) получаем, что

$$\bar{a}_{(N/2)(N/2-1)} = \frac{3}{4}, \bar{a}_{(N/2)(N/2)} = \frac{3}{4} + \frac{45}{16}, \bar{a}_{(N/2)(N/2+1)} = \frac{25}{16}, \bar{a}_{(N/2)(N/2+2)} = \frac{1}{8}. \quad (3.2.71)$$

Из (3.2.64)-(3.2.68) вытекает, что во всех строках, кроме строки с номером  $N/2$ , матрица  $A$  имеет диагональное преобладание с показателем преобладания, не зависящим от  $H, h$ . Но из (3.2.71) следует, что при достаточно малых  $h/H$  в строке с номером  $N/2$  также будет диагональное преобладание с показателем преобладания, не зависящим от  $H, h$ . Тем самым доказана следующая лемма.

**Лемма 7** Найдутся такие  $\gamma_0 > 0, r > 0$  не зависящие от  $\varepsilon, N$ , что при  $h/H < \gamma_0$  матрица  $A$  имеет строгое диагональное преобладание по строкам с показателем преобладания  $r$ .

Изучим аппроксимационные свойства пространства  $S(\Omega, 3, 1)$ .

**Лемма 8** Пусть функция  $u(x)$  удовлетворяет оценкам (3.2.2). Тогда найдется такая функция  $gp_3(x) \in S(\Omega, 3, 1)$ , что будут справедливы оценки

$$\|u(x) - gp_3(x)\|_{C[0,1]} \leq CN^{-4} \ln^4 N, \quad (3.2.72)$$

$$\|h_{n+1}(u'(x) - gp_3'(x))\|_{C[x_n, x_{n+1}]} \leq CN^{-4} \ln^4 N, \quad n = 0, N-1. \quad (3.2.73)$$

**Доказательство.** Как говорилось выше, можно считать, что  $\alpha = 1$ . Будем считать функцию  $u(x)$  продолженной левее точки  $x = 0$  и правее точки  $x = 1$  многочленами Тейлора третьей степени с центрами в  $x = 0$  и  $x = 1$  соответственно. Обозначим через  $P_3$  множество всех многочленов третьей степени. Тогда, согласно [41, с.137], существует такая функция  $gp_3(x) \in S(\Omega, 3, 1)$ , что справедливы оценки

$$\|u(x) - gp_3(x)\|_{C[x_n, x_{n+1}]} \leq C \inf_{g \in P_3} \|u(x) - g(x)\|_{C[x_{n-2}, x_{n+3}]}. \quad (3.2.74)$$

Зафиксируем произвольный отрезок  $[x_n, x_{n+1}]$ . Обозначим через  $P_n(x)$  многочлен Тейлора степени 3 функции  $u(x)$  с центром разложения в точке  $x_{n+3}$ . Имеем

$$u(x) = P_n(x) + \frac{1}{3!} \int_{x_{n+3}}^x (x-s)^3 u^{(4)}(s) ds. \quad (3.2.75)$$

Из (3.2.75), (3.2.2) при  $\alpha = 1$ , получаем для  $0 \leq n \leq N/2 - 3$

$$\|u(x) - P_n(x)\|_{C[x_n, x_{n+1}]} \leq Ch^4 (1 + \varepsilon^{-4} e^{-\frac{x_{n-2}}{\varepsilon}}) \leq C_1 h^4 (1 + \varepsilon^{-4}),$$

откуда с учетом  $h = O^*(\varepsilon \ln N/N)$

$$\|u(x) - P_n(x)\|_{C[x_n, x_{n+1}]} \leq C_2 \frac{\ln^4 N}{N^4}, \quad 0 \leq n \leq N/2 - 3. \quad (3.2.76)$$

Пусть  $N/2 - 2 \leq n \leq N - 1$ . Тогда

$$\begin{aligned} & \left| \int_{x_{n+3}}^x (x-s)^3 u^{(4)}(s) ds \right| \leq C \int_x^{x_{n+3}} (s-x)^3 (1 + \varepsilon^{-4} e^{-\frac{s}{\varepsilon}}) ds \leq CH^4 + \\ & + C e^{-\frac{x}{\varepsilon}} \int_x^{x_{n+3}} (s-x)^3 \varepsilon^{-4} e^{-\frac{s-x}{\varepsilon}} ds = CH^4 + C e^{-\frac{x}{\varepsilon}} \frac{1}{\varepsilon} \int_x^{x_{n+3}} \left(\frac{s-x}{\varepsilon}\right)^3 e^{-\frac{s-x}{\varepsilon}} ds \leq \end{aligned}$$

$$\leq CH^4 + C_1 e^{-\frac{x}{\varepsilon}} \leq CH^4 + C_1 e^{-\frac{x_{n-2}}{\varepsilon}} \leq CH^4 + C_2 e^{-\frac{x_{N/2}}{\varepsilon}} \leq \frac{C_3}{N^4} \leq C_3 \frac{\ln^4 N}{N^4}. \quad (3.2.77)$$

Из (3.2.75), (3.2.77) получаем, что

$$\|u(x) - P_n(x)\|_{C[x_n, x_{n+1}]} \leq C_4 \frac{\ln^4 N}{N^4}, \quad N/2 - 2 \leq n \leq N - 1. \quad (3.2.78)$$

Из (3.2.74), (3.2.76), (3.2.78) получаем (3.2.72).

Докажем (3.2.73). Для этого заметим, что в силу (3.2.72), (3.2.74), (3.2.75) будет

$$\|gp_3(x) - P_n(x)\|_{C[x_n, x_{n+1}]} \leq C_2 \frac{\ln^4 N}{N^4}, \quad 0 \leq n \leq N - 1. \quad (3.2.79)$$

Но функция  $gp_3(x) - P_n(x)$  на отрезке  $[x_n, x_{n+1}]$  есть многочлен третьей степени. Поэтому в силу эквивалентности норм в пространстве многочленов третьей степени на фиксированном отрезке будем иметь

$$\|gp'_3(x) - P'_n(x)\|_{C[x_n, x_{n+1}]} \leq \frac{C}{h_{n+1}} \|gp_3(x) - P_n(x)\|_{C[x_n, x_{n+1}]} \leq \frac{C_3}{h_{n+1}} \frac{\ln^4 N}{N^4}. \quad (3.2.80)$$

Далее, дифференцируя равенство (3.2.75), получим

$$u'(x) = P'_n(x) + \frac{1}{2!} \int_{x_{n+3}}^x (x-s)^2 u^{(4)}(s) ds. \quad (3.2.81)$$

Повторяя для (3.2.81) выкладки, проделанные с (3.2.75) при доказательстве (3.2.72), находим

$$\|u'(x) - P'_n(x)\|_{C[x_n, x_{n+1}]} \leq C_3 \frac{1}{\varepsilon} \frac{\ln^3 N}{N^3}, \quad 0 \leq n \leq N - 1. \quad (3.2.82)$$

Из (3.2.80), (3.2.82) с учетом  $h_1 = h = O^*(\varepsilon \ln N/N)$  получаем (3.2.73) для  $n = 0$ . В случае  $n = N - 1$  заметим, что в силу замечания 2

$$\|u^{(4)}\|_{C[x_{N-3}, x_{N+2}]} \leq C(1 + \varepsilon^{-4} e^{-1/(4\varepsilon)}) \leq C_1.$$

Поэтому для этого отрезка из (3.2.80), (3.2.81) сразу получаем (3.2.73) для  $n = N - 1$ . Лемма доказана.

Установим аналогичный результат в случае равномерного разбиения  $\Delta$ .

**Лемма 9** Пусть функция  $u(x)$  удовлетворяет оценкам (3.2.2). Тогда найдется такая функция  $gp_3(x) \in S(\Delta, 3, 1)$ , что будут справедливы оценки:

$$\|u(x) - gp_3(x)\|_{C[0,1]} \leq C(\varepsilon N)^{-4}, \quad (3.2.83)$$

$$\|N^{-1}(u'(x) - gp'_3(x))\|_{C[x_n, x_{n+1}]} \leq C(\varepsilon N)^{-4}, \quad n = 0, N - 1. \quad (3.2.84)$$

Доказательство (3.2.83), (3.2.84) совершенно аналогично (3.2.75)-(3.2.82) с учетом различий сеток  $\Delta$  и  $\Omega$ .

### 3.2.4 Доказательство теорем

#### Доказательство теорем 2 и 3

Вначале докажем оценки (3.2.11) для  $n \leq \frac{N}{2} - 1$ . Зафиксируем  $n \in [0, \frac{N}{2} - 1]$ . Пусть  $e(x) = g_3(x) - \Phi(x)$ . Тогда, поскольку

$$e(x_n) = e(x_{n+1}) = 0, \quad (3.2.85)$$

то рассматривая  $e(x)$  как решение краевой задачи  $e''(x) = e''(x)$  с условиями (3.2.85) на  $[x_n, x_{n+1}]$ , получим, что

$$e(x) = \int_{x_n}^{x_{n+1}} G(x, s) e''(s) ds, \quad (3.2.86)$$

где

$$G(x, s) = \frac{1}{x_{n+1} - x_n} \begin{cases} (x - x_n)(x_{n+1} - s), & x_n \leq x \leq s, \\ (s - x_n)(x_{n+1} - x), & s < x \leq x_{n+1} \end{cases} \quad (3.2.87)$$

— функция Грина.

Поскольку  $|G(x, s)| \leq (x_{n+1} - x_n) = h$ , то из (??) получаем

$$|e(x)| \leq h \int_{x_n}^{x_{n+1}} |e''(s)| ds \leq h^2 \|e''(s)\|_{C[0,1]}, \quad (3.2.88)$$

Но, согласно ([41], с.43)

$$\|e''(s)\|_{C[0,1]} \leq C \inf_{P \in S(\Omega, 1, 1)} \|\Phi'' - P\|_{C[0,1]}.$$

Выбирая в качестве  $P = P(x)$  линейный сплайн, интерполирующий  $\Phi''(x)$  в узлах сетки, из оценки (3.2.2) и оценки погрешности линейной интерполяции получаем, что

$$\|e''(s)\|_{C[0,1]} \leq \frac{C}{\varepsilon^2} \cdot \frac{\ln^2 N}{N^2}. \quad (3.2.89)$$

Но, поскольку  $h^2 = O(\varepsilon^2 \frac{\ln^2 N}{N^2})$ , из (3.2.88), (3.2.89) получаем оценку (3.2.11) для  $n \leq \frac{N}{2} - 1$ .

**Замечание 5** Оценки (3.2.11) при  $n \in [0, \frac{N}{2} - 1]$  доказаны и при  $N^{-1} \leq C\varepsilon$ , т.е. в условиях теоремы 2.

Докажем теорему 2 и оценки (3.2.11) при  $n \geq N/2$ . Пусть  $N^{-1} \leq C\varepsilon$ . В силу (3.2.86) и леммы 6 имеем

$$\|e(x)\|_{C[x_n, x_{n+1}]} = \left\| \int_{x_n}^{x_{n+1}} G(x, s) e''(s) ds \right\|_{C[x_n, x_{n+1}]} \leq \frac{C}{N} \int_{x_n}^{x_{n+1}} |e''(s)| ds \leq$$

$$\begin{aligned} &\leq \frac{C}{N^2} \|e''(s)\|_{C[x_n, x_{n+1}]} \leq \frac{C_1}{N^2} \|\Phi''(s)\|_{C[x_n, x_{n+1}]} \leq \frac{C_1}{N^2} \|\Phi''(s)\|_{C[x_{N/2}, x_{N/2+1}]} \leq \\ &\leq \frac{C_1}{N^2} \cdot \frac{1}{\varepsilon^2 N^4} \leq \frac{C_2}{N^4}. \end{aligned}$$

Отсюда с учетом замечания 5 следует теорема 2.

Пусть теперь  $\varepsilon \leq CN^{-1}$ . Тогда аналогичным образом имеем

$$\|e(x)\|_{C[x_n, x_{n+1}]} \leq \frac{C}{N} \int_{x_n}^{x_{n+1}} |e''(s)| ds \leq \frac{C}{N} \left( \int_{x_n}^{x_{n+1}} |\Phi''(s)| ds + \int_{x_n}^{x_{n+1}} |g_3''(s)| ds \right). \quad (3.2.90)$$

Далее

$$\begin{aligned} \int_{x_n}^{x_{n+1}} |\Phi''(s)| ds &\leq \frac{C}{\varepsilon^2} \int_{x_n}^{x_{n+1}} e^{-\frac{x}{\varepsilon}} ds \leq \frac{C}{\varepsilon} e^{-\frac{x_n}{\varepsilon}} = \frac{C}{\varepsilon} e^{-\frac{x_{N/2}}{\varepsilon}} \cdot e^{-\frac{x_n - x_{N/2}}{\varepsilon}} \leq \\ &\leq \frac{C_1}{\varepsilon} N^{-4} e^{-(n-N/2)\frac{H}{\varepsilon}} \leq \frac{C_1}{\varepsilon} N^{-4} e^{-\beta(n-N/2)}, \end{aligned} \quad (3.2.91)$$

и, учитывая (3.2.57),

$$\int_{x_n}^{x_{n+1}} |g_3''(s)| ds \leq CN^{-1} \frac{\varepsilon}{H} \frac{1}{\varepsilon^2} e^{-x_{N/2}/\varepsilon} e^{-\beta|n-\frac{N}{2}|} \leq C\varepsilon \cdot \frac{1}{\varepsilon^2} N^{-4} e^{-\beta|n-\frac{N}{2}|} = \frac{C}{\varepsilon} N^{-4} e^{-\beta|n-\frac{N}{2}|}. \quad (3.2.92)$$

Из (3.2.90)-(3.2.92) вытекают оценки (3.2.11) при  $N/2 \leq n \leq N-1$ . Теорема 3 доказана полностью.

**Доказательство теоремы 4.** Пусть  $\Phi(x) = e^{-x/\varepsilon}$ . Докажем оценку (3.2.12) при  $n = N/2$ . Для этого заметим, что в силу леммы 6, (3.2.57) и того, что  $e^{-\frac{x_{N/2}}{\varepsilon}} = N^{-4}$  будет иметь место оценка

$$\|g_3''(x)\|_{C[x_{N/2}, x_{N/2+1}]} \geq C \frac{N^{-3}}{\varepsilon}. \quad (3.2.93)$$

Оценим  $e(x)$  на  $[x_{\frac{N}{2}}, x_{\frac{N}{2}+1}]$  снизу. В силу (3.2.86) при  $n = \frac{N}{2}$  имеем

$$\begin{aligned} \|e(x)\|_{C[x_{N/2}, x_{N/2+1}]} &\geq \left\| \int_{x_{N/2}}^{x_{N/2+1}} G(x, s) g_3''(s) ds \right\|_{C[x_{N/2}, x_{N/2+1}]} - \\ &- \left\| \int_{x_{N/2}}^{x_{N/2+1}} G(x, s) \Phi''(s) ds \right\|_{C[x_{N/2}, x_{N/2+1}]} . \end{aligned} \quad (3.2.94)$$

Далее в силу (3.2.87) при любом  $x \in [x_{N/2}, x_{N/2+1}]$  имеем

$$\begin{aligned} &\left| \int_{x_{N/2}}^{x_{N/2+1}} G(x, s) \Phi''(s) ds \right| \leq \\ &\leq \frac{1}{x_{N/2+1} - x_{N/2}} \int_{x_{N/2}}^{x_{N/2+1}} (x_{N/2+1} - x)(s - x_{N/2}) \frac{1}{\varepsilon^2} e^{-\frac{s}{\varepsilon}} ds \leq \end{aligned}$$

$$\leq e^{-\frac{x_{N/2}}{\varepsilon}} \frac{1}{\varepsilon} \int_{x_{N/2}}^{x_{N/2+1}} \frac{s - x_{N/2}}{\varepsilon} e^{-\frac{s-x_{N/2}}{\varepsilon}} ds \leq C e^{-\frac{x_{N/2}}{\varepsilon}} \leq CN^{-4},$$

откуда

$$\left\| \int_{x_{N/2}}^{x_{N/2+1}} G(x, s) \Phi''(s) ds \right\|_{C[x_{N/2}, x_{N/2+1}]} \leq CN^{-4}. \quad (3.2.95)$$

Докажем, что найдется такая константа  $C_1 > 0$ , что

$$\left\| \int_{x_{N/2}}^{x_{N/2+1}} G(x, s) g_3''(s) ds \right\|_{C[x_{N/2}, x_{N/2+1}]} \geq C_1 \frac{N^{-5}}{\varepsilon}. \quad (3.2.96)$$

Сделаем замену переменной  $\frac{s-x_{N/2}}{H} = \tau$  и обозначим  $v(\tau) = \varepsilon N^3 g_3''(x_{N/2} + \tau H)$ . Тогда оценка (3.2.96) эквивалентна тому, что

$$\left\| \int_0^1 \tilde{G}(x, s) v(s) ds \right\|_{C[0,1]} \geq C_2 > 0, \quad (3.2.97)$$

где  $\tilde{G}(x, s)$  — функция Грина (3.2.87) при  $x_n = 0$ ,  $x_{n+1} = 1$ ,  $v(\tau)$  — линейная функция, причем

$$\|v(\tau)\|_{C[0,1]} \geq C > 0. \quad (3.2.98)$$

Докажем (3.2.97). Предположим противное. Тогда существуют последовательности констант  $C_j \rightarrow 0$  и функций  $v_j(\tau) = a_j \tau + b_j : \|v_j(\tau)\|_{C[0,1]} = 1$  таких, что при  $j \rightarrow \infty$ .

$$\left\| \int_0^1 \tilde{G}(\tau, s) v_j(s) ds \right\|_{C[0,1]} \leq C_j \rightarrow 0.$$

Но последовательности  $a_j$  и  $b_j$  ограничены и из них можно выделить сходящиеся подпоследовательности. Переходя к пределу, получим, что для некоторой функции  $v(\tau) = a\tau + b$  такой, что  $\|v(\tau)\|_{C[0,1]} = 1$  будет

$$\int_0^1 \tilde{G}(\tau, s) v(s) ds \equiv 0.$$

Но функция в левой части последнего тождества есть решение задачи  $y'' = v$ ,  $y(0) = y(1) = 0$ , которое не может быть тождественно нулевым при  $v \not\equiv 0$ . Полученное противоречие доказывает (3.2.97). Из (3.2.94)-(3.2.96) получаем, что найдется такая не зависящая от  $\varepsilon, N$  константа  $C$ , что при  $\varepsilon \leq CN^{-1}$  будут справедливы оценки

$$\|e(x)\|_{C[x_{N/2}, x_{N/2+1}]} \geq C_1 \frac{N^{-5}}{\varepsilon},$$

откуда следует оценка (3.2.12) для  $n = N/2$ . Доказательство для остальных  $n$  с учетом леммы 5 совершенно аналогично.

**Доказательство теоремы 5.** Введем в рассмотрение функцию  $err(x) = gm_3(x) - gp_3(x)$ . Представим ее в виде

$$err(x) = \sum_{n=-3}^{N-1} \beta_n N_{n,3}(x). \quad (3.2.99)$$

Тогда аналогично (3.2.61)-(3.2.63) для коэффициентов  $\beta$  получим систему

$$A\beta = ERR, \quad (3.2.100)$$

и

$$\beta_{-3} = \beta_{-1} - 2h \cdot err'(0), \quad \beta_{N-1} = \beta_{N-3} + 2H \cdot err'(1), \quad (3.2.101)$$

где

$$err'(0) = u'(0) - gp'_3(0), \quad err'(1) = u'(1) - gp'_3(1), \quad (3.2.102)$$

$$ERR = \{ERR_n\}, \quad ERR_n = 6(u(x_{n+2}) - gp_3(x_{n+2})), \quad -2 \leq n \leq N-2, \quad (3.2.103)$$

причем в силу леммы 8 и (3.2.102)-(3.2.103) будут справедливы оценки

$$\max \{|h \cdot err'(0)|, |H \cdot err'(1)|\} \leq C \frac{\ln^4 N}{N^4}, \quad \max_{-2 \leq n \leq N-2} |ERR_n| \leq C \frac{\ln^4 N}{N^4}. \quad (3.2.104)$$

Из леммы 8 и (3.2.101), (3.2.104) получаем, что  $\max_{-3 \leq n \leq N-1} |\beta_n| \leq C \frac{\ln^4 N}{N^4}$ , откуда

$$\|err(x)\|_{C[x_n, x_{n+1}]} \leq C \frac{\ln^4 N}{N^4}, \quad 0 \leq n \leq N-1. \quad (3.2.105)$$

Из (3.2.105) и леммы 8 получаем утверждение теоремы 5.

**Доказательство теоремы 1.** Оценки (3.2.5) доказываются аналогично (3.2.14) с применением леммы 9 вместо леммы 8. Докажем (3.2.6).

Поскольку для составляющей  $q(x)$  в силу (3.2.9) погрешность интерполяции порядка  $O(N^{-4})$ , то достаточно показать, что

$$\|e^{-x/\varepsilon} - g_3(x, \Phi)\|_{C[0, x_1]} \geq C_1 \min\{(N\varepsilon)^{-1}, (N\varepsilon)^{-4}\}. \quad (3.2.106)$$

Делая замену переменной  $x/\varepsilon = \tau$ , получим, что (3.2.106) эквивалентно формуле

$$\|e^{-\tau} - g_3(\varepsilon\tau, \Phi)\|_{C[0, (N\varepsilon)^{-1}]} \geq C_1 \min\{(N\varepsilon)^{-1}, (N\varepsilon)^{-4}\}. \quad (3.2.107)$$

Рассмотрим два случая:

1.  $(N\varepsilon)^{-1} \geq C_2 > 0$  и



2.  $(N\varepsilon)^{-1} \leq \gamma_0$ , где  $\gamma_0 > 0$  достаточно малая, но не зависящая от  $N, \varepsilon$  константа.

Пусть  $(N\varepsilon)^{-1} \geq C_2 > 0$ . Тогда имеем

$$\| e^{-\tau} - g_3(\varepsilon\tau, \Phi) \|_{C[0, (N\varepsilon)^{-1}]} \geq C \| e^{-\tau} \|_{C[0, (N\varepsilon)^{-1}]},$$

поскольку погрешность аппроксимации экспоненты многочленом фиксированной степени на отрезке длины  $O^*(1)$  не может быть меньше величины порядка  $C$ -нормы экспоненты на этом отрезке [27]. Но тогда из цепочки неравенств

$$\| u - v \| \geq C \| u \|, C \| u - v \| \geq C \| v \| - C \| u \|, (1 + C) \| u - v \| \geq C \| v \|$$

получаем, что

$$\| e^{-\tau} - g_3(\varepsilon\tau, \Phi) \|_{C[0, (N\varepsilon)^{-1}]} \geq \frac{C}{1+C} \| g_3(\varepsilon\tau, \Phi) \|_{C[0, (N\varepsilon)^{-1}]} = C_1 \| g_3(\varepsilon\tau, \Phi) \|_{C[0, (N\varepsilon)^{-1}]} . \quad (3.2.108)$$

Наконец, в силу условия  $g'_3(0, \Phi) = \Phi'(0) = -\varepsilon^{-1}$  будет

$$\begin{aligned} \| g_3(\varepsilon\tau, \Phi) \|_{C[0, (N\varepsilon)^{-1}]} &= \| g_3(x, \Phi) \|_{C[0, N^{-1}]} = \| a_0x^3 + a_1x^2 - \frac{1}{\varepsilon}x + a_3 \|_{C[0, N^{-1}]} = \\ &= \left\| \frac{a_0}{N^3}y^3 + \frac{a_1}{N^2}y^2 - \frac{1}{N\varepsilon}y + a_3 \right\|_{C[0, 1]} \geq \frac{C_3}{\varepsilon N}. \end{aligned} \quad (3.2.109)$$

Из (3.2.108), (3.2.109) вытекает (3.2.107) в случае 1.

Пусть  $(N\varepsilon)^{-1} \leq \gamma_0$  где  $\gamma_0 > 0$  достаточно малая, но не зависящая от  $N, \varepsilon$  константа. Тогда представим

$$e^{-\tau} = \frac{\tau^4}{4!} + Q_3(\tau) + O((N\varepsilon)^{-5}), \quad (3.2.110)$$

где  $Q_3(\tau)$  — многочлен Тейлора третьей степени функции  $e^{-\tau}$  с центром в нуле. Тогда аналогично (3.2.109) получим, что

$$\inf_{P \in P_3} \left\| \frac{\tau^4}{4!} + Q_3(\tau) - P(\tau) \right\|_{C[0, (N\varepsilon)^{-1}]} \geq C_3(N\varepsilon)^{-4}. \quad (3.2.111)$$

Из (3.2.110), (3.2.111) при достаточно малом  $\gamma_0 > 0$  аналогично (3.2.108), (3.2.109) получаем (3.2.107) в рассматриваемом случае. Теорема 1 доказана.

### 3.2.5 Результаты численных экспериментов

Зададим функцию вида (3.2.1):

$$u(x) = \cos \frac{\pi x}{2} + e^{-\frac{x}{\varepsilon}}, \quad x \in [0, 1].$$

Результаты расчетов сведены в три таблицы. В таблицах приведены максимальные погрешности сплайновой интерполяции, вычисленные в узлах сгущенной сетки, получающейся из исходной расчетной сетки разбиением каждого ее сеточного интервала на 10 равных частей. В табл. 1 приведены погрешности для традиционного кубического сплайна на равномерной сетке. Они подтверждают оценки теоремы 1 и непригодность применения равномерной сетки при малых  $\varepsilon$ . В табл. 2 приведены погрешности для традиционного кубического сплайна на сетке Шишкина. Из таблицы видно, что погрешность возрастает при уменьшении  $\varepsilon$  для фиксированного  $N$ . Результаты табл. 3 для модифицированного сплайна, напротив, демонстрируют равномерную сходимость, что подтверждает теорему 5. На рисунках 1-3 представлены графики  $u(x)$  и  $g_3(x, u)$  при  $\varepsilon = 10^{-7}$ ,  $N = 16$  на кусочно-равномерной сетке Шишкина в разных масштабах. На рисунке 1 приведены графики  $u(x)$  и  $g_3(x, u)$ , иллюстрирующие расходимость традиционного интерполяционного процесса при  $\varepsilon N^5 \rightarrow 0$  для кусочно-равномерной сетки, что соответствует теореме 4. Поскольку пограничный слой в этом случае имеет длину  $O(10^{-6})$ , то на рис. 2 и 3 приведены те же графики в других масштабах по оси  $OX$ . Из рис. 2 видно, что в области пограничного слоя графики  $u(x)$  и  $g_3(x, u)$  близки друг к другу и сливаются в одну линию, что соответствует оценке погрешности сплайна в пограничном слое по теореме 3, а из рис. 3 видно, как эти графики расходятся при выходе из пограничного слоя.

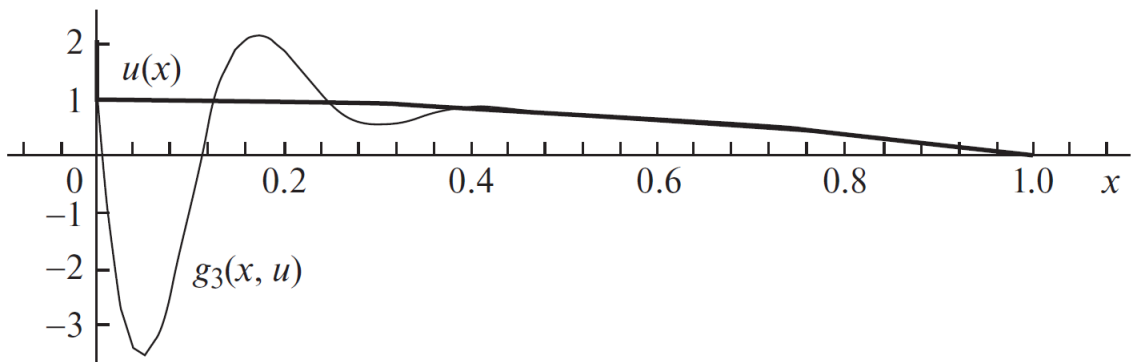


Рис. 3.2: Графики  $u(x)$  и  $g_3(x, u)$ , масштаб 1 : 1

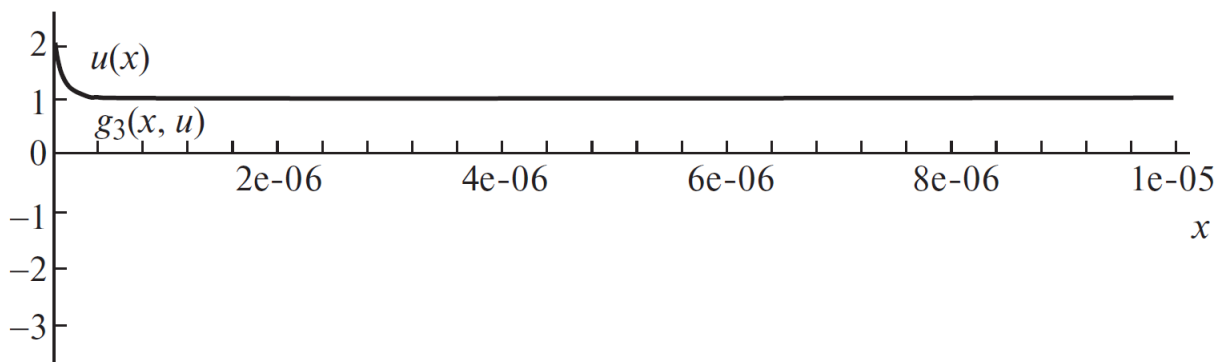


Рис. 3.3: Графики  $u(x)$  и  $g_3(x, u)$ , масштаб 1 :  $10^{-5}$

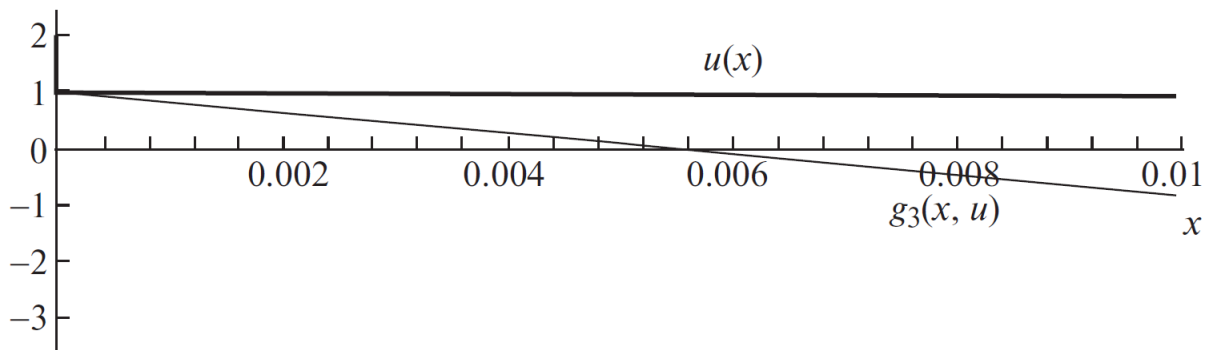


Рис. 3.4: Графики  $u(x)$  и  $g_3(x, u)$ , масштаб 1 :  $10^{-2}$

Таблица 3.1: Погрешность кубического сплайна на равномерной сетке

	$N = 2^4$	$N = 2^5$	$N = 2^6$	$N = 2^7$	$N = 2^8$	$N = 2^9$
$\varepsilon = 1$	$2.82 \cdot 10^{-7}$	$1.76 \cdot 10^{-8}$	$1.16 \cdot 10^{-9}$	$1.02 \cdot 10^{-10}$	$4.30 \cdot 10^{-12}$	$2.68 \cdot 10^{-13}$
$10^{-1}$	$3.43 \cdot 10^{-4}$	$2.33 \cdot 10^{-5}$	$1.51 \cdot 10^{-6}$	$9.58 \cdot 10^{-8}$	$6.03 \cdot 10^{-9}$	$4.11 \cdot 10^{-10}$
$10^{-2}$	0.43	$8.38 \cdot 10^{-2}$	$9.72 \cdot 10^{-3}$	$8.00 \cdot 10^{-4}$	$5.59 \cdot 10^{-5}$	$3.65 \cdot 10^{-6}$
$10^{-3}$	9.88	4.58	1.93	0.66	0.15	$2.03 \cdot 10^{-2}$
$10^{-4}$	$1.05 \cdot 10^2$	$5.23 \cdot 10^1$	$2.58 \cdot 10^1$	$1.25 \cdot 10^1$	5.90	2.59
$10^{-5}$	$1.06 \cdot 10^3$	$5.30 \cdot 10^2$	$2.64 \cdot 10^2$	$1.32 \cdot 10^2$	$6.56 \cdot 10^1$	$3.24 \cdot 10^1$
$10^{-6}$	$1.06 \cdot 10^4$	$5.30 \cdot 10^3$	$2.65 \cdot 10^3$	$1.33 \cdot 10^3$	$6.62 \cdot 10^2$	$3.30 \cdot 10^2$
$10^{-7}$	$1.06 \cdot 10^5$	$5.30 \cdot 10^4$	$2.65 \cdot 10^4$	$1.33 \cdot 10^4$	$6.63 \cdot 10^3$	$3.30 \cdot 10^3$
$10^{-8}$	$1.06 \cdot 10^6$	$5.30 \cdot 10^5$	$2.65 \cdot 10^5$	$1.33 \cdot 10^5$	$6.63 \cdot 10^4$	$3.31 \cdot 10^4$

Таблица 3.2: Погрешность кубического сплайна на кусочно-равномерной сетке с параметром  $\sigma$  из (3.2.8)

	$N = 2^4$	$N = 2^5$	$N = 2^6$	$N = 2^7$	$N = 2^8$	$N = 2^9$
$\varepsilon = 1$	$2.82 \cdot 10^{-7}$	$1.76 \cdot 10^{-8}$	$1.16 \cdot 10^{-9}$	$1.02 \cdot 10^{-10}$	$4.30 \cdot 10^{-12}$	$2.68 \cdot 10^{-13}$
$10^{-1}$	$3.43 \cdot 10^{-4}$	$2.33 \cdot 10^{-5}$	$1.51 \cdot 10^{-6}$	$9.58 \cdot 10^{-8}$	$6.03 \cdot 10^{-9}$	$4.11 \cdot 10^{-10}$
$10^{-2}$	$6.43 \cdot 10^{-3}$	$1.18 \cdot 10^{-3}$	$1.70 \cdot 10^{-4}$	$2.07 \cdot 10^{-5}$	$2.27 \cdot 10^{-6}$	$2.31 \cdot 10^{-7}$
$10^{-3}$	$6.43 \cdot 10^{-3}$	$1.18 \cdot 10^{-3}$	$1.70 \cdot 10^{-4}$	$2.07 \cdot 10^{-5}$	$2.27 \cdot 10^{-6}$	$2.31 \cdot 10^{-7}$
$10^{-4}$	$6.43 \cdot 10^{-3}$	$1.18 \cdot 10^{-3}$	$1.70 \cdot 10^{-4}$	$2.07 \cdot 10^{-5}$	$2.27 \cdot 10^{-6}$	$2.31 \cdot 10^{-7}$
$10^{-5}$	$4.47 \cdot 10^{-2}$	$1.25 \cdot 10^{-3}$	$1.70 \cdot 10^{-4}$	$2.07 \cdot 10^{-5}$	$2.27 \cdot 10^{-6}$	$2.31 \cdot 10^{-7}$
$10^{-6}$	$4.47 \cdot 10^{-1}$	$1.25 \cdot 10^{-2}$	$3.62 \cdot 10^{-4}$	$2.07 \cdot 10^{-5}$	$2.27 \cdot 10^{-6}$	$2.31 \cdot 10^{-7}$
$10^{-7}$	4.47	$1.25 \cdot 10^{-1}$	$3.62 \cdot 10^{-3}$	$1.07 \cdot 10^{-4}$	$3.24 \cdot 10^{-6}$	$2.31 \cdot 10^{-7}$
$10^{-8}$	44.7	1.25	$3.62 \cdot 10^{-2}$	$1.07 \cdot 10^{-3}$	$3.24 \cdot 10^{-5}$	$9.92 \cdot 10^{-7}$

Таблица 3.3: Погрешность модифицированного кубического сплайна на кусочно-равномерной сетке с параметром  $\sigma$  из (3.2.8)

	$N = 2^4$	$N = 2^5$	$N = 2^6$	$N = 2^7$	$N = 2^8$	$N = 2^9$
$\varepsilon = 1$	$3.1 \cdot 10^{-7}$	$2.0 \cdot 10^{-8}$	$1.3 \cdot 10^{-9}$	$1.1 \cdot 10^{-10}$	$4.9 \cdot 10^{-12}$	$3.1 \cdot 10^{-13}$
$10^{-1}$	$3.4 \cdot 10^{-4}$	$2.3 \cdot 10^{-5}$	$1.5 \cdot 10^{-6}$	$9.6 \cdot 10^{-8}$	$6.0 \cdot 10^{-9}$	$4.1 \cdot 10^{-10}$
$10^{-2}$	$6.4 \cdot 10^{-3}$	$1.2 \cdot 10^{-3}$	$1.7 \cdot 10^{-4}$	$2.1 \cdot 10^{-5}$	$2.3 \cdot 10^{-6}$	$2.3 \cdot 10^{-7}$
$10^{-3}$	$6.4 \cdot 10^{-3}$	$1.2 \cdot 10^{-3}$	$1.7 \cdot 10^{-4}$	$2.1 \cdot 10^{-5}$	$2.3 \cdot 10^{-6}$	$2.3 \cdot 10^{-7}$
$10^{-4}$	$6.4 \cdot 10^{-3}$	$1.2 \cdot 10^{-3}$	$1.7 \cdot 10^{-4}$	$2.1 \cdot 10^{-5}$	$2.3 \cdot 10^{-6}$	$2.3 \cdot 10^{-7}$
$10^{-5}$	$6.4 \cdot 10^{-3}$	$1.2 \cdot 10^{-3}$	$1.7 \cdot 10^{-4}$	$2.1 \cdot 10^{-5}$	$2.3 \cdot 10^{-6}$	$2.3 \cdot 10^{-7}$
$10^{-6}$	$6.4 \cdot 10^{-3}$	$1.2 \cdot 10^{-3}$	$1.7 \cdot 10^{-4}$	$2.1 \cdot 10^{-5}$	$2.3 \cdot 10^{-6}$	$2.3 \cdot 10^{-7}$
$10^{-7}$	$6.4 \cdot 10^{-3}$	$1.2 \cdot 10^{-3}$	$1.7 \cdot 10^{-4}$	$2.1 \cdot 10^{-5}$	$2.3 \cdot 10^{-6}$	$2.3 \cdot 10^{-7}$
$10^{-8}$	$6.4 \cdot 10^{-3}$	$1.2 \cdot 10^{-3}$	$1.7 \cdot 10^{-4}$	$2.1 \cdot 10^{-5}$	$2.3 \cdot 10^{-6}$	$2.3 \cdot 10^{-7}$

## Глава 4

# ИНТЕРПОЛЯЦИЯ L-СПЛАЙНАМИ ФУНКЦИЙ С ПОГРАНИЧНЫМ СЛОЕМ

Пусть  $\varepsilon \in (0, +\infty)$  – положительный параметр,  $\Omega = \{x_n : x_n = nh, n = 0, 1, \dots, N, x_0 = 0, x_N = 1\}$  – равномерная сетка интервала  $[0, 1]$  с шагом  $h = 1/N$ . Обозначим через  $S(\Omega, k, 1)$  пространство полиномиальных сплайнов степени  $k$  дефекта 1 [50] на сетке  $\Omega$ . В случае необходимости будем считать разбиение  $\Omega$  продолженным левее точки  $x = 0$  и правее точки  $x = 1$  на всю ось с шагом  $h$ . Напомним, что запись  $D = \text{diag}\{d_1, \dots, d_n\}$  означает представление квадратной  $n \times n$ -диагональной матрицы с диагональными элементами  $d_i$ ,  $\|A\|_\infty = \max_{1 \leq m \leq n} \sum_{k=1}^n |a_{mk}|$  – норма квадратной  $n \times n$  матрицы, согласованная с максимум-нормой вектора. Будем говорить, что квадратная матрица  $A = \{a_{mk}\}$  имеет диагональное преобладание в строке с номером  $m$  с показателем преобладания  $r_m > 0$ , если справедлива формула  $|a_{mm}| - \sum_{k \neq m} |a_{mk}| = r_m$ , и что  $A = \{a_{mk}\}$  имеет диагональное преобладание по строкам с показателем преобладания  $r > 0$ , если справедлива формула

$$\min_m \left( |a_{mm}| - \sum_{k \neq m} |a_{mk}| \right) = r.$$

### 4.1 Постановка задачи и формулировка результатов

Через  $C_h[0, 1]$  обозначим линейное нормированное пространство функций из  $C[0, 1]$ , имеющих в точках  $x = 0$  и  $x = 1$  односторонние производные второго порядка, с

нормой  $\|u\|_{C,h} = \|u\|_{C[0,1]} + h^2(|u''(0)| + |u''(1)|)$ . Если предполагается зависимость функции  $u(x)$  от параметра  $\varepsilon$ , то будем писать  $u(x, \varepsilon)$ .

Пусть  $\Omega$  – равномерная сетка интервала  $[0, 1]$  с узлами  $x_n, n = 0, 1, \dots, N$  и шагом  $h$ , заданная во введении. Предполагаем, что функция  $u(x)$  задана в узлах сетки  $\Omega$ ,  $u_n = u(x_n), n = 0, 1, \dots, N$ . Зададим пространство  $L$ -сплайнов, учитывающих наличие погранслойной составляющей экспоненциального вида у интегрируемой функции:

$$SL(\Omega, 3, 1) = \{S(x) \in C^2[0, 1] : S(x) = a_n + b_n x + c_n x^2 + d_n e^{-x/\varepsilon}, \\ x \in [x_n, x_{n+1}], 0 \leq n \leq N - 1\}.$$

Интерполяционный  $L$ -сплайн  $S(x; u) \in SL(\Omega, 3, 1)$  функции  $u(x)$  определим из условий

$$S(x_n; u) = u(x_n), 0 \leq n \leq N, S''(0; u) = u''(0), S''(1; u) = u''(1). \quad (4.1.1)$$

Основным для настоящей работы является случай, когда для интерполируемой функции  $u(x, \varepsilon)$  справедлива декомпозиция в виде суммы регулярной и сингулярной составляющих:

$$u(x, \varepsilon) = q(x) + \gamma \Phi(x, \varepsilon), |q^{(j)}(x)| \leq C_1, 0 \leq j \leq 4, \Phi(x, \varepsilon) = e^{-\alpha x/\varepsilon}, \alpha > 0, x \in [0, 1]. \quad (4.1.2)$$

Предполагаем, что в представлении (4.1.2) регулярная составляющая  $q(x)$  и постоянная  $\gamma$  не заданы, функция  $\Phi(x, \varepsilon)$  известна, ее производные неограниченно растут у границы  $x = 0$ , если  $\varepsilon \rightarrow 0$ . Представление (4.1.2) соответствует решению краевой задачи для уравнения с малым параметром  $\varepsilon$  при старшей производной [49].

В дальнейшем, не ограничивая общности, считаем, что  $\alpha = 1$ , т.к. этот параметр можно включить в значение  $\varepsilon$ .

**Теорема 1** Для любой функции  $u(x) \in C_h[0, 1]$  при всех  $h = 1/N \in (0, 1]$ ,  $\varepsilon \in (0, +\infty)$  существует единственный интерполяционный сплайн  $S(x; u) \in SL(\Omega, 3, 1)$ , удовлетворяющий условиям (4.1.1), причем справедливы оценки погрешности

$$\|S(x; u) - u(x)\|_{C[0,1]} \leq C \min \left\{ \frac{1}{h}, 1 + \frac{h}{\varepsilon} \right\} \inf_{v \in SL(\Omega, 3, 1)} \|u - v\|_{C,h}. \quad (4.1.3)$$

Если функция  $u(x, \varepsilon)$  имеет вид (4.1.2), то справедливы оценки

$$\|S(x; u) - u(x, \varepsilon)\|_{C[0,1]} \leq C \begin{cases} \min \left\{ h^3, \frac{h^4}{\varepsilon} \right\}, & \varepsilon \in (0, 1], \\ h^4, & \varepsilon \in (1, +\infty). \end{cases} \quad (4.1.4)$$

**Замечание 1** Из (4.1.4) вытекает равномерная по  $\varepsilon \in (0, +\infty)$  сходимость третьего порядка интерполяционного процесса (4.1.1) для функций вида (4.1.2).

Сплайн  $S(x; u)$ , анализируемый в теореме 1, можно применять для вычисления производных функции с большими градиентами по ее значениям в узлах сетки. Отметим, что применение кубического сплайна на равномерной сетке для вычисления производных такой функции приводит к неприемлемым погрешностям. Эти вопросы исследованы в [4]. Итак, справедлива следующая теорема [4].

**Теорема 2** Для некоторой постоянной  $C$  при  $j = 1, 2$  для сплайна  $S(x; u)$  из теоремы 1 справедливы следующие оценки погрешности :

$$\|S^{(j)}(x; u) - u^{(j)}(x)\|_{C[0,1]} \leq C \min \left\{ h^{3-j}, \frac{h^{4-j}}{\varepsilon} \right\}, \quad \varepsilon \in (0, 1].$$

**Теорема 3** Найдется такая константа  $C_1 > 0$ , что для любых  $\varepsilon \in (0, 1]$ ,  $h = 1/N \in (0, 1]$  существуют такая функция  $u(x) \in C_h[0, 1]$ , что  $u''(0) = u''(1) = 0$ ,

$$\|S(x; u) - u(x)\|_{C[0,1]} \geq C_1 \min \left\{ \frac{1}{h}, 1 + \frac{h}{\varepsilon} \right\} \inf_{v \in SL(\Omega, 3, 1)} \|u - v\|_{C[0,1]} \quad (4.1.5)$$

и такая функция  $u_1(x) \in C^4[0, 1]$ , что

$$\|S(x; u_1) - u_1(x)\|_{C[0,1]} \geq C_1 \min \left\{ h^3, \frac{h^4}{\varepsilon} \right\} \|u_1\|_{C[0,1]}. \quad (4.1.6)$$

Получим некоторые следствия из теорем 1 и 3 для параболического и кубического сплайнов. Пусть  $S_3(x; u) \in S(\Omega, 3, 1)$  – интерполяционный кубический сплайн функции  $u(x)$ , определяемый из условий (4.1.1), а  $S_2(x; u) \in S(\Omega, 2, 1)$  – интерполяционный параболический сплайн, определяемый из условий

$$S_2(x_n; u) = u(x_n), \quad 0 \leq n \leq N, \quad S_2''(1-0; u) = u''(1). \quad (4.1.7)$$

Изучим предельные по параметру  $\varepsilon$  свойства экспоненциального сплайна  $S(x; u) \in SL(\Omega, 3, 1)$ .

**Теорема 4** Для любой функции  $u(x) \in C_h[0, 1]$  интерполяционные сплайны  $S_2(x; u)$  и  $S_3(x; u)$  существуют, единственны, и имеют место формулы

$$\lim_{\varepsilon \rightarrow +\infty} \|S(x; u) - S_3(x; u)\|_{C[0,1]} = 0, \quad (4.1.8)$$

$$\lim_{\varepsilon \rightarrow 0+0} \|S(x; u) - S_2(x; u)\|_{C[0,1]} = 0. \quad (4.1.9)$$



**Следствие 1** *Справедливы следующие оценки*

$$\|S_3(x; u) - u(x)\|_{C[0,1]} \leq C \inf_{v \in S(\Omega, 3, 1)} \|u - v\|_{C, h}, \quad (4.1.10)$$

$$\|S_2(x; u) - u(x)\|_{C[0,1]} \leq \frac{C}{h} \inf_{v \in S(\Omega, 2, 1)} \|u - v\|_{C, h}. \quad (4.1.11)$$

Если  $u(x) \in C^4[0, 1]$ , то справедливы оценки погрешности

$$\|S_3(x; u) - u(x)\|_{C[0,1]} \leq Ch^4, \quad (4.1.12)$$

$$\|S_2(x; u) - u(x)\|_{C[0,1]} \leq Ch^3. \quad (4.1.13)$$

**Замечание 2** *Оценка (4.1.8) может быть улучшена до следующей [4]:*

$$\lim_{\varepsilon/h \rightarrow +\infty} \|S(x; u) - S_3(x; u)\|_{C[0,1]} = 0.$$

**Замечание 3** *Оценки (4.1.10), (4.1.12) – хорошо известные оценки погрешности кубической сплайн-интерполяции на равномерных сетках [50]. Оценки (4.1.11), (4.1.13) – это оценки погрешности параболической сплайн-интерполяции в случае совпадения узлов сплайна и узлов интерполяции. В [66], [41] отмечается, что такая постановка задачи параболической сплайн-интерполяции не является удачной. Однако из оценки (4.1.13) следует, что, несмотря на неограниченность совокупности констант Лебега в соответствии с (4.1.11) и теоремой 5 ниже, при повышенной гладкости, когда  $u(x) \in C^4[0, 1]$ , погрешность интерполяции будет иметь такой же порядок, как и в случае обычной интерполяции по Субботину или Марсдену.*

**Теорема 5** *Найдется такая константа  $C_1 > 0$ , что для любого  $h = 1/N \in (0, 1]$  существует такая функция  $u(x) \in C_h[0, 1]$ , что  $u''(0) = u''(1) = 0$ , и*

$$\|S_2(x; u) - u(x)\|_{C[0,1]} \geq \frac{C_1}{h} \inf_{v \in SL(\Omega, 3, 1)} \|u - v\|_{C[0,1]}. \quad (4.1.14)$$

## 4.2 Вспомогательные результаты

### 4.2.1 Обобщенные $B$ -сплайны и их свойства

Определим обобщенные  $B$ -сплайны первого порядка формулами

$$N_{i,1}(x) = \begin{cases} \frac{1 - e^{-\frac{x_i - x}{\varepsilon}}}{1 - e^{-\frac{h}{\varepsilon}}}, & x \in [x_i, x_{i+1}), \\ \frac{e^{-\frac{x_{i+1} - x}{\varepsilon}} - e^{-\frac{h}{\varepsilon}}}{1 - e^{-\frac{h}{\varepsilon}}}, & x \in [x_{i+1}, x_{i+2}), \\ 0, & x \notin [x_i, x_{i+2}). \end{cases} \quad (4.2.1)$$

Обобщенные сплайны более высоких порядков определим рекуррентно:

$$N_{i,k+1}(x) = \frac{1}{h} \int_{x_i}^x (N_{i,k}(s) - N_{i+1,k}(s)) ds, \quad k = 1, 2, \dots \quad (4.2.2)$$

Последовательно применяя формулу (4.2.2), находим

$$N_{i,2}(x) = \frac{1}{h(1 - e^{-\frac{h}{\varepsilon}})} \begin{cases} (x - x_i) - \varepsilon(1 - e^{-\frac{x_i-x}{\varepsilon}}), & x \in [x_i, x_{i+1}), \\ h + \varepsilon(1 + e^{-\frac{h}{\varepsilon}} - 2e^{-\frac{x_{i+1}-x}{\varepsilon}}) - (x - x_{i+1})(1 + e^{-\frac{h}{\varepsilon}}), & x \in [x_{i+1}, x_{i+2}), \\ (x - x_{i+2} - \varepsilon - h)e^{-\frac{h}{\varepsilon}} + \varepsilon e^{-\frac{x_{i+2}-x}{\varepsilon}}, & x \in [x_{i+2}, x_{i+3}), \\ 0, & x \notin [x_i, x_{i+3}). \end{cases} \quad (4.2.3)$$

$$N_{i,3}(x) = \frac{1}{h^2(1 - e^{-\frac{h}{\varepsilon}})} \begin{cases} \frac{(x-x_i)^2}{2} - \varepsilon(x - x_i) + \varepsilon^2(1 - e^{-\frac{x_i-x}{\varepsilon}}), & x \in [x_i, x_{i+1}), \\ \frac{h^2}{2} - \varepsilon h + \varepsilon^2(1 - e^{-\frac{h}{\varepsilon}}) + (h + \varepsilon(2 + e^{-\frac{h}{\varepsilon}}))(x - x_{i+1}) - \\ - (2 + e^{-\frac{h}{\varepsilon}}) \frac{(x-x_{i+1})^2}{2} - 3\varepsilon^2(1 - e^{-\frac{x_{i+1}-x}{\varepsilon}}), & x \in [x_{i+1}, x_{i+2}), \\ (\frac{h^2}{2} - 2\varepsilon^2)(1 - e^{-\frac{h}{\varepsilon}}) + \varepsilon h(1 + e^{-\frac{h}{\varepsilon}}) - \\ - ((2\varepsilon + h)e^{-\frac{h}{\varepsilon}} + \varepsilon + h)(x - x_{i+2}) + \\ + \frac{(x-x_{i+2})^2}{2}(1 + 2e^{-\frac{h}{\varepsilon}}) + 3\varepsilon^2(1 - e^{-\frac{x_{i+2}-x}{\varepsilon}}), & x \in [x_{i+2}, x_{i+3}), \\ \varepsilon^2 - (\frac{h^2}{2} + \varepsilon^2 + \varepsilon h)e^{-\frac{h}{\varepsilon}} - \frac{(x-x_{i+3})^2}{2}e^{-\frac{h}{\varepsilon}} + \\ + (\varepsilon + h)e^{-\frac{h}{\varepsilon}}(x - x_{i+3}) - \varepsilon^2(1 - e^{-\frac{x_{i+3}-x}{\varepsilon}}), & x \in [x_{i+3}, x_{i+4}), \\ 0, & x \notin [x_i, x_{i+4}). \end{cases} \quad (4.2.4)$$

Из (4.2.2), (4.2.4) находим

$$N_{i,3}(x_j) = \begin{cases} \frac{1}{2(1 - e^{-\frac{h}{\varepsilon}})} - \frac{\varepsilon}{h(1 - e^{-\frac{h}{\varepsilon}})} + \frac{\varepsilon^2}{h^2}, & j = i + 1, \\ \frac{1}{2} - \frac{2\varepsilon^2}{h^2} + \frac{\varepsilon}{h} \cdot \frac{1 + e^{-\frac{h}{\varepsilon}}}{1 - e^{-\frac{h}{\varepsilon}}}, & j = i + 2, \\ \frac{\varepsilon^2}{h^2} - \frac{e^{-\frac{h}{\varepsilon}}}{1 - e^{-\frac{h}{\varepsilon}}} \left( \frac{1}{2} + \frac{\varepsilon}{h} \right), & j = i + 3, \\ 0, & j \notin [i + 1, i + 3]. \end{cases} \quad (4.2.5)$$

$$N'_{i,3}(x_j) = \frac{1}{h}(N_{i,2}(x_j) - N_{i+1,2}(x_j)) = \frac{1}{h} \begin{cases} -\frac{\varepsilon}{h} + \frac{1}{1 - e^{-\frac{h}{\varepsilon}}}, & j = i + 1, \\ -\left( \frac{1 + e^{-\frac{h}{\varepsilon}}}{1 - e^{-\frac{h}{\varepsilon}}} - \frac{2\varepsilon}{h} \right), & j = i + 2, \\ -\frac{\varepsilon}{h} + \frac{e^{-\frac{h}{\varepsilon}}}{1 - e^{-\frac{h}{\varepsilon}}}, & j = i + 3, \\ 0, & j \notin [i + 1, i + 3]. \end{cases} \quad (4.2.6)$$

$$N''_{i,3}(x_j) = \frac{1}{h^2}(N_{i,1}(x_j) - 2N_{i+1,1}(x_j) + N_{i+2,1}(x_j)) = \begin{cases} \frac{1}{h^2}, & j = i + 1, \\ -\frac{2}{h^2}, & j = i + 2, \\ \frac{1}{h^2}, & j = i + 3, \\ 0, & j \notin [i + 1, i + 3]. \end{cases} \quad (4.2.7)$$

**Лемма 1** *Справедливы формулы*

$$N_{i,3}(x) \geq 0, \quad -\infty < i < +\infty, \quad (4.2.8)$$

$$\sum_{i=-\infty}^{+\infty} N_{i,3}(x) \equiv 1, \quad (4.2.9)$$

$$\left\| \sum_{i=-3}^{N-1} \beta_i N_{i,3}(x) \right\|_{C[0,1]} \leq \max_{-3 \leq i \leq N-1} |\beta_i|. \quad (4.2.10)$$

**Доказательство.** Формулы (4.2.8) непосредственно вытекают из (4.2.1), (4.2.2). Далее из (4.2.2) находим для любых натуральных  $j, k, j < k$

$$\sum_{i=j}^k N'_{i,3}(x) = \frac{1}{h} \sum_{i=j}^k (N_{i,2}(x) - N_{i+1,2}(x)) = \frac{1}{h} (N_{j,2}(x) - N_{k+1,2}(x)).$$

Поскольку  $\text{supp } N_{i,2} \subset (x_i, x_{i+3})$ , то отсюда следует, что  $\sum_{i=j}^k N'_{i,3}(x) = 0, x \in [x_{j+3}, x_{k+1}]$ . В силу произвольности  $j, k$  находим  $\sum_{i=-\infty}^{+\infty} N_{i,3}(x) \equiv C = \text{const}$ . Вычисляя данную сумму в любом узле  $x_j$  согласно (4.2.5), находим  $C = 1$ . Формула (4.2.10) вытекает из (4.2.8), (4.2.9). Лемма доказана.

Обозначим  $\bar{x}_j = (x_j + x_{j+1})/2, 0 \leq j \leq N - 1$ .

**Лемма 2** *При  $\varepsilon/h \rightarrow 0$  справедливы формулы*

$$N_{i,3}(x_j) = \begin{cases} \frac{1}{2} - \frac{\varepsilon}{h} + O\left(\frac{\varepsilon^2}{h^2}\right), & j = i + 1, \\ \frac{1}{2} + \frac{\varepsilon}{h} + O\left(\frac{\varepsilon^2}{h^2}\right), & j = i + 2, \\ O\left(\frac{\varepsilon^2}{h^2}\right), & j = i + 3, \\ 0, & j \notin [i + 1, i + 3] \end{cases}, \quad N_{i,3}(\bar{x}_j) = \begin{cases} \frac{1}{8} + O\left(\frac{\varepsilon}{h}\right), & j = i, i + 2 \\ \frac{3}{4} + O\left(\frac{\varepsilon}{h}\right), & j = i + 1, \\ O\left(\frac{\varepsilon^2}{h^2}\right), & j = i + 3, \\ 0, & j \notin [i, i + 3]. \end{cases} \quad (4.2.11)$$

Доказательство непосредственно получается из формул (4.2.4), (4.2.5).

Наконец, отметим свойства вспомогательной функции, связанной с формулой (4.2.5). Пусть

$$f_1(x) = \frac{1}{x} \cdot \frac{1 + e^{-x}}{1 - e^{-x}} - \frac{2}{x^2}. \quad (4.2.12)$$

**Лемма 3** *При  $x > 0$  справедливы формулы*

$$f_1(x) > 0, \quad f'_1(x) < 0. \quad (4.2.13)$$

**Доказательство.** Докажем первое неравенство. При всех  $x > 0$  неравенство  $f_1(x) > 0$  эквивалентно  $f_2(x) \equiv x + xe^{-x} - 2 + 2e^{-x} > 0$ . Далее,  $f'_2(x) = 1 - xe^{-x} - e^{-x}, f''_2(x) = xe^{-x} > 0$  при  $x > 0, f'_2(0) = 0, f_2(0) = 0$ . Следовательно,  $f_2(x) > 0$ , что и требовалось доказать. Второе неравенство доказывается аналогично. Лемма доказана.

## 4.2.2 Свойства матриц систем линейных алгебраических уравнений

Представим  $S(x; u)$  в виде

$$S(x; u) = \sum_{n=-3}^{N-1} \alpha_n N_{n,3}(x). \quad (4.2.14)$$

Из условий интерполяции (4.1.1) получим СЛАУ для коэффициентов

$$\begin{aligned} \sum_{n=-3}^{N-1} \alpha_n N''_{n,3}(0) &= u''(0), \\ \sum_{n=-3}^{N-1} \alpha_n N_{n,3}(x_k) &= u(x_k), \quad 0 \leq k \leq N, \\ \sum_{n=-3}^{N-1} \alpha_n N''_{n,3}(1) &= u''(1). \end{aligned} \quad (4.2.15)$$

Преобразуем СЛАУ (4.2.15) аналогично [46]. Для этого вычислим значения входящих в нее обобщенных  $B$ -сплайнов и их производных по формулам (4.2.5), (4.2.7) и исключим из двух первых и двух последних уравнений неизвестные  $\alpha_{-3}$  и  $\alpha_{N-1}$ . В результате формулы для  $\alpha_{-3}$  и  $\alpha_{N-1}$  будут иметь вид

$$\alpha_{-3} = 2\alpha_{-2} - \alpha_{-1} + h^2 u''(0), \quad \alpha_{N-1} = 2\alpha_{N-2} - \alpha_{N-3} + h^2 u''(1), \quad (4.2.16)$$

а СЛАУ для остальных коэффициентов примет вид

$$A\alpha = U, \quad (4.2.17)$$

где  $A = \{a_{nk}\}$ ,  $-2 \leq n, k \leq N-2$  – трехдиагональная матрица порядка  $(N+1) \times (N+1)$ ,  $U = (U_{-2}, U_{-1}, \dots, U_{N-2})^T$  –  $(N+1)$ -вектор. При этом ненулевые элементы матрицы  $A$  имеют вид:

$$a_{nk} = N_{k,3}(x_{n+2}), \quad k = n-1, n, n+1; \quad n \in [-1, N-3], \quad (4.2.18)$$

$$a_{(-2)(-2)} = N_{-2,3}(0) + 2N_{-3,3}(0), \quad a_{(-2)(-1)} = N_{-1,3}(0) - N_{-3,3}(0), \quad (4.2.19)$$

$$a_{(N-2)(N-2)} = N_{N-2,3}(1) + 2N_{N-1,3}(1), \quad a_{(N-2)(N-3)} = N_{N-3,3}(1) - N_{N-1,3}(1), \quad (4.2.20)$$

а остальные элементы равны нулю.

Элементы вектора  $U$  имеют вид

$$U_n = u(x_{n+2}), \quad -1 \leq n \leq N-3, \quad (4.2.21)$$

$$U_{-2} = u(0) - h^2 N_{-3,3}(0) u''(0), \quad U_{N-2} = u(1) - h^2 N_{N-1,3}(1) u''(1). \quad (4.2.22)$$

**Лемма 4** Для диагональных элементов матрицы  $A$  при всех  $\varepsilon \in (0, +\infty)$ ,  $h = 1/N \in (0, 1]$  справедливы формулы

$$a_{nn} \geq \frac{1}{2} + f_1\left(\frac{h}{\varepsilon}\right), \quad -2 \leq n \leq N-2, \quad (4.2.23)$$

$$a_{(-2)(-2)} \geq |a_{(-2)(-1)}| + f_1\left(\frac{h}{\varepsilon}\right), \quad a_{(N-2)(N-2)} \geq |a_{(N-2)(N-3)}| + f_1\left(\frac{h}{\varepsilon}\right). \quad (4.2.24)$$

При  $\frac{\varepsilon}{h} \rightarrow 0$  справедливы формулы

$$a_{nn} = \frac{1}{2} + \frac{\varepsilon}{h} + O\left(\frac{\varepsilon^2}{h^2}\right), \quad -2 \leq n \leq N-3, \quad a_{(N-2)(N-2)} = \frac{3}{2} - \frac{\varepsilon}{h} + O\left(\frac{\varepsilon^2}{h^2}\right), \quad (4.2.25)$$

$$a_{nn-1} = O\left(\frac{\varepsilon^2}{h^2}\right), \quad -1 \leq n \leq N-3, \quad a_{(N-2)(N-3)} = -\frac{1}{2} + \frac{\varepsilon}{h} + O\left(\frac{\varepsilon^2}{h^2}\right), \quad (4.2.26)$$

$$a_{nn+1} = \frac{1}{2} - \frac{\varepsilon}{h} + O\left(\frac{\varepsilon^2}{h^2}\right), \quad -2 \leq n \leq N-3. \quad (4.2.27)$$

**Доказательство.** Из формул (4.2.18)-(4.2.20), (4.2.5) вытекает, что для диагональных элементов матрицы  $A$  справедливо представление

$$a_{nn} = \begin{cases} \frac{1}{2} + f_1\left(\frac{h}{\varepsilon}\right) + 2N_{-3,3}(0), & n = -2, \\ \frac{1}{2} + f_1\left(\frac{h}{\varepsilon}\right), & -1 \leq n \leq N-3, \\ \frac{1}{2} + f_1\left(\frac{h}{\varepsilon}\right) + 2N_{N-1,3}(1), & n = N-2. \end{cases} \quad (4.2.28)$$

Отсюда и из (4.2.5), (4.2.8) вытекает (4.2.23). Формулы (4.2.24)-(4.2.27) непосредственно вытекают из (4.2.18)-(4.2.20), (4.2.12). Лемма доказана.

**Лемма 5** Матрица  $A$  обратима при любых  $h = 1/N \in (0, 1]$ ,  $\varepsilon > 0$  и для некоторых постоянных  $C_3 > 0$ ,  $C_4 > 0$  справедлива оценка

$$C_3 \min \left\{ h^{-1}, 1 + \frac{h}{\varepsilon} \right\} \leq \|A^{-1}\|_{\infty} \leq C_4 \min \left\{ h^{-1}, 1 + \frac{h}{\varepsilon} \right\}. \quad (4.2.29)$$

Найдутся такие не зависящие от  $\varepsilon$ ,  $h$  константы  $C > 0$ ,  $C_1 > 0$ , что при  $h/\varepsilon > C$  матрица  $A^{-1}$  представима в виде

$$A^{-1} = DB_1 + B_2, \quad (4.2.30)$$

где  $D = \text{diag}\{d_{ii}\}$  – диагональная матрица,  $B_1 = \{b_{ij}^1\}$  – верхняя треугольная матрица, причем справедливы формулы

$$\|B_1\|_\infty \leq C_1 \min \left\{ h^{-1}, 1 + \frac{h}{\varepsilon} \right\}, \|B_2\|_\infty \leq C_1, \|D\|_\infty \leq C_1, \quad (4.2.31)$$

$$b_{ij}^1 = (-1)^{j-i} \mu_{\varepsilon,h}^{j-i}, \quad j \geq i, \quad \mu_{\varepsilon,h} = 1 - \frac{4\frac{\varepsilon}{h}}{1 + 2\frac{\varepsilon}{h}}. \quad (4.2.32)$$

**Доказательство.** Заметим, что в силу (4.2.9)  $\sum_{i=-3}^{N-1} N''_{i,3}(x) \equiv 0$  на  $[0, 1]$ , т.е. для матрицы СЛАУ (4.2.15) строчные суммы первой и последней строк нулевые, а у остальных строк они равны 1. Поэтому все строчные суммы матрицы  $A$  СЛАУ (4.2.17) равны 1. При этом все элементы  $A$ , кроме, быть может,  $a_{(-2)(-1)}$  и  $a_{(N-3)(N-2)}$  неотрицательны. Отсюда и из (4.2.28) следует, что матрица  $A$  имеет строгое диагональное преобладание с показателем преобладания  $r_i(A) \geq f_1\left(\frac{\varepsilon}{h}\right)$  во всех строках с номерами  $i = -1, \dots, N-3$ . Для  $i = -2, i = N-2$  это справедливо в силу (4.2.24). Значит, диагональное преобладание с показателем  $r(A) \geq f_1\left(\frac{\varepsilon}{h}\right)$  будет во всех строках  $A$ , поэтому  $A$  обратима при всех  $h = 1/N \in (0, 1]$ ,  $\varepsilon > 0$ .

Докажем формулы (4.2.29)-(4.2.32). Рассмотрим случаи: 1)  $h/\varepsilon \leq C$ , 2)  $h/\varepsilon > C$ , где  $C > 0$  достаточно большая, но не зависящая от  $\varepsilon$  и  $h$  константа.

В случае 1 заметим, что  $r(A) \geq f_1(h/\varepsilon)$ , а в силу (4.2.13)  $f_1(x)$  монотонно убывает на  $(0, +\infty)$ . Поэтому будет  $r(A) \geq f_1(C) = C_3 > 0$ , откуда следует, что  $\|A\|_\infty \leq 1/C_3 = C_4$ , и оценка сверху в (4.2.29) в случае 1 доказана. Оценка снизу верна, т.к. в первом случае  $1 + h/\varepsilon \leq 1 + C = \text{const}$ .

Рассмотрим случай 2. Представим  $A$  в виде

$$A = D_1 \tilde{A}, \quad D_1 = \text{diag}\{d_{-2,1}, \dots, d_{N-2,1}\}, \quad (4.2.33)$$

$$d_{i,1} = \frac{1}{2} + \frac{\varepsilon}{h}, \quad -2 \leq i \leq N-3, \quad d_{N-2,1} = \frac{3}{2} - \frac{\varepsilon}{h}.$$

В силу (4.2.25)-(4.2.27) в случае 2 справедливо представление  $\tilde{A} = \tilde{A}_1 + \tilde{A}_2 + \tilde{A}_3$ ,  $\tilde{A}_s = \{\tilde{a}_{ij,s}\}$ ,  $1 \leq s \leq 3$ , где

$$\tilde{a}_{ij,1} = \begin{cases} 1, & i = j, \\ \left(\frac{1}{2} - \frac{\varepsilon}{h}\right) / \left(\frac{1}{2} + \frac{\varepsilon}{h}\right), & j = i + 1, \\ 0, & j \neq i, i + 1, \end{cases} \quad \tilde{a}_{ij,2} = \begin{cases} \left(\frac{1}{2} - \frac{\varepsilon}{h}\right) / \left(\frac{3}{2} - \frac{\varepsilon}{h}\right), & i = N-2, j = N-3, \\ 0, & i \neq N-2, j \neq N-3, \end{cases} \quad (4.2.34)$$

$$\|\tilde{A}_3\|_\infty \leq C_3 \varepsilon^2 / h^2.$$

Поскольку  $d_{i,1} = O^*(1)$  при  $\varepsilon/h \rightarrow 0$ , то формулы вида (4.2.29)-(4.2.32) в случае 2 достаточно доказать для матрицы  $\tilde{A}$ . Рассмотрим матрицу  $\hat{A} = \tilde{A}_1 + \tilde{A}_2$ . Будем искать  $\hat{A}^{-1}$  из матричного уравнения  $\hat{A}X = I$ . Исключим в нем элемент  $\hat{a}_{(N-2)(N-3)} = \tilde{a}_{(N-2)(N-3)}$ , затем умножим последнюю строку на число, обратное диагональному элементу. Тогда в силу (4.2.34) матричное уравнение примет вид

$$\tilde{A}_1 X = J, \quad (4.2.35)$$

где  $J = I + J_1$ ,  $J_1 = \{e_{ij}, -2 \leq i, j \leq N-2\}$ ,

$$e_{ij} = 0, \quad i \neq N-2, \quad j \neq N-3, \quad |e_{ij}| \leq C_5. \quad (4.2.36)$$

Но в силу (4.2.34) справедлива формула  $\tilde{A}_1 = I - L$ , где  $L$  — нильпотентная матрица, т.е.  $L^s = 0$  при  $s \geq N+1$ . Поэтому  $\tilde{A}_1^{-1}$  представима конечным рядом Неймана  $\tilde{A}_1^{-1} = I + \sum_{s=1}^N L^s$  и ее элементы имеют вид

$$\tilde{a}_{ij,-1} = (-1)^{j-i} \mu_{\varepsilon,h}^{j-i}, \quad j \geq i, \quad \mu_{\varepsilon,h} = 1 - \frac{4\varepsilon/h}{1 + 2\varepsilon/h}. \quad (4.2.37)$$

Обозначим  $\tilde{A}_1^{-1} J_1 = \tilde{B}$ . Тогда в силу (4.2.36) в любой строке  $\tilde{B}$  будет отличен от нуля только элемент столбца с номером  $N-3$ . При этом в силу (4.2.36)-(4.2.37) данный элемент оценивается величиной порядка  $O(1)$  при  $\varepsilon/h \rightarrow 0$ . Поэтому из (4.2.35)-(4.2.37) находим

$$\begin{aligned} (\tilde{A}_1 + \tilde{A}_2)^{-1} &= \hat{A}^{-1} = \tilde{A}^{-1} + \tilde{A}^{-1} J_1 = \\ &= \tilde{A}_1^{-1} + \tilde{B}, \quad \|\tilde{A}_1^{-1}\|_\infty \leq C_3 \min \left\{ h^{-1}, 1 + \frac{h}{\varepsilon} \right\}, \quad \|\tilde{B}\|_\infty \leq C_5. \end{aligned} \quad (4.2.38)$$

Отсюда из (4.2.34) имеем при достаточно малых  $\varepsilon/h$

$$\|\tilde{A}_3(\tilde{A}_1 + \tilde{A}_2)^{-1}\|_\infty \leq C_6 \frac{\varepsilon}{h}. \quad (4.2.39)$$

Поэтому

$$\tilde{A}^{-1} = (\tilde{A}_1 + \tilde{A}_2)^{-1} (I + \tilde{A}_3(\tilde{A}_1 + \tilde{A}_2)^{-1})^{-1} = (\tilde{A}_1^{-1} + \tilde{B})(I + \hat{B}), \quad \|\hat{B}\|_\infty \leq C_7 \frac{\varepsilon}{h}. \quad (4.2.40)$$

Из (??)-(4.2.40) вытекают формулы вида(4.2.30)-(4.2.32) для  $\tilde{A}^{-1}$ , в которых

$$D = I, \quad B_1 = \tilde{A}_1^{-1}, \quad B_2 = \tilde{A}_1^{-1} \hat{B} + \tilde{B} + \tilde{B} \hat{B}. \quad (4.2.41)$$

Тем самым оценка сверху в (4.2.29) доказана.

Докажем оценку снизу в случае 2. Из (4.2.33) следует, что оценку снизу вида (4.2.29) достаточно установить для  $\tilde{A}^{-1}$ . Но из (4.2.37), (4.2.38), (4.2.40) следует, что  $\tilde{A}^{-1} = \tilde{A}_1^{-1} + B_1$ , где  $\|B_1\|_\infty \leq C_8$ ,  $\|\tilde{A}_1^{-1}\|_\infty = \sum_{s=0}^N \mu_{\varepsilon,h}^s \geq C_9 \min\{h^{-1}, 1 + \frac{h}{\varepsilon}\}$ . Отсюда при достаточно малых  $h, \varepsilon/h$  будет

$$\|\tilde{A}^{-1}\|_\infty \geq \|\tilde{A}_1^{-1}\|_\infty - \|B_1\|_\infty \geq C_{10} \min\{h^{-1}, 1 + \frac{h}{\varepsilon}\}.$$

Лемма доказана.

Докажем еще две леммы об обобщенных  $B$ -сплайнах, вытекающие из свойств матрицы  $A$ .

**Лемма 6** *Найдется такая константа  $C_1 > 0$ , что для любых  $\varepsilon > 0$ ,  $h = 1/N \in (0, 1]$  и для любого набора скаляров  $\{\beta_i, -3 \leq i \leq N-1\}$ , в котором*

$$\beta_{-3} = 2\beta_{-2} - \beta_{-1}, \quad \beta_{N-1} = 2\beta_{N-2} - \beta_{N-3}, \quad (4.2.42)$$

*справедлива оценка*

$$\left\| \sum_{i=-3}^{N-1} \beta_i N_{i,3}(x) \right\|_{C[0,1]} \geq C_1 \max_{-2 \leq i \leq N-2} |\beta_i|. \quad (4.2.43)$$

**Доказательство.** Аналогично предыдущей лемме рассмотрим два случая: 1)  $h/\varepsilon \leq C$  и 2)  $h/\varepsilon > C$ , где  $C > 0$  достаточно большая, но не зависящая от  $\varepsilon$  и  $h$  константа.

В случае 1 в лемме 5 было доказано, что  $\|A^{-1}\|_\infty \leq C_2$ . При этом условия (4.2.42) соответствуют условиям  $u''(x_n) = 0, n = 0, N$ . Поэтому с учетом (4.2.17), (4.2.21)-(4.2.22) получаем, что  $\max_{-2 \leq i \leq N-2} |\beta_i| \leq C_2 \max_{0 \leq i \leq N} |u(x_i)| \leq C_2 \|u(x)\|_{C[0,1]}$ , где  $u(x) = \sum_{i=-3}^{N-1} \beta_i N_{i,3}(x)$ , откуда вытекает (4.2.43) в случае 1.

Рассмотрим случай 2. Пусть  $|\beta_j| = \max_{-2 \leq i \leq N-2} |\beta_i|$ . Тогда в силу (4.2.42)

$$|\beta_j| \geq \frac{1}{3} \max_{-3 \leq i \leq N-1} |\beta_i|.$$

Поэтому для функции  $u(x) = \sum_{i=-3}^{N-1} \beta_i N_{i,3}(x)$  при  $N > 1$  с учетом (4.2.11) будем иметь

$$|u(\bar{x}_{j+1})| = \left| \sum_{i=j-2}^{j+1} \beta_i N_{i,3}(\bar{x}_{j+1}) \right| \geq |\beta_j| \left( |N_{j,3}(\bar{x}_{j+1})| - \sum_{j-2 \leq i \leq j+1, i \neq j} \left| \frac{\beta_i}{\beta_j} N_{i,3}(\bar{x}_{j+1}) \right| \right) \geq$$



$$\begin{aligned} &\geq |\beta_j| \left( |N_{j,3}(\bar{x}_{j+1})| - \sum_{j-2 \leq i \leq j+1, i \neq j} |N_{i,3}(\bar{x}_{j+1})| \right) \geq \\ &\geq |\beta_j| \left( \frac{3}{4} - \frac{3}{8} - \frac{1}{8} + O\left(\frac{\varepsilon}{h}\right) \right) = |\beta_j| \left( \frac{1}{4} + O\left(\frac{\varepsilon}{h}\right) \right), \end{aligned}$$

где  $\bar{x}_{j+1} = (x_{j+1} + x_{j+2})/2$ . Выбирая  $C$  так, чтобы модуль второго слагаемого не превосходил  $1/8$  при  $h/\varepsilon > C$ , получим (4.2.43) с константой  $C_1 = 1/8$ . Лемма доказана.

**Лемма 7** Совокупность  $\{\tilde{N}_{i,3}(x), -3 \leq i \leq N-1\}$ , где  $\tilde{N}_{i,3}(x)$  – сужение  $N_{i,3}(x)$  на  $[0, 1]$ , при всех  $\varepsilon > 0$ ,  $h = 1/N \in (0, 1]$  образует базис в  $SL(\Omega, 3, 1)$ .

**Доказательство.** Линейная независимость  $\{\tilde{N}_{i,3}(x), -3 \leq i \leq N-1\}$  вытекает из невырожденности матрицы СЛАУ (4.2.15). Аналогично [50] получаем, что  $\dim SL(\Omega, 3, 1) = \dim S(\Omega, 3, 1) = N + 3$ . Лемма доказана.

### 4.2.3 Аппроксимационные свойства пространства $SL(\Omega, 3, 1)$

Введем вспомогательные функции. Пусть  $B_i(x) \in SL(\Omega, 3, 1)$  – функции, определяемые из условий

$$\text{supp } B_i(x) \subset [0, x_3], B_i^{(j)}(0) = \delta_{ij}, B_i^{(j)}(x_3) = 0, 0 \leq i, j \leq 2. \quad (4.2.44)$$

**Лемма 8** Справедливы оценки

$$\|B_i(x)\|_{C[0,1]} \leq Ch^i. \quad (4.2.45)$$

**Доказательство.** Будем искать  $B_i(x)$  в виде

$$B_i(x) = \sum_{j=-3}^{-1} \alpha_{ij} \tilde{N}_{j,3}(x), 0 \leq i \leq 2. \quad (4.2.46)$$

Тогда из условий (4.2.44) для коэффициентов  $\alpha_{ij}$  получим СЛАУ  $B\vec{\alpha}_i = \vec{e}_i$ , где

$$B = \{b_{kj}, -3 \leq j \leq -1, 0 \leq k \leq 2\}, b_{kj} = h^k \tilde{N}_{j,3}^{(k)}(0),$$

$$\vec{\alpha}_i = \{\alpha_{ik}, 0 \leq k \leq 2\}, \vec{e}_i = \{e_{ik}, 0 \leq k \leq 2\}, 0 \leq i \leq 2, e_{ik} = h^i \delta_{ik}.$$

Из (4.2.5)-(4.2.7) и леммы 3 следует, что

$$b_{0j} > 0, j = -3, \dots, -1, b_{0(-2)} \geq \frac{1}{2}, b_{1j} < 0, j = -3, -2, b_{1(-1)} > 0, b_{2j} = 1, j = -1, -3;$$

$$b_{2(-2)} = -2, b_{0(-1)} - b_{0(-3)} > 0, b_{1(-1)} - b_{1(-3)} = 1.$$

Отсюда

$$\begin{aligned} \det B &= (b_{0(-2)} + 2b_{0(-3)}) \cdot (b_{1(-1)} - b_{1(-3)}) - (b_{0(-1)} - b_{0(-3)}) \cdot (b_{1(-2)} + 2b_{1(-3)}) \geq \\ &\geq b_{0(-2)} + 2b_{0(-3)} \geq b_{0(-2)} \geq \frac{1}{2}, \end{aligned}$$

откуда получаем, что  $|\alpha_{ij}| \leq Ch^i$ . Отсюда и из (4.2.46) вытекает (4.2.45). Лемма доказана.

Обозначим через  $[y]$  целую часть действительного числа  $y$ .

**Лемма 9** Пусть функция  $u(x, \varepsilon)$  представима в виде (4.1.2). Тогда найдется такая функция  $\tilde{S}(x; u) \in SL(\Omega, 3, 1)$  и константа  $C > 0$ , что для всех  $\varepsilon > 0$ ,  $h = 1/N \in (0, 1]$  будут справедливы оценки

$$\|\tilde{S}^{(j)}(x; u) - u^{(j)}(x, \varepsilon)\|_{C[0,1]} \leq C \begin{cases} \min\{h^{3-j}, \frac{h^{4-j}}{\varepsilon}\}, & 0 < \varepsilon \leq 1 \\ h^{4-j}, & \varepsilon > 1, \end{cases} \quad 0 \leq j \leq 2. \quad (4.2.47)$$

При этом для функции  $r(x, \varepsilon) = u(x, \varepsilon) - \tilde{S}(x; u)$  при  $h/\varepsilon > 1$  справедливы формулы

$$|r(x_j, \varepsilon) - r(x_{j+3}, \varepsilon)| \leq Ch^4, \quad j \in [N - 3 \lfloor \frac{N}{3} \rfloor, N - 3]. \quad (4.2.48)$$

**Доказательство.** Поскольку в (4.1.2)  $\Phi(x) = e^{-x/\varepsilon}$  и  $\Phi(x) \in SL(\Omega, 3, 1)$ , то достаточно найти  $\tilde{S}(x; u)$  для случая  $u(x, \varepsilon) = u(x) = q(x)$ . Пусть

$$P_{i,q}(x) = \sum_{j=0}^3 \frac{q^{(j)}(x_i)}{j!} (x - x_i)^j. \quad (4.2.49)$$

Заметим, что из формулы Тейлора с остаточным членом в интегральной форме для  $e^{(x_i-x)/\varepsilon}$  вытекает, что

$$(x - x_i)^3 = -6\varepsilon^3 \left( e^{\frac{x_i-x}{\varepsilon}} - 1 - \frac{x_i - x}{\varepsilon} - \frac{1}{2} \left( \frac{x_i - x}{\varepsilon} \right)^2 \right) + R_i(x, \varepsilon), \quad (4.2.50)$$

где

$$\|R_i^{(j)}(x, \varepsilon)\|_{C[x_i, x_{i+3}]} \leq C \frac{h^{4-j}}{\varepsilon}, \quad R_i^{(j)}(x_i, \varepsilon) = 0, \quad 0 \leq j \leq 3. \quad (4.2.51)$$

Обозначим через  $\tilde{P}_{i,q}(x, \varepsilon)$  функцию, получающуюся из  $P_{i,q}(x)$  заменой в (4.2.49)  $(x - x_i)^3$  выражением (4.2.50) без слагаемого  $R_i(x, \varepsilon)$  при  $h/\varepsilon \leq 1$  и нулем при  $h/\varepsilon > 1$ . Тогда, учитывая, что в силу (4.1.2)  $\|P_{i,q}^{(j)}(x) - q^{(j)}(x)\|_{C[x_i, x_{i+3}]} \leq Ch^{4-j}$ ,  $0 \leq j \leq 3$  и оценку (4.2.51), получаем, что

$$\|\tilde{P}_{i,q}^{(j)}(x, \varepsilon) - q^{(j)}(x)\|_{C[x_i, x_{i+3}]} \leq C \begin{cases} \max\{h^{4-j}, \frac{h^{4-j}}{\varepsilon}\}, & \frac{h}{\varepsilon} \leq 1, \\ h^{3-j}, & \frac{h}{\varepsilon} > 1. \end{cases} \quad (4.2.52)$$

Определим функцию  $\tilde{S}(x; u)$  формулой

$$\tilde{S}(x; u) = \begin{cases} \tilde{P}_{N-3i,q}(x, \varepsilon) + \sum_{k=0}^2 (\tilde{P}_{\max\{N-3(i+1),0\},q}^{(k)}(x_{N-3i}, \varepsilon) - q^{(k)}(x_{N-3i})) \times \\ \times B_k(x - x_{N-3i}), x \in [x_{N-3i}, x_{N-3i+3}], 1 \leq i \leq [\frac{N}{3}], \\ \tilde{P}_{0,q}(x, \varepsilon), x \in [x_0, x_{N-3[N/3]}], \end{cases} \quad (4.2.53)$$

где  $B_k(x)$  – функции (4.2.44). Тогда  $\tilde{S}(x; u) \in SL(\Omega, 3, 1)$ . При этом в силу (4.2.52)

$$\left| \tilde{P}_{\max\{N-3(i+1),0\},q}^{(j)}(x_{N-3i}, \varepsilon) - q^{(j)}(x_{N-3i}) \right| \leq C \begin{cases} \max\{h^{4-j}, \frac{h^{4-j}}{\varepsilon}\}, \frac{h}{\varepsilon} \leq 1, \\ h^{3-j}, \frac{h}{\varepsilon} > 1. \end{cases}, \quad 0 \leq j \leq 2. \quad (4.2.54)$$

Из (4.2.51)-(4.2.54) и (4.2.45) вытекает (4.2.47).

Докажем (4.2.48). Из определения  $\tilde{P}_{i,q}(x, \varepsilon)$ , (4.2.53) и формулы Тейлора с остаточным членом в интегральной форме для  $N - 3i \leq j < N - 3i + 3$ ,  $h/\varepsilon > 1$  имеем:

$$\begin{aligned} r(x_{j+3}, \varepsilon) - r(x_j, \varepsilon) &= \frac{1}{2!} \int_{x_{N-3i+3}}^{x_{j+3}} (x_{j+3} - s)^2 q'''(s) ds - \frac{1}{2!} \int_{x_{N-3i}}^{x_j} (x_j - s)^2 q'''(s) ds + \\ &+ \sum_{k=0}^2 \frac{1}{(2-k)!} \left( - \int_{x_{N-3i}}^{x_{N-3i+3}} (x_{N-3i+3} - s)^{2-k} q'''(s) ds + \int_{x_{N-3i-3}}^{x_{N-3i}} (x_{N-3i} - s)^{2-k} q'''(s) ds \right) \times \\ &\quad \times B_k(x_j - x_{N-3i}) = \frac{1}{2!} \int_{x_{N-3i}}^{x_j} (x_j - s)^2 (q'''(s+3h) - q'''(s)) ds + \\ &\quad + \sum_{k=0}^2 \frac{1}{(2-k)!} \int_{x_{N-3i-3}}^{x_{N-3i}} (x_{N-3i} - s)^{2-k} (q'''(s+3h) - q'''(s)) ds B_k(x_j - x_{N-3i}). \end{aligned}$$

В силу ограниченности  $q^{(IV)}(x)$ , оценок (4.2.45) отсюда вытекает (4.2.48). Лемма доказана.

## 4.3 Доказательство теорем

### 4.3.1 Доказательство теоремы 1

Пусть  $\tilde{S}(x; u)$  – функция, соответствующая (4.2.53). Введем в рассмотрение функцию  $err(x, \varepsilon) = S(x; u) - \tilde{S}(x; u)$ . Представим ее в виде

$$err(x, \varepsilon) = \sum_{n=-3}^{N-1} \beta_n N_{n,3}(x). \quad (4.3.1)$$

Заметим, что в узлах справедливы равенства  $err(x_j, \varepsilon) = r(x_j, \varepsilon), 0 \leq j \leq N$ ,  $err''(x_j, \varepsilon) = r''(x_j, \varepsilon), j = 0, N$ , где  $r(x, \varepsilon)$  – функция из леммы 9,  $r(x, \varepsilon) = u(x, \varepsilon) - \tilde{S}(x; u)$ . Тогда аналогично (4.2.16)-(4.2.17) для коэффициентов  $\beta$  получаем систему с матрицей  $A$  из (4.2.17):

$$A\beta = ERR \quad (4.3.2)$$

и

$$\beta_{-3} = 2\beta_{-2} - \beta_{-1} + h^2 err''(0, \varepsilon), \beta_{N-1} = 2\beta_{N-2} - \beta_{N-3} + h^2 err''(1, \varepsilon), \quad (4.3.3)$$

где  $ERR = \{ERR_n\}, -2 \leq n \leq N-2$ ,

$$ERR_n = r(x_{n+2}), \quad -1 \leq n \leq N-3, \quad (4.3.4)$$

$$ERR_{-2} = r(0, \varepsilon) - h^2 N_{-3,3}(0)r''(0, \varepsilon), ERR_{N-2} = r(1, \varepsilon) - h^2 N_{N-1,3}(1)r''(1, \varepsilon). \quad (4.3.5)$$

Оценим вектор  $\beta$ , учитывая, что  $u(x, \varepsilon)$  соответствует (4.1.2). Рассмотрим два случая:

1).  $h/\varepsilon \leq C$  и 2).  $h/\varepsilon > C$ , где  $C$  соответствует заданию случаев в лемме 9.

В случае 1 в силу леммы 9 имеем  $\|A^{-1}\|_\infty \leq C_1$ , а в силу леммы 9

$$\max_{0 \leq n \leq N} |r(x_n)| \leq C \begin{cases} \frac{h^4}{\varepsilon}, \varepsilon \in (0, 1] \\ h^4, \varepsilon > 1, \end{cases}, \max_{n=0, N} h^2 |r''(x_n)| \leq C \begin{cases} \frac{h^4}{\varepsilon}, \varepsilon \in (0, 1] \\ h^4, \varepsilon > 1. \end{cases}$$

Отсюда и из (4.3.2)-(4.3.5) находим  $\max_{-3 \leq n \leq N-1} |\beta_n| \leq C \max\{h^4/\varepsilon, h^4\}$ . Отсюда и из (4.2.10) вытекает оценка  $|err(x, \varepsilon)| \leq C \max\{h^4/\varepsilon, h^4\}$ . Учитывая (4.2.47), получаем оценку (4.1.4) в случае 1.

Оценка (4.1.3) получается аналогично, если вместо  $\tilde{S}(x; u)$  взять  $\tilde{u}(x) \in SL(\Omega, 3, 1)$  – наилучшее в норме  $C_h[0, 1]$  приближение для  $u(x)$  в  $SL(\Omega, 3, 1)$ .

Рассмотрим случай 2. В этом случае в силу леммы 9 справедливы оценки  $\max_{0 \leq n \leq N} |r(x_n, \varepsilon)| \leq Ch^3, \quad h^2 |r''(x_n, \varepsilon)| \leq Ch^3, n = 0, N$ , а для матрицы  $A$  справедливы формулы (4.2.30)-(4.2.32). В силу (4.2.30)-(4.2.32) для доказательства (4.1.4) достаточно доказать оценку

$$\|B_1 ERR\|_\infty \leq Ch^3, \quad (4.3.6)$$

где матрица  $B_1$  соответствует (4.2.30). Оценим компоненту вектора  $(B_1 ERR)_{-2}$ . Оценки остальных компонент аналогичны. В силу (4.2.32) имеем

$$(B_1 ERR)_{-2} = ERR_{-2} + \sum_{j=-1}^{N-3} \mu_{\varepsilon, h}^{j+1} (-1)^{j+1} r(x_j, \varepsilon) + \mu_{\varepsilon, h}^{N-1} (-1)^{N-1} ERR_{N-2} =$$

$$= \sum_{j=-1}^{N-3} \mu_{\varepsilon,h}^{j+1} (-1)^{j+1} r(x_j, \varepsilon) + O(h^3). \quad (4.3.7)$$

Для эффективного применения оценки (4.2.48) представим сумму в (4.3.7) в виде трех сумм:

$$\begin{aligned} \sum_{j=-1}^{N-3} \mu_{\varepsilon,h}^{j+1} (-1)^{j+1} r(x_j, \varepsilon) &= \sum_{0 \leq k \leq (N-3)/3} \mu_{\varepsilon,h}^{3k} (-1)^{3k} r(x_{3k}, \varepsilon) + \\ &\sum_{0 \leq k \leq (N-4)/3} \mu_{\varepsilon,h}^{3k+1} (-1)^{3k+1} r(x_{3k+1}, \varepsilon) + \sum_{0 \leq k \leq (N-5)/3} \mu_{\varepsilon,h}^{3k+2} (-1)^{3k+2} r(x_{3k+2}, \varepsilon) = \Sigma_1 + \Sigma_2 + \Sigma_3. \end{aligned} \quad (4.3.8)$$

Оценим  $\Sigma_1$ . Применим преобразование Абеля [68, с.306]. Положим  $a_k = r(x_{3k}, \varepsilon)$ ,  $b_k = (-1)^{3k} \mu_{\varepsilon,h}^{3k}$ ,  $B_k = b_0 + b_1 + \dots + b_k$ . Тогда

$$\Sigma_1 = \sum_{k=1}^K a_k b_k = a_K B_K - \sum_{k=1}^{K-1} (a_{k+1} - a_k) B_k = r(x_{3K}, \varepsilon) B_K - \sum_{k=1}^{K-1} (r(x_{3k+3}, \varepsilon) - r(x_{3k}, \varepsilon)) B_k.$$

Далее имеем в силу (4.2.47)-(4.2.48)

$$|r(x_{3K}, \varepsilon)| \leq Ch^3, |B_k| = \frac{1 + (-1)^{3k} \mu_{\varepsilon,h}^{3k}}{1 + \mu_{\varepsilon,h}^3} \leq 1, |r(x_{3k+3}, \varepsilon) - r(x_{3k}, \varepsilon)| \leq \begin{cases} Ch^4, k > 0, \\ Ch^3, k = 0. \end{cases}$$

откуда получаем, что  $|\Sigma_1| \leq Ch^3$ . Аналогично оцениваются  $|\Sigma_2|$  и  $|\Sigma_3|$ . Поэтому из (4.3.7)-(4.3.8) получаем оценку (4.3.6) и оценку (4.1.4) в случае 2.

Оценка (4.1.3) получается аналогично случаю 1 с учетом того, что в случае 2  $\|A^{-1}\|_{\infty} \leq \min\{h^{-1}, 1 + h/\varepsilon\}$ . Теорема 1 доказана.

### 4.3.2 Доказательство теоремы 3

Оценку (4.1.5) достаточно доказать в случае  $h/\varepsilon \geq C$ , поскольку справедливо неравенство  $\|S(x; u) - u(x)\|_{C[0,1]} \geq \inf_{v \in SL(\Omega, 3, 1)} \|u - v\|_{C[0,1]}$ . В этом случае в силу (4.2.29) для матрицы  $A^{-1}$  справедлива оценка  $\|A^{-1}\|_{\infty} \geq C \min\{h^{-1}, 1 + h/\varepsilon\}$ . Пусть вектор  $U = (u_{-2}, u_{-1}, \dots, u_{N-2})$  таков, что  $\|U\|_{\infty} = 1$  и

$$\|\alpha\|_{\infty} = \|A^{-1}U\|_{\infty} = \|A^{-1}\|_{\infty},$$

где  $\alpha$  соответствует (4.2.14). Определим функцию  $u(x)$  как непрерывную ломаную с узлами в точках  $x_n$  из условий  $u(x_n) = U_{n-2}$ ,  $0 \leq n \leq N$ . Тогда в силу (4.2.43)

$\|S(x; u)\|_\infty \geq C_2 \|\alpha\|_\infty \geq C_3 \min\{h^{-1}, 1 + h/\varepsilon\}$ . Отсюда при достаточно малом  $h > 0$  и достаточно большом  $C > 0$  с учетом того, что  $\|u(x)\|_{C[0,1]} = \|u(x)\|_{C,h} = 1$ , т.е.

$\inf_{v \in SL(\Omega, 3, 1)} \|u - v\|_{C,h} \leq 1$ , имеем

$$\begin{aligned} \|S(x; u) - u(x)\|_\infty &\geq C_4 \|S(x; u)\|_\infty \geq C_4 \cdot C_3 \min\{h^{-1}, 1 + h/\varepsilon\} \geq \\ &C_4 \cdot C_3 \min\{h^{-1}, 1 + h/\varepsilon\} \inf_{v \in SL(\Omega, 3, 1)} \|u - v\|_{C,h}, \end{aligned}$$

откуда следует (4.1.5).

Докажем оценку (4.1.6). Пусть  $u_1(x) = x^3$ . Через  $P_k$  обозначим множество всех многочленов степени не выше  $k$ . Рассмотрим два случая: 1)  $h/\varepsilon \geq C$  и 2)  $h/\varepsilon < C$ , где  $C > 0$  – достаточно малая, но не зависящая от  $\varepsilon$  и  $h$  константа.

Рассмотрим случай 1. В [27] было показано, что для  $a \geq C_1 > 0, \lambda \geq C_1 > 0$

$$\inf_{p(\tau) \in P_3} \|e^{-\lambda\tau} - p(\tau)\|_{C[0,a]} \geq C_2 > 0. \quad (4.3.9)$$

С другой стороны,

$$\inf_{p(\tau) \in P_2} \|\tau^3 - p(\tau)\|_{C[0,a]} \geq C_2 > 0. \quad (4.3.10)$$

Оценим

$$\inf_{p(x) \in P_2, \alpha \in R} \|x^3 - \alpha e^{-\frac{x}{\varepsilon}} - p(x)\|_{C[0,h]} = \inf_{p(\tau) \in P_2, \alpha \in R} \|h^3 \tau^3 - \alpha e^{-\frac{h}{\varepsilon}\tau} - p(\tau)\|_{C[0,1]}. \quad (4.3.11)$$

В силу неравенства (4.3.9) в случае 1 имеем

$$\|h^3 \tau^3 - \alpha e^{-\frac{h}{\varepsilon}\tau} - p(\tau)\|_{C[0,1]} \geq C_2 |\alpha|,$$

а в силу (4.3.10)

$$\|h^3 \tau^3 - \alpha e^{-\frac{h}{\varepsilon}\tau} - p(\tau)\|_{C[0,1]} \geq C_2 h^3 - |\alpha|.$$

Отсюда и из (4.3.11) следует, что  $\inf_{p(x) \in P_2, \alpha \in R} \|x^3 - \alpha e^{-\frac{x}{\varepsilon}} - p(x)\|_{C[0,h]} \geq C_2 h^3$ . Оценка (4.1.6) доказана.

В случае 2 при достаточно малом  $C > 0$ , применяя формулу Тейлора для  $e^{-x/\varepsilon}$ , имеем

$$\begin{aligned} \inf_{p(x) \in P_2, \alpha \in R} \|x^3 - \alpha e^{-\frac{x}{\varepsilon}} - p(x)\|_{C[0,h]} &= \inf_{p(x) \in P_2, \alpha \in R} \|x^3 - 6\alpha\varepsilon^3 e^{-\frac{x}{\varepsilon}} - p(x)\|_{C[0,h]} = \\ &= \inf_{p(x) \in P_2, \alpha \in R} \left\| (1 + \alpha)x^3 - \frac{1}{4}\alpha \frac{x^4}{\varepsilon} - p(x) + O\left(\frac{x^5}{\varepsilon^2}\right) \right\|_{C[0,h]} \\ &= \inf_{p(y) \in P_2, \alpha \in R} \left\| \frac{1}{4}\alpha \frac{h^4}{\varepsilon} y^4 - (1 + \alpha)h^3 y^3 - p(y) + O\left(\frac{h^5}{\varepsilon^2}\right) y^5 \right\|_{C[0,1]} \geq \\ &C_2 \min_{\alpha \in R} \left\{ \frac{|\alpha| h^4}{4 \varepsilon}, |1 + \alpha| h^3 \right\} \geq C_3 \min\left\{ \frac{h^4}{\varepsilon}, h^3 \right\}. \end{aligned}$$

Теорема 3 доказана.

### 4.3.3 Доказательство теорем 4, 5 и следствия 1

Докажем теорему 4. Обозначим через  $\hat{N}_{i,k}(x)$  нормализованные полиномиальные  $B$ -сплайны степени  $k$  [50]. Из (4.2.1) следует, что для любого  $i$

$$\lim_{\varepsilon \rightarrow 0+0} \int_0^1 |N_{i,1}(x) - \hat{N}_{i,0}(x)| dx = 0, \quad \lim_{\varepsilon \rightarrow +\infty} \|N_{i,1}(x) - \hat{N}_{i,1}(x)\|_{C[0,1]} = 0.$$

Тогда с учетом (4.2.2) и аналогичных формул для полиномиальных  $B$ -сплайнов [50] получаем, что для произвольного  $k > 1$ , в том числе для  $k = 3$

$$\lim_{\varepsilon \rightarrow 0+0} \|N_{i,k}(x) - \hat{N}_{i,k-1}(x)\|_{C[0,1]} = 0, \quad \lim_{\varepsilon \rightarrow +\infty} \|N_{i,k}(x) - \hat{N}_{i,k}(x)\|_{C[0,1]} = 0. \quad (4.3.12)$$

Таким образом,

$$\lim_{\varepsilon \rightarrow 0+0} N_{i,k}(x) = \hat{N}_{i,k-1}(x), \quad \lim_{\varepsilon \rightarrow +\infty} N_{i,k}(x) = \hat{N}_{i,k}(x), \quad x \in [0, 1].$$

В соответствии с (4.3.12)  $\lim_{\varepsilon \rightarrow 0+0} \|N_{-3,3}(x)\|_{C[0,1]} = 0$ , а в силу (4.2.7)

$$\lim_{\varepsilon \rightarrow 0+0} N''_{i,3}(x_j) = \lim_{\varepsilon \rightarrow \infty} N''_{i,3}(x_j) = \begin{cases} \frac{1}{h^2}, j = i + 1, \\ -\frac{2}{h^2}, j = i + 2, \\ \frac{1}{h^2}, j = i + 3, \\ 0, j \notin [i + 1, i + 3]. \end{cases}$$

Поэтому при  $\varepsilon \rightarrow 0 + 0$  СЛАУ (4.2.15) переходит в СЛАУ

$$\sum_{n=-2}^{N-1} \alpha_n \hat{N}_{n,2}(x_k) = u(x_k), \quad 0 \leq k \leq N, \quad \sum_{n=-2}^{N-1} \alpha_n \hat{N}_{n,2}(1-0) = u''(1), \quad (4.3.13)$$

а первое уравнение из (4.2.15), вообще говоря, не удовлетворяется и в (4.3.13) отсутствует.

При  $\varepsilon \rightarrow +\infty$  СЛАУ (4.2.15) переходит в СЛАУ того же вида, в котором  $N_{i,3}(x)$  заменяются на  $\hat{N}_{i,3}(x)$ . Учитывая, что в силу леммы 5 матрица  $A$  СЛАУ (4.2.17) обратима при всех  $\varepsilon \in (0, +\infty)$  и  $\|A^{-1}\|_{\infty} \leq Ch^{-1}$ , с учетом (4.2.16) получаем, что при фиксированном  $h = 1/N$  существуют конечные пределы  $\lim_{\varepsilon \rightarrow 0+0} \alpha_n = \alpha_{n,0}$ ,  $\lim_{\varepsilon \rightarrow +\infty} \alpha_n = \alpha_{n,\infty}$ , т.е. решения предельной СЛАУ (4.3.13) и соответствующей предельной СЛАУ при  $\varepsilon \rightarrow +\infty$  получаются из решений СЛАУ (4.2.15) соответствующими предельными переходами. Из этого факта и (4.2.14), (4.3.12) вытекают формулы (4.1.8), (4.1.9).

При этом для СЛАУ (4.3.13) справедливы аналоги всех результатов предыдущих разделов в случае  $h/\varepsilon \geq C$ , которые получаются из них предельным переходом при  $\varepsilon/h \rightarrow 0 + 0$ . А при  $\varepsilon \rightarrow +\infty$ , как отмечено выше, СЛАУ (4.2.15) переходит в СЛАУ того же вида, в котором  $N_{i,3}(x)$  заменяются на  $\hat{N}_{i,3}(x)$ . Поэтому оценки (4.1.10)-(4.1.13) получаются предельными переходами из (4.1.3),(4.1.4). Таким же предельным переходом из оценки (4.1.5) получается оценка (4.1.14). Теоремы 4, 5 и следствие 1 доказаны.

## 4.4 Результаты численных экспериментов

Зададим функцию вида (4.1.2)

$$u(x, \varepsilon) = \cos \frac{\pi x}{2} + e^{-\frac{x}{\varepsilon}}, \quad x \in [0, 1], \quad (4.4.1)$$

а также семейство быстроосциллирующих функций, определяемых формулами

$$u_N(x) = (-1)^i (x_{2i+1} - x)/h, \quad x \in [x_{2i}, x_{2i+2}) \cap [0, 1], \quad 0 \leq i \leq N/2, \quad x_i = i/N. \quad (4.4.2)$$

Результаты расчетов сведены в две таблицы. В таблицах приведены максимальные погрешности сплайновой интерполяции, вычисленные в узлах сгущенной сетки, получающейся из исходной расчетной сетки разбиением каждого ее сеточного интервала на 10 равных частей. В табл. 1 приведены погрешности и вычисленные порядки точности для функции (4.4.1), а в табл. 2 приведены погрешности для быстроосциллирующих ломаных (4.4.2). При этом для каждого  $N$  в табл. 2 бралась своя функция  $u_N(x)$ . Численные результаты из табл. 1 согласуются с оценками (4.1.4) теоремы 1. Результаты вычислений, приведенные в табл. 2, согласуются с оценкой (4.1.5) теоремы 3 и при заданном достаточно малом значении  $\varepsilon$  погрешность растет с уменьшением  $h$  со скоростью  $O(h^{-1})$ .



Таблица 4.1: Погрешности и наблюдаемые скорости сходимости для функции (4.4.1).

	$N = 2^2$	$N = 2^3$	$N = 2^4$	$N = 2^5$	$N = 2^6$	$N = 2^7$
$\varepsilon = 1$	$1.56 \cdot 10^{-4}$	$9.75 \cdot 10^{-6}$ 4.01	$6.05 \cdot 10^{-7}$ 4.01	$3.77 \cdot 10^{-8}$ 4.00	$2.36 \cdot 10^{-9}$ 4.00	$1.47 \cdot 10^{-10}$ 4.00
$10^{-1}$	$1.25 \cdot 10^{-3}$	$7.18 \cdot 10^{-5}$ 4.12	$4.17 \cdot 10^{-6}$ 4.11	$2.50 \cdot 10^{-7}$ 4.06	$1.53 \cdot 10^{-8}$ 4.03	$9.46 \cdot 10^{-10}$ 4.02
$10^{-2}$	$3.73 \cdot 10^{-3}$	$4.33 \cdot 10^{-4}$ 3.10	$4.22 \cdot 10^{-5}$ 3.36	$3.02 \cdot 10^{-6}$ 3.81	$1.78 \cdot 10^{-7}$ 4.08	$1.03 \cdot 10^{-8}$ 4.11
$10^{-3}$	$3.83 \cdot 10^{-3}$	$4.83 \cdot 10^{-4}$ 2.99	$6.02 \cdot 10^{-5}$ 3.00	$7.43 \cdot 10^{-6}$ 3.01	$8.62 \cdot 10^{-7}$ 3.08	$9.21 \cdot 10^{-8}$ 3.25
$10^{-4}$	$3.95 \cdot 10^{-3}$	$4.83 \cdot 10^{-4}$ 3.03	$6.05 \cdot 10^{-5}$ 2.99	$7.57 \cdot 10^{-6}$ 3.00	$9.46 \cdot 10^{-7}$ 3.00	$1.18 \cdot 10^{-7}$ 3.00
$10^{-5}$	$3.96 \cdot 10^{-3}$	$4.86 \cdot 10^{-4}$ 3.03	$6.06 \cdot 10^{-5}$ 3.00	$7.57 \cdot 10^{-6}$ 3.00	$9.46 \cdot 10^{-7}$ 3.00	$1.18 \cdot 10^{-7}$ 3.00
$10^{-6}$	$3.97 \cdot 10^{-3}$	$4.86 \cdot 10^{-4}$ 3.03	$6.06 \cdot 10^{-5}$ 3.00	$7.57 \cdot 10^{-6}$ 3.00	$9.46 \cdot 10^{-7}$ 3.00	$1.18 \cdot 10^{-7}$ 3.00
$10^{-7}$	$3.97 \cdot 10^{-3}$	$4.86 \cdot 10^{-4}$ 3.03	$6.06 \cdot 10^{-5}$ 3.00	$7.57 \cdot 10^{-6}$ 3.00	$9.46 \cdot 10^{-7}$ 3.00	$1.18 \cdot 10^{-7}$ 3.00
$10^{-8}$	$3.96 \cdot 10^{-3}$	$4.86 \cdot 10^{-4}$ 3.03	$6.06 \cdot 10^{-5}$ 3.00	$7.57 \cdot 10^{-6}$ 3.00	$9.46 \cdot 10^{-7}$ 3.00	$1.18 \cdot 10^{-7}$ 3.00

Таблица 4.2: Погрешность для быстроосциллирующих функций (4.4.2).

$\varepsilon N$	$2^4$	$2^5$	$2^6$	$2^7$	$2^8$	$2^9$
1	$6.25 \cdot 10^{-1}$	$6.20 \cdot 10^{-1}$	$6.10 \cdot 10^{-1}$	$6.05 \cdot 10^{-1}$	$6.03 \cdot 10^{-1}$	$6.02 \cdot 10^{-1}$
$10^{-1}$	$9.94 \cdot 10^{-1}$	$8.18 \cdot 10^{-1}$	$7.03 \cdot 10^{-1}$	$6.50 \cdot 10^{-1}$	$6.25 \cdot 10^{-1}$	$6.13 \cdot 10^{-1}$
$10^{-2}$	2.42	3.06	1.98	1.22	$8.81 \cdot 10^{-1}$	$7.32 \cdot 10^{-1}$
$10^{-3}$	2.92	6.28	7.61	8.09	4.37	2.39
$10^{-4}$	2.99	6.92	14.5	25.6	31.5	20.0
$10^{-5}$	3.00	6.99	14.9	30.4	58.2	93.4
$10^{-6}$	3.00	7.00	15.0	31.0	62.4	122
$10^{-7}$	3.00	7.00	15.0	31.0	63.0	126
$10^{-8}$	3.00	7.00	15.0	31.0	63.0	127

## Глава 5

# МЕТОДЫ КОЛЛОКАЦИОННОГО ТИПА ВЫСОКИХ ПОРЯДКОВ ДЛЯ СИНГУЛЯРНО ВОЗМУЩЕННЫХ КРАЕВЫХ ЗАДАЧАХ

В данной главе будут рассмотрены коллокационные схемы для скалярных уравнений второго порядка, при этом целью работы было построение схемы четвертого порядка сходимости, равномерно по  $\varepsilon$  в  $C$ -норме.

### 5.1 Постановка задачи и основная теорема

Рассмотрим на отрезке  $[0, 1]$  краевую задачу

$$Lu \equiv -\varepsilon u'' + p(t)u' + q(t)u = f(t), \quad u(0) = u(1) = 0, \quad p(t) \geq p_0 > 0. \quad (5.1.1)$$

Всюду в дальнейшем предполагается, что  $p, q, f$  — достаточно гладкие функции.

Перейдем к постановке коллокационной задачи. Разбиение  $\Delta$  отрезка  $[0, 1]$  определим по методике Н.С. Бахвалова [25]. Пусть  $a = 1 - \frac{5\varepsilon}{\lambda_0} |\ln \varepsilon|$ . Определим вспомогательную функцию

$$g(t) = \begin{cases} t, & t \in [0, a] \\ -\frac{5\varepsilon}{\lambda_0} + a + \frac{5\varepsilon}{\lambda_0} \exp\left(\frac{\lambda_0(t-1)}{5\varepsilon}\right), & t \in (a, 1]. \end{cases}$$

Нетрудно видеть, что  $g(t)$  — монотонная непрерывно дифференцируемая на  $[0, 1]$  функция. Положим  $A = a + \frac{5\varepsilon}{\lambda_0}(1 - \varepsilon)$ . Функция  $g(t)$  взаимно однозначно отображает отрезок  $[0, 1]$  в отрезок  $[0, A]$ . Построим равномерное разбиение  $\Delta_\tau$  отрезка  $[0, A]$ :

$$\tau_k = \frac{ak}{m}, k = 0, 1, \dots, m; \tau_k = \tau k - 1 + \frac{A - a}{m}, k = m + 1, m + 2, \dots, 2m.$$

Будем считать, что  $\varepsilon, m$  таковы, что  $\varepsilon |\ln \varepsilon| \ll \frac{1}{m}$ . И, наконец, определим интересующее нас разбиение  $\Delta = \{t_i : t_i = g^{-1}(\tau_i), i = 0, 1, \dots, 2m\}$ . В случае необходимости мы будем также рассматривать узлы расширенного разбиения  $\bar{\Delta}$ , которое получается из  $\Delta$  добавлением узлов  $t_i = ih, i = -1, -2, -3; t_i = 1 + (i - 2m)h_{2m-1}, i = 2m + 1, 2m + 2, 2m + 3$ .

Пусть  $h_j = t_{j+1} - t_j$ . Точки коллокации  $\xi_i$  выберем следующим образом:

$$\begin{cases} \xi_1 = 0, \xi_i = (t_{i-1} + t_{i-2})/2, & i = 2, 3, \dots, m + 1, \\ \xi_{m+2} = t_m, \xi_{m+3} = (t_m + t_{m+1})/2, \\ \xi_{m+2j} = t_{m+j} + \left(\frac{1}{2} + \frac{\sqrt{3}}{6}\right) h_{m+j}, \xi_{m+2j+1} = t_{m+j} + \left(\frac{1}{2} + \frac{\sqrt{3}}{6}\right) h_{m+j}, & j = 2, 3, \dots, m - 1. \end{cases}$$

Введем дополнительные объекты и обозначения, необходимые в этой главе. Через  $\|\cdot\|_p$  обозначается норма в  $L_p[0, 1]$  ( $p = 1, \infty$ ). Через  $l_1, l_\infty$  обозначаются пространства последовательностей с соответствующими нормами. Кроме того, мы будем рассматривать также линейное нормированное пространство функций, имеющих на  $[0, 1]$  разве лишь конечно число точек разрыва первого рода, обозначим его  $\tilde{C}_{[0,1]}$  и определим норму, как и в  $C_{[0,1]}$ .

Пусть  $[a, b] \subset [0, 1]$ . Через  $S(\Delta, k, p)|_{[a,b]}$  обозначим пространство сужений функций из  $S(\Delta, k, p)$  на отрезок  $[a, b]$ .

Определим пробное и тестовое пространства. Пусть  $h = t_m/m$ . Пусть

$$E = E(\varepsilon, m) = \{u : u|_{[0, t_{m+2}]} \in S(\Delta, 3, 1)|_{[0, t_{m+2}]},$$

$$u|_{[t_{m+1}, 1]} \in S(\Delta, 3, 2)|_{[t_{m+1}, 1]},$$

$$u(0) = u(1) = 0\}, F = \mathcal{L}E,$$

где оператор  $\mathcal{L}$  имеет вид

$$\mathcal{L}u(t) = Lu(t) + \begin{cases} 0, t \notin [\xi_3, \xi_m] \\ -\frac{\varepsilon}{24} (u''(t-h) - 2u'(t) + u''(t+h)), t \in [\xi_3, \xi_m]. \end{cases} \quad (5.1.2)$$

Легко видеть, что  $\dim E = \dim F = 3m - 1$ .

Метод коллокации решения задачи (5.1.1) состоит в отыскании такой функции  $u_m \in E$ , что

$$[\mathcal{L}u_m(t)]|_{t=\xi_i} = f(\xi_i), \quad i = 1, 2, \dots, 3m - 1. \quad (5.1.3)$$

**Теорема 1** *Найдутся такие числа  $\varepsilon_0 > 0$ ,  $m_0 \in \mathbb{N}$ ,  $\gamma_0 > 0$ ,  $C > 0$ , что для всех  $\varepsilon \in (0, \varepsilon_0]$ ,  $m \geq m_0$ ,  $\varepsilon |\ln \varepsilon| \leq \gamma_0 m$ , решение  $u_m$  коллокационной задачи (5.1.3) существует, единственно, и*

$$\|u_\varepsilon - u_m\|_\infty \leq \frac{C}{m^4},$$

где  $u_\varepsilon(t)$  — точное решение задачи (5.1.1).

Доказательство теоремы будет проведено позже.

## 5.2 Алгоритм численного решения коллокационной задачи

Решение задачи (5.1.3) будем искать в виде кубического сплайна из множества

$$W = \{u : u|_{[0, t_{m+2}]} \in S(\Delta, 3, 1)|_{[0, t_{m+2}]}, u|_{[t_{m+1}, 1]} \in S(\Delta, 3, 2)|_{[t_{m+1}, 1]}\}.$$

Легко видеть, что линейное пространство  $W$  имеет размерность  $3m + 1$ . Для формулировки алгоритма построим базис  $\{f_1(t), f_2(t), \dots, f_{3m+1}(t)\}$  в пространстве  $W$ .

Положим  $f_i(t) = N_{i-4,3}(t)$ ,  $i = 1, 2, \dots, m+5$ , где  $N_{i-4,3}(t)$  — нормализованные кубические  $B$ -сплайны (точнее говоря, их сужения на  $[0, 1]$ ).

Для  $i = m + 2, m + 3, \dots, 2m - 1$  определим базисные функции следующим образом

$$f_{m+2(i-m-2)+6}(t) = \begin{cases} -\left(\frac{t-t_i}{t_{i+1}-t_i}\right)^3 + \left(\frac{t-t_i}{t_{i+1}-t_i}\right)^2, & t \in [t_i, t_{i+1}] \\ \left(\frac{t_{i+2}-t}{t_{i+2}-t_{i+1}}\right)^3 - \left(\frac{t_{i+2}-t}{t_{i+2}-t_{i+1}}\right)^2, & t \in [t_{i+1}, t_{i+2}] \\ 0, & t \notin [t_i, t_{i+2}]. \end{cases}$$

$$f_{m+2(i-m-2)+7}(t) = \begin{cases} -\left(\frac{t-t_i}{t_{i+1}-t_i}\right)^3 + \frac{3}{2}\left(\frac{t-t_i}{t_{i+1}-t_i}\right)^2, & t \in [t_i, t_{i+1}] \\ \left(\frac{t_{i+2}-t}{t_{i+2}-t_{i+1}}\right)^3 - \frac{3}{2}\left(\frac{t_{i+2}-t}{t_{i+2}-t_{i+1}}\right)^2, & t \in [t_{i+1}, t_{i+2}] \\ 0, & t \notin [t_i, t_{i+2}] \end{cases}$$

и так далее.

Нетрудно убедиться, что полученные функции линейно независимы, и, следовательно, образуют базис в  $W$ .

Алгоритм отыскания решения задачи (5.1.3) состоит в следующем.

1. Ищем решение задачи (5.1.3) в виде  $u_m(t) = \sum_{i=1}^{3m+1} \alpha_i f_i(t)$ .
2. Подставляя данное представление в (5.1.3) и в краевые условия  $u_m(0) = u_m(1) = 0$ , получаем для вектора  $\{\alpha_i\}$  систему  $3m+1$  линейных алгебраических уравнений с  $3m+1$  неизвестными.
3. Решая эту систему, находим вектор  $\alpha$ .
4. Вычисляем решение  $u_m(t)$  в нужных точках.

**Замечание 1.1** Из вида базисных функций вытекает, что матрица СЛАУ, возникающая в п. 2 алгоритма, в общем случае будет девятидиагональной. Для решения этой СЛАУ проще всего использовать метод Гаусса с выбором главного элемента по столбцу, учитывающий ленточность матрицы.

**Замечание 1.2** Если ставится задача нахождения решения в некоторых точках с заданной точностью, то целесообразно использовать последовательность измельчающихся сеток и апостериорный контроль погрешности.

## 5.3 Асимптотические свойства коллокационной задачи и технические предложения

### 5.3.1 Обращение операторов $L$ и $\mathcal{L}$

Здесь и в дальнейшем особо будет выделяться случай, когда  $q(t) \equiv 0$ , т.е. оператор  $L$  имеет вид

$$Lu = -\varepsilon u'' + p(t)u'. \quad (5.3.1)$$

Теорема 1 будет доказана сначала для случая, когда  $L$  имеет вид (5.3.1), а затем — для общего случая. Целесообразность такого подхода будет обоснована в последующих разделах.

Изучим операторы  $L^{-1}$  и  $\mathcal{L}^{-1}$ . В случае, когда  $L$  имеет вид (5.3.1), в [32] было получено явное выражение для функции Грина этого оператора

$$\begin{aligned}
 G(t, \xi) &= K_1(t, \xi) + K_2(t, \xi) + K_3(t, \xi), \\
 K_1(t, \xi) &= - \left( \int_0^1 \exp \left[ -\frac{1}{\varepsilon} \int_s^1 p(\tau) d\tau \right] ds \right)^{-1} \int_0^\xi \exp \left[ -\frac{1}{\varepsilon} \int_s^\xi p(\tau) d\tau \right] ds \times \\
 &\quad \times \frac{1}{\varepsilon} \int_0^t \exp \left[ -\frac{1}{\varepsilon} \int_s^1 p(\tau) d\tau \right] ds, \\
 K_2(t, \xi) &= \begin{cases} \frac{1}{\varepsilon} \int_0^t \exp \left[ -\frac{1}{\varepsilon} \int_s^\xi p(\tau) d\tau \right] ds, & 0 \leq t \leq \xi \\ 0, & \xi \leq t \leq 1, \end{cases} \\
 K_3(t, \xi) &= \begin{cases} 0, & 0 \leq t \leq \xi \\ \frac{1}{\varepsilon} \int_0^\xi \exp \left[ -\frac{1}{\varepsilon} \int_s^\xi p(\tau) d\tau \right] ds, & \xi \leq t \leq 1 \end{cases}
 \end{aligned} \tag{5.3.2}$$

Отсюда легко вытекают следующие оценки интегрального оператора с ядром  $G(t, \xi)$  :

$$\|G\|_{L_1 \rightarrow L_\infty} \leq C, \tag{5.3.3}$$

$$\|G\|_{L_1 \rightarrow C^{(i)}} \leq \frac{C}{\varepsilon^i}, \quad i = 0, 1, \tag{5.3.4}$$

$$\|Gu\|_{C^{(i)}} \leq C \left( \sum_{k=2}^i \frac{1}{\varepsilon^{k-1}} \|u\|_{C^{(i-k)}} + \frac{1}{\varepsilon^i} \|u\|_{L_1} \right) \quad (i = 2, 3, \dots, n), \tag{5.3.5}$$

где  $n$  определяется гладкостью функций  $p(t)$ .

Кроме того, нам потребуются следующие свойства функции Грина, также

вытекающие из (5.3.2)

$$\begin{aligned}
\left| \frac{\partial^i}{\partial t^i} \frac{\partial^j}{\partial \xi^j} G(t, \xi) \right| &\leq C \varepsilon^{-i-j} \exp \left[ \frac{p_0(t-\xi)}{\varepsilon} \right], \quad \xi > t \\
\left| \frac{\partial^i}{\partial t^i} \frac{\partial^j}{\partial \xi^j} G(t, \xi) \right| &\leq C \left( 1 + \varepsilon^{-i} \exp \left[ \frac{p_0(t-\xi)}{\varepsilon} \right] + \right. \\
&+ \varepsilon^{-j} \exp \left[ \frac{-p_0 \xi}{\varepsilon} \right] + \left. \varepsilon^{-i-j} \exp \left[ \frac{p_0(t-\xi-1)}{\varepsilon} \right] \right), \quad \xi < t, \quad 0 \leq i, j \leq n \\
\int_0^1 |G(t, \xi) - G_0(t, \xi)| d\xi &\leq C \left( \varepsilon + \exp \left[ \frac{p_0(t-\xi)}{\varepsilon} \right] \right),
\end{aligned} \tag{5.3.6}$$

где через  $G_0(t, \xi)$  обозначена функция Грина задачи Коши

$$p(t)' = f(t), \quad u(0) = 0.$$

**Замечание 2.1** Как было показано в [31], аналогичные оценки имеют место и для функции Грина "полного" оператора (5.1.1).

Теперь изучим оператор  $\mathcal{L}^{-1}$ . Областью определения  $\mathcal{L}$  будем считать множество  $E$ . Тогда областью определения оператора  $\mathcal{L}^{-1}$  будет множество  $\mathcal{L}E = F$ .

**Предложение 1.** При достаточно малых  $\varepsilon$ ,  $h \varepsilon / h$  оператор  $\mathcal{L}^{-1}$  существует, причем справедлива оценка

$$\|\mathcal{L}^{-1}\|_{L_1 \rightarrow C} \leq C. \tag{5.3.7}$$

**Доказательство.** В соответствии с (5.1.2) представим оператор  $\mathcal{L}$  в виде  $\mathcal{L} = L + M$ . Тогда

$$\mathcal{L} = L(I + GM). \tag{5.3.8}$$

Отсюда нетрудно видеть, что

$$\|GM\|_{C \rightarrow C} \leq C \varepsilon m. \tag{5.3.9}$$

Действительно, из (5.3.2), (5.3.6) вытекает, что для  $u \in E$ :  $\|u\|_C \leq 1$

$$\begin{aligned}
|GMu(t)| &= \left| -\frac{\varepsilon}{24} \int_{3h/2}^{t_m-3h/2} G(t, \xi) [u''(\xi-h) - -2u''(\xi) + u''(\xi+h)] d\xi \right| = \\
&= \left| \frac{\varepsilon}{24} \int_{3h/2}^{t_m-3h/2} \frac{\partial}{\partial \xi} G(t, \xi) [u'(\xi-h) - 2u'(\xi) + u'(\xi+h)] d\xi - \right.
\end{aligned}$$



$$-\frac{\varepsilon}{24}G(t, \xi)[u'(\xi - h) - 2u'(\xi) + u'(\xi + h)] \Big|_{3h/2}^{t_m - 3h/2} \leq C\varepsilon m.$$

поскольку  $\|u'(\xi)\|_{C_{[0, t_m]}} \leq Cm\|u(\xi)\|_{C_{[0, t_m]}}$ . Последнее следует из эквивалентности норм в пространстве сплайнов. Из последнего неравенства вытекает (5.3.9). Из него, в свою очередь, получаем, что при малых  $\varepsilon/h$  оператор  $I + GM$  обратим, и  $\|(I + GM)^{-1}\| \leq C$ . Поэтому из (5.3.8), (5.3.4) следует

$$\begin{aligned} \|\mathcal{L}^{-1}\|_{L_1 \rightarrow C} &= \|(I + GM)^{-1}G\|_{L_1 \rightarrow C} \leq \\ &\leq \|(I + GM)^{-1}\|_{C \rightarrow C} \|G\|_{L_1 \rightarrow C} \leq C_1. \end{aligned}$$

Предложение 1. доказано.

**Следствие 1** *Справедливы оценки*

$$\|G - \mathcal{L}^{-1}\|_{C \rightarrow C}. \quad (5.3.10)$$

**Доказательство.** Поскольку  $\mathcal{L}^{-1} = (I + GM)^{-1}G$ , то из (5.3.9), (5.3.4) имеем

$$\|G - \mathcal{L}^{-1}\|_{C \rightarrow C} \leq \|G\|_{C \rightarrow C} \|I - (I + GM)^{-1}\|_{C \rightarrow C} \leq C\varepsilon m \|G\|_{C \rightarrow C} \leq C_1\varepsilon m,$$

и следствие доказано.

### 5.3.2 Асимптотические разложения решения задачи (5.1.1) и его производных

Для построения сплайн-аппроксимаций высокого порядка точного решения задачи (5.3.1) нужно предварительно изучить его структуру. С этой целью построим асимптотическое разложение этого решения. В соответствии с методом Вишика-Люстерника [44] будем искать решение  $u_\varepsilon(t)$  задачи (5.3.1) в виде

$$u_\varepsilon(t) = \sum_{k=0}^n \bar{u}_k(t)\varepsilon^k + \sum_{k=0}^n \Pi_k(\tau)\varepsilon^k + R_n(t, \varepsilon),$$

где  $\tau = (t - 1)/\varepsilon$ . Из алгоритма построения асимптотики [44] вытекает, что функции  $\Pi_k(\tau)$  являются решениями задач вид

$$\begin{cases} -\Pi_0'' + p(1)\Pi_0' = 0 \\ \Pi_0(-\infty) = 0, \Pi_0(0) = -\bar{u}_0(1) \end{cases} \begin{cases} -\Pi_k'' + p(1)\Pi_k' = Q_k(\tau) \\ \Pi_k(-\infty) = 0, \Pi_k(0) = -\bar{u}_k(1), \\ l \leq k - 1, \end{cases}$$

где  $Q_k$  — линейная комбинация функций вида  $\tau^{sj}\Pi_j(\tau)$ ,  $j \leq k-1$ . Отсюда индукцией по  $k$  получаем, что  $\Pi_k(\tau)$  являются функциями вида

$$\Pi_k(\tau) = p_k(\tau) \exp(p(1)\tau) = p_k \left( \frac{t-1}{\varepsilon} \right) \exp \left( p(1) \frac{t-1}{\varepsilon} \right), \quad (5.3.11)$$

где  $p_k(\tau)$  — полином, причем

$$\Pi_0(\tau) = -\bar{u}_0(1) \exp \left( p(1) \frac{t-1}{\varepsilon} \right). \quad (5.3.12)$$

Положим

$$Q_n(t, \varepsilon) = L \left( \sum_{k=0}^n \varepsilon^k \bar{u}_k(t) + \sum_{k=0}^n \varepsilon^k \Pi_k(\tau) \right) - f(t). \quad (5.3.13)$$

Тогда из алгоритма построения асимптотики вытекают оценки

$$\|Q_n\|_1 \leq C\varepsilon^{n+1} \|Q_n\|_{C^{(i)}} \leq C\varepsilon^{n-i}, \quad i = 0, 1, \dots, n, \quad (5.3.14)$$

$$\left\| L \left( \sum_{k=0}^n \varepsilon^k \bar{u}_k(t) \right) f(t) \right\|_C \leq C\varepsilon^{n+1}. \quad (5.3.15)$$

**Замечание 2.2** Число членов  $n$  асимптотического ряда, которые можно построить по методу Вишика-Люстерника, зависит от гладкости функций  $p(t)$ ,  $q(t)$ ,  $f(t)$ . В дальнейшем мы считаем, что это число фиксировано и достаточно велико ( $n \geq 5$ ).

Из (5.3.4) и (5.3.5), (5.3.13) - (5.3.15) получаем следующее утверждение.

**Предложение 2.** При  $i = 0, 1, \dots, n$  справедливы оценки

$$\|u_\varepsilon^{(i)}(t) - \sum_{k=0}^n (\bar{u}_k(t) + \Pi_k(\tau))^{(i)}\|_{C_{[0,1]}} \leq C\varepsilon^{n+1-i}. \quad (5.3.16)$$

### 5.3.3 Некоторые свойства разбиения $\Delta$ и асимптотических рядов

**Предложение 3.** Справедливо представление

$$h_i = \begin{cases} \left( \frac{5\varepsilon}{p_0} \right) / (i - m + \theta_i), & i \geq m + 1, \quad 0 \leq \theta_i \leq 1 \\ O(\varepsilon |\ln \varepsilon|), & i = m \\ h, & 0 \leq i \leq m - 1. \end{cases} \quad (5.3.17)$$

**Предложение 4.** Справедливы оценки

$$\exp\left(p_0 \frac{t_i - 1}{\varepsilon}\right) = \begin{cases} O^*((i - m)^5/m^5), & m + 1 \leq i \leq 2m \\ O(\varepsilon^5), & 0 \leq i \leq m \end{cases} \quad (5.3.18)$$

Доказательство получается из определения разбиения  $\Delta$  аналогично доказательству [30, предл. 15.1, с. 130] и формулы

$$\exp\left(\frac{\lambda_0(t_i - 1)}{\varepsilon}\right) = \left(\frac{\lambda_0}{5}\right)^2 \left[(i - m) \frac{A - a}{m} + \frac{5\varepsilon}{\lambda_0}\right]^2.$$

Используя эти предложения и результаты предыдущего пункта, изучим поведение членов асимптотического разложения на различных участках разбиения  $\Delta$ .

**Предложение 5.** Для функций  $\varepsilon^k \Pi_k(\tau)$  справедливы оценки

$$\begin{aligned} & \left\| \frac{d^i}{dt^i} \left( \varepsilon^k \Pi_k \left( \frac{t - 1}{\varepsilon} \right) \right) \right\|_{C_{[t_j, t_{j+1}]}} = \\ & = \frac{1}{\varepsilon^i} \begin{cases} O((j + 1 - m)^5/m^5), & m \leq j \leq 2m - 1 \\ O(\varepsilon^5), & 0 \leq j \leq m - 1. \end{cases} \end{aligned}$$

**Доказательство.** При  $k = 0$  эти оценки вытекают из (5.3.12) и предложения 4. В случае  $k \geq 1$  при  $j \geq m$ ,  $t \in [t_j, t_{j+1}]$  имеем

$$\begin{aligned} & \varepsilon^k |\Pi_k(\tau)| \leq C_k \varepsilon \tau^{s_k} e^{p(1)\tau} = \\ & = C_k \varepsilon \left( \frac{t - 1}{\varepsilon} \right)^{s_k} \exp\left(p(1) \frac{t - t_{j+1}}{\varepsilon}\right) \exp\left(p(1) \frac{t_{j+1} - 1}{\varepsilon}\right) \leq \\ & \leq \tilde{C} \exp\left(p(1) \frac{t_{j+1} - 1}{\varepsilon}\right) \leq \tilde{C} \exp\left(p_0 \frac{t_{j+1} - 1}{\varepsilon}\right) \end{aligned}$$

и нужная оценка вновь вытекает из предложения 4.

При  $j \leq m - 1$  имеем  $t \leq t_m$  и поэтому

$$\begin{aligned} \varepsilon |\Pi_k(\tau)| & \leq C_k \varepsilon \left( \frac{t - 1}{\varepsilon} \right)^{s_k} \exp\left(p(1) \frac{t - t_m}{\varepsilon}\right) \exp\left(p(1) \frac{t_m - 1}{\varepsilon}\right) = \\ & C_k \left[ \varepsilon \left( \frac{t - t_m}{\varepsilon} + O(|\ln \varepsilon|) \right)^{s_k} \exp\left(p(1) \frac{t - t_m}{\varepsilon}\right) \right] \times \\ & \times \exp\left(p(1) \frac{t_m - 1}{\varepsilon}\right) \leq C^* \exp\left(p(1) \frac{t_m - 1}{\varepsilon}\right) \leq C_1 \varepsilon^5. \end{aligned}$$

Предложение 5 доказано.

Положим  $\bar{u}_m(t) = \sum_{k=0}^n \bar{u}_k \varepsilon^k$ ,  $\Pi_n(\tau) = \sum_{k=0}^n \Pi_k(\tau) \varepsilon^k$ . В дальнейшем мы считаем, что  $\bar{u}_0(1) \neq 0$ , т.е. решение задачи имеет "погранслои нулевого порядка". Тогда из предложений 2, 5 получаем

**Предложение 6.** При  $i = 0, 1, \dots, 5$  справедливы оценки

$$\|u_\varepsilon^{(i)}(t) - \bar{u}_n^{(i)}(t)\|_{C_{[0,tm]}} \leq C\varepsilon^{5-i}. \quad (5.3.19)$$

$$\left\| \frac{d^i}{dt^i} \Pi_n \right\|_{C_{[t_j, t_{j+1}]}} = \frac{1}{\varepsilon^i} \begin{cases} O^*((j+1-m)^5/m^5), & m \leq j \leq 2m-1 \\ O(\varepsilon), & 0 \leq j \leq m-1. \end{cases} \quad (5.3.20)$$

Наконец, установим еще одно полезное

**Предложение 7.** Справедливы оценки

$$\left| \frac{d^i}{dt^i} \Pi_n |_{t=\xi_{m+3}} \right| \leq C\varepsilon^{2,5-i}/m^{2,5}, \quad i = 0, 1, \dots, 5. \quad (5.3.21)$$

**Доказательство.** Из доказательства предложения 6 вытекает, что оценка  $\Pi_n^{(i)}(\xi_{m+3})$  сводится к оценке выражения  $\varepsilon^i \exp(p_0(\xi_{m+3} - 1)/\varepsilon)$ , но

$$\exp\left(p_0 \frac{\xi_{m+3} - 1}{\varepsilon}\right) = \left[ \exp\left(p_0 \frac{t_{m+1} - 1}{\varepsilon}\right) \exp\left(p_0 \frac{t_m - 1}{\varepsilon}\right) \right]^{1/2}.$$

В силу предложения 5 первый из сомножителей в квадратных скобках оценивается величиной  $O(h^5)$ , а второй  $O(\varepsilon^5)$ . Предложение доказано.

## 5.4 О сплайн аппроксимации асимптотических рядов в норме и точках коллокации

Пусть  $u_\varepsilon(t)$  — точное решение исходной задачи. Учитывая предложение 3, для изучения аппроксимации  $u_\varepsilon(t)$  и его производных достаточно изучить аппроксимации функций  $\bar{u}_n$ ,  $\Pi_n(\frac{t-1}{\varepsilon})$  и их производных для достаточно большого  $n$ . Тогда требуемая аппроксимация  $u_\varepsilon$  будет получена как сумма этих двух аппроксимаций.

### 5.4.1 Аппроксимация функций $\bar{u}_n$

При построении аппроксимации  $\bar{u}_n(t)$  можно считать, что  $\bar{u}_n$  — достаточно гладкая не зависящая от  $\varepsilon$  функция, поскольку аппроксимации можно строить для  $\bar{u}_k$ , а потом, сложив их, получить аппроксимацию для  $\bar{u}_n(t)$ .

Искомую аппроксимацию обозначим через  $\bar{S}(t)$ . Известно (см. [50, с. 230]), что если расчетная сетка равномерна, а функция достаточно гладкая, то существует кубический сплайн из  $S(\Delta, 3, 1)$ , интерполирующий ее в узлах сетки и приближающий эту функцию с точностью  $O(h^4)$ . На  $[0, t_m]$  сетка равномерна, поэтому функцию  $\bar{S}(t)$  на  $[0, t_m]$  определим в виде такого сплайна. При этом из формул, полученных в [50, с. 230] непосредственно следует, что

$$\|\bar{u}_n(t) - \bar{S}(t)\|_{C_{[0, t_m]}} \leq \frac{C}{m^4}, \quad (5.4.1)$$

$$|\bar{u}'_n(\xi_j) - \bar{S}'(\xi_j)| \leq \frac{C}{m^4}, \quad j = 1, 2, \dots, m+2, \quad (5.4.2)$$

$$\bar{u}''(\xi_j) = \bar{S}''(\xi_j) - \frac{1}{24}h^2\bar{u}_n^{IV}(\xi_j) + O\left(\frac{1}{m^4}\right), \quad j = 2, 3, \dots, m+1, \quad (5.4.3)$$

$$\bar{u}''_n(\xi_j) = \bar{S}''(\xi_j) + \frac{1}{12}h^2\bar{u}_n^{IV}(\xi_j) + O\left(\frac{1}{m^4}\right), \quad j = 1, m+2. \quad (5.4.4)$$

На  $[t_m, t_{m+2}]$  положим  $\bar{S}(t) = P(t)$ , где  $P(t)$  — полином третьей степени, определяемый из условий  $P^{(i)}(t_m) = \bar{S}^{(i)}(t_m)$ ,  $i = 0, 1, 2$ ,  $P'''(t_m) = \bar{u}'''_n(t_m)$ .

**Предложение 8.** Справедливы оценки

$$\|\bar{S}^{(i)}(t) - \bar{u}_n^{(i)}(t)\|_{C_{[t_m, t_{m+2}]}} \leq \frac{C}{m^{4-i}}, \quad i = 0, 1, 2. \quad (5.4.5)$$

Действительно, многочлен  $P(t)$  отличается от многочлена Тейлора функции  $\bar{u}_n(t)$  лишь выражением

$$(\bar{u}'_n(\xi_{m+2}) - \bar{S}'(\xi_{m+2}))(t - \xi_{m+2}) + (\bar{u}''_n(\xi_{m+2}) - \bar{S}''(\xi_{m+2}))(t - \xi_{m+2})^2/2,$$

которое в силу (5.4.2), (5.4.3) и того, что  $t_{m+2} - t_m = O(\varepsilon |\ln \varepsilon|) = O(1/m)$ , само имеет порядок  $O(1/m^4)$ , а его производные — порядок  $O(1/m^{4-i})$ ,  $i = 0, 1, 2$ . Предложение доказано.

На  $[t_{m+2}, t_{m+3}]$  положим  $\bar{S} = \tilde{P}(t)$ , где  $\tilde{P}(t)$  — полином третьей степени, определяемый из условий:  $\tilde{P}^{(i)}(t_{m+2}) = \bar{S}^{(i)}(t_{m+2})$ ,  $\tilde{P}^{(i)}(t_{m+3}) = \bar{u}_n^{(i)}(t_{m+3})$ ,  $i = 0, 1$ .

На остальных отрезках определим  $\bar{S}$  как интерполяционный эрмитов сплайн для функций  $\bar{u}_n$ , исходя из условий:  $\bar{S}^{(i)}(t_j) = \bar{u}_n^{(i)}(t_j)$ ,  $j = m+2, m+3, \dots, 2m$ ,  $i = 0, 1$ .

**Предложение 9.** Справедливы оценки

$$\|\bar{S}^{(i)}(t) - \bar{u}_n^{(i)}(t)\|_{C_{[t_{m+2}, t_{m+3}]}} \leq \frac{C}{m^{4-i}}, \quad i = 0, 1, 2. \quad (5.4.6)$$

Действительно, из предложения 8 и определения  $\bar{S}(t)$  на  $[t_{m+2}, t_{m+3}]$  вытекает, что на  $[t_{m+2}, t_{m+3}]$   $\bar{S}(t)$  отличается от интерполяционного эрмитового сплайна функции  $\bar{u}_n(t)$  лишь на полином  $Q(t)$ , определяемый условиями

$$Q^{(i)}(t_{m+2}) = \left( \bar{S}^{(i)} - \bar{u}_n^{(i)} \right) \Big|_{t=t_{m+2}}, \quad Q^{(i)}(t_{m+3}) = 0, \quad i = 0, 1.$$

Поскольку в силу предложения 8

$$|(\bar{S} - \bar{u}_n)^{(i)}(t_{m+2})| \leq \frac{C}{m^{4-i}},$$

то из явного представления интерполяционного эрмитова сплайна [50, с. 59] вытекают оценки  $\|Q^{(i)}(t)\|_{C_{[t_{m+2}, t_{m+3}]}} \leq \frac{C}{m^{4-i}}$ , откуда получаем (5.4.6), если учесть, что эрмитов сплайн приближает  $\bar{u}_n(t)$  с требуемой точностью. Предложение доказано.

**Предложение 10.** Справедливы оценки

$$\|S(t) - u_n(t)\|_{C_{[t_m, 1]}} \leq \frac{C}{m^4}, \quad (5.4.7)$$

$$\|S'(t) - u'_n(t)\|_{C_{[t_{m+k}, t_{m+k+1}]}} \leq C \frac{\varepsilon^3}{k^3}, \quad k = 3, 4, \dots, m-1, \quad (5.4.8)$$

$$|S''(\xi_s) - u''_n(\xi_s)| \leq C \frac{\varepsilon^3}{k^3}, \quad s = m+2k, m+2k+1, \quad k = 3, 4, \dots, m-1. \quad (5.4.9)$$

Доказательство непосредственно вытекает из представления интерполяционного эрмитова сплайна [50, с. 68] и того факта, что  $h_{k+m} = O(\varepsilon/k)$ .

**Предложение 11.** В точках коллокации  $\xi_s$  ( $s \geq m+4$ ) имеет место равенство

$$\mathcal{L} \bar{S}(\xi_s) - f(\xi_s) = O\left(1/m^4 + 1/(mk)^3\right), \quad (5.4.10)$$

$$k = 2, 3, \dots, m-1, \quad s = m+2k, m+2k+1.$$

**Доказательство.** При  $s \geq m+4$ ,  $\xi_s \geq t_{m+1}$ . Поэтому в силу (5.1.2) для этих  $s$ :  $\mathcal{L} S(\xi_s) = L S(\xi_s)$ . Из этого факта, предложений 9, 11, оценки (5.4.1) при  $n \geq 3$  и того, что  $\varepsilon \leq 1/m$ , получаем (5.4.4). Предложение доказано.

## 5.4.2 Аппроксимация функции $\Pi_n\left(\frac{t-1}{\varepsilon}\right)$

Искомую аппроксимацию обозначим через  $z(t)$ . Поскольку в силу (5.3.20)  $\Pi_n\left(\frac{t-1}{\varepsilon}\right)$  пренебрежимо мала на  $[0, t_{m+2}]$ , положим на этом отрезке  $z(t) \equiv 0$ . На  $[t_{m+2}, t_{m+3}]$  определим  $z(t)$  как кубический полином из условий

$$z^{(i)}(t_{m+2}) = 0, \quad z^{(i)}(t_{m+3}) = \Pi_n^{(i)}\left(\frac{t_{m+3}-1}{\varepsilon}\right), \quad i = 0, 1.$$

На остальных частичных отрезках определим  $z(t)$  как кубический эрмитов сплайн из условий

$$z^{(i)}(t_{m+k}) = \Pi_n^{(i)}((t_{m+k} - 1)/\varepsilon), \quad i = 0, 1, \quad k = 4, 5, \dots, m.$$

Оценим погрешность аппроксимации. Зафиксируем произвольный отрезок  $[t_{m+k}, t_{m+k+1}]$  ( $k \geq 3$ ). Перейдем к переменной  $\tau = (t - 1)/\varepsilon$ . Тогда отрезок  $[t_{m+k}, t_{m+k+1}]$  будет иметь длину  $\tilde{h}_{k+m} = O^*(\frac{1}{k})$ . При этом в силу (5.3.20) и оценок погрешности эрмитовой интерполяции [50, с. 68] будем иметь

$$\left\| \frac{d^i}{d\tau^i} (\Pi_n(\tau) - z(1 + \varepsilon\tau)) \right\|_{C_{[\tau_{m+k}, \tau_{m+k+1}]}} \leq C \left( \frac{1}{k} \right)^{4-i} \frac{k^5}{m^5}, \quad i = 0, 1, 2, \quad (5.4.11)$$

причем в точках коллокации  $\tau = \tilde{\xi}_{m+2k}$ ,  $\tau = \tilde{\xi}_{m+2k+1}$  (где через  $\tilde{\xi}_i$  обозначены числа  $(\tilde{\xi}_i - 1)/\varepsilon$ ) (в силу [50, с. 68]) справедливы представления

$$\frac{d}{d\tau} \Pi_n(\tau) = \frac{d}{d\tau} z(1 + \varepsilon\tau) + \frac{1}{12} \lambda(1 - \lambda)(1 - 2\lambda) \tilde{h}_{k+m}^3 \Pi_n^{IV}(\tau) + O\left(\frac{1}{k^4}\right) \frac{k^5}{m^5}, \quad (5.4.12)$$

$$\begin{aligned} \frac{d^2}{d\tau^2} \Pi_n(\tau) &= \frac{d^2}{d\tau^2} z(1 + \varepsilon\tau) + \frac{4}{5!} (1 - 2\lambda)[1 - 5\lambda(1 - \lambda)] \tilde{h}_{k+m}^3 \Pi_n^V(\tau) + \\ &+ O\left(\frac{1}{k^4}\right) \frac{k^5}{m^5}, \quad \lambda = \frac{\tau - \tau_{m+k}}{\tilde{h}_{m+k}}. \end{aligned} \quad (5.4.13)$$

**Замечание 3.1** На отрезке  $[\tau_{m+2}, \tau_{m+3}]$  функция  $z(1 + \varepsilon\tau)$  отличается от тождественного нуля лишь на полином  $\mathcal{E}(\tau)$ , определяемый из условий  $\mathcal{E}^{(i)}(\tau_{m+3}) = O(1/m^5)$ ,  $\mathcal{E}^{(i)}(\tau_{m+2}) = 0$ ,  $i = 0, 1$ , который внесет погрешность не более  $O(1/m^5)$  для всех производных  $z(t)$ . Учитывая, что и сама функция  $\Pi_n(\tau)$  на  $[\tau_{m+2}, \tau_{m+3}]$  в силу (5.3.17) имеет норму  $O(1/m^5)$  вместе с производными, получаем оценку

$$\left\| \frac{d^i}{d\tau^i} (\Pi_n(\tau) - z(1 + \varepsilon\tau)) \right\|_{C_{[\tau_{m+2}, \tau_{m+3}]}} \leq \frac{C}{m^5}, \quad i = 0, 1, 2. \quad (5.4.14)$$

Таким образом, мы получили, что сумма  $\bar{S}(t) + z(t)$  хорошо приближает решение краевой задачи.

## 5.5 О коррекции сплайн-аппроксимаций

Как и в [50] при исследовании нежестких краевых задач, нам нужно построить сплайн, который не только аппроксимирует решение исходной задачи, но и

удовлетворяет уравнению в точках коллокации с высокой точностью. Построенная в предыдущем параграфе аппроксимация в этом смысле не пригодна в зоне погранслоя. Поэтому сплайн  $z(1 + \varepsilon\tau)$  нуждается в коррекции. В этом пункте мы сначала построим скорректированный сплайн, а затем покажем, что новая аппроксимация удовлетворяет заявленным требованиям.

### 5.5.1 Построение скорректированного сплайна

Следуя [50], введем в рассмотрение эрмитов сплайн  $H(\tau)$ , ( $\tau \in [\tau_{m+3}, \tau_{2m}]$ ), определяемый соотношениями

$$H(\tau_{m+3}) + z(1 + \varepsilon\tau_{m+3}), \quad H(\tau_{2m}) = z(1 + \varepsilon\tau_{2m}), \quad (5.5.1)$$

$$\begin{aligned} \dot{H}(\tilde{\xi}_{m+2k}) &= \ddot{z}(1 + \varepsilon\tilde{\xi}_{m+2k}) + K_1 \tilde{h}_{m+k}^3 \Pi_n^V \left( \tau_m + \frac{\tilde{h}_{m+k}}{2} \right) - \\ &- p \left( t_{m+k} + \frac{h_{m+k}}{2} \right) K_2 \tilde{h}_{m+k}^3 \Pi_n^{IV} \left( \tau_{m+k} + \frac{\tilde{h}_{m+k}}{2} \right), \quad k \geq 3, \end{aligned} \quad (5.5.2)$$

$$\begin{aligned} \ddot{H}(\tilde{\xi}_{m+2k+1}) &= \ddot{z}(1 + \varepsilon\tilde{\xi}_{m+2k+1}) - K_1 \tilde{h}_{m+k}^3 \Pi_n^V \left( \tau_m + \frac{\tilde{h}_{m+k}}{2} \right) - \\ &+ p \left( t_{m+k} + \frac{h_{m+k}}{2} \right) K_2 \tilde{h}_{m+k}^3 \Pi_n^{IV} \left( \tau_{m+k} + \frac{\tilde{h}_{m+k}}{2} \right), \quad k \geq 3, \end{aligned} \quad (5.5.3)$$

где  $K_1 = \frac{4}{51}(1 - 2\lambda)[1 - 5\lambda(1 - \lambda)]$ ,  $K_2 = \frac{1}{12}\lambda(1 - \lambda)(1 - 2\lambda)$ , и  $\lambda = \frac{\tau - \tau_{m+k}}{\tilde{h}_{m+k}}$ ; точка здесь означает дифференцирование по  $\tau$ .

В [50] было показано, что такой сплайн существует и единственен. На  $[0, \tau_{m+3}]$  положим  $H(\tau) = z(1 + \varepsilon\tau)$ .

Заметим, что в силу (5.3.20) и того, что при  $\tau = \frac{t-1}{\varepsilon}$ , справедливы оценки

$$\|\Pi_n^{(i)}(\tau)\|_{C_{[\tau_{m+k}, \tau_{m+k+1}]}} \leq C \frac{k^5}{m^5}, \quad i = 0, 1, \dots, 5, \quad k \geq 3. \quad (5.5.4)$$

Покажем теперь, что сплайн  $H(\tau)$  близок к построенному в предыдущем разделе сплайну  $z(1 + \varepsilon\tau)$ .

**Предложение 12.** Справедливы оценки

$$\|H(\tau) - z(1 + \varepsilon\tau)\|_{C_{[\tau_{m+3}, \tau_{2m}]}} \leq \frac{C}{m^4}, \quad (5.5.5)$$

$$\|\dot{H}(\tau) - \dot{z}(1 + \varepsilon\tau)\|_{C_{[\tau_{m+k}, \tau_{m+k+1}]}} \leq \frac{Ck}{m^5}, \quad k = 3, 4, \dots, m - 1. \quad (5.5.6)$$



**Доказательство.**  $\Phi(\tau) = H(\tau) - z(1 + \varepsilon\tau)$ . Тогда

$$\Phi(\tau) = \int_{\tau_{m+3}}^{\tau_{2m}} G^*(\tau, \xi) \ddot{\Phi} d\xi, \quad (5.5.7)$$

где

$$G^*(\tau, \xi) = \begin{cases} \frac{(\xi - \tau_{m+3})(\tau - \tau_{2m})}{\tau_{2m} - \tau_{m+3}}, & \xi \leq \tau \\ \frac{(\xi - \tau_{2m})(\tau - \tau_{m+3})}{\tau_{2m} - \tau_{m+3}}, & \xi > \tau. \end{cases} \quad (5.5.8)$$

Теперь отметим следующий факт. Функция  $\ddot{\Phi}(\tau) = \ddot{z}(1 + \varepsilon\tau) - \ddot{H}(\tau)$  на каждом отрезке  $[\tau_{k+m}, \tau_{k+m+1}]$  является линейной и в точках  $\tilde{\xi}_{m+2k}, \tilde{\xi}_{m+2k+1}$  принимает значения, равные по модулю и противоположные по знаку.

Поэтому

$$\int_{\tau_{m+k}}^{\tau_{m+k+1}} \ddot{\Phi}(\tau) d\tau = 0, \quad k = 3, 4, \dots, m-1. \quad (5.5.9)$$

Учитывая (5.5.9), (5.5.1) - (5.5.4) и тот факт, что изменение  $G^*(\tau, \xi)$  на  $[\tau_{m+k}, \tau_{m+k+1}]$  не превосходит  $O(\tilde{h}_{m+k})$  (см. (5.5.8)) получим, что

$$\left| \int_{\tau_{m+k}}^{\tau_{m+k+1}} G^*(\tau, \xi) \ddot{\Phi}(\xi) d\xi \right| \leq C\tilde{h}_{m+k} \int_{\tau_{m+k}}^{\tau_{m+k+1}} |\ddot{\Phi}(\xi)| d\xi \leq C_1 \tilde{h}_{m+k}^5 \frac{k^5}{m^5} \leq \frac{C_2}{m^5}.$$

Отсюда и из (5.5.7) получаем оценку (5.5.5).

Далее заметим, что  $\frac{\partial G^*}{\partial \tau} \equiv \text{const}$  на любом отрезке, содержащем точку  $\tau = \xi$ .

Поэтому в силу (5.5.9)

$$\int_{\tau_{m+s}}^{\tau_{m+s+1}} \frac{\partial G^*}{\partial \tau}(\tau, \xi) \ddot{\Phi}(\xi) d\xi = 0, \quad \tau \in [\tau_{m+s}, \tau_{m+s+1}].$$

Для оценки этого интеграла при  $\tau \in [\tau_{m+k}, \tau_{m+k+1}]$  заметим, что

$$\frac{\partial G^*}{\partial \tau} = \begin{cases} (\xi - \tau_{m+3})/(\tau_{2m} - \tau_{m+3}), & \xi \leq \tau \\ (\xi - \tau_{2m})/(\tau_{2m} - \tau_{m+3}), & \xi > \tau. \end{cases}$$

Отсюда, с учетом (5.5.1) - (5.5.4)

$$\begin{aligned} |\dot{\Phi}(\tau)| &= \left| \int_{\tau_{m+k}}^{\tau_{m+k+1}} \frac{\partial}{\partial \tau} G^*(\tau, \xi) \ddot{\Phi}(\xi) d\xi \right| \leq \\ &\leq C\tilde{h}_{m+k} \frac{k^5}{m^5} \int_{\tau_{m+k}}^{\tau_{m+k+1}} d\tau = C\tilde{h}_{m+k}^4 \frac{k^5}{m^5} \leq C_1 \frac{k}{m^5}. \end{aligned}$$

Из последнего неравенства вытекает (5.5.6). Предложение доказано.  
Переходя к переменной  $t$ , получаем следующие результаты.

**Лемма 1** *Справедливы формулы*

$$\begin{aligned} & \left\| \frac{d^i}{dt^i} \left( \Pi_n \left( \frac{t-1}{\varepsilon} \right) - H \left( \frac{t-1}{\varepsilon} \right) \right) \right\|_{C_{[t_{m+k}, t_{m+k+1}]}} \leq \\ & \leq C \left( \frac{1}{m^4} + \frac{k}{m^5} \left( \frac{k}{\varepsilon} \right)^i \right), \quad k \geq 3, i = 0, 1, 2. \end{aligned} \quad (5.5.10)$$

$$\begin{aligned} \frac{d^2}{dt^2} \left[ H \left( \frac{t-1}{\varepsilon} \right) - Z(t) \right] \Big|_{t=\xi_{m+2k}} &= \frac{1}{\varepsilon^2} K_1 \tilde{h}_{m+k}^3 \Pi_n^V \left( \tau_{m+k} + \frac{\tilde{h}_{m+k}}{2} \right) - \\ & - \frac{1}{\varepsilon^2} p \left( t_{m+k} + \frac{\tilde{h}_{m+k}}{2} \right) K_2 \tilde{h}_{m+k}^3 \Pi_n^{IV} \left( \tau_{m+k} + \frac{\tilde{h}_{m+k}}{2} \right), \end{aligned} \quad (5.5.11)$$

$$\begin{aligned} \frac{d^2}{dt^2} \left[ H \left( \frac{t-1}{\varepsilon} \right) - Z(t) \right] \Big|_{t=\xi_{m+2k+1}} &= -\frac{1}{\varepsilon^2} K_1 \tilde{h}_{m+k}^3 \Pi_n^V \left( \tau_{m+k} + \frac{\tilde{h}_{m+k}}{2} \right) + \\ & + \frac{1}{\varepsilon^2} p \left( t_{m+k} + \frac{\tilde{h}_{m+k}}{2} \right) K_2 \tilde{h}_{m+k}^3 \Pi_n^{IV} \left( \tau_{m+k} + \frac{\tilde{h}_{m+k}}{2} \right). \end{aligned} \quad (5.5.12)$$

$$\begin{aligned} & \frac{d}{dt} \left[ \Pi_n \left( \frac{t-1}{\varepsilon} \right) - Z(t) \right] \Big|_{t=\xi_{m+2k}} = \\ & = \frac{1}{\varepsilon^2} K_1 \tilde{h}_{m+k}^3 \Pi_n^V \left( \tau_{m+k} + \frac{\tilde{h}_{m+k}}{2} \right) + O \left( \frac{k}{m^5 \varepsilon} \right), \end{aligned} \quad (5.5.13)$$

$$\begin{aligned} & \frac{d}{dt} \left[ \Pi_n \left( \frac{t-1}{\varepsilon} \right) - Z(t) \right] \Big|_{t=\xi_{m+2k+1}} = \\ & = -\frac{1}{\varepsilon^2} K_1 \tilde{h}_{m+k}^3 \Pi_n^V \left( \tau_{m+k} + \frac{\tilde{h}_{m+k}}{2} \right) + O \left( \frac{k}{m^5 \varepsilon} \right) \end{aligned} \quad (5.5.14)$$

$$\begin{aligned} \frac{d^2}{dt^2} \left[ \Pi_n \left( \frac{t-1}{\varepsilon} \right) - Z(t) \right] \Big|_{t=\xi_j} &= \pm \frac{1}{\varepsilon^2} K_1 \tilde{h}_{m+k}^3 \Pi_n^V \left( \tau_{m+k} + \frac{\tilde{h}_{m+k}}{2} \right) + \\ & + O \left( \frac{k}{m^5 \varepsilon^2} \right), \quad j = m + 2k, m + 2k + 1. \end{aligned} \quad (5.5.15)$$

**Доказательство.** Оценка (5.5.10) вытекает из (5.4.11), (5.5.2) - (5.5.6), формулы (5.5.11) и (5.5.12) — из (5.5.2), (5.5.3), а формулы (5.5.13) - (5.5.15) — из (5.4.12) и (5.4.13). Лемма 1 доказана.

**Следствие 2** *Справедливы представления*

$$\mathcal{L} \left( H \left( \frac{t-1}{\varepsilon} \right) \right) \Big|_{t=\xi_j} = O \left( \frac{k}{m^5 \varepsilon} \right), \quad j = 2k + m, 2k + m + 1, k \geq 3, \quad (5.5.16)$$

$$\mathcal{L} \left( H \left( \frac{t-1}{\varepsilon} \right) \right) \Big|_{t=\xi_j} = O \left( \frac{1}{m^5 \varepsilon} \right), \quad j = m + 4, m + 5, \quad (5.5.17)$$

$$\mathcal{L} \left( H \left( \frac{t-1}{\varepsilon} \right) \right) \Big|_{t=\xi_j} = 0, \quad j \leq m + 3. \quad (5.5.18)$$

**Доказательство.** При  $j \geq m + 4$  имеем  $\mathcal{L} \left( H \left( \frac{t-1}{\varepsilon} \right) \right) \Big|_{t=\xi_j} =$

$$\begin{aligned} &= L \left( H \left( \frac{t-1}{\varepsilon} \right) \right) \Big|_{t=\xi_j} = L \left( H \left( \frac{t-1}{\varepsilon} \right) - Z(t) \right) \Big|_{t=\xi_j} + \\ &+ L \left( Z(t) - \Pi_n \left( \frac{t-1}{\varepsilon} \right) \right) \Big|_{t=\xi_j} + L \left( \Pi_n \left( \frac{t-1}{\varepsilon} \right) \right) \Big|_{t=\xi_j}. \end{aligned} \quad (5.5.19)$$

Из (5.3.13) - (5.3.15) вытекает, что  $L(\Pi_n) = O(\varepsilon^n)$ , а из (5.5.11) - (5.5.15) следует, что члены с первыми и вторыми производными в первых двух слагаемых из (5.5.19) взаимно уничтожаются. Члены с производными нулевого порядка оцениваются с помощью (5.5.10) при  $i = 0$  и (5.4.14). Поэтому при  $n \geq 5$  оценка (5.5.16) получается из (5.5.19). Оценка (5.5.17) следует из (5.4.14), (5.5.19) и того, что  $H \left( \frac{t-1}{\varepsilon} \right) = Z(t)$  при  $t \in [t_{m+2}, t_{m+3}]$  по построению. Формула (5.5.18) верна, так как  $H \left( \frac{t-1}{\varepsilon} \right) = 0$  для  $t < t_{m+2}$ . Следствие доказано.

Определим, наконец, скорректированную сплайн-аппроксимацию решения задачи (5.1.3) в виде  $U(t) = \bar{S}(t) + H \left( \frac{t-1}{\varepsilon} \right)$ .

### 5.5.2 Свойства функции $U(t)$

Покажем, что  $U(t)$  одновременно с высокой точностью удовлетворяет уравнению (5.1.3) и приближает точное решение задачи (5.1.1).

**Лемма 2** *Пусть  $W(t) = \mathcal{L}U - f(t)$ . Тогда*

$$W(\xi_s) = \begin{cases} O \left( \frac{1}{m^3} \right), & s = 1, 2, m + 1, m + 2, m + 3 \\ O \left( \frac{1}{m^4} \right), & s = 3, 4, \dots, m \\ O \left( \frac{1}{m^4} + \frac{1}{m^3 k^3} + \frac{k}{m^5 \varepsilon} \right), & \\ s = m + 2k, m + 2k + 1, k = 2, 3, \dots, m - 1. \end{cases} \quad (5.5.20)$$

**Доказательство.** При  $s = 3, 4, \dots, m$  оценка (5.5.20) следует из (5.5.18), (5.3.15), (5.4.1) - (5.4.3) и того, что в силу [50, с. 233]

$$\bar{S}''(\xi_{j-1}) - 2\bar{S}''(\xi_j) + S''(\xi_{j+1}) = \bar{U}^{IV}(\xi_j)/m^2 + O(1/m^4)$$

При  $s \geq m+4$  эта оценка следует из (5.3.13), (5.4.10), (5.5.16). При  $s = 1, 2, m+1, m+2, m+3$  (5.5.20) получается из (5.3.13), (5.4.5), (5.5.18) и того, что  $\varepsilon \ll \frac{1}{m}$ . Лемма 2 доказана.

**Замечание 4.1** Из (5.3.16) при  $n \geq 3$ ,  $i = 0$  (5.4.1), (5.4.5), (5.4.6), (5.3.10) и (5.3.20) вытекает оценка

$$\|U(t) - u_\varepsilon(t)\|_C \leq \frac{C}{m^4}.$$

## 5.6 О базисах в пространствах $F$

### 5.6.1 О роли базисов пространства $F$ в доказательстве теоремы 1

Предположим, что нам удалось построить в тестовом пространстве  $F$  систему функций  $H_i(t)$ ,  $i = 1, 2, \dots, 3m-1$  для которой

$$H_i(\xi_j) = \delta_{ij} \quad (5.6.1)$$

( $\delta_{ij}$  — символ Кронекера). Очевидно, что функции  $H_i(t)$  линейно независимы, и, следовательно, образуют в  $F$  базис. Этот базис мы будем называть фундаментальным.

Докажем, что из существования фундаментального базиса вытекает существование и единственность решения коллокационной задачи  $u_m(t)$ . Для этого введем в рассмотрение оператор  $P = P(\varepsilon, m)$  :

$$P_n = \sum_{i=1}^{3m-1} u(\xi_i) H_i(t). \quad (5.6.2)$$

Нетрудно убедиться, что  $P$  — проектор на  $F$ , то есть  $P : \tilde{C}_{[0,1]} \rightarrow F$  и  $P^2 = P$ . Этот оператор будем называть интерполяционным проектором. Как и в [30, с. 158] получаем, что коллокационная задача эквивалентна операторному уравнению  $P\mathcal{L}u_m = Pf$ . Но  $P$  действует на  $F$  как тождественный оператор. Поэтому последнее уравнение эквивалентно уравнению

$$\mathcal{L}u_m = Pf, \quad (5.6.3)$$

которое имеет единственное решение в силу обратимости оператора  $\mathcal{L}$ . Тем самым однозначная разрешимость коллокационной задачи доказана.

Теперь докажем, как, имея оценки на функции фундаментального базиса, можно получить оценку погрешности решения коллокационной задачи из теоремы 1. Пусть  $U(t) = \bar{S}(t) + H\left(\frac{t-1}{\varepsilon}\right)$  — функция, построенная в предыдущем разделе. Обозначим  $w(t) = \mathcal{L}[U(t) - u_m(t)]$ , где  $u_m(t)$  — решение коллокационной задачи. Поскольку  $w \in F$ , то ее можно представить в виде

$$w(t) = \sum_{i=1}^{3m-1} w(\xi_i)H_i(t) = \sum_{i=1}^{3m-1} W(\xi_i)H_i(t), \quad (5.6.4)$$

где  $W(t) = \mathcal{L}U(t) - f(t)$  — функция из леммы 2. Последнее справедливо, так как  $\mathcal{L}u_m(\xi_i) = f(x_i)$ . Предположим теперь, что нам удалось получить оценки

$$\|H_i\|_1 \leq \frac{C}{m}, \quad i = 1, 2, \dots, m+3, \quad (5.6.5)$$

$$\|H_{m+s}\|_1 \leq \frac{C\varepsilon}{k}, \quad s = 2k, 2k+1; \quad k \geq 2. \quad (5.6.6)$$

Тогда в силу (5.6.4)-(5.6.6) и леммы 2 будем иметь

$$\begin{aligned} \|w\|_1 &\leq \sum_{i=1}^{3m-1} |W(\xi_i)| \|H_i\|_1 = \\ &= \sum_{i=3}^m |W(\xi_i)| \|H_i\|_1 + \sum_{i=m+4}^{3m-1} |W(\xi_i)| \|H_i\|_1 + \\ &+ \sum_{i=1,2,m+1,m+2,m+3} |W(\xi_i)| \|H_i\|_1 \leq \frac{C}{m^4} \sum_{i=3}^m \|H_i\|_1 + \\ &+ C \sum_{k=2}^{m-1} \left( \frac{k}{m^5\varepsilon} + \frac{1}{m^3k^3} + \frac{1}{m^4} \right) (\|H_{m+2k}\|_1 + \|H_{m+2k+1}\|_1) + \\ &+ \frac{C}{m^3} \sum_{i=1,2,m+1,m+2,m+3} \|H_i\|_1 \leq \frac{C_1}{m^4} + \\ &+ C_1 \sum_{k=2}^{m-1} \left( \frac{1}{m^5} + \frac{1}{m^3k^4} + \frac{1}{m^5k} \right) + \frac{C_1}{m^4} \leq \frac{C_2}{m^4}. \end{aligned} \quad (5.6.7)$$

Но поскольку  $U(t) - u_m(t) = \mathcal{L}^{-1}w(t)$ , а в силу предложения 1  $\|\mathcal{L}^{-1}\|_{L_1 \rightarrow C} \leq C$ , то из (5.6.7) получаем, что  $\|U - u_m\|_C \leq \frac{C}{m^4}$ , откуда с учетом замечания 12 следует утверждение теоремы 1.

Таким образом, для доказательства теоремы 1 нам достаточно доказать существование в  $F$  биортогонального базиса  $\{H_i\}$  и оценки (5.3.8), (5.3.6). Решению этой весьма трудной задачи в случае, когда оператор  $L$  имеет вид (5.3.1), будут посвящены этот и два последующих раздела. Тем самым будет завершено доказательство теоремы 1 в случае  $q(t) \equiv 0$ . При  $q(t) \not\equiv 0$  построение биортогональных базисов становится очень трудной задачей. В этом случае доказательство, основанное на уже доказанном результате для "укороченного" оператора и идеях метода компактной аппроксимации [42], будет дано в последнем разделе данной главы.

Схема построения базисов  $\{H_i\}$  будет следующей. Вначале мы построим в  $F$  вспомогательные базисы  $F_i$ , по своим свойствам во многом аналогичные  $\beta$ -базисам, описанным в [30, с. 140]. Функции  $H_i(t)$  будем строить в виде разложений по этим базисам. Для коэффициентов разложений будут получены СЛАУ с коллокационными матрицами. Исследование этих СЛАУ в последующих двух разделах позволит построить функции с нужными свойствами.

## 5.6.2 Конструкция вспомогательных базисов в случае $q(t) \equiv 0$

Заметим вначале, что  $F = DN$ , где  $D$  — оператор, полученный из  $L$  заменой  $u'(t) = z(t)$ , а  $N$  — пространство параболических сплайнов дефекта 1 на отрезке  $[0, t_{m+2}]$ , дефекта 2 на отрезке  $[t_{m+1}, 1]$  и, кроме этого

$$\int_0^1 z(t) dt = 0.$$

Построим вначале базисные функции в  $N$ , а искомый базис будет получен действием на эти функции оператором  $D$ . Однако вначале построим базис в пространстве  $N^*$ , которое отличается от  $N$  тем, что функции из  $N^*$  удовлетворяют более простому условию  $\int_0^1 z(t) dt = 0$ .

Для  $i = 1, 2, \dots, m + 2$  положим

$$\mathcal{E}_i^*(t) = N_{2,i-3}(t), \quad (5.6.8)$$

где  $N_{2,i}(t)$  — нормализованный параболический  $B$ -сплайн, номер  $i$  определяется

номером крайнего левого узла носителя  $\text{supp } N_{2,i} = (t_i, t_{i-3})$ . Для  $i = m + 3$  положим

$$\mathcal{E}_{m+3}^*(t) = \begin{cases} 4 \left( \frac{t-t_m}{h_m} \right)^2, & t \in [t_m, t_{m+1}] \\ 4 - \left( 4 + 8 \frac{h_{m+1}}{h_m} \right) \left( \frac{t-t_{m+1}}{h_{m+1}} \right)^2 + 8 \frac{t-t_{m+1}}{h_m}, & t \in [t_{m+1}, t_{m+2}] \\ 0, & t \notin [t_m, t_{m+2}]. \end{cases} \quad (5.6.9)$$

Пусть, далее,  $i_0$  — достаточно большое натуральное число. Для  $k = 2, 3, \dots, i_0$  положим

$$\mathcal{E}_{m+2k}^*(t) = \begin{cases} \frac{(t-t_{m+k+1})^2}{h_{m+k+1}^2}, & t \in [t_{m+k-1}, t_{m+k}] \\ \frac{(t-t_{m+k+1})^2}{h_{m+k}^2}, & t \in [t_{m+k}, t_{m+k+1}] \\ 0, & t \notin [t_{m+k-1}, t_{m+k+1}] \end{cases} \quad (5.6.10)$$

$$\mathcal{E}_{m+2k+1}^*(t) = \begin{cases} \frac{(t-t_{m+k})(t_{m+k+1}-t)}{h_{m+k}^2}, & t \in [t_{m+k}, t_{m+k+1}] \\ 0, & t \notin [t_{m+k}, t_{m+k+1}] \end{cases} \quad (5.6.11)$$

Определим теперь функции  $\mathcal{E}_{m+2k}^*(t)$  и  $\mathcal{E}_{m+2k+1}^*(t)$  для  $k = i_0 + 1, i_0 + 2, \dots, m - 1$ .

1. Положим

$$\mathcal{E}_{m+2k}^*(t) = \begin{cases} -\frac{1}{\varepsilon} \int_{t_{m+k+1}}^t \frac{(\xi_{m+2k+1}-\tau)d\tau}{\xi_{m+2k+1}-\xi_{m+2k}}, & t \in [t_{m+k}, t_{m+k+1}] \\ \alpha_{2k} H^* \left( \frac{t-1}{\varepsilon} \right), & t \in [t_{m+1}, t_{m+k}] \\ 0, & t \notin [t_{m+1}, t_{m+k+1}] \end{cases} \quad (5.6.12)$$

Здесь  $H^* \left( \frac{t-1}{\varepsilon} \right) = \varepsilon \frac{d}{dt} H \left( \frac{t-1}{\varepsilon} \right)$ .

$$\mathcal{E}_{m+2k+1}^*(t) = \begin{cases} -\frac{1}{\varepsilon} \int_{t_{m+k+1}}^t \frac{(\tau-\xi_{m+2k})d\tau}{\xi_{m+2k+1}-\xi_{m+2k}}, & t \in [t_{m+k}, t_{m+k+1}] \\ \alpha_{2k} H^* \left( \frac{t-1}{\varepsilon} \right), & t \in [t_{m+1}, t_{m+k}] \\ 0, & t \notin [t_{m+1}, t_{m+k+1}] \end{cases} \quad (5.6.13)$$

Коэффициенты в формулах (5.6.12), (5.6.13) выбираются таким образом, чтобы функции  $\mathcal{E}_{m+s}^*(t)$  были непрерывны.

Обоснуем, почему  $\mathcal{E}_{m+s}^*$  выбираются именно так. Рассмотрим, например,  $D\mathcal{E}_{m+2k}^* = -\varepsilon \frac{d}{dt} \mathcal{E}_{m+2k}^* + p(t) \mathcal{E}_{m+2k}^*$  на отрезке  $[t_{m+k}, t_{m+k+1}]$ . Из того, что  $h_{m+k} = O(\varepsilon/k)$ , легко вывести, что

$$\|p(t)\mathcal{E}_{m+2k}(t)\|_{C[t_{m+k}, t_{m+k+1}]} = O(1/k).$$

Поэтому

$$D\mathcal{E}_{m+2k}^* = \frac{\xi_{m+2k+1} - t}{\xi_{m+2k+1} - \xi_{m+2k}} + O(1/k).$$

Отсюда видно, что

$$D\mathcal{E}_{m+2k}^*(\xi_{m+2k}) = 1 + O(1/k), \quad D\mathcal{E}_{m+2k}^*(\xi_{m+2k+1}) = O(1/k).$$

Можно показать, что на отрезке  $[t_{m+1}, t_{m+k}]$  функция  $D\mathcal{E}_{m+2k}^*$  мала по норме. Таким образом, значения  $D\mathcal{E}_{m+\nu}^*(\xi_s)$  близки к единице при  $s = m+\nu$  и к нулю при  $s \neq m+\nu$ .

К сожалению, построенные функции  $\mathcal{E}_s^*(t)$  не удовлетворяют ограничению  $\int_0^1 \mathcal{E}_s^*(t) dt = 0$ . Поэтому скорректируем их следующим образом

$$\mathcal{E}_s(t) = \mathcal{E}_s^*(t) + \beta_s H^*\left(\frac{t-1}{\varepsilon}\right), \quad (5.6.14)$$

где коэффициенты  $\beta_s$  выбираются так, чтобы

$$\int_0^1 \mathcal{E}_s(t) dt = 0. \quad (5.6.15)$$

Наконец, искомые базисные функции в  $F$  определим по формуле

$$F_s(t) = D\mathcal{E}_s(t), \quad 1 \leq s \leq 3m-1. \quad (5.6.16)$$

### 5.6.3 Изучение вспомогательного базиса

Результаты этого пункта носят технический характер и нужны для удобства изучения коллокационных матриц в последующих разделах.

**Предложение 13.** Справедливы оценки

$$|\alpha_{2k}| \leq C \frac{m^5}{k^6}, \quad |\alpha_{2k+1}| \leq C \frac{m^5}{k^6}, \quad k \geq i_0 + 1. \quad (5.6.17)$$

**Доказательство.** Из (5.6.12) получаем, что

$$\mathcal{E}_{m+2k}^*(t_{m+k}) = O^*\left(\frac{h_{m+k}}{\varepsilon}\right) = O^*(1/k),$$



а из (5.3.20), (5.5.10) следует, что  $H^* \left( \frac{t_{m+k+1}}{\varepsilon} \right) = O^* \left( \frac{k^5}{m^5} \right)$ , откуда и получаются оценки (5.6.17). Предложение доказано.

**Предложение 14.** Справедливы оценки

$$\beta_{2k+m} = O(1/k), \beta_{2k+m+1} = O(1/k), k \geq 2. \quad (5.6.18)$$

**Доказательство.** Пусть  $k \geq i_0 + 1$ . Напомним, что  $H^* \left( \frac{t-1}{\varepsilon} \right) = \varepsilon \frac{d}{dt} H \left( \frac{t-1}{\varepsilon} \right)$  и  $H$  — аппроксимация  $\Pi_n$ , для которой справедливы оценки (5.3.20) и (5.5.10). Поэтому  $H^*$  аппроксимирует  $\varepsilon \frac{d\Pi_n}{dt}$  и удовлетворяет неравенству

$$\left\| \varepsilon \frac{d}{dt} \Pi_n \left( \frac{t-1}{\varepsilon} \right) - H^* \left( \frac{t-1}{\varepsilon} \right) \right\|_{C_{[t_{m+n}, t_{m+n+1}]}} \leq C \frac{p^2}{m^5}. \quad (5.6.19)$$

В силу (5.3.20)

$$\varepsilon \frac{d}{dt} \Pi_n \left( \frac{t-1}{\varepsilon} \right) = O \left( \frac{p^5}{m^5} \right) \quad (t_{m+p} \leq t \leq t_{m+p+1}).$$

Поэтому

$$\begin{aligned} \left| \int_{t_{m+k}}^{t_{m+1}} H^* \left( \frac{t-1}{\varepsilon} \right) dt \right| &= \left| \sum_{p=1}^{k-1} \int_{t_{m+p}}^{t_{m+p+1}} H^* \left( \frac{t-1}{\varepsilon} \right) dt \right| \leq \\ &\leq C \sum_{p=1}^{k-1} \frac{p^5}{m^5} h_{m+p} \leq C_1 \frac{\varepsilon}{m^5} \sum_{p=1}^{k-1} p^4 \leq C_2 \varepsilon \frac{k^5}{m^5}. \end{aligned}$$

Отсюда и из (5.6.17) получаем

$$\int_{t_{m+1}}^{t_{m+k}} \alpha_s H^* \left( \frac{t-1}{\varepsilon} \right) dt = O^* \left( \frac{\varepsilon}{k} \right).$$

Заметим, что

$$\int_{t_{m+k}}^{t_{m+k+1}} |\mathcal{E}_{m+2k}^*(t)| dt = O \left( \frac{\varepsilon}{k^2} \right).$$

Отсюда вытекает, что

$$\int_0^1 \mathcal{E}_{m+2k}^*(t) dt = O \left( \frac{\varepsilon}{k} \right). \quad (5.6.20)$$

Далее

$$\begin{aligned} \int_0^1 H^* \left( \frac{t-1}{\varepsilon} \right) dt &= \int_{t_{m+1}}^1 H^* \left( \frac{t-1}{\varepsilon} \right) dt = \\ &= \int_{t_{m+1}}^1 \varepsilon \frac{d\Pi_n}{dt} dt + \int_{t_{m+1}}^1 [H^* \left( \frac{t-1}{\varepsilon} \right) - \varepsilon \frac{d\Pi_n}{dt}] dt. \end{aligned} \quad (5.6.21)$$

Оценим первый интеграл в правой части. С учетом (5.6.19) имеем

$$\begin{aligned} \left| \int_{t_{m+1}}^1 \left[ H^* \left( \frac{t-1}{\varepsilon} \right) - \varepsilon \frac{d\Pi_n}{dt} \right] dt \right| &\leq \sum_{p=1}^{m-1} \int_{t_{m+p}}^{t_{m+p+1}} \left| H^* \left( \frac{t-1}{\varepsilon} \right) - \varepsilon \frac{d\Pi_n}{dt} \right| dt \leq \\ &\leq \sum_{p=1}^{m-1} \frac{C}{m^5} p^2 h_{m+p} \leq C \frac{\varepsilon}{m^5} \sum_{p=1}^{m-1} p \leq C_1 \frac{\varepsilon}{m^3}. \end{aligned} \quad (5.6.22)$$

Наконец, в силу (5.3.20)

$$\int_{t_{m+1}}^1 \varepsilon \frac{d\Pi_n}{dt} dt = \varepsilon [\Pi_n(1) - \Pi_n(t_{m+1})] = O^*(\varepsilon).$$

Из этого и (5.6.21), (5.6.22) получаем, что

$$\int_0^1 H^* \left( \frac{t-1}{\varepsilon} \right) dt = O^*(\varepsilon). \quad (5.6.23)$$

Из (5.6.14), (5.6.15), (5.6.22), (5.6.23) получаем (5.6.18) для  $k \geq i_0 + 1$ . Аналогично получается оценка для  $1 \leq k \leq i_0$ . Предложение доказано.

**Предложение 15.** Справедлива оценка

$$|\beta_{m+3}| = O(|\ln \varepsilon|). \quad (5.6.24)$$

Доказательство следует из (5.6.23), (5.6.15) и того, что

$$\|\mathcal{E}_{m+3}^*(t)\|_1 = O(\varepsilon |\ln \varepsilon|)$$

(см. (5.6.9)).

**Предложение 16.** Справедливы оценки

$$|\beta_s| = O\left(\frac{1}{m\varepsilon}\right), \quad s \leq m + 2. \quad (5.6.25)$$

Доказательство вытекает из (5.6.23), (5.6.15) и того, что

$$\|N_{2,s}\|_1 = O(1/m)$$

(см. (5.6.8)).

Таким образом, мы получили оценки всех коэффициентов  $\beta_s$  в формулах (5.6.14).

Перейдем теперь к изучению базиса.

$$F_s = D\mathcal{E}_s = D\mathcal{E}_s^* + \beta_s DH^* \left( \frac{t-1}{\varepsilon} \right)$$

в пространстве  $F$ . Пусть  $S(t) = DH^* \left( \frac{t-1}{\varepsilon} \right) = \varepsilon \mathcal{L}H \left( \frac{t-1}{\varepsilon} \right)$ .

**Предложение 17.** Справедлива оценка

$$\|S(t)\|_{C_{[t_{m+k}, t_{m+k+1}]}} \leq C \frac{k^3}{m^5}. \quad (5.6.26)$$

Доказательство вытекает из (5.5.10) и того, что

$$\mathcal{L}\Pi_n \left( \frac{t-1}{\varepsilon} \right) = O(\varepsilon^n) \quad (n \geq 5).$$

**Предложение 18.** Справедливы представления

$$F_s(t) = p(t)N_{2,s-3}(t) + \delta_s(t, \varepsilon) + \nu_s(t, \varepsilon), \quad s \leq m+2, \quad (5.6.27)$$

$$\text{supp } \delta_s(t, \varepsilon) \subset [t_{m+2}, t],$$

$\text{supp } \nu_s(t, \varepsilon) \subset [t_{s-4}, t_{s+1}]$  при  $s \leq m-1$  и  $\text{supp } \nu_s(t, \varepsilon) \subset [t_{s-4}, t_s]$ , при  $m \leq s \leq m+2$ ,

$$\|\delta_s(t, \varepsilon)\|_{C_{[t_{m+k}, t_{m+k+1}]}} \leq C \frac{k^3}{\varepsilon m^6} \leq \frac{C_1}{\varepsilon m^3}, \quad (5.6.28)$$

$$\|\nu_s(t, \varepsilon)\|_C \leq \varepsilon m. \quad (5.6.29)$$

**Доказательство.** Имеем

$$F_s(t) = D\mathcal{E}_s(t) = D\mathcal{E}_s^*(t) + \beta_s DH^* \left( \frac{t-1}{\varepsilon} \right).$$

Но поскольку для  $s \leq m+2$ , то  $\mathcal{E}_s^* = N_{2,s-3}(t)$ , то из последнего получаем

$$F_s(t) = p(t)N_{2,s-3}(t) + \beta_s DH^* \left( \frac{t-1}{\varepsilon} \right) - \varepsilon N'_{2,s-3} - \begin{cases} 0, & t \notin [\xi_3, \xi_m] \\ -\frac{\varepsilon}{24} [N'_{2,s-3}(t-h) - 2N'_{2,s-3}(t) + N'_{2,s-3}(t+h)], & t \in [\xi_3, \xi_m]. \end{cases} \quad (5.6.30)$$

Положим  $\delta_s(t, \varepsilon) = \beta_s DH^* \left( \frac{t-1}{\varepsilon} \right)$ , а через  $\nu_s(t, \varepsilon)$  обозначим два последних слагаемых в (5.6.30). Тогда оценка (5.6.28) вытекает из (5.6.25), (5.6.26), а оценка (5.6.29) — из неравенства  $|N'_{2,s-3}| \leq Cm$ ,  $t \in [0, t_m]$ . Предложение доказано.

Совершенно аналогично из (5.6.10), (5.6.11), (5.6.18) получаем

**Предложение 19.** Справедливы представления

$$F_{m+2k} = D\mathcal{E}_{m+2k}^*(t) + \delta_{m+2k}(t, \varepsilon), \quad (5.6.31)$$

$$F_{m+2k+1} = D\mathcal{E}_{m+2k+1}^*(t) + \delta_{m+2k+1}(t, \varepsilon), \quad (5.6.32)$$

$$\text{supp } \delta_s(t, \varepsilon) \subset [t_{m+1}, 1], \quad \|\delta_s(t, \varepsilon)\|_{C_{[t_{m+p}, t_{m+p+1}]}} \leq C \frac{p^3}{m^5 k}, \quad (5.6.33)$$

$$p = 2, 3, \dots, m-1; \quad k = 2, 3, \dots, i_0.$$

Из (5.6.9), (5.6.24) вытекает следующее утверждение

**Предложение 20.** Справедливо представление

$$F_{m+3}(t) = p(t)\mathcal{E}_{m+3}^*(t) + \delta_{m+3}(t, \varepsilon) + \nu_{m+3}(t, \varepsilon) \quad (5.6.34)$$

$$\text{supp } \delta_{m+3} \subset [t_{m+2}, 1], \quad \text{supp } \nu_{m+3} \subset [t_m, t_{m+2}]$$

$$\|\delta_{m+3}\|_{C_{[t_{m+k}, t_{m+k+1}]}} \leq C |\ln \varepsilon| \frac{k^3}{m^5}, \quad (5.6.35)$$

$$\|\nu_{m+3}\|_{C_{[t_m, t_{m+1}]}} \leq \frac{C}{|\ln \varepsilon|}. \quad (5.6.36)$$

Изучим оставшиеся базисные функции.

**Предложение 21.** Справедливы представления

$$F_{m+s} = \begin{cases} \frac{t-t_{m+s}}{\xi_{m+2k+1}-\xi_{m+2k}} + O(1/k), & t \in [t_{m+k}, t_{m+k+1}] \\ \delta_s(t, \varepsilon), & t \in [t_{m+2}, t_{m+k}] \cup [t_{m+k+1}, 1] \\ 0, & t \leq t_{m+2}, \end{cases} \quad (5.6.37)$$

$$\|\delta_s(t, \varepsilon)\|_{C_{[t_{m+p}, t_{m+p+1}]}} \leq C \begin{cases} \frac{1}{k^3}, & p \leq k \\ \frac{1}{m^2}, & p \geq k+1 \end{cases} \quad (5.6.38)$$

$$s = 2k, 2k+1; \quad k = i_0 + 1, \dots, m-1.$$

**Доказательство.** Из (5.6.12), (5.6.14) при  $t \in [t_{m+k}, t_{m+k+1}]$  имеем

$$\begin{aligned} F_{m+2k+1}(t) &= \frac{t-\xi_{m+2k}}{\xi_{m+2k+1}-\xi_{m+2k}} - p(t) \frac{1}{\varepsilon} \int_{t_{m+k+1}}^t \frac{(\tau-\xi_{m+2k})d\tau}{\xi_{m+2k+1}-\xi_{m+2k}} = \\ &= \frac{t-\xi_{m+2k}}{\xi_{m+2k+1}-\xi_{m+2k}} + O\left(\frac{h_{m+k}}{\varepsilon}\right) = \frac{t-\xi_{m+2k}}{\xi_{m+2k+1}-\xi_{m+2k}} + O(1/k), \end{aligned}$$

так как в силу предложения 3  $h_{m+k} = O\left(\frac{\varepsilon}{2k}\right)$ . Представление (5.6.37) для  $t \in [t_{m+k}, t_{m+k+1}]$  доказано. Для  $F_{m+2k}(t)$  доказательство аналогично.

Положим

$$\begin{aligned}\delta_s(t, \varepsilon) &= D \left( \alpha_s H^* \left( \frac{t-1}{\varepsilon} \right) \Big|_{[t_{m+2}, t_{m+k}]} + \beta_s H^* \left( \frac{t-1}{\varepsilon} \right) \right) = \\ &= \alpha_s D H^* \left( \frac{t-1}{\varepsilon} \right) \Big|_{[t_{m+2}, t_{m+k}]} + \beta_s H^* \left( \frac{t-1}{\varepsilon} \right).\end{aligned}$$

Тогда из предложения 17 при  $p \leq k$  имеем

$$\|\delta_s(t, \varepsilon)\|_{C_{[t_{m+p}, t_{m+p+1}]}} \leq C \frac{p^3}{m^5} (\alpha_s + \beta_s),$$

откуда в силу (5.6.17), (5.6.18) при  $s = 2k$  или  $s = 2k + 1$

$$\|\delta_s(t, \varepsilon)\|_{C_{[t_{m+p}, t_{m+p+1}]}} \leq \frac{C}{k^3} + C \frac{k^2}{m^5} \leq \frac{C_1}{k_3},$$

и оценка (5.6.38) для случая  $p \leq k$  доказана.

В случае  $p \geq k + 1$  слагаемое с  $\alpha_s$  отсутствует, и поэтому

$$\|\delta_s(t, \varepsilon)\|_{C_{[t_{m+p}, t_{m+p+1}]}} \leq C \frac{p^3}{m^5} \beta_s \leq C \frac{p^3}{m^5 k} \leq \frac{C}{m^2}.$$

Предложение 21 доказано.

В дальнейшем нам будут нужны оценки функции  $F_s(t)$  в норме пространства  $L_1[0, 1]$ .

**Предложение 22.** Имеют место следующие оценки

$$\|F_s(t)\|_1 \leq \begin{cases} \frac{C}{m}, & 1 \leq s \leq m + 3 \\ C \frac{\varepsilon}{k}, & s = m + 2k, m + 2k + 1; k > 2, \end{cases} \quad (5.6.39)$$

где  $C$ , вообще говоря, зависит от  $i_0$ , но не зависит от  $\varepsilon$  и  $m$ .

**Доказательство.** Вначале установим неравенство (5.6.39) для  $1 \leq s \leq m + 2$ . В силу (5.6.28), (5.6.29) и того, что  $h_{p+m} = O\left(\frac{\varepsilon}{p}\right)$  (см. предложение 3) имеем

$$\|\nu_s\|_1 \leq C(t_{s+1} - t_{s-4})\varepsilon m \leq C_1\varepsilon, \quad (5.6.40)$$

$$\begin{aligned}\|\delta_s\|_1 &= \sum_{p=2}^{m-1} \int_{t_{m+p}}^{t_{m+p+1}} |\delta_s(t, \varepsilon)| dt \leq \\ &\leq \frac{C_1}{\varepsilon m^3} \sum_{p=2}^{m-1} \int_{t_{m+p}}^{t_{m+p+1}} dt \leq \frac{C_2}{m^3} \sum_{p=2}^{m-1} \frac{1}{p} \leq \frac{C_3}{m^3} (m-2) \leq \frac{C_4}{m^2}.\end{aligned} \quad (5.6.41)$$

Из (5.6.27), (5.6.28), (5.6.40), (5.6.41) и того, что  $\|N_{2,s-3}\|_1 = O(1/m)$ , получаем оценку (5.6.39) для  $1 \leq s \leq m+2$ . Для  $s = m+3$  эта оценка устанавливается аналогичным образом с помощью (5.6.34) - (5.6.36). Установим неравенство (5.6.39) для  $F_{m+2k}$ ,  $k = 2, 3, \dots, i_0$ . Воспользовавшись (5.6.31) - (5.6.34), имеем

$$\|F_{m+2k}\|_1 \leq \|D\mathcal{E}_{m+2k}^*\|_1 + \|\delta_s\|_1. \quad (5.6.42)$$

Далее, в силу (5.6.33) аналогично (5.6.41) получаем

$$\|\delta_{m+2k}\|_1 \leq \frac{C}{m^5 k} \sum_{p=2}^{m-1} p^3 \frac{\varepsilon}{p} \leq \frac{C_1 \varepsilon}{m^2 k} \leq C_1 \frac{\varepsilon}{k}. \quad (5.6.43)$$

Наконец, в силу (5.6.10) и определения оператора  $D$  имеем

$$\begin{aligned} \|D\mathcal{E}_{m+2k}^*\|_1 &\leq \varepsilon \|\mathcal{E}_{m+2k}^{*'}\|_1 + \|p(t)\mathcal{E}_{m+2k}^*\|_1 \leq \\ &\leq 2\varepsilon + C(h_{m+k-1} + h_{m+k}) \leq C\varepsilon \leq C \frac{i_0 \varepsilon}{k} \leq C_1 \frac{\varepsilon}{k}. \end{aligned} \quad (5.6.44)$$

Из (5.6.42)-(5.6.44) получаем (5.6.39) для  $F_{m+2k}$  ( $k = 2, 3, \dots, i_0$ ). Аналогично получается неравенство для  $F_{m+2k+1}$  ( $k = 2, 3, \dots, i_0$ ).

Для  $s = m + 2k, m + 2k + 1$ ;  $k \geq i_0 + 1$  оценка (5.6.39) получается из (5.6.37), (5.6.38) так же, как и для других  $s$ . Предложение 22 доказано.

**Замечание 5.1** В дальнейшем ради краткости будем считать, что в формулах (5.6.27), (5.6.34)  $p(t) \equiv 1$ . Это предположение не ограничивает общности, поскольку  $p(t) \geq p_0 > 0$ ,  $p(t) = p(t_s) + O(1/m)$  для  $t \in \text{supp } B_{2,s-3}$ , и нужное представление может быть получено умножением функций  $F_s(t)$  на нормирующий множитель  $1/p(t_s)$ . При этом свойства функций  $F_s(t)$ , очевидно, не изменяется.

Наконец, вычислим значения функций  $D\mathcal{E}_s^*(t)$ ,  $s = m + 2k, m + 2k + 1$ ;  $2 \leq$

$k \leq i_0$  в точках коллокации. Пусть  $t_1 = 0.5 + \sqrt{3}/6$ ,  $t_2 = 0.5 - \sqrt{3}/6$ . Тогда

$$\begin{aligned}
D\mathcal{E}_{m+2k}^*(\xi_{m+2k}) &= \frac{2\varepsilon t_1}{h_{m+k}} + p(\xi_{m+2k})t_1^2, \\
D\mathcal{E}_{m+2k}^*(\xi_{m+2k+1}) &= \frac{2\varepsilon t_2}{h_{m+k}} + p(\xi_{m+2k+1})t_2^2, \\
D\mathcal{E}_{m+2k}^*(\xi_{m+2k-1}) &= -\frac{2\varepsilon t_1}{h_{m+k-1}} + p(\xi_{m+2k-1})t_1^2, \\
D\mathcal{E}_{m+2k}^*(\xi_{m+2k-2}) &= -\frac{2\varepsilon t_2}{h_{m+k-1}} + p(\xi_{m+2k-2})t_2^2, \\
D\mathcal{E}_{m+2k+1}^*(\xi_{m+2k}) &= -\frac{\varepsilon\sqrt{3}}{3h_{m+k}} + \frac{p(\xi_{m+2k})}{6}, \\
D\mathcal{E}_{m+2k+1}^*(\xi_{m+2k+1}) &= \frac{\varepsilon\sqrt{3}}{3h_{m+k}} + \frac{p(\xi_{m+2k+1})}{6}.
\end{aligned} \tag{5.6.45}$$

## 5.7 Структура коллокационной матрицы

Матрицу  $\Phi = \|F_j(\xi_i)\|$  будем называть коллокационной. При построении фундаментальных базисов будут возникать СЛАУ с коллокационной матрицей. Поэтому ее надо хорошо изучить. В настоящем разделе мы докажем обратимость  $\Phi$  и некоторых ее блоков, а также получим оценки этих блоков.

Для изучения коллокационной матрицы разобьем индексы на три группы:

$$\begin{aligned}
I_1 &= \{1, 2, \dots, m+3\} \\
I_2 &= \{m+4, \dots, m+2i_0+1\} \\
I_3 &= \{m+2i_0+1, \dots, 3m-1\}.
\end{aligned}$$

В соответствии с этим введем три группы точек коллокации и базисных функций

$$\begin{cases} \Gamma_j = \{\xi_i\}, & i \in I_j, j = 1, 2, 3; \\ T_j = \{F_i\}, & i \in I_j, j = 1, 2, 3. \end{cases}$$

Тогда коллокационную матрицу  $F$  можно представить в виде

$$\Phi = \begin{pmatrix} \Phi_{11} & \Phi_{12} & \Phi_{13} \\ \Phi_{21} & \Phi_{22} & \Phi_{23} \\ \Phi_{31} & \Phi_{32} & \Phi_{33} \end{pmatrix}. \tag{5.7.1}$$





Таким образом, матрица  $\Phi_{22}$  является блочно-двухдиагональной с блоками  $2 \times 2$ . Более того, обратные матрицы к блокам, стоящим на главной диагонали, равномерно ограничены по  $\varepsilon$ ,  $m$  и  $i_0$ . Имеет место

**Предложение 23.** При достаточно малых  $\varepsilon$  и  $1/m$  матрицы  $\Phi_{22}$  обратимы, причем

$$\|\Phi_{22}^{-1}\|_{l_p \rightarrow l_p} \leq C i_0, \quad p = 1, \infty, \quad (5.7.8)$$

где  $C$  не зависит от  $i_0$ .

Для доказательства нужно воспользоваться блочным методом Гаусса.

Рассмотрим матрицу  $\Phi_{23}$ . Ее элементы определяются значениями функций  $\delta_{m+2k}(t, \varepsilon)$ ,  $\delta_{m+2k+1}(t, \varepsilon)$ ,  $k \geq i_0+1$  в точках коллокации группы  $\Gamma_2$ . Поэтому из (5.6.38) вытекает, что матрица  $\Phi_{23}$  имеет вид

$$\Phi_{23} = \begin{pmatrix} O\left(\frac{1}{i_0^3} + \frac{1}{m^2}\right) & O\left(\frac{1}{(i_0+1)^3} + \frac{1}{m^2}\right) & \dots & O\left(\frac{1}{m^3} + \frac{1}{m^3}\right) \\ O\left(\frac{1}{i_0^3} + \frac{1}{m^2}\right) & O\left(\frac{1}{(i_0+1)^3} + \frac{1}{m^2}\right) & \dots & O\left(\frac{1}{m^3} + \frac{1}{m^3}\right) \\ \dots & \dots & \dots & \dots \\ O\left(\frac{1}{i_0^3} + \frac{1}{m^2}\right) & O\left(\frac{1}{(i_0+1)^3} + \frac{1}{m^2}\right) & \dots & O\left(\frac{1}{m^3} + \frac{1}{m^3}\right) \end{pmatrix}. \quad (5.7.9)$$

Учитывая, что число строк матрицы  $\Phi_{23}$  равно  $O(i_0)$ , получаем

$$\|\Phi_{23}\|_{l_p \rightarrow l_p} \leq C \left( \frac{1}{m} + \frac{1}{i_0^2} \right), \quad p = 1, \infty. \quad (5.7.10)$$

Рассмотрим теперь матрицу  $\Phi_{33}$ . Из предложения 21 следует, что она имеет вид

$$\Phi_{33} = I + \begin{pmatrix} O\left(\frac{1}{i_0} + \frac{1}{m^2}\right) & O\left(\frac{1}{i_0} + \frac{1}{m^2}\right) & O\left(\frac{1}{(i_0+1)^3} + \frac{1}{m^2}\right) & \dots & O\left(\frac{1}{m^3} + \frac{1}{m^2}\right) \\ O\left(\frac{1}{i_0} + \frac{1}{m^2}\right) & O\left(\frac{1}{i_0} + \frac{1}{m^2}\right) & O\left(\frac{1}{i_0+1} + \frac{1}{m^2}\right) & \dots & O\left(\frac{1}{m^3} + \frac{1}{m^2}\right) \\ O\left(\frac{1}{m^2}\right) & O\left(\frac{1}{i_0+1} + \frac{1}{m^2}\right) & O\left(\frac{1}{i_0+1} + \frac{1}{m^2}\right) & \dots & O\left(\frac{1}{m^3} + \frac{1}{m^2}\right) \\ \dots & \dots & \dots & \dots & \dots \\ O\left(\frac{1}{m^2}\right) & O\left(\frac{1}{m^2}\right) & O\left(\frac{1}{m^2}\right) & \dots & O\left(\frac{1}{m} + \frac{1}{m^2}\right) \end{pmatrix} \quad (5.7.11)$$

где  $I$  — единичная матрица. При малых  $1/i_0$ ,  $\varepsilon$ ,  $1/m$  матрица  $\Phi_{33}$  имеет строгое диагональное преобладание по строкам и столбцам и поэтому

$$\|\Phi_{33}^{-1}\|_{l_p \rightarrow l_p} \leq C, \quad p = 1, \infty. \quad (5.7.12)$$

**Замечание 6.1** Элементы матрицы  $\Phi_{32}$  определяют лишь функциями  $\delta_{m+2k}$ ,  $\delta_{m+2k+1}$  ( $2 \leq k \leq i_0$ ) и поэтому в силу (5.6.33) имеют оценку  $O\left(\frac{1}{m^2}\right)$ . Далее,

элементы матрицы  $\Phi_{21}$  и  $\Phi_{31}$  определяются лишь функциями  $\delta_s$  ( $s = 1, 2, \dots, m+3$ ), и в силу (5.6.28), (5.6.35) имеют место оценки  $O\left(\frac{1}{m^3\varepsilon} + \frac{|\ln \varepsilon|}{m^2}\right) = O\left(\frac{1}{m^3\varepsilon}\right)$ .

Таким образом, блоки коллокационной матрицы изучены. Приведем в заключение, некоторые важные следствия. Пусть

$$\tilde{\Phi} = \begin{pmatrix} \Phi_{22} & \Phi_{23} \\ \Phi_{32} & \Phi_{33} \end{pmatrix}.$$

**Предложение 24.** При достаточно малых  $\varepsilon, 1/m, 1/i_0, \varepsilon t$  матрица  $\tilde{\Phi}$  обратима, и

$$\|\tilde{\Phi}^{-1}\|_{l_p \rightarrow l_p} \leq C, \quad p = 1, \infty. \quad (5.7.13)$$

Более того, для элементов  $\phi_{i,j-1}$  матрицы  $\tilde{\Phi}^{-1}$  справедливы оценки имеет место оценка

$$|\phi_{i,j-1}| \leq \frac{C}{(1 + |i - j|)^2}. \quad (5.7.14)$$

**Доказательство.** Обратимость матрицы  $\tilde{\Phi}$  и оценки (5.7.13) вытекают из (5.7.12), (5.7.7), (5.7.9), (5.7.11) и неравенства

$$\|\Phi_{32}\|_{l_p \rightarrow l_p} \leq \frac{C}{m},$$

которое вытекает из замечания 6.1.

Заметим далее, что из оценок блоков матрицы  $\tilde{\Phi}$  вытекает, что элементы  $\phi_{ij}$  матрицы  $\tilde{\Phi}$  удовлетворяют оценкам вида (5.7.14). Но тогда (см. [38]) из (5.7.13) вытекает, что и элементы матрицы  $\tilde{\Phi}^{-1}$  удовлетворяют аналогичным оценкам. Предложение доказано.

**Предложение 25.** При достаточно малых  $\varepsilon, \varepsilon t, 1/m, 1/i_0$  матрица  $\Phi$  обратима.

Это утверждение следует из (5.7.11) и предложения 24.

## 5.8 Завершение доказательства теоремы 1 в случае ”укороченного” оператора

Как было показано ранее, для доказательства теоремы 1 достаточно установить существование в тестовых пространствах  $F$  биортогональных базисов  $\{H_i\}$ , элементы

которых удовлетворяют оценкам (5.6.5), (5.6.6). Будем искать функции  $H_i(t)$  в виде

$$H_i(t) = \sum_{k=1}^{3m-1} l_k^i F_k(t). \quad (5.8.1)$$

Пусть  $\mathcal{L}_i = (l_1^i, l_2^i, \dots, l_{3m-1}^i)$ ,  $e_i$  — единичный орт размерности  $3m - 1$ . Тогда из условий биортогональности  $H_i(\xi_j) = \delta_{ij}$  получаем, что столбец  $\mathcal{L}_i$  будет решением системы

$$\Phi \mathcal{L}_i = e_i, \quad (5.8.2)$$

где  $\Phi$  — коллокационная матрица, изученная в предыдущем разделе. Из ее обратимости вытекает однозначная разрешимость системы (5.8.2). Получим оценки элементов векторов  $\mathcal{L}_i$ .

Поскольку  $\Phi_{12} = 0$ ,  $\Phi_{13} = 0$ , то при  $i \geq m + 4$  получаем  $l_1^i = \dots = l_{m+3}^i = 0$ . Пусть  $\mathcal{L}^* = (l_{m+4}^i, \dots, l_{3m+1}^i)^T$  — столбец оставшихся компонент; тогда этот столбец будет решением системы

$$\tilde{\Phi} \mathcal{L}_i^* = e_i^*, \quad (5.8.3)$$

$e_i^*$  — ”обрезанный орт”. Из предложения 24 получаем, что для компонент решения системы (5.8.3) справедливы оценки

$$|l_i^j| \leq \frac{C}{(1 + |j - i|)^2}, \quad i \geq m + 4, \quad (5.8.4)$$

так как  $\mathcal{L}_i^*$  есть  $i$ -й столбец матрицы  $\Phi^{-1}$ . При этом

$$\mathcal{L}_i = (0, \mathcal{L}_i^*)^T, \quad i \geq m + 4. \quad (5.8.5)$$

Пусть теперь  $i < m + 4$ . Тогда представим вектор  $\mathcal{L}_i$  в виде  $\mathcal{L}_i = (\mathcal{L}_i^{**}, \mathcal{L}_i^*)^T$  ( $\dim \mathcal{L}_i^{**} = m + 3$ ). Для вектора  $\mathcal{L}_i^{**}$  получим систему

$$\Phi_{11} \mathcal{L}_i^{**} = e_i^{**}, \quad \mathcal{L}_i^{**} = (l_1^i, \dots, l_{m+3}^i)^T \quad 1 \leq i \leq m + 3 \quad (5.8.6)$$

откуда в силу ( ) имеем

$$\sum_{j=1}^{m+3} |l_j^i| \leq C. \quad (5.8.7)$$

Для отыскания  $\mathcal{L}_i^*$  имеем систему

$$\tilde{\Phi} \mathcal{L}_i^* = - \begin{pmatrix} \Phi_{21} \\ \Phi_{31} \end{pmatrix} \mathcal{L}_i^{**},$$

причем правая часть этой системы в силу (5.8.7) и замечания 6.1 оценивается в  $\|\cdot\|_1$  величиной порядка  $O(\frac{1}{\varepsilon m^2})$ . Таким образом

$$\|\mathcal{L}_i^*\|_1 \leq \frac{C}{\varepsilon m^2}. \quad (5.8.8)$$

Таким образом, получены оценки векторов  $\mathcal{L}_i$ . Оценим функции  $H_i(t)$ . При  $i \geq m+4$  из (5.8.4), (5.8.5) и предложений 24, 22 имеем

$$\begin{aligned} \|H_{m+2k}\|_1 &\leq \sum_{p=m+4}^{3m-1} |l_p^{m+2k}| \|F_p\| \leq \\ &\leq C \sum_{p=m+4}^{3m-1} \frac{\varepsilon}{(1 + |p - m - 2k|)^2 (p - m)}. \end{aligned}$$

Из последней оценки и неравенства

$$\sum_{q=1}^{\infty} \frac{1}{q(1 + |q - k|)^2} \leq \frac{C}{k}$$

вытекает неравенство (5.6.6). Для доказательства последнего неравенства сумму следует разбить на три части:

$$0 \leq q \leq [k/2], [k/2] < q \leq k, q \geq k + 1.$$

При  $i \leq m+3$ , учитывая (5.8.7), (5.8.8) и предложение 22, получаем

$$\begin{aligned} \|H_i\|_1 &\leq \sum_{k=1}^{m+3} |l_k^i| \max_{k \leq m+3} \|F_k\|_1 + \sum_{k=m+4}^{3m-1} |l_k^i| \max_{k \geq m+4} \|F_k\|_1 \leq \\ &\leq \frac{C}{m} + \frac{C_1}{m^2 \varepsilon} \varepsilon \leq \frac{C_2}{m}, \end{aligned}$$

и доказаны неравенства (5.6.5). Тем самым теорема 1 доказана в частном случае.

## 5.9 Доказательство теоремы 1 в общем случае

Как уже отмечалось ранее, построение и изучение биортогональных базисов в случае  $q(t) \not\equiv 0$  становится трудной задачей и применение использованной выше техники в общем случае весьма затруднительно. Однако хорошо известно, что во многих случаях свойства дифференциальных уравнений и их дискретизаций определяются свойствами членов, содержащих старшие производные. Точнее говоря, если некоторое утверждение справедливо для "укороченного" оператора, а исходный

оператор обратим, то это утверждение или его аналог имеет место и для последнего. При исследовании нежестких задач эта идея лежит в основе ставшего уже классическим метода компактной аппроксимации [42]. Мы докажем теорему 1 в общем случае, сочетая идеи метода компактной аппроксимации и технику интерполяционных проекторов, разработанную в данной книге.

### 5.9.1 Схема доказательства теоремы 1

Рассмотрим коллокационную задачу (5.1.3) в общем случае. Запишем ее в виде

$$\mathcal{L}[U(\xi_i) - u_m(\xi_i)] = w(\xi_i), \quad i = 1, 2, \dots, 3m - 1, \quad (5.9.1)$$

где в силу леммы 2

$$w(\xi_s) = \begin{cases} O\left(\frac{1}{m^3}\right), & s = 1, 2, m + 1, m + 2, m + 3 \\ O\left(\frac{1}{m^4}\right), & s = 3, 4, \dots, m \\ O\left(\frac{k}{\varepsilon m^5} + \frac{1}{m^3 k^3} + \frac{1}{m^4}\right), & s = m + 2k, m + 2k + 1; \\ & k = 2, 3, \dots, m - 1. \end{cases} \quad (5.9.2)$$

Перепишем уравнения (5.9.1) в виде

$$\mathcal{L}^*(U - u_m)|_{t=\xi_i} = [q(u_m - U) + w]|_{t=\xi_i}, \quad 1 \leq i \leq 3m - 1, \quad (5.9.3)$$

где  $\mathcal{L}^*$  — оператор (5.1.2) в случае  $q(t) \equiv 0$ . Такой оператор рассматривался в предыдущих параграфах. Используя проектор  $P$ , введенный ранее и обозначая  $V_m = U - u_m$ , получим, что система (5.9.3) эквивалентна следующему операторному уравнению в пространстве  $F$

$$\mathcal{L}^*V_m = -PV_m + Pw.$$

Применяя к обеим частям последнего уравнения оператор  $(\mathcal{L}^*)^{-1}$ , перейдем к эквивалентному уравнению

$$[I - (\mathcal{L}^*)^{-1}Pq]U_m = W_m, \quad (5.9.4)$$

где  $W_m = (\mathcal{L}^*)^{-1}w$ .

Заметим, что из (5.9.2) аналогично (5.6.7) следует, что  $\|w\|_1 \leq \frac{C}{m^4}$ . Поэтому, учитывая, что в силу предложения 1

$$\|(\mathcal{L}^*)^{-1}\|_{L_1 \rightarrow C} \leq C,$$

получаем оценку

$$\|W_m\|_C \leq \frac{C}{m^4}. \quad (5.9.5)$$

Из (5.9.4), (5.9.5) и замечания 4.1 вытекает, что для доказательства теоремы 1 достаточно установить обратимость оператора  $I - (\mathcal{L}^*)^{-1}Pq$  и оценку

$$\|(I - (\mathcal{L}^*)^{-1}Pq)^{-1}\|_{C \rightarrow C} \leq C \left( P = P(\varepsilon, m), \mathcal{L}^* = \mathcal{L}^*(\varepsilon, m) \right) \quad (5.9.6)$$

Доказывать (5.9.6) будем от противного. Предположим, что найдутся такие последовательности чисел  $\varepsilon_n \rightarrow 0$ ,  $m_n \rightarrow \infty$  ( $\varepsilon_n |\ln \varepsilon_n| m_n \rightarrow 0$ ) и функций  $\zeta_n$  ( $\|\zeta_n\|_C = 1$ ), что

$$\|\zeta_n - (\mathcal{L}^*(\varepsilon, m))^{-1}P(\varepsilon_n, m_n)q\zeta_n\|_{C_{[0,1]}} \rightarrow 0. \quad (5.9.7)$$

В стандартных для применения метода компактной аппроксимации ситуациях операторы  $P(\varepsilon_n, m_n)$  оказываются равномерно ограниченным в норме  $C \rightarrow C$ , а операторы  $(\mathcal{L}^*(\varepsilon_n, m_n))^{-1}$  в каком-нибудь смысле сходятся при  $n \rightarrow \infty$  к компактному предельному оператору. В результате последовательность  $(\mathcal{L}^*(\varepsilon_n, m_n))^{-1}P(\varepsilon_n, m_n)q\zeta_n$  оказывается компактной (т.е. из нее можно выделить сходящуюся в  $C_{[0,1]}$  подпоследовательность). Извлекая сходящуюся подпоследовательность, в пределе получаем, что  $\zeta^* - G_0 q \zeta_i^* = 0$ , где  $\zeta^*$  — предел последовательности. Если предельный оператор  $(I - G_0 q)$  обратим, то в силу  $\|\zeta^*\|_{C_{[0,1]}} = 1$  последнее приводит к противоречию.

В нашем случае в рамках этой схемы не выполнено два условия. Во-первых, операторы  $P(\varepsilon_n, m_n)$  не удовлетворяют, вообще говоря, свойству равномерной ограниченности в  $C_{[0,1]}$  (Это можно получить из представления (5.6.2) и того, что  $\|H_i\|_{C_{[0,1]}}$  могут стремиться при  $\varepsilon \rightarrow 0$  к бесконечности). Во-вторых, не выполнено условие сходимости  $\mathcal{L}^{-1}(\varepsilon_n, m_n)$  к предельному компактному оператору. Операторы  $\mathcal{L}^{-1}(\varepsilon_n, m_n)$  при малых  $\varepsilon_n$ ,  $1/m_n$  оказываются близкими к интегральным операторам  $G = \mathcal{L}^{-1}$ , ядра которых  $G_\varepsilon(t, \xi)$  при фиксированном  $\xi$  не удовлетворяют условию равномерной непрерывности равномерно по  $\varepsilon$ . В результате теорема Арцела не работает, и получить компактность последовательности  $(\mathcal{L}(\varepsilon_n, m_n))^{-1}P(\varepsilon_n, m_n)q\zeta_n$  не удается.

Заметим однако, что, во-первых, источником неограниченности проекторов  $P(\varepsilon_n, m_n)$  являются значения функций  $H_i(t)$  при  $t \in [t_{m_n+1}, 1]$ . Если рассмотреть "обрезанные" проекторы

$$\mathcal{P}(\varepsilon_n, m_n)u = \sum_{i=1}^{3m-1} u(\xi_i)H_i^*(t) \equiv \sum_{i=1}^{m+3} u(\xi_i)H_i^*(t) \quad (5.9.8)$$

(где  $H_i^*(t)$  — сужения  $H_i(t)$  на  $[0, t_{m_{n-1}}]$ ,  $H_i^*(t) \equiv 0$  при  $i \geq m+4$  в силу (5.6.2), (5.8.5) и предложений 18, 20) то, как будет показано, они уже равномерно ограничены в норме из  $C_{[0, t_{m_{n+1}}]}$  в  $C_{[0, t_{m_{n+1}}]}$ . Во-вторых, сужение функций  $(\mathcal{L}(\varepsilon_n, m_n))^{-1}P(\varepsilon_n, m_n)q\zeta_n$  на отрезок  $[0, 1 - \delta]$  для любого  $\delta > 0$  уже обладают свойством равностепенной непрерывности, т. е. источник особенности сосредоточен в сколь угодно малой окрестности точки  $t = 1$ .

Сочетание этих фактов с идеей компактной аппроксимации позволяет доказать теорему 1. В последующих пунктах исследуются необходимые свойства проектора (5.9.8) и завершается доказательство теоремы.

## 5.9.2 Свойства проекторов $\mathcal{P}(\varepsilon, m)$

Обозначим сужения функций  $H_i(t)$  на отрезок  $[0, t_{m+1}]$  через  $H_i^*$  ( $1 \leq i \leq m+3$ ).

**Предложение 26.** Существует такое  $q \in (0, 1)$ , что справедливы оценки

$$\|H_i^*\|_{C_{[t_s, t_{s+1}]}} \leq Cq^{|s-i|}, \quad 0 \leq s \leq m, \quad 1 \leq i \leq m+3. \quad (5.9.9)$$

**Доказательство.** Поскольку при  $s \geq m+4$   $F_s(t) \equiv 0$  на  $[0, t_{m+1}]$  (см. предложения 18, 20), то из (5.6.2) будем иметь

$$H_i^* = \sum_{k=1}^{m+3} l_k^i F_k^*(t), \quad (5.9.10)$$

где через  $F_k^*(t)$  обозначены сужения функций  $F_k(t)$  на  $[0, t_{m+1}]$ .

Отметим, что вектор  $\mathcal{L}_i^{**} = (l_1^i, l_2^i, \dots, l_{m+1}^i)^T$  — решение системы

$$\Phi_{11}\mathcal{L}_i^{**} = e_i, \quad (5.9.11)$$

где  $\Phi_{11}$  — трехдиагональная матрица, и  $\|\Phi^{-1}\|_{l_1 \rightarrow l_1} \leq C$  в силу (5.8). Поэтому из результатов Демко [5] для элементов  $\phi_{i,j-1}$  матрицы  $\Phi_{11}^{-1}$  будем иметь оценку

$$|\phi_{i,j-1}| \leq Cq^{|i-j|}, \quad 0 \leq q \leq 1. \quad (5.9.12)$$

Из (5.9.11), (5.9.12) получаем

$$|l_k^i| \leq Cq^{|k-i|}. \quad (5.9.13)$$

Наконец, отметим, что в силу предложений 18, 20

$$\|F_k^*\|_{C_{[0, t_{m+1}]}} \leq C. \quad (5.9.14)$$

Поэтому из (5.9.10), (5.9.13), (5.9.14) получаем

$$\|H_i^*\|_{C_{[t_s, t_{s+1}]}} \leq C_1 \sum_{k=s-2}^s q^{|k-i|} \leq C_1 q^{|s-i|}. \quad (5.9.15)$$

Предложение доказано.

Определим проектор  $\mathcal{P} = \mathcal{P}(\varepsilon, m)$  равенством (5.9.8). Мы будем рассматривать его как оператор в пространстве  $C_{[0, t_{m+1}]}$ . Отметим, что функции  $F_i$ , а, значит, и  $H_i$  непрерывны на  $[0, t_{m+1}]$ , и поэтому  $\mathcal{P}$  действительно действует в  $C_{[0, t_{m+1}]}$ , в то время как  $P$  действует в  $\tilde{C}_{[0,1]}$ .

Из предложений 18, 20 и определения функций (см. (5.6.2)) вытекает следующее утверждение.

**Предложение 27.** Оператор  $\mathcal{P}$  переводит пространство  $C_{[0, t_{m+1}]}$  в линейную оболочку  $\mathcal{L}(F_1^*, F_2^*, \dots, F_{m+3}^*)$  функций

$$F_i^* = p(t)N_{2, i-3}(t) + \nu_i(t), \quad 1 \leq i \leq m+3, \quad (5.9.16)$$

где

$$\text{supp } \nu_s \subset \begin{cases} [t_{s-4}, t_{s+1}], & s \leq m-1 \\ [t_{s-4}, t_s], & m \leq s \leq m+2. \end{cases}$$

$$\|\nu_s\|_C \leq C(\varepsilon m + 1/|\ln \varepsilon|).$$

**Предложение 28.** Существует такая константа  $C > 0$ , что при всех  $\varepsilon$  и  $m : \varepsilon m |\ln \varepsilon| \ll 1$  справедлива оценка

$$\|\mathcal{P}\|_{C \rightarrow C} \leq C. \quad (5.9.17)$$

Доказательство непосредственно вытекает из (5.9.14) и (5.9.8), (5.9.10).

**Предложение 29.** Пусть  $\zeta(t)$  — произвольная функция из  $C_{[0,1]}$ , а  $\zeta_m(t)$  — ее сужение на  $[0, t_{m+1}]$ . Тогда

$$\|\mathcal{P}(\varepsilon, m)\zeta_m - \zeta_m\|_{C_{[0, t_{m+1}]}} \rightarrow 0 \quad (5.9.18)$$

при  $\varepsilon \rightarrow 0, m \rightarrow \infty, \varepsilon m |\ln \varepsilon| \rightarrow 0$ .

**Доказательство.** Имеем

$$\|\mathcal{P}(\varepsilon, m)\zeta_m - \zeta_m\|_{C_{[0, t_{m+1}]}} =$$



$$\begin{aligned}
&= \|\mathcal{P}(\varepsilon, m)(\zeta_m - \zeta_m^*) - \\
&\quad - (\zeta_m - \zeta_m^*)\|_{C_{[0, t_{m+1}]}} \leq \\
&\leq \left(1 + \|\mathcal{P}\|_{C \rightarrow C}\right) \|\zeta_m - \zeta_m^*\|_{C_{[0, t_{m+1}]}}
\end{aligned}$$

для любой  $\zeta_m^* \in \mathcal{L}(F_1^*, \dots, F_{m+3}^*)$ . Поэтому, учитывая (5.9.17), для доказательства (5.9.18) достаточно установить, что

$$\inf_{\zeta^* \in \mathcal{L}(F_1^*, \dots, F_{m+3}^*)} \|\zeta - \zeta^*\|_{C_{[0, t_{m+1}]}} \rightarrow 0 \quad (5.9.19)$$

при  $\varepsilon \rightarrow 0, m \rightarrow \infty : \varepsilon m |\ln \varepsilon| \rightarrow 0$ .

Поскольку множество гладких функций плотно в  $C_{[0,1]}$ , то (5.9.19) достаточно установить для гладкой функции  $\zeta(t)$ . Представим  $\zeta_m$  в виде  $\zeta_m = p(t)\kappa(t)$ . Будем искать ее аппроксимацию в  $\mathcal{L}(F_1^*, \dots, F_{m+3}^*)$  в виде

$$\zeta_m^* = \sum_{i=1}^{m+3} \beta_i F_i^* = \sum_{i=1}^{m+3} \beta_i (\nu_i(t, \varepsilon) + p(t)N_{2,i-3}(t)). \quad (5.9.20)$$

Так как  $\zeta(t)$  и  $p(t)$  достаточно гладкие и  $p(t) \geq p_0 > 0$ , то гладкой будет и функция  $\kappa(t)$ . Поэтому в силу теоремы К. де Бора (см. раздел 1.1.5) найдется такой набор констант  $\beta_1, \beta_2, \dots, \beta_{m+3}$ , что

$$\left\| \kappa(t) - \sum_{i=1}^{m+3} \beta_i N_{2,i-3} \right\|_{C_{[0, t_{m+1}]}} \leq \frac{C}{m}, \quad (5.9.21)$$

причем в силу равномерной линейной независимости  $B$ -сплайнов.

$$\max_i |\beta_i| \leq C_1. \quad (5.9.22)$$

Из (5.9.20)-(5.9.22), (5.9.16) получаем оценку

$$\begin{aligned}
\|\zeta^* - \zeta_m\|_{C_{[0, t_{m+1}]}} &= \left\| \sum_{i=1}^{m+3} \beta_i (\nu_i + p(t)N_{2,i-3}) - p(t)\kappa \right\|_{C_{[0, t_{m+1}]}} \leq \\
&\leq \varepsilon \left\| \sum_{i=1}^{m+3} \beta_i \nu_i \right\|_{C_{[0, t_{m+1}]}} + \|p\|_{C_{[0, t_{m+1}]}} \left\| \sum_{i=1}^{m+3} \beta_i N_{2,i-3} - \kappa \right\|_{C_{[0, t_{m+1}]}} \leq \\
&\leq C_1 (\varepsilon m + 1/|\ln \varepsilon| + 1/m).
\end{aligned}$$

Тем самым доказана оценка (5.9.19), а вместе с ней и предложение 29.

**Предложение 30.** Пусть при  $m \rightarrow \infty$  последовательность функций  $\zeta_m \in C_{[0, t_{m+1}]}$  такова, что  $\|\zeta_m\|_C \leq 1$ , причем для некоторой последовательности  $\delta_m \rightarrow 0$ ,  $\varepsilon_m m |\ln \varepsilon_m| \rightarrow 0$

$$\|\zeta_m\|_{C_{[0, t_{m+1} - \delta_m]}} \rightarrow 0. \quad (5.9.23)$$

Тогда

$$\|\mathcal{P}(\varepsilon_m, m)\zeta_m\|_1 \rightarrow 0.$$

**Доказательство.** Поскольку точки  $\xi_i$  при  $1 \leq i \leq m+3$  равномерно распределены на отрезке  $[0, t_{m+1}]$ , то из (5.9.23) и неравенства  $|\zeta_m(\xi_i)| \leq 1$  вытекает, что при  $m \rightarrow \infty$

$$\frac{1}{m+3} \sum_{i=1}^{m+3} |\zeta_m(\xi_i)| \rightarrow 0.$$

Отсюда и из (5.9.14), (5.9.2) получаем

$$\begin{aligned} \|\mathcal{P}(\varepsilon, m)\zeta_m\|_1 &= \left\| \sum_{i=1}^{m+3} \zeta_m(\xi_i) H_i^* \right\|_1 \leq \sum_{i=1}^{m+3} |\zeta_m(\xi_i)| \|H_i^*\|_1 = \\ &= \sum_{i=1}^{m+3} |\zeta_m(\xi_i)| \left( \sum_{s=0}^m \int_{t_s}^{t_{s+1}} |H_i^*(t)| dt \right) \leq C_1 \sum_{i=1}^{m+3} |\zeta_m(\xi_i)| \sum_{s=0}^m h_s q^{|s-i|} \leq \\ &\leq \frac{C_2}{m} \sum_{i=1}^{m+3} |\zeta_m(\xi_i)| \sum_{s=0}^m q^{|s-i|} \leq \\ &\leq \frac{C_3}{m} (m+3) \frac{1}{m+3} \sum_{i=1}^{m+3} |\zeta_m(\xi_i)| \leq \frac{C_4}{m+3} \sum_{i=1}^{m+3} |\zeta_m(\xi_i)| \rightarrow 0. \end{aligned}$$

при  $m \rightarrow \infty$ , и предложение доказано.

Введем в рассмотрение еще один вспомогательный проектор. Пусть

$$\mathcal{P}u = \begin{cases} \mathcal{P}\tilde{u}(t), & t \in [0, t_{m_n+1}] \\ 0, & t \in (t_{m_n+1}, 1], \end{cases} \quad (5.9.24)$$

где  $\tilde{u}(t)$  — сужение функции  $u(t) \in C_{[0,1]}$  на отрезок  $[0, t_{m_n+1}]$ ,  $\mathcal{P} = \mathcal{P}(\varepsilon_n, m_n)$  — оператор (5.9.8).

**Предложение 31.** Пусть  $\|\zeta_n\|_C = 1$ ,  $\varepsilon_n \rightarrow 0$ ,  $m_n \rightarrow \infty$ ,  $\varepsilon_n m_n |\ln \varepsilon_n| \rightarrow 0$ . Тогда при  $n \rightarrow \infty$

$$\|(\mathcal{L}^*(\varepsilon_n, m_n))^{-1}(\mathcal{P}(\varepsilon_n, m_n) - \mathcal{P}^*(\varepsilon_n, m_n)q\zeta_n)\|_{C_{[0,1]}} \rightarrow 0. \quad (5.9.25)$$

**Доказательство.** Пусть  $\kappa_n = (P(\varepsilon_n, m_n) - \mathcal{P}^*(\varepsilon_n, m_n))q\zeta_n$ . Тогда из (5.9.24) вытекает, что

$$\kappa_n = \begin{cases} P(\varepsilon_n, m_n)q\zeta_n(t), & t \in [t_{m_n+1}, 1] \\ 0, & t \notin [t_{m_n+1}, 1]. \end{cases}$$

Учитывая (5.6.2), отсюда получаем

$$\|\kappa_n\|_{\tilde{C}_{[0,1]}} = \|P(\varepsilon_n, m_n)q\zeta_n\|_{\tilde{C}_{[t_{m_n+1}, 1]}} = \left\| \sum_{i=1}^{3m-1} q\zeta_n(\xi_i)H_i \right\|_{\tilde{C}_{[t_{m_n+1}, 1]}} \quad (5.9.26)$$

Но из (5.8.1), (5.8.7), (5.8.8) и неравенств

$$\|F_k\|_{\tilde{C}} \leq C (k \geq m+4), \quad \|F_k\|_{\tilde{C}} \leq C(1 + \frac{m_n^3}{\varepsilon_n}) (k \leq m+3)$$

вытекающих из предложений 18, 20, получаем оценки

$$\|H_i\|_{\tilde{C}_{[0,1]}} \leq C[1 + \frac{1}{m_n^2\varepsilon_n}].$$

Так как  $\|\zeta_n\|_C = 1$ , то отсюда и из (5.9.26) имеем

$$\|\kappa_n\|_{\tilde{C}_{[0,1]}} \leq C_1(3m-1)(1 + \frac{1}{m_n^2\varepsilon_n}) \leq C_2(m_n + \frac{1}{m_n\varepsilon_n}). \quad (5.9.27)$$

Учитывая, что  $mes \text{ supp } \kappa_n = 1 - t_{m_n+1} = O(\varepsilon_n \ln m_n)$  и из (5.9.27) получаем при  $n \rightarrow \infty$

$$\|\kappa_n\| \leq C_2\varepsilon_n \ln m_n \left( m_n + \frac{1}{m_n\varepsilon_n} \right) = C_2 \left( \varepsilon_n m_n \ln m_n + \frac{\ln m_n}{m_n} \right) \rightarrow 0.$$

В силу предложения 1  $\|(\zeta^*)^{-1}\|_{L_1 \rightarrow C} \leq C$ . Поэтому из последнего равенства вытекает (5.9.25). Предложение 31 доказано.

### 5.9.3 Завершение доказательства теоремы 1

Вернемся к доказательству теоремы. Мы закончили тем, что от противного предположили справедливость формулы (5.9.7). Из (5.9.7), в частности, вытекает, что

$$\left\| \zeta_n - (\mathcal{L}^*(\varepsilon_n, m_n))^{-1}P(\varepsilon_n, m_n)q\zeta_n \right\|_{C_{[0, t_{m_n+1}]}} \rightarrow 0. \quad (5.9.28)$$

Очевидно, имеем

$$\begin{aligned} (\mathcal{L}^*(\varepsilon_n, m_n))^{-1}P(\varepsilon_n, m_n)q\zeta_n &= (\mathcal{L}^*(\varepsilon_n, m_n))^{-1}\mathcal{P}^*(\varepsilon_n, m_n)q\zeta_n + \\ &+ (\mathcal{L}^*(\varepsilon_n, m_n))^{-1}(P(\varepsilon_n, m_n) - \mathcal{P}^*(\varepsilon_n, m_n))q\zeta_n, \end{aligned} \quad (5.9.29)$$

где  $\mathcal{P}^*$  — оператор (5.9.24).

Из (5.9.7), (5.9.29), (5.9.25) следует, что при  $n \rightarrow \infty$

$$\|\zeta_n - (\mathcal{L}^*(\varepsilon_n, m_n))^{-1} \mathcal{P}^*(q\zeta_n)\|_{C_{[0,1]}} \rightarrow 0. \quad (5.9.30)$$

Отметим еще одно свойство функции  $\zeta_n$ .

**Предложение 32.** Найдутся такие числа  $\delta \in (0, \frac{1}{2})$ ,  $\nu_0 > 0$ , что для всех  $n$

$$\|\zeta_n\|_{C_{[0,1-\delta]}} \geq \nu_0. \quad (5.9.31)$$

Доказательство. Предположим противное. Тогда последовательности  $q\zeta_n$  будут удовлетворять условиям предложения 30, и в силу этого и (5.9.24) будем иметь  $\|\mathcal{P}^*q\zeta_n\|_1 \rightarrow 0$  при  $n \rightarrow \infty$ . Отсюда в силу предложения 1  $\|\mathcal{L}^{*-1}\mathcal{P}^*q\zeta_n\|_{C_{[0,1]}} \rightarrow 0$  при  $n \rightarrow \infty$ . Но последнее противоречит (5.9.30) и тому, что  $\|\zeta_n\|_C = 1$ . Предложение доказано.

Далее заметим, что из (5.9.18), (5.9.24) и того, что  $\|\zeta_n\|_C = 1$ , вытекает оценка  $\|\mathcal{P}^*q\zeta_n\|_{C_{[0,1]}} \leq C$ ; отсюда в силу (5.9.30) и следствия 1 при  $n \rightarrow \infty$  имеем

$$\|\zeta_n - G\mathcal{P}^*(\varepsilon_n, m_n)q\zeta_n\|_{C_{[0,t_{m_n+1}]}} \rightarrow 0. \quad (5.9.32)$$

Обозначим через  $\tilde{\zeta}_n$  и  $\tilde{q}$  сужения функций  $\zeta_n$  и  $q$  на отрезок  $[0, t_{m_n+1}]$ , через  $G_{\varepsilon_n}^*$  — интегральный оператор с ядром

$$G(t, \xi) = G_{\varepsilon_n}(t, \xi), \quad (0 \leq t \leq t_{m_n+1}, 0 \leq \xi \leq t_{m_n+1}).$$

Тогда из (5.9.32), (5.9.24) при  $n \rightarrow \infty$  имеем

$$\|\tilde{\zeta}_n - G_{\varepsilon_n}^* \mathcal{P}(\varepsilon_n, m_n) \tilde{q} \tilde{\zeta}_n\|_{C_{[0,t_{m_n+1}]}} \rightarrow 0. \quad (5.9.33)$$

Так как в силу (5.9.18)  $\|\mathcal{P}(\varepsilon_n, m_n) \tilde{q} \tilde{\zeta}_n\|_C \leq C$ , то из оценок (5.3.6) функции Грина  $G_{\varepsilon_n}(t, \xi)$  получаем

$$\left\| \frac{d}{dt} (G_{\varepsilon_n}^* \mathcal{P} \tilde{q} \tilde{\zeta}_n) \right\|_{C_{[0,t_{m_n}]}} \leq C. \quad (5.9.34)$$

Поскольку при  $n \rightarrow \infty$   $t_{m_n} \rightarrow 1$ , то в силу (5.9.34) и теоремы Арцела последовательность функций

$$\mu_n(t) = G_{\varepsilon_n}^* \mathcal{P}(\varepsilon_n, m_n) \tilde{q} \tilde{\zeta}_n(t) \quad (5.9.35)$$

будет компактной в  $C_{[0,1-\delta]}$  при любом  $\delta \in (0, 1/2)$ . Без ограничения общности будем считать, что последовательность  $\mu_n$  сходится в  $C_{[0,1-\delta]}$  к функции  $\mu_\delta(t)$ , причем, если  $\delta_1 < \delta_2$ , то  $\mu_{\delta_1}(t) \equiv \mu_{\delta_2}(t)$  для  $t < 1 - \delta_2$ . Выберем две последовательности  $\delta_n \rightarrow 0$  :  $1 - \delta_n \leq t_n$ ,  $\nu_n \rightarrow 0$  и сформируем подпоследовательность  $\mu_{k_n} \in C_{[0,1-\delta_n]}$  :  $\|\mu_{k_n} - \mu_{\delta_n}\|_{C_{[0,1-\delta_n]}} \leq \nu_n$ . Без ограничения общности можно считать, что при  $n \rightarrow \infty$

$$\|\mu_n - \mu_{\delta_n}\|_{C_{[0,1-\delta_n]}} \leq \nu_n \rightarrow 0. \quad (5.9.36)$$

Переходя к пределу при  $n \rightarrow \infty$ , получаем функцию

$$\mu \in L_\infty[0, 1] \cap C[0, 1 - \delta]$$

для любого  $\delta \in (0, 1/2)$ ,  $\mu(t) \equiv \mu_\delta(t)$  для  $t \in [0, 1 - \delta]$ .

**Предложение 33.** Функция  $\mu(t)$  отлична от тождественного нуля на отрезке  $[0, 1]$ . **Доказательство.** Предположим противное, т.е.  $\mu(t) \equiv 0$ . Тогда в силу (5.9.36) и того, что  $\mu(t) = \mu_{\delta_n}(t)$  для  $t \in [0, 1 - \delta_n]$  для любого  $\delta \in (0, 1/2)$  получаем

$$\|\mu_n\|_{C_{[0,1-\delta]}} \rightarrow 0. \quad (5.9.37)$$

Далее из (5.9.33), (5.9.35), (5.9.36) следует, что  $\|\tilde{\zeta}_n\|_{C_{[0,1-\delta]}} \rightarrow 0$ . Поэтому, учитывая, что  $\tilde{\zeta}_n$  — сужение  $\zeta_n$ , получаем для любого  $\delta \in (0, 1/2)$

$$\|\zeta_n\|_{C_{[0,1-\delta]}} \rightarrow 0. \quad (5.9.38)$$

Последнее противоречит предложению 32. Предложение 33 доказано.

Заметим теперь, что в силу (5.9.35)

$$\begin{aligned} \|\mu - G_{\varepsilon_n}^*(q\zeta)\|_{C_{[0,1-\delta_n]}} &\leq \|\mu - \mu_n\|_{C_{[0,1-\delta_n]}} + \\ &+ \|G_{\varepsilon_n}^* \mathcal{P}(\varepsilon_n, m_n)q(\zeta_n - \mu)\|_{C_{[0,1-\delta_n]}} + \\ &+ \|G_{\varepsilon_n}^*(\mathcal{P}(q\zeta) - q\zeta)\|_{C_{[0,1-\delta_n]}}. \end{aligned} \quad (5.9.39)$$

Поскольку  $\mu = \mu_{\delta_n}(t)$  на  $[0, 1 - \delta_n]$ , то, учитывая (5.9.36) имеем

$$\|\mu(t) - \mu_n(t)\|_{C_{[0,1-\delta_n]}} \rightarrow 0 \quad (n \rightarrow \infty). \quad (5.9.40)$$

Затем, в силу предложения 1

$$\|G_{\varepsilon}^* \mathcal{P}(\varepsilon_n, m_n)(q(\tilde{\zeta}_n - \mu))\|_{C_{[0,1-\delta_n]}} \leq$$

$$\leq C \|\mathcal{P}(\varepsilon_n, m_n)(q(\tilde{\zeta}_n - \mu))\|_{L_1[0,1-\delta_n]}. \quad (5.9.41)$$

Из (5.9.33), (5.9.35), (5.9.40)  $\|\zeta_n - \mu\|_{C_{[0,1-\delta_n]}} \rightarrow 0$ . Поэтому из предложения 30  $\|\mathcal{P}(\varepsilon_n, m_n)(q(\tilde{\zeta}_n - \mu))\|_{L_1[0,1-\delta_n]} \rightarrow 0$  при  $n \rightarrow \infty$ . Значит, в силу (5.9.41) при  $n \rightarrow \infty$

$$\|G_{\varepsilon_n}^* \mathcal{P}(\varepsilon_n, m_n)(q(\tilde{\zeta}_n - \mu))\|_{C_{[0,1-\delta_n]}} \rightarrow 0. \quad (5.9.42)$$

Наконец, в силу предложений 1, 29 при  $n \rightarrow \infty$

$$\|\mu(t) - G^*(q\mu)(t)\|_{C_{[0,1-\delta_n]}} \rightarrow 0. \quad (5.9.43)$$

Осталось лишь заметить, что при  $t \in [0, 1 - \delta_n] \subset [0, t_{m_n+1}]$  из (5.3.7), (5.3.18)

$$\begin{aligned} & \int_0^1 |G_{\varepsilon_n}(t, \xi) - G_0(t, \xi)| d\xi \leq \\ & \leq C \left( \varepsilon_n + \exp\left(p_0 \frac{t_{m_n+1}-1}{\varepsilon}\right) \right) \leq C(\varepsilon_n + 1/m_n^5). \end{aligned}$$

Поэтому, учитывая (5.9.44) и замечание 1 имеем

$$\mu(t) = G_0(q\mu)(t), \quad (5.9.44)$$

причем  $\mu(t) \not\equiv 0$ . Но оператор  $I - G_0q$  обратим в  $L_\infty[0,1]$ , так как  $G_0(t, \xi)q(\xi)$  — вольтеррово ядро. Таким образом (5.9.6) доказано, и доказательство теоремы 1 завершено.

## Глава 6

# МЕТОДЫ КОНЕЧНЫХ ЭЛЕМЕНТОВ ГАЛЁРКИНА ДЛЯ ЛИНЕЙНЫХ И НЕЛИНЕЙНЫХ СИНГУЛЯРНО ВОЗМУЩЕННЫХ КРАЕВЫХ ЗАДАЧ

В настоящей главе мы рассмотрим метод конечных элементов (м.к.э.) Галеркина для нелинейных задач вида

$$-\varepsilon u'' + p(t, u)u' + q(t, u) = 0, u(0) = u(1) = 0 \quad (6.0.1)$$

и линейных задач вида

$$-\varepsilon u'' + p(t, \varepsilon)u' + q(t, \varepsilon)u = f(t), u(0) = u(1) = 0. \quad (6.0.2)$$

При этом производные коэффициентов задачи (6.0.2) могут при  $\varepsilon \rightarrow 0$  иметь особенности в зоне погранслоя.

Хорошо известно (см., например, [69, с. 291], [13]), что обычный вариант м.к.э. для линейных краевых задач вида (6.0.2), основанный на кусочно-линейных функциях на квазиравномерной сетке, при  $\varepsilon \rightarrow 0$  перестает сходиться. При этом могут возникать так называемые "паразитные осцилляции", в результате чего приближенное решение не имеет ничего общего с точным на всем отрезке  $[0, 1]$ , а не только в зоне погранслоя.

Для задач вида (6.0.2) с гладкими равномерно по  $\varepsilon$  коэффициентами имеется довольно много работ, посвященных методу конечных элементов Галеркина. В основном, они посвящены различным модификациям метода шарнирных элементов (м.ш.э.), предложенного в [64, 24]. С помощью м.ш.э. построены схемы, сходящиеся с первым порядком в  $C$ -норме и со вторым порядком в узлах разбиения равномерно по  $\varepsilon$ .

Суть м.ш.э. состоит в использовании равномерных, либо квазиравномерных сеток и функций вида  $C_i + \exp(p(t_i)(t - t_i)/\varepsilon)$  вместо линейных на каждом интервале разбиения  $(t_{i-1}, t_i)$ . Однако в области пограничного слоя такие функции при  $h_i \geq \varepsilon$  хорошо приближают решение лишь тогда, когда функция  $p$  не зависит от  $u$  и ограничена равномерно по  $\varepsilon$  вместе с первой производной. В связи с этим, м.ш.э. строго обоснован лишь для случая, когда  $p = p(t)$  и является гладкой функцией.

В настоящей главе предлагается вариант м.к.э., пригодный для решения задач вида (6.0.1), а также линейных задач вида (6.0.2), когда коэффициенты могут иметь особенности при малых  $\varepsilon > 0$ . Он основан на обычных кусочно-линейных функциях на неравномерной сетке Н.С.Бахвалова. Число узлов этой сетки не зависит от  $\varepsilon$ , а оценки погрешности получены в  $C$ -норме и имеют второй порядок точности равномерно по  $\varepsilon$ . В [30, §39] приведены результаты численного эксперимента по сравнению эффективности м.к.э. и м.ш.э.

В основе доказательства априорных оценок, как и в других главах, лежит метод галеркинских проекций и биортогональных базисов.

## 6.1 Постановки задач и основные результаты

### 6.1.1 Исходные задачи

Рассмотрим на отрезке  $[0, 1]$  линейные уравнения

$$L_\varepsilon u = -\varepsilon u'' + p(t, \varepsilon)u' + q(t, \varepsilon)u = f(t), \quad (6.1.3)$$

$$M_\varepsilon v = -\varepsilon v'' + (p(t, \varepsilon)v)' + q(t, \varepsilon)v = g(t), \quad (6.1.4)$$

нелинейное уравнение

$$-\varepsilon w'' + p(t, w)w' + q(t, w) = 0, w(0) = w(1) = 0 \quad (6.1.5)$$

и краевые условия

$$u(0) = u(1) = 0, v(0) = v(1) = 0, w(0) = w(1) = 0. \quad (6.1.6)$$



В (6.1.3) и (6.1.4) предположим, что  $p(t, \varepsilon) \in C^4[0, 1]$ ,  $q(t, \varepsilon) \in C^2[0, 1]$ ,  $f(t) \in C[0, 1]$ ,  $g(t) \in C[0, 1]$ , причем

$$|q^{(i)}(t, \varepsilon)| \leq C \left( 1 + \varepsilon^{-i} \exp \left( p_0 \frac{t-1}{\varepsilon} \right) \right), i = 0, 1, 2, \quad 0 < C_1 \leq p_0 \leq C_2,$$

$$p(t, \varepsilon) \geq p_0 > 0, \quad |p^{(i)}(t, \varepsilon)| \leq C \left( 1 + \varepsilon^{-i} \exp \left( p_0 \frac{t-1}{\varepsilon} \right) \right), \quad i = 0, \dots, 4. \quad (6.1.7)$$

Относительно задачи (6.1.5) предположим, что  $q(t, w)$  и  $p(t, w)$  — четырежды непрерывно дифференцируемые по совокупности аргументов в прямоугольнике  $[0, 1] \times [-M, M]$  функции ( $M > 0$  — достаточно большое число),  $p(t, w) \geq p_0 > 0$ , а задача Коши  $p(t, w)w' + q(t, w) = 0$  имеет решение  $w_0(t)$ , определенное на всем отрезке  $[0, 1]$ .

При сделанных предположениях из результатов [16] вытекает, что для достаточно малых  $\varepsilon > 0$  задача (6.1.5)-(6.1.6) имеет в некоторой окрестности  $w_0(t)$  единственное решение  $w_\varepsilon(t)$ , причем

$$|w_\varepsilon^{(i)}(t, \varepsilon)| \leq C(1 + \varepsilon^{-i} \exp(p_0(t-1)/\varepsilon)), \quad i = 0, 1, 2, 3, 4. \quad (6.1.8)$$

В следующем разделе докажем, что аналогичные результаты справедливы и для линейных задач (6.1.3), (6.1.6) и (6.1.4), (6.1.6).

## 6.1.2 Постановки галеркинских задач и основные теоремы

Перейдем к описанию м.к.э. Разбиение  $\Delta$  отрезка  $[0, 1]$  выберем, как в главе 3 с параметром разбиения  $-2/p_0$ , а не  $5/p_0$ . Предположим, что

$$\varepsilon |\ln(\varepsilon)| \leq C/m. \quad (6.1.9)$$

Приближенные решения  $u_m, v_m, w_m$  задач (6.1.3)-(6.1.6) будем искать в пространстве пробных функций

$$E = \{u \in C[0, 1] : u(0) = u(1) = 0, u(t) =$$

$$= A_i + B_i(t - t_i), t \in [t_i, t_{i+1}], i = 0, 1, \dots, 2m - 1\}.$$

Введем пространство, которое будем называть пространством тестовых функций. Пусть

$$f_i(t) = \begin{cases} 1, & t \in [t_{i-1}, t_i] \\ 0, & t \in [t_{i-1}, t_i], i = 1, 2, \dots, m, \end{cases} \quad (6.1.10)$$

$$f_{m+1}(t) = \begin{cases} 1, & t \in [t_m, t_{m+1}] \\ (t_{m+2} - t)/(t_{m+2} - t_{m+1}), & t \in [t_{m+1}, t_{m+2}] \\ 0, & t \in [t_m, t_{m+2}], \end{cases} \quad (6.1.11)$$

$$f_{m+1}(t) = \begin{cases} (t - t_{i-1})/(t_i - t_{i-1}), & t \in [t_{i-1}, t_i] \\ (t_{i+1} - t)/(t_{i+1} - t_i), & t \in [t_i, t_{i+1}] \\ 0, & t \in [t_{i-1}, t_{i+1}], i = m+2, m+3, \dots, 2m-1. \end{cases} \quad (6.1.12)$$

Тестовое пространство определим как линейную оболочку функций  $f_i(t)$ .

Предлагаемый вариант метода Галеркина для задачи (6.1.3), (6.1.6) состоит в отыскании такой функции  $u_m(t) \in E$ , что

$$-\varepsilon u'_m(t_i + 0) + \varepsilon u'_m(t_{i-1} + 0) + (pu'_m + qu_m, f_i) = (f, f_i), i = 1, \dots, m, \quad (6.1.13)$$

$$\varepsilon u'_m(t_m + 0) + (\varepsilon u'_m, f'_{m+1}) + (pu'_m + qu_m, f_{m+1}) = (f, f_{m+1}), \quad (6.1.14)$$

$$(\varepsilon u'_m, f'_i) + (pu'_m + qu_m, f_i) = (f, f_i), i = m+2, m+3, \dots, 2m-1. \quad (6.1.15)$$

Здесь  $(\cdot, \cdot)$  означает скалярное произведение в  $L_2[0, 1]$ . Аналогично ставится м.к.э.-задача для (6.1.4), (6.1.6).

Основным результатом для линейных задач является следующее утверждение.

**Теорема 1** *Найдутся такие числа  $\varepsilon_0 > 0$ ,  $m_0$  — натуральное,  $\gamma_0 > 0$ ,  $C_1 > 0$ , что для всех  $\varepsilon \in (0, \varepsilon_0]$ ,  $m \geq m_0$ :  $\varepsilon |\ln(\varepsilon)| \leq \gamma_0$  существуют единственные решения  $u_m(t)$  задачи (6.1.13)-(6.1.15) и  $v_m(t)$  соответствующей задачи для (6.1.4), (6.1.6), причем*

$$\|u_m - u_\varepsilon\|_{C[0,1]} \leq C_1 \inf_{u \in E} \|u - u_\varepsilon\|_{C[0,1]}, \quad (6.1.16)$$

$$\|v_m - v_\varepsilon\|_{C[0,1]} \leq C_1 \inf_{u \in E} \|v - v_\varepsilon\|_{C[0,1]}. \quad (6.1.17)$$

*Если  $p(t, \varepsilon)$ ,  $q(t, \varepsilon)$ ,  $f(t)$  — достаточно гладкие функции, ограниченные в  $C[0, 1]$  равномерно по  $\varepsilon$  вместе со своими производными до второго порядка, то*

$$\|u_m - u_\varepsilon\|_{C[0,1]} \leq C_1/m^2, \quad \|v_m - v_\varepsilon\|_{C[0,1]} \leq C_1/m^2. \quad (6.1.18)$$

Для нелинейной задачи (6.1.5)-(6.1.6) галеркинская задача ставится следующим образом. Найти такую функцию  $w_m \in E$ , что

$$-\varepsilon w'_m(t_i + 0) + \varepsilon w'_m(t_{i-1} + 0) + (pw'_m + qw_m, f_i) = (f, f_i), i = 1, 2, \dots, m, \quad (6.1.19)$$

$$\varepsilon w'_m(t_m + 0) + (\varepsilon w'_m, f'_{m+1}) + (pw'_m + qw_m, f_{m+1}) = (f, f_{m+1}), \quad (6.1.20)$$

$$(\varepsilon w'_m, f'_i) + (pw'_m + qw_m, f_i) = (f, f_i), i = m+2, m+3, \dots, 2m-1. \quad (6.1.21)$$

**Теорема 2** Найдутся такие числа  $\varepsilon_0, m_0$  — натуральное,  $\gamma_0 > 0, C_1 > 0$ , что для любых  $\varepsilon \in (0, \varepsilon_0], m \geq m_0 : \varepsilon m |\ln(\varepsilon)| \leq \gamma_0$ , задача (6.1.19)-(6.1.21) имеет единственное решение  $w_m(t)$ , для которого

$$\|w_\varepsilon(t) - w_m(t)\|_{C[0,1]} \leq C_1/m^2. \quad (6.1.22)$$

Доказательству этих теорем будут посвящены последние разделы главы.

## 6.2 Рекомендации к численному решению галеркинских задач и сравнение с методом шарнирных элементов

Численная реализация предложенных методов отличается исключительной простотой. Выберем в  $E(\varepsilon, m)$  базис, состоящий из  $B$ -сплайнов  $N_{1,0}, N_{1,2}, \dots, N_{1,2m-2}$ . Будем искать решение задачи (6.1.3), (6.1.6) в виде

$$u_m(t) = \sum_{i=0}^{2m-2} \alpha_i N_{1,i}(t). \quad (6.2.23)$$

Подставляя это представление в задачу (6.1.11) и учитывая финитность функций  $N_{1,i}(t)$  и  $f_j(t)$ , получим для вектора  $\alpha = (\alpha_1, \alpha_2, \dots, \alpha_{2m-2})^T$  СЛАУ с трехдиагональной матрицей, которая решается методом прогонки. Элементы этой матрицы и векторы правых частей являются скалярными произведениями в  $L_2[0, 1]$  функций  $N_{1,i}, f_{1,j}$  и их производных, умноженных на коэффициенты задач (6.1.3), (6.1.4). Для вычисления соответствующих интегралов можно использовать, например, формулу Симпсона на последовательности сгущающихся сеток, покрывающих носитель функции  $N_{1,i}$ . Можно показать, что матрицы СЛАУ имеют обратные с нормой  $O(m)$ , поэтому для получения точности  $O(1/m^2)$  эти интегралы следует вычислять с точностью  $O(1/m^3)$ .

В случае нелинейной задачи (6.1.14) возникающая алгебраическая система будет нелинейной. Для ее решения можно применять метод Ньютона. При этом на каждой итерации метода Ньютона возникает СЛАУ с трехдиагональной матрицей относительно коэффициентов разложения вычисляемого приближения по  $B$ -сплайнам первой степени. Эта система решается методом прогонки.

### 6.3 Некоторые свойства решений линейных задач и их функций Грина

Данный параграф носит вспомогательный характер. Вначале изучим свойства решений задач (6.1.3), (6.1.6) и (6.1.4), (6.1.6).

**Лемма 1** При достаточно малых  $\varepsilon > 0$  существуют единственные решения  $u_\varepsilon(t)$ ,  $v_\varepsilon(t)$  задач (6.1.3), (6.1.6) и (6.1.4), (6.1.6), причем справедливы оценки

$$|u_\varepsilon^{(i)}(t)| \leq C(1 + \varepsilon^{-i} \exp(p_0(t-1)/\varepsilon)), \quad i = 0, 1 \quad (6.3.24)$$

и аналогичные оценки для  $v_\varepsilon(t)$ . Если  $p(t, \varepsilon)$ ,  $q(t, \varepsilon)$ ,  $f(t)$  — гладкие функции класса  $C^2$ , ограниченные вместе с производными до второго порядка равномерно по  $\varepsilon$ , то эти оценки справедливы и для  $i = 2$ .

**Доказательство.** Отметим сразу, что в случае гладких равномерно по  $\varepsilon$  коэффициентов существование решения и неравенства (6.3.24) для  $i = 0, 1, 2$  вытекают из результатов асимптотического анализа, приведенного в [30, гл. 5].

Докажем существование решений и оценки (6.3.24) в общем случае. Введем ”укороченные операторы”

$$\tilde{L}_\varepsilon u = -\varepsilon u'' + p(t, \varepsilon)u', \quad \tilde{M}_\varepsilon v = -\varepsilon v'' + p(t, \varepsilon)v'. \quad (6.3.25)$$

Для оператора  $\tilde{L}_\varepsilon$  в [30, гл. 5] было приведено явное представление функции Грина  $G(t, \xi)$  и оценки ее производных. Из этого представления и оценок непосредственно вытекают неравенства (6.3.24) для ”укороченного” оператора  $\tilde{L}_\varepsilon$ . Для доказательства в общем случае применим к обеим частям уравнения (6.1.3) оператор  $\tilde{G}$ . Тогда уравнение (6.1.3) сведется к эквивалентному уравнению Фредгольма второго рода

$$u(t) + \int_0^1 \tilde{G}(t, \xi)q(\xi)u(\xi)d\xi = \int_0^1 \tilde{G}(t, \xi)f(\xi)d\xi.$$

Заметим, что из оценок (см. (5.3.6) в главе 5) функции Грина  $\tilde{G}(t, \xi)$  вытекает, что она может быть представлена в виде  $\tilde{G}(t, \xi) = G_1(t, \xi) + G_2(t, \xi)$ , где  $G_1$  — верхнее треугольное ядро, причем для  $g_2(t, \xi)$  справедливы оценки

$$\max_{t \in [0, 1]} \left| \int_0^1 G_2(t, \xi)d\xi \right| \leq C\varepsilon. \quad (6.3.26)$$

Их этих оценок следует, что при малых  $\varepsilon > 0$   $\tilde{G}(t, \xi)$  есть сумма вольтеррова (верхнего треугольного) и малого ядра. Хорошо известно, что ряд Неймана для итерированных вольтерровых ядер сходится быстрее любой геометрической прогрессии (этот факт лежит в основе одного из доказательств теоремы существования и единственности решения задачи Коши). С учетом этого из оценок (6.3.27) легко получить, что ряд Неймана для ядра  $\tilde{G}(t, \xi)q(\xi)$  при малых  $\varepsilon > 0$  будет сходиться, и для его суммы (резольвенты ядра)  $R(t, \xi)$  будут справедливы такие же оценки, как и для  $\tilde{G}(t, \xi)$ . Но функции Грина  $G$  и  $\tilde{G}$  для "полного" и "укороченного" оператора  $L$ , очевидно, связаны соотношениями

$$G(t, \xi) = G(\tilde{t}, \xi) + \int_0^1 R(t, s)G(\tilde{s}, \xi)ds.$$

Поэтому для функции Грина  $G(t, \xi)$  справедливы такие же оценки, как и для  $\tilde{G}$ . Из этих оценок вытекают неравенства (6.3.24).

Доказательство для задачи (6.1.4), (6.1.6) получается совершенно аналогично, если учесть, что оператор  $M_\varepsilon$  сопряжен к оператору  $\tilde{N}_\varepsilon v = -\varepsilon v'' - p(t, \varepsilon)v' + q(t, \varepsilon)v$ , который после замены  $t' = 1 - t$  превращается в оператор вида (6.1.3). А для функций Грина  $G$  и  $G^*$  исходного и сопряженного оператора справедливо соотношение  $G(t, \xi) = G^*(\xi, t)$ . Лемма доказана.

**Замечание 1.** В процессе доказательства леммы мы установили что для функций Грина  $G(t, \xi)$  и  $H(t, \xi)$  задач (6.1.3), (6.1.6) и (6.1.4), (6.1.6) справедливы оценки вида (5.3.6) (см. главу 5).

Изучим теперь некоторые свойства решений уравнений

$$\tilde{L}_\varepsilon^* u = -\varepsilon u'' - (p(t, \varepsilon)u)' = 0, \quad \tilde{M}_\varepsilon^* v = -\varepsilon v'' - p(t, \varepsilon)v' = 0. \quad (6.3.27)$$

Пусть

$$u_i(t, \varepsilon) = \frac{1}{\varepsilon} \int_0^{t_i} \exp \left[ -\frac{1}{\varepsilon} \int_s^t p(\tau, \varepsilon) d\tau \right] ds, \\ u(t, \varepsilon) = \frac{1}{\varepsilon} \int_0^t \exp \left[ -\frac{1}{\varepsilon} \int_s^t p(\tau, \varepsilon) d\tau \right] ds, \quad (6.3.28)$$

$$v_i(t, \varepsilon) = -\frac{1}{\varepsilon} \int_t^1 \exp \left[ -\frac{1}{\varepsilon} \int_{t_i}^s p(\tau, \varepsilon) d\tau \right] ds, \quad v(t, \varepsilon) = 1. \quad (6.3.29)$$

Нетрудно видеть, что функции (6.3.28) и (6.3.29) — решения уравнений (6.3.27), первого и второго соответственно.

Обозначим через  $\hat{u}_i(t, \varepsilon)$ ,  $\hat{u}(t, \varepsilon)$ ,  $\hat{v}_i(t, \varepsilon)$  непрерывные, кусочно-линейные с изломами в узлах  $t_j$  функции, интерполирующие функции (6.3.28) и (6.3.29) в этих узлах.

**Лемма 2** Для  $t \in [t_k, t_{k+1}]$ ,  $k \geq i \geq m + 1$  справедливы оценки

$$|u_i(t, \varepsilon) - \hat{u}_i(t, \varepsilon)| \leq \frac{C}{(k-m)^2}, \quad |v_i(t, \varepsilon)\hat{v}_i(t, \varepsilon)| \leq \frac{C}{(k-m)^2}. \quad (6.3.30)$$

Для  $t \in [t_{m+1}, 1]$  имеют место оценки

$$|u(t, \varepsilon) - \hat{u}(t, \varepsilon)| \leq \frac{C}{m^2}. \quad (6.3.31)$$

**Доказательство.** В силу формулы для остаточного члена линейной интерполяции (см. [30, с. 187, (21.20)]) имеем при  $t \in [t_k, t_{k+1}]$

$$|u_i(t, \varepsilon) - \hat{u}_i(t, \varepsilon)| \leq Ch_k^2 \max_{s \in [t_k, t_{k+1}]} |u_i''(s)|. \quad (6.3.32)$$

Но в силу предложения 3 (см. гл. 5)  $h_k = O(\varepsilon/(k-m))$ , а из первой формулы (6.3.28) вытекает, что  $\max_{s \in [t_k, t_{k+1}]} |u_i''(s)| \leq C/\varepsilon^2$ . Тем самым первая из оценок (6.3.30) доказана. Вторая получается точно так же. Для доказательства формулы (6.3.31) достаточно установить, что при  $t \in [t_{m+1}, 1]$

$$|u''(t, \varepsilon)| \leq \frac{C}{\varepsilon^2} \exp(p_0(t-1)/\varepsilon). \quad (6.3.33)$$

Если эта оценка будет установлена, в силу  $\exp(p_0(t-1)/\varepsilon) \leq C(k-m)^2/m^2$  из (6.3.32), (6.3.33) получим (6.3.31). Поскольку  $u''(t, \varepsilon) = -(p(t, \varepsilon)u(t, \varepsilon))'$ , то для доказательства (6.3.33) достаточно доказать, что

$$|u'(t, \varepsilon)| \leq \frac{C}{\varepsilon} \exp(p_0(t-1)/\varepsilon). \quad (6.3.34)$$

Докажем эту оценку. Имеем

$$u'(t, \varepsilon) = \frac{1}{\varepsilon} - \frac{1}{\varepsilon^2} \int_0^t p(\tau, \varepsilon) \exp\left[-\frac{1}{\varepsilon} \int_s^t p(\tau, \varepsilon) d\tau\right] ds. \quad (6.3.35)$$

Далее в силу формулы конечных приращений и оценок  $p^{(i)}(t, \varepsilon)$  при  $i = 0, 1$

$$\begin{aligned} & \int_0^t \exp\left[-\frac{1}{\varepsilon} \int_s^t p(\tau, \varepsilon) d\tau\right] ds = \int_0^t \exp(p(t, \varepsilon) \frac{s-t}{\varepsilon}) ds + \\ & + \int_0^t \exp(p(t, \varepsilon) \frac{s-t}{\varepsilon}) \left( \exp\left[-\frac{1}{\varepsilon} \int_s^t (p(\tau, \varepsilon) - p(t, \varepsilon)) d\tau\right] - 1 \right) ds = I_1 + I_2, \end{aligned} \quad (6.3.36)$$

$$\begin{aligned}
I_2 &\leq \frac{C}{\varepsilon} \int_0^t \exp(p(t, \varepsilon) \frac{s-t}{\varepsilon}) \int_s^t |p(\tau, \varepsilon) - p(t, \varepsilon)| d\tau ds \leq \\
&\leq C_1 \int_0^t \exp(p(t, \varepsilon) \frac{s-t}{\varepsilon}) \sup_{x \in [0,1]} |p'(x, \varepsilon)| \times \\
&\times \frac{(s-t)^2}{\varepsilon} ds \leq C_2 \exp(p_0(t-1)/\varepsilon) \int_0^t (\frac{s-t}{\varepsilon})^2 \exp(p_0 \frac{s-t}{\varepsilon}) ds \leq \\
&\leq C_3 \varepsilon \exp(p_0(t-1)/\varepsilon), \tag{6.3.37}
\end{aligned}$$

$$I_1 = \frac{\varepsilon}{p(t, \varepsilon)} + O\left(\exp(-p_0 t/\varepsilon)\right). \tag{6.3.38}$$

Подставляя (6.3.36) в (6.3.35) и учитывая (6.3.37), (6.3.38), получаем (6.3.34).

Лемма доказана.

**Лемма 3** Пусть  $i_0$  — некоторое не зависящее от  $\varepsilon$  и  $m$  натуральное число. Тогда для  $t \in [t_k, t_{k+1}]$ ,  $k = m+1, m+2, \dots, m+i_0$  справедливы оценки

$$|u'(t, \varepsilon)| \leq C/(\varepsilon m^2), \quad |\hat{u}'(t, \varepsilon)| \leq C/(\varepsilon m^2). \tag{6.3.39}$$

**Доказательство.** Первая оценка (6.3.39) получается из (6.3.34) и того, что  $\exp(p_0(t-1)/\varepsilon) \leq C(k-m)^2/m^2 \leq C_1/m^2$ . Для доказательства второй оценки заметим, что, в силу теоремы Ролля, на любом отрезке  $[t_k, t_{k+1}]$  найдется такая точка  $\xi_k$ , что  $u'(\xi_k, \varepsilon) - \hat{u}'(\xi_k, \varepsilon) = 0$ , и вторая оценка следует из первой. Лемма доказана.

Обозначим через  $\tilde{G}^*(t, \xi)$  и  $\tilde{H}^*(t, \xi)$  функции Грина операторов (6.3.27) с краевыми условиями (6.1.6). Пусть  $g_i(t, \varepsilon)$  и  $\tilde{h}_i(t, \varepsilon)$  — непрерывные кусочно-линейные функции, интерполирующие  $\tilde{G}^*(t, t_i)$  и  $\tilde{H}^*(t, t_i)$  в узлах сетки.

**Лемма 4** Справедливы оценки

$$|g_i(t, \varepsilon) - \tilde{G}(t, t_i)| \leq \begin{cases} C/m^2, & t \in [t_{m+1}, t_i], \\ C/(k-m)^2, & t \in [t_k, t_{k+1}], \quad k \geq i \geq m+1 \end{cases} \tag{6.3.40}$$

и аналогичные оценки для  $\tilde{h}(t, \varepsilon) - \tilde{H}^*(t, t_i)$ .

**Доказательство.** Явный вид функции Грина  $\tilde{G}(t, \xi)$  для оператора  $L_\varepsilon$ , сопряженного к  $L_\varepsilon^*$ , получен в главе 5, формулы (5.3.2). С учетом того, что  $\tilde{G}^*(t, \xi) = \tilde{G}(\xi, t)$ , из этих формул вытекает представление

$$\tilde{G}^*(t, \xi) = \begin{cases} A_i u(t, \varepsilon), & t \leq t_i, \quad 0 < A_i \leq C, \\ B_i u(t, \varepsilon) + D_i u(t, \varepsilon), & t \geq t_i, \quad 0 < C_1 \leq B_i \leq C_2, \quad |D_i| \leq C. \end{cases} \tag{6.3.41}$$

Из этого представления и леммы 2 получаем оценки (6.3.40). Доказательство для  $H^*(t, t_i)$  аналогично. Лемма доказана.

**Следствие 1** Пусть  $i_0$  — некоторое не зависящее от  $\varepsilon$  и  $m$  натуральное число. Тогда для  $i = m + 1, m + 2, \dots, m + i_0; t \in [t_i, t_{m+i_0}]$

$$\frac{\partial G^*(t, t_i)}{\partial t} \leq -C_1 \varepsilon, C_1 = C_1(i_0) > 0. \quad (6.3.42)$$

**Доказательство.** Из вида функции  $u_i(t, \varepsilon)$  (см. (6.3.28)) следует, что

$$u'_i(t, \varepsilon) \geq \frac{C}{\varepsilon} \exp\left(\frac{C_2}{\varepsilon}(t_i - t)\right), t \in [t_i, t_{m+i_0}], \quad (6.3.43)$$

где  $C_2 = \max_{t \in [0, 1]} p(t), C > 0$ . Отсюда, учитывая, что в силу того, что  $t_{m+i_0} - t_i \geq C_3 \varepsilon$ , получаем неравенство

$$u'_i(t, \varepsilon) \leq -C_1 \varepsilon, t \in [t_i, t_{m+i_0}].$$

Из этого неравенства и (6.3.39), (6.3.41) вытекает (6.3.42). Следствие доказано.

## 6.4 О галеркинских проекторах

Для доказательства основных результатов необходимо развить метод галеркинских проекций Нитше и Натерера [11] на случай семейства уравнений, зависящих от параметра.

### 6.4.1 Определение и простейшие свойства галеркинских проекторов

Вначале приведем абстрактную схему определения проекторов в линейных нормированных пространствах. Пусть в л.н.п.  $E_\varepsilon$  ( $0 < \varepsilon < \varepsilon_0$ ) выбраны подпространства  $D_\varepsilon$ . Через  $D'_\varepsilon$  обозначим множество всех линейных (не обязательно непрерывных) на  $D_\varepsilon$  функционалов. Выберем в  $D_\varepsilon$  и  $D'_\varepsilon$  конечномерные подпространства одинаковой размерности  $E_\varepsilon^*$  и  $\Psi_\varepsilon^*$  соответственно. Поставим следующую задачу:

для любого  $u \in D_\varepsilon$  найти  $v \in E_\varepsilon^*$  такую, что для любого  $\psi \in \Psi_\varepsilon^*$

$$\langle v - u, \psi \rangle = 0. \quad (6.4.44)$$



**Лемма 5** Пусть  $\{\beta_j\}$  — базис в  $E_\varepsilon^*$ . Если для него существует биортогональный базис  $\{\lambda_i\}$ ,  $\lambda_i \in \Psi_\varepsilon^*$  (т.е.  $\langle \beta_j, \lambda_i \rangle = \delta_{ij}$ ), то задача (6.4.44) будет иметь единственное решение, для которого справедливо представление

$$v = \sum_{i=1}^{n_k} \langle u, \lambda_i \rangle \beta_i \quad (6.4.45)$$

( $n_k$  — размерность  $E_\varepsilon^*$ ).

**Доказательство.** Из (6.4.45) и определения биортогональных функционалов вытекает, что  $v$  удовлетворяет (6.4.44) при  $\psi = \lambda_j$  для любого  $j$ . Но  $\{\lambda_j\}$  — базис в  $\Psi_\varepsilon^*$ , значит, (6.4.44) выполняется для произвольного  $\psi \in \Psi_\varepsilon^*$ . Итак,  $v$  — решение задачи (6.4.45). Для доказательства единственности заметим, что если искать  $v$  в виде  $v = \sum_{i=1}^{n_k} \alpha_i \beta_i$ , то подставляя это представление в (6.4.44) вместо  $v$ , а вместо  $\psi$  подставляя  $\lambda_1, \lambda_2, \dots, \lambda_{n_k}$ , получим для коэффициентов  $\alpha_i$  систему с единичной матрицей, которая имеет единственное решение. Лемма доказана.

В соответствии с леммой 5 определим линейный оператор  $P_\varepsilon = P_\varepsilon^k : D_\varepsilon \rightarrow E_\varepsilon^k$  формулой

$$P_\varepsilon u = \sum_{i=1}^{n_k} \langle u, \lambda_i \rangle \beta_i. \quad (6.4.46)$$

Непосредственная проверка показывает, что  $P_\varepsilon P_\varepsilon = P_\varepsilon$ , т.е.  $P_\varepsilon$  — проектор.

Предположим, что проектор  $P_\varepsilon = P_\varepsilon^k$  существует для некоторого семейства пар индексов  $KE = \{(k, \varepsilon)\}$  и при любых  $(k, \varepsilon) \in KE$  является линейным ограниченным в  $E_\varepsilon$  оператором.

**Определение 1.** Проектирование с помощью проекторов  $P_\varepsilon^k$  будем называть квазиоптимальным на  $KE$ , если найдется такая константа  $C > 0$ , что для любой пары  $(k, \varepsilon) \in KE$

$$\|P_\varepsilon^*\|_{E_\varepsilon \rightarrow E_\varepsilon} \leq C. \quad (6.4.47)$$

**Лемма 6** Пусть проектирование с помощью проекторов  $P_\varepsilon^k$  квазиоптимально на  $KE$  с константой  $C$ . Тогда для любого  $u \in D_\varepsilon$

$$\|u - P_\varepsilon^k u\|_{E_\varepsilon} \leq (1 + C) \inf_{\tilde{u} \in E_\varepsilon^k} \|u - \tilde{u}\|_{E_\varepsilon}.$$

Действительно,

$$\begin{aligned} \|u - P_\varepsilon^k u\| &= \|u - \tilde{u} - P_\varepsilon^k(u - \tilde{u})\| \leq \\ &\leq \|u - \tilde{u}\| + \|P_\varepsilon^k\|_{E_\varepsilon \rightarrow E_\varepsilon} \|(u - \tilde{u})\| \end{aligned}$$

для любого  $\tilde{u} \in E_\varepsilon^k$ , что и требовалось доказать.

Пользуясь абстрактной схемой, введем понятие галеркинских проектора и квазиоптимальности метода Галеркина.

Пусть в л.н.п.  $E_\varepsilon$  рассматривается семейство линейных операторов  $\{L_\varepsilon, (0 < \varepsilon \leq \varepsilon_0)\}$ , имеющих области определения  $D(L_\varepsilon)$ , и семейство конечномерных пространств линейных на  $E_\varepsilon$  функционалов

$$\{\Phi_\varepsilon^k, (0 < \varepsilon \leq \varepsilon_0), k = 1, 2, \dots\}$$

с базисами  $\{\phi_1, \phi_2, \dots, \phi_{n_k}\}$  ( $\phi_i = \phi_i(k, \varepsilon)$ ). Определим на  $D(L_\varepsilon)$  линейные функционалы  $\kappa_i = \kappa_i(k, \varepsilon)$ , полагая  $\langle u, \kappa_i \rangle = \langle L_\varepsilon u, \phi_i \rangle$ . Предположим, что при каждом  $\varepsilon \in (0, \varepsilon_0]$  функционалы  $\kappa_i$  могут быть линейно продолжены на некоторое более широкое подпространство  $D_\varepsilon$ . Продолженные функционалы обозначим  $\psi_i$ , а их линейную оболочку —  $\Psi_\varepsilon^k$ .

В нашем случае  $L_\varepsilon$  — это оператор (6.1.3) (или (6.1.4)),

$$E_\varepsilon = \{u \in C[0, 1] : u' \in L_\infty[0, t_m], u(0) = u(1) = 0\}$$

— пространство с нормой

$$\|u\|_\varepsilon = \varepsilon \|u'\|_{L_\infty[0, t_m]} + \|u\|_{C[0, 1]},$$

где  $t_m = 1 - \frac{2}{p_0} \varepsilon |\ln(\varepsilon)|$  — узел разбиения  $\Delta$ , отделяющий погранслой. Функционалы  $\phi_i$  определим соотношениями  $\langle v, \phi_i \rangle = \int_0^1 v(t) f_i(t) dt$ , где  $f_i(t)$  — функции (6.1.10)-(6.1.12). Тогда

$$\langle u, \kappa_i \rangle = \int_0^1 (L_\varepsilon u)(t) f_i(t) dt. \quad (6.4.48)$$

В качестве подмножества  $D_\varepsilon$  выберем подмножество функций из  $E_\varepsilon$ , имеющих кусочно-непрерывные справа ограниченные на  $[0, 1]$  производные с конечным числом точек разрыва первого рода. Такой выбор  $D_\varepsilon$  обусловлен желанием искать приближенное решение в виде линейной комбинации  $B$ -сплайнов первой степени, которые очень удобны в численной реализации, но не входят в  $D(L_\varepsilon)$ .

Осуществляя в (6.4.48) интегрирование по частям, получим, что функционалы  $\kappa_i$  линейно продолжаются до функционалов на всем  $D_\varepsilon$ , действие которых задается левыми частями формул (6.1.13)-(6.1.15). Эти функционалы обозначим  $\psi_i$ , а их линейную оболочку —  $\Psi_\varepsilon^k$ . Теперь вернемся к нашей абстрактной схеме.

Выберем в  $D_\varepsilon$  семейство конечномерных подпространств  $\{E_\varepsilon^*\}$  размерности  $n_k$ . Для каждого  $u \in D_\varepsilon$  поставим задачу отыскания такого элемента  $v \in E_\varepsilon^*$ , что

для любого  $\psi \in \Psi_\varepsilon^k$  выполняется соотношение (6.4.44). Эту задачу будем называть галеркинской задачей для оператора  $L_\varepsilon$ , а элемент  $v$  — галеркинской проекцией элемента  $u$ .

В дальнейшем, говоря, что  $P_\varepsilon^k$  существует, автоматически имеем в виду, что соответствующая задача (6.4.44) имеет единственное решение при любом  $u$  из  $D_\varepsilon$ .

**Определение 2.** Метод Галеркина (6.4.44) будем называть квазиоптимальным на  $KE$ , если найдется такая константа  $C > 0$ , что для любой пары  $(k, \varepsilon) \in KE$  галеркинский проектор существует, и справедливо неравенство (6.4.47).

## 6.4.2 Дальнейшие свойства галеркинских проекторов

В этом пункте мы установим утверждения, позволяющие сводить исследование галеркинских проекторов для операторов общего вида к аналогичной задаче для более простых операторов. Эти утверждения являются "количественными аналогами" некоторых общих идей метода компактной аппроксимации.

Функционалы, введенные в начале параграфа с помощью оператора  $L_\varepsilon$ , будем обозначать  $\psi_{L_\varepsilon}$ . Функционалы  $\psi$ , вводимые аналогичным образом с помощью других операторов  $L$ , будем обозначать  $\psi_L$ . Всяду предполагается, что функционалы  $\psi_L$  определены на  $D_\varepsilon$ , т.е. там же, где и  $\psi_{L_\varepsilon}$ . Через  $I$  обозначим тождественный оператор.

**Лемма 7** Пусть оператор  $L_\varepsilon$  имеет вид  $L_\varepsilon = L_{\varepsilon,0} + L_{\varepsilon,1}$  и выполнен набор условий

1. Операторы  $L_\varepsilon$  и  $L_{\varepsilon,0}$  обратимы, причем  $L_\varepsilon^{-1}$ ,  $L_{\varepsilon,0}^{-1}$ ,  $(L_{\varepsilon,0}^{-1}L_\varepsilon)$ ,  $(L_{\varepsilon,0}^{-1}L_{\varepsilon,1})$  — непрерывные, определенные на всем  $D_\varepsilon$  операторы;

2.  $(L_{\varepsilon,0}^{-1}L_{\varepsilon,1})D_\varepsilon \subset D_\varepsilon$ ,  $(L_{\varepsilon,0}^{-1}L_\varepsilon)D_\varepsilon \subset D_\varepsilon$ , и для любого  $u \in D_\varepsilon$

$$\langle u, \psi_{L_\varepsilon} \rangle = \langle [I + (L_{\varepsilon,0}^{-1}L_{\varepsilon,1})]u, \psi_{L_{\varepsilon,0}} \rangle, \quad (6.4.49)$$

$$\langle (L_{\varepsilon,0}^{-1}L_\varepsilon)u, \psi_{L_{\varepsilon,0}} \rangle = \langle u, \psi_{L_\varepsilon} \rangle; \quad (6.4.50)$$

3. Галеркинский проектор  $P_{\varepsilon,0}^k$  для  $L_{\varepsilon,0}$  существует;

4. Оператор  $I + P_{\varepsilon,0}^k(L_{\varepsilon,0}^{-1}L_{\varepsilon,1})$  обратим.

Тогда существует галеркинский проектор  $P_\varepsilon^k$  для оператора  $L_\varepsilon$ , и справедливо представление

$$P_\varepsilon^k = [I + P_{\varepsilon,0}^k(L_{\varepsilon,0}^{-1}L_{\varepsilon,1})]^{-1}P_{\varepsilon,0}^k(L_{\varepsilon,0}^{-1}L_\varepsilon). \quad (6.4.51)$$

**Доказательство.** Покажем вначале, что для оператора (6.4.51)

$$\langle P_\varepsilon^k u - u, \psi_{L_\varepsilon} \rangle = 0$$

для любого  $\psi_{L_\varepsilon} \in \Psi_\varepsilon^k$ , т.е.  $P_\varepsilon^k u$  — решение задачи (6.4.51) для оператора  $L_\varepsilon$ . Из (??)-(??) имеем для любого  $u \in D_\varepsilon$

$$\begin{aligned} \langle P_\varepsilon^k u, \psi_{L_\varepsilon} \rangle &= \langle [I + (L_{\varepsilon,0}^{-1} L_{\varepsilon,1})] P_\varepsilon^k u, \psi_{L_{\varepsilon,0}} \rangle = \\ &= \langle P_{\varepsilon,0}^k [I + (L_{\varepsilon,0}^{-1} L_{\varepsilon,1})] P_\varepsilon^k u, \psi_{L_{\varepsilon,0}} \rangle = \\ &= \langle [I + P_{\varepsilon,0}^k (L_{\varepsilon,0}^{-1} L_{\varepsilon,1})] P_\varepsilon^k u, \psi_{L_{\varepsilon,0}} \rangle = \\ &= \langle P_{\varepsilon,0}^k (L_{\varepsilon,0}^{-1} L_\varepsilon) u, \psi_{L_{\varepsilon,0}} \rangle = \langle (L_{\varepsilon,0}^{-1} L_\varepsilon) u, \psi_{L_{\varepsilon,0}} \rangle = \langle u, \psi_{L_\varepsilon} \rangle, \end{aligned}$$

что и требовалось. Осталось доказать, что найденное решение единственное. Рассмотрим задачу (6.4.44) для  $L_\varepsilon$  при  $u = 0$ . В силу (6.4.49) она равносильна отысканию такого  $u \in E_\varepsilon^k$ , что

$$\langle [I + (L_{\varepsilon,0}^{-1} L_{\varepsilon,1})] u, \psi_{L_{\varepsilon,0}} \rangle = 0$$

для любого  $\psi_{L_{\varepsilon,0}}$ .

Из определения  $P_{\varepsilon,0}^k$  вытекает, что любое решение этой задачи удовлетворяет соотношению  $u = -P_{\varepsilon,0}^k (L_{\varepsilon,0}^{-1} L_{\varepsilon,1}) u$ . Отсюда, в силу предположения 4,  $u = 0$ .

Итак, однородная задача имеет нулевое решение. Значит, любая неоднородная задача имеет единственное решение. Лемма доказана.

**Лемма 8** *Предположим, что  $L_\varepsilon = L_{\varepsilon,0} + L_{\varepsilon,1}$ , выполнены предположения 1.-3. леммы 7, причем*

$$\| (L_{\varepsilon,0}^{-1} L_\varepsilon) \|_{E_\varepsilon \rightarrow E_\varepsilon} \leq C, \quad \| (L_{\varepsilon,0}^{-1} L_{\varepsilon,1}) \|_{E_\varepsilon \rightarrow E_\varepsilon} \leq C. \quad (6.4.52)$$

*Пусть метод Галеркина (6.4.44) квазиоптимален для оператора  $L_{\varepsilon,0}$  на некотором множестве*

$$KE = \{(k, \varepsilon), k = k_0, k_0 + 1, \dots; 0 < \varepsilon \leq \varepsilon_0\}.$$

*Пусть, наконец, найдется такая константа  $C_1 > 0$ , что для любого элемента  $u \in D_\varepsilon$ , для которого выполнено  $\|u\|_{E_\varepsilon} \leq 1$  и любой пары  $(k, \varepsilon) \in KE$  существует такой элемент  $v \in E_\varepsilon^k$ , что*

$$\|v - (L_{\varepsilon,0}^{-1} L_\varepsilon) u\|_{E_\varepsilon} \leq C_1 \gamma(k, \varepsilon), \quad (6.4.53)$$

где  $\gamma(k, \varepsilon) \rightarrow 0$  при  $k \rightarrow \infty$  равномерно по  $\varepsilon$  таким, что  $(k, \varepsilon) \in KE$ .

Тогда найдется такой номер  $k_1 \geq k_0$ , что для всех пар  $(k, \varepsilon) \in KE$  таких, что  $k \geq k_1$ , существует галеркинский проектор  $P_\varepsilon^k$  для оператора  $L_\varepsilon$ . При этом метод Галеркина (6.4.44) квазиоптимален для  $L_\varepsilon$  на множестве  $KE_1 = \{(k, \varepsilon) \in KE : k \geq k_1\}$ .

**Доказательство.** Из (6.4.53) и квазиоптимальности метода Галеркина для  $L_{\varepsilon,0}$  вытекает, что

$$\|_{\varepsilon,0}^k (L_{\varepsilon,0}^{-1}L_{\varepsilon,1}) - L_{\varepsilon,0}^{-1}L_{\varepsilon,1} \|_{E_\varepsilon \rightarrow E_\varepsilon} \rightarrow 0 \quad (6.4.54)$$

при  $k \rightarrow \infty$  равномерно по  $\varepsilon$ . Поскольку в силу (6.4.52)

$$\| (I + L_{\varepsilon,0}^{-1}L_{\varepsilon,1})^{-1} \|_{E_\varepsilon \rightarrow E_\varepsilon} = \| (L_{\varepsilon,0}^{-1}L_\varepsilon) \|_{E_\varepsilon \rightarrow E_\varepsilon} \leq C_1,$$

то из (6.4.54) вытекает, что, начиная с некоторого  $k_1 \geq k_0$  оператор  $I + P_{\varepsilon,0}^k(L_{\varepsilon,0}^{-1}L_{\varepsilon,1})$  обратим, причем

$$\| (I + P_{\varepsilon,0}^k(L_{\varepsilon,0}^{-1}L_{\varepsilon,1}))^{-1} \|_{E_\varepsilon \rightarrow E_\varepsilon} \leq C_1. \quad (6.4.55)$$

Поэтому, в силу леммы 7, для  $k \geq k_1$  оператор  $P_\varepsilon^k$  существует, и справедливо представление (6.4.51). Наконец, из (6.4.51), (6.4.52), (6.4.54) и квазиоптимальности метода Галеркина для  $L_{\varepsilon,0}$  вытекает оценка  $\| P_\varepsilon^k \|_{E_\varepsilon \rightarrow E_\varepsilon} \leq C$ . Лемма доказана.

## 6.5 Доказательство теоремы 1

Покажем, что галеркинская задача (6.1.11) укладывается в рамки абстрактной схемы, предложенной в предыдущем разделе.

Пусть  $E_\varepsilon = \{u \in C[0, 1] : u' \in L_\infty[0, \phi_\varepsilon], u(0) = u(1) = 0\}$  — пространство с нормой  $\|u\|_\varepsilon = \varepsilon \|u'\|_{L_\infty[0, \phi_\varepsilon]} + \|u\|_{C[0, 1]}$ , введенное ранее,  $L_\varepsilon$  — оператор (6.1.3),  $D_\varepsilon$  — множество функций из  $E_\varepsilon$ , имеющих кусочно непрерывные справа ограниченные на  $[0, 1]$  производные с конечным числом точек разрыва первого рода. Определим функционалы  $\psi_i$ ,  $i = 0, 1, \dots, 2m - 1$  на функциях из  $D_\varepsilon$  выражениями, стоящими в левых частях формул (6.1.13)-(6.1.15). Их линейную оболочку по-прежнему будем обозначать  $F(\varepsilon, m)$ . Нетрудно убедиться, что точное решение уравнения (6.1.3) удовлетворяет (6.1.11). Поэтому задача (6.1.13)-(6.1.15) эквивалентна галеркинской задаче (6.4.44) для оператора  $L_\varepsilon$ .

Выберем в  $E(\varepsilon, m)$  базис из нормализованных  $B$ -сплайнов первой степени  $N_{1,0}, N_{1,1}, \dots, N_{1,2m-1}$ . Если нам удастся построить в  $F(\varepsilon, m)$  биортогональный базис

$\{\lambda_j\}$ ,  $\lambda_j = \lambda_j(m, \varepsilon)$ , то, согласно лемме 5, будет доказано существование проектора  $P_\varepsilon = P(\varepsilon, m)$  и представление

$$P_\varepsilon u = \sum_{i=1}^{2m-1} \langle u, \lambda_i \rangle N_{1,i-1}. \quad (6.5.56)$$

Заметим также, что, поскольку на  $[0, \phi_\varepsilon)$  разбиение  $\Delta$  равномерно с шагом  $h = O^*(1/m) \geq C\varepsilon$ , то

$$\|N'_{1,i}\|_{L_\infty[0, \phi_\varepsilon]} \leq C/h \leq C/\varepsilon.$$

Отсюда, с учетом финитности  $B$ -сплайнов, получаем, что для любого набора скаляров  $\alpha_0, \alpha_1, \dots, \alpha_{2m-2}$

$$\left\| \sum_{i=1}^{2m-1} \alpha_i N_{1,i-1} \right\|_\varepsilon \leq \max_i |\alpha_i|. \quad (6.5.57)$$

Из этого факта, в свою очередь, следует, что если для любого  $u \in E_\varepsilon$  справедливы оценки

$$|\langle u, \lambda_i \rangle| \leq C_1 \|u\|_\varepsilon, \quad i = 1, 2, \dots, 2m-1,$$

где  $C$  не зависит от  $u$  и  $i$ , то  $\|P_\varepsilon\|_{E_\varepsilon \rightarrow E_\varepsilon} \leq C_2$ , т.е. метод Галеркина квазиоптимален. Таким образом, доказав существование биортогонального базиса  $\{\lambda_i\}$  и оценки (6.5.57), мы докажем однозначную разрешимость галеркинской задачи и неравенства (6.1.16) -(6.1.17). Для доказательства оценок (6.1.18) нужно будет дополнительно изучить аппроксимационные свойства пространств  $F(\varepsilon, m)$ .

Систему функционалов  $\{\lambda_i\}$  будем строить для случая, когда операторы (6.1.3) имеют вид (6.3.25), т.е.  $q(t, \varepsilon) \equiv 0$ . Для доказательства в общем случае воспользуемся леммами 7 и 8.

Вначале мы построим вспомогательные функционалы  $\mu_i$ , которые образуют "почти биортогональные базис", а искомые функционалы  $\lambda_i$  будем искать в виде линейных комбинаций  $\nu_i$ . Ниже мы формально определим  $\mu_i$ , а целесообразность такого определения будет видна из леммы 9 и ее доказательства.

Для  $i = 1, 2, \dots, m$  положим

$$\mu_i(t, \varepsilon) = \sum_{j=1}^i \alpha_j^i f_j(t), \quad (6.5.58)$$

где  $f_j(t)$  — функции (6.1.10)-(6.1.12),

$$\alpha_j^i = \left[ h^{-1} \int_{t_{j-1}}^{t_j} p(t, \varepsilon) dt \right]^{-1}, \quad j = i, i-1, \dots, 1, \quad h = \phi_\varepsilon/m. \quad (6.5.59)$$

Для  $i = m+1, m+2, \dots, 2m-1$  положим

$$\mu_i(t, \varepsilon) = \begin{cases} g_i(t, \varepsilon), & t \in [t_{m+1}, 1], \\ g_i(t_{m+1}, \varepsilon), & t \in [t_m, t_{m+1}], \\ (g_i(t_{m+1}, \varepsilon)/\alpha_m) \mu_m(t, \varepsilon), & t \in [0, t_m]. \end{cases} \quad (6.5.60)$$

Здесь  $g_i(t, \varepsilon)$  — функции из леммы 4. Очевидно, что функции (6.5.60) непрерывны при  $t = t_m, t_{m+1}$ .

Поскольку каждая из функций  $\mu_i(t, \varepsilon)$  — линейная комбинация функций (6.1.10)-(6.1.12), то  $\mu_i(t, \varepsilon)$  однозначно определяет линейный функционал  $\mu_i = \mu_i(t, \varepsilon)$  на  $D_\varepsilon$ . Следующая лемма показывает, что функционалы  $\mu_i$  близки к биортогональным.

**Лемма 9** *Справедливы оценки*

$$\langle N_{1,i-1}, \mu_i \rangle \geq C > 0, \quad (6.5.61)$$

$$|\langle N_{1,j-1}, \mu_i \rangle| \leq C_1 \varepsilon, \quad i \leq m, \quad j \neq i, i+1, \quad (6.5.62)$$

$$|\langle N_{1,i}, \mu_i \rangle| \leq C_1 \varepsilon m, \quad i \leq n-1, \quad |\langle N_{1,m}, \mu_m \rangle| \leq \frac{C}{|\ln(\varepsilon)|}, \quad (6.5.63)$$

$$\begin{aligned} & |\langle N_{1,j-1}, \mu_i \rangle| \leq \\ & \leq \begin{cases} C_2 \max\{\varepsilon, \frac{1}{m^2}\}, & j < i, \quad j \neq m, m+1, \quad i \geq m+1, \\ \frac{C_3}{(j-m)^2}, & j \geq i+1 \geq m+2, \end{cases} \end{aligned} \quad (6.5.64)$$

$$|\langle N_{1,j-1}, \mu_i \rangle| \leq \frac{C}{m}, \quad j = m, m+1, \quad i \geq m+1, \quad i \neq j. \quad (6.5.65)$$

**Доказательство.** Докажем (6.5.62). Непосредственный подсчет показывает, что

$$\langle N_{1,j-1}, \mu_i \rangle = \varepsilon m (-\alpha_{j+1}^i + 2\alpha_j^i - \alpha_{j-1}^i)$$

для  $j < i \leq m$ . Но из формул (6.5.59), ограниченности и гладкости  $p(t, \varepsilon)$  на  $[0, t_m]$  (см. формулы (6.1.7)) следует, что

$$\max_{i,j} |\alpha_j^i| \leq C, \quad \max_{i,j} |\alpha_j^i - \alpha_{j-1}^i| \leq C/m. \quad (6.5.66)$$

Поэтому  $-\alpha_{j+1}^i + 2\alpha_j^i - \alpha_{j-1}^i \leq C_1/m$  и оценка (6.5.62) доказана при  $j < i \leq m$ . Для  $j \geq i + 1$  имеем  $\langle N_{1,j-1}, \mu_i^{m,\varepsilon} \rangle = 0$  в силу дизъюнктивности носителей. Тем самым оценка (6.5.62) доказана полностью.

Докажем (6.5.63). При  $j = i + 1, i \leq m$  имеем

$$|\langle N_{1,i}, \mu_i \rangle| = |\langle N_{1,i}, \alpha_i^j f_i \rangle| \leq C\varepsilon/h_i,$$

т.к.  $|\alpha_i^j| \leq const$  в силу (6.5.66). Учитывая, что  $h_i = O^*(1/m)$  для  $i \leq m - 1$ , а  $h_m = O^*(\varepsilon |\ln(\varepsilon)|)$ , из последнего неравенства получаем (6.5.63).

Для доказательства следующей оценки установим вначале вспомогательное тождество

$$\left( \varepsilon w', \frac{\partial G_\varepsilon^*}{\partial t}(t, t_i) \right) + (p(t, \varepsilon)w', G_\varepsilon^*(t, t_i)) = w(t_i), \quad (6.5.67)$$

которое справедливо для любой  $w \in D_\varepsilon$ .

Действительно, для любой  $w \in C[0, 1] : w(0) = w(1) = 0$  имеем

$$w(t_i) = \int_0^1 G_\varepsilon(t_i, t)(L_\varepsilon w)(t)dt = \int_0^1 G_\varepsilon^*(t, t_i)(L_\varepsilon w)(t)dt,$$

откуда интегрированием по частям получаем (6.5.67). Если теперь  $w(t) \in D_\varepsilon$  — произвольная кусочно-дифференцируемая функция, то подберем для нее последовательность функций

$$w_n(t) \in C_2[0, 1] : \|w_n - w\|_{C[0,1]} \rightarrow 0, \|w_n' - w'\|_{L_1[0,1]} \rightarrow 0.$$

Поскольку для  $w_n(t)$  тождество (6.5.67) выполняется, то в пределе получим это тождество и для  $w(t)$ .

Теперь докажем (6.5.64) для  $j \geq m + 2$ . В этом случае  $supp N_{1,j-1} \subset [t_m, 1]$ , и в силу (6.1.14), (6.1.15), (6.5.60), с учетом того, что  $q(t, \varepsilon) \equiv 0$ , имеем

$$\langle N_{1,j-1}, \mu_i \rangle = \left( \varepsilon N_{1,j-1}', g_i' \right) + \left( p(t, \varepsilon)N_{1,j-1}', g_i \right). \quad (6.5.68)$$

С другой стороны, в силу (6.5.67)

$$\left( \varepsilon N_{1,j-1}', \frac{\partial G_\varepsilon^*}{\partial t}(t, t_i) \right) + (p(t, \varepsilon)N_{1,j-1}', G_\varepsilon^*(t, t_i)) = N_{1,j-1}(t_i) = \delta_{i,j}. \quad (6.5.69)$$

Из (6.5.68), (6.5.69) имеем при  $j \geq m + 2$

$$\langle N_{1,j-1}, \mu_i \rangle = \left( \varepsilon N_{1,j-1}', g_i' - \frac{\partial G_\varepsilon^*}{\partial t}(t, t_i) \right) +$$



$$+ \left( p(t, \varepsilon) N'_{1,j-1}, g_i - G_\varepsilon^*(t, t_i) \right) + \delta_{i,j}. \quad (6.5.70)$$

Интегрируя по частям и учитывая, что  $g_i(t_k) = G_\varepsilon^*(t_k, t_i)$ , получаем, что первый член в правой части (6.5.70) равен нулю, т.е.

$$\langle N_{1,j-1}, \mu_i \rangle = \left( p(t, \varepsilon) N'_{1,j-1}, g_i - G_\varepsilon^*(t, t_i) \right) + \delta_{i,j}. \quad (6.5.71)$$

Из (6.5.71), (6.3.40) вытекает оценка (6.5.64) для  $j \geq m+2$ ,  $j \neq i$ . В случае  $j \leq m+1$  будет  $\text{supp } N_{1,j-1} \subset [0, t_m]$ , и оценка (6.5.64) получается аналогично (6.5.62), т.к.  $\mu_i(t, \varepsilon) = \left[ \frac{g_i(t_{m+1}, \varepsilon)}{\alpha_m} \right] \mu_m(t, \varepsilon)$  при  $t \in [0, t_m]$  (см. (6.5.60)). Тем самым оценка (6.5.64) полностью доказана.

Докажем оценку (6.5.65). Из (6.1.15) и явной формулы для  $B$ -сплайна первой степени имеем

$$\begin{aligned} \langle N_{1,i}, \mu_i \rangle &= h_{m+1}^{-1} \int_{t_m}^{t_{m+1}} \left( \varepsilon \mu'_i + p(t, \varepsilon) \mu_i \right) dt + \\ &+ h_{m+2}^{-1} \int_{t_{m+1}}^{t_{m+2}} \left( \varepsilon \mu'_i + p(t, \varepsilon) \mu_i \right) dt. \end{aligned}$$

Но в силу (6.5.60) и леммы 3 функция  $\varepsilon \mu'_i + p(t, \varepsilon) \mu_i$  при  $i \geq m+2$  имеет на  $[t_m, t_{m+2}]$  изменение не более, чем  $O(h)$ , т.е.

$$|\langle N_{1,i}, \mu_i \rangle| \leq C/m.$$

Тем самым оценка (6.5.65) доказана для  $j = m+1$ . Для  $j = m$  доказательство аналогично.

Докажем (6.5.61). Для  $i \leq m$  в силу (6.5.58), (6.5.59), (6.1.10)-(6.1.15) прямой выкладкой получаем, что  $\langle N_{1,i}, \mu_i^{m,\varepsilon} \rangle = 1 + O(\varepsilon m)$ , откуда, с учетом того, что  $\varepsilon |\ln(\varepsilon)| \leq C/m$ , при малых  $\varepsilon$  следует (6.5.61).

Для  $i \geq m+2$  поступим следующим образом. Зафиксируем некоторое достаточно большое, но не зависящее от  $\varepsilon$  и  $m$  число  $i_0$ . Для  $m+2 \leq i \leq m+i_0$  имеем

$$\begin{aligned} \langle N_{1,i-1}, \mu_i \rangle &= \frac{\varepsilon}{h_{i-1}} \int_{t_{i-1}}^{t_i} g'_i(t, \varepsilon) dt + \frac{1}{h_{i-1}} \int_{t_{i-1}}^{t_i} p(t, \varepsilon) g_i(t, \varepsilon) dt - \\ &- \frac{\varepsilon}{h_i} \int_{t_{i-1}}^{t_i} g'_i(t, \varepsilon) dt - \frac{1}{h_i} \int_{t_i}^{t_{i+1}} p(t, \varepsilon) g_i(t, \varepsilon) dt = I_1 + I_2 - I_3 - I_4. \end{aligned} \quad (6.5.72)$$

Из леммы 3, представления (6.3.41) и того, что  $g_i(t, \varepsilon)$  интерполирует  $G_\varepsilon^*(t, t_i)$ , имеем

$$|g'_i(t, \varepsilon)| \leq C \left( 1/(\varepsilon m^2) + 1 \right), \quad t \in [t_{i-1}, t_i], \quad (6.5.73)$$

откуда

$$I_1 \leq C(\varepsilon + 1/m). \quad (6.5.74)$$

Для  $I_2, I_4$ , учитывая, что в силу оценок (6.1.7) функция  $p(t, \varepsilon)$  на отрезке  $[t_i, t_{i+1}]$  длины  $h_i = O^*(\varepsilon/(i - m))$ , имеет изменение порядка  $O(1/m)$ , получаем

$$I_2 = \frac{p(t, \varepsilon)}{h_{i-1}} \left(1 + O(1/m)\right) \int_{t_{i-1}}^{t_i} g_i(t, \varepsilon) dt,$$

$$I_2 = \frac{p(t, \varepsilon)}{h_i} \text{Big}(1 + O(1/m)) \int_{t_i}^{t_{i+1}} g_i(t, \varepsilon) dt. \quad (6.5.75)$$

Далее в силу следствия 1 из леммы 4

$$g'_i(t, \varepsilon) \leq -C_1/\varepsilon, \quad t \in [t_i, t_{i+1}]. \quad (6.5.76)$$

Из (6.5.73), (6.5.76), непрерывности при  $t \in [t_{i-1}, t_{i+1}]$  функции  $g_i(t, \varepsilon)$  получаем, что

$$\frac{1}{h_{i-1}} \int_{t_{i-1}}^{t_i} g_i(t, \varepsilon) dt - \frac{1}{h_i} \int_{t_i}^{t_{i+1}} g_i(t, \varepsilon) dt > 0,$$

откуда в силу (6.5.75) и неравенства  $|g_i(t, \varepsilon)| \leq C$ , вытекающего из оценок функции Грина  $|G_\varepsilon^*(t, \xi)| \leq C$  и леммы 4 следует, что

$$I_2 - I_4 \geq O(1/m). \quad (6.5.77)$$

Наконец, из (6.5.76) следует, что

$$-I_3 \geq C > 0. \quad (6.5.78)$$

Из (6.5.72), (6.5.74), (6.5.77), (6.5.78) получаем оценки (6.5.61) для  $m + 1 \leq i \leq m + i_0$ . Для  $i \geq m + i_0$  из (6.5.71) при  $j = i$  и леммы 4 имеем

$$|\langle N_{1,i-1}, \mu_i \rangle| \geq 1 - \left| \int_{t_{i-1}}^{t_{i+1}} p(t, \varepsilon) N'_{1,i-1} [g_i(t, \varepsilon) - G_\varepsilon^*(t, t_i)] dt \right| \geq$$

$$\geq 1 - \frac{C}{i_0^2} \int_{t_{i-1}}^{t_{i+1}} |N'_{1,i-1}(t)| dt \geq 1 - \frac{C_1}{i_0^2},$$

где 1 не зависит от  $i_0$ . Отсюда при достаточно большом  $i_0$  получаем оценку (6.5.61). Лемма доказана.

Докажем теперь, что построенные функционалы  $\mu_i^{m, \varepsilon}$  равномерно ограничены по норме  $E_\varepsilon$ , т.е. имеют место аналоги неравенств (6.5.57).

**Лемма 10** Для любых  $u \in D_\varepsilon$  справедливы оценки

$$|\langle u, \mu_i \rangle| \leq C \|u\|_\varepsilon, \quad i = 1, 2, \dots, 2m - 1, \quad (6.5.79)$$

где  $C$  не зависит от  $u, i_0$ .

**Доказательство.** Вначале докажем (6.5.77) при  $i \leq m$ . В этом случае в силу (6.5.58) и определения функционалов  $f_i$  при  $i \leq m$  имеем

$$\begin{aligned} |\langle u, \mu_i \rangle| &= \left| \sum_{j=1}^i \alpha_j^i \langle u, f_j \rangle \right| \leq \\ &\leq \left| \sum_{j=1}^i \alpha_j^i \left[ -\varepsilon u'(t_j + 0) + \varepsilon u'(t_{j-1} + 0) \right] \right| + \\ &\quad + \left| \sum_{j=1}^i \alpha_j^i \int_{t_{j-1}}^{t_j} p(t, \varepsilon) u'(t) dt \right| = \\ &= \left| \alpha_i^i \varepsilon u'(t_0 + 0) + \sum_{j=1}^{i-1} \varepsilon u'(t_j + 0) (\alpha_{j+1}^i - \alpha_j^i) - \alpha_i^i \varepsilon u'(t_i + 0) \right| + \\ &\quad + \left| \sum_{j=1}^i \alpha_j^i \left[ p(t, \varepsilon) u(t) \right]_{t_{j-1}}^{t_j} - \int_{t_{j-1}}^{t_j} p'(t, \varepsilon) u(t) dt \right|. \end{aligned} \quad (6.5.80)$$

Далее в силу (6.5.66) для первого модуля в правой части (6.5.80) имеем

$$\begin{aligned} \left| \alpha_i^i \varepsilon u'(t_0 + 0) + \sum_{j=1}^{i-1} \varepsilon u'(t_j + 0) (\alpha_{j+1}^i - \alpha_j^i) - \alpha_i^i \varepsilon u'(t_i + 0) \right| &\leq \\ &\leq C \varepsilon \|u'\|_{L_\infty[0, t_m]} \leq C \|u\|_\varepsilon. \end{aligned} \quad (6.5.81)$$

Для оценки второго модуля заметим, что, аналогично (6.5.79), с учетом гладкости  $p(t, \varepsilon)$  на  $[0, t_m]$  (см. (6.1.7))

$$\begin{aligned} &\left| \sum_{j=1}^i \alpha_j^i \left[ p(t, \varepsilon) u(t_j) - p(t_{j-1}, \varepsilon) u(t_{j-1}) \right] \right| = \\ &= \left| -\alpha_0^i p(t_0, \varepsilon) u(t_0) + \sum_{j=1}^{i-1} (\alpha_j^i - \alpha_{j+1}^i) p(t_j, \varepsilon) u(t_j) + \alpha_i^i p(t_i, \varepsilon) u(t_i) \right| \leq \\ &\leq C \|u\|_{C[0, 1]} \leq C \|u\|_\varepsilon. \end{aligned} \quad (6.5.82)$$

$$\begin{aligned}
& \left| \sum_{j=1}^i \alpha_j^i \int_{t_{j-1}}^{t_j} p'(t, \varepsilon) u(t) dt \right| \leq \\
& \leq C \sum_{j=1}^i \int_{t_{j-1}}^{t_j} |u(t)| dt \leq C \|u\|_{C[0,1]} \leq C \|u\|_{\varepsilon}. \tag{6.5.83}
\end{aligned}$$

Из (6.5.80)-(6.5.83) вытекают оценки (6.5.79) для  $i \leq m$ .

Для  $i \geq m + 1$  в силу (6.5.60) имеем

$$\begin{aligned}
| \langle u, \mu_i \rangle | &= \left| g_i(t_{m+1}, \varepsilon) / \alpha_m \langle u, \mu_m \rangle + \right. \\
& \quad \left. + g_i(t_{m+1}, \varepsilon) \int_{t_m}^{t_{m+1}} p(t, \varepsilon) u'(t) dt + \right. \\
& \quad \left. + \int_{t_{m+1}}^1 \varepsilon u'(t) g_i(t) dt + \int_{t_{m+1}}^1 p(t, \varepsilon) u'(t) g_i(t, \varepsilon) dt \right|. \tag{6.5.84}
\end{aligned}$$

Как уже отмечалось в доказательстве леммы 9,  $|g_i(t, \varepsilon)| \leq C$ , а  $\alpha_m \geq C_1 > 0$  в силу (6.5.59) и отделенности  $p(t, \varepsilon)$  от нуля. Поэтому в силу уже доказанного для  $i \leq m$

$$\left| \frac{g_i(t_{m+1}, \varepsilon)}{\alpha_m} \langle u, \mu_i \rangle \right| \leq C \|u\|_{\varepsilon}. \tag{6.5.85}$$

Далее, интегрируя по частям, имеем

$$\begin{aligned}
& \left| g_i(t_{m+1}, \varepsilon) \int_{t_m}^{t_{m+1}} p(t, \varepsilon) u'(t) dt \right| \leq \\
& \leq C \left| [p(t, \varepsilon) u(t)]_{t_m}^{t_{m+1}} - \int_{t_m}^{t_{m+1}} p(t, \varepsilon) u'(t) dt \right| \leq \\
& \leq C_1 \left( \|u\|_C + \int_{t_m}^{t_{m+1}} \left[ 1 + \frac{1}{\varepsilon} \exp\left(p_0 \frac{t-1}{\varepsilon}\right) \right] dt \|u\|_C \right) \leq \\
& \leq C_2 \|u\|_C \leq C_3 \|u\|_{\varepsilon}. \tag{6.5.86}
\end{aligned}$$

Оценим два последних члена в (6.5.84). Добавляя и отнимая тождество (6.5.67) при  $w(t) = u$ , имеем

$$\begin{aligned}
& \left| \int_{t_{m+1}}^1 \varepsilon u'(t) g_i(t) dt + \int_{t_{m+1}}^1 p(t, \varepsilon) u'(t) g_i(t, \varepsilon) dt \right| = \\
& = \left| u(t_i) - \int_0^{t_{m+1}} \varepsilon u'(t) \frac{\partial G^*}{\partial t}(t, t_i) dt - \right. \\
& \quad \left. - \int_0^{t_{m+1}} p(t, \varepsilon) u'(t) G^*(t, t_i) dt + \int_0^{t_{m+1}} \varepsilon u'(t) \left( g_i'(t, \varepsilon) - \frac{\partial G^*}{\partial t}(t, t_i) \right) dt + \right.
\end{aligned}$$

$$+ \int_0^{t_{m+1}} p(t, \varepsilon) u'(t) \left( g_i(t, \varepsilon) - G^*(t, t_i) \right) dt \Big|. \quad (6.5.87)$$

Оценим последовательно все слагаемые в правой части (6.5.87).

$$\left| \int_0^{t_{m+1}} \varepsilon u'(t) \frac{\partial G^*}{\partial t}(t, t_i) dt \right| \leq \int_0^{t_m} |\dots| dt + \int_{t_m}^{t_{m+1}} |\dots| dt. \quad (6.5.88)$$

Из оценок функции Грина (5.3.6) из главы 5 следует, что при  $i \geq m + 1$

$$\varepsilon^{1-j} \int_0^{t_m} \left| \frac{\partial G^*}{\partial t}(t, t_i) \right| dt \leq C, \quad j = 1, 2; \quad \sup_{t \in [t_m, t_{m+1}]} \left| \frac{\partial G^*}{\partial t}(t, t_i) \right| \leq C/\varepsilon. \quad (6.5.89)$$

Поэтому

$$\begin{aligned} & \left| \int_0^{t_{m+1}} \varepsilon u'(t) \frac{\partial G^*}{\partial t}(t, t_i) dt \right| \leq \\ & \leq \varepsilon \|u\|_{L^\infty[0, t_m]} \int_0^{t_m} \left| \frac{\partial G^*}{\partial t}(t, t_i) \right| dt \leq C_1 \|u\|_\varepsilon, \end{aligned} \quad (6.5.90)$$

$$\begin{aligned} & \left| \int_{t_m}^{t_{m+1}} \varepsilon u'(t) \frac{\partial G^*}{\partial t}(t, t_i) dt \right| = \left| \left[ \varepsilon u(t) \frac{\partial G^*}{\partial t}(t, t_i) \right]_{t_m}^{t_{m+1}} - \right. \\ & \left. - \int_{t_m}^{t_{m+1}} \varepsilon u(t) \frac{\partial^2 G^*}{\partial t^2}(t, t_i) dt \right| \leq C_1 \|u\|_\varepsilon. \end{aligned} \quad (6.5.91)$$

Далее, с учетом (6.5.87), неравенства  $|G^*(t, t_i)| \leq C$ , оценок (6.1.7) для функции  $p(t, \varepsilon)$  имеем

$$\begin{aligned} & \left| \int_0^{t_{m+1}} p(t, \varepsilon) u'(t) G^*(t, t_i) dt \right| = \\ & = \left| \left[ p(t, \varepsilon) u(t) G^*(t, t_i) \right]_0^{t_{m+1}} - \int_0^{t_{m+1}} u(t) \frac{d}{dt} \left( p(t, \varepsilon) G^*(t, t_i) \right) dt \right| \leq \\ & \leq C \|u\|_{C[0,1]} \left| \left( 1 + \int_0^{t_{m+1}} \left[ 1 + \frac{1}{\varepsilon} \left( \exp(p_0 \frac{t-1}{\varepsilon}) + \exp(p_0 \frac{t-t_i}{\varepsilon}) \right) \right] dt \right) \right| \leq \\ & \leq C_1 \|u\|_{C[0,1]} \leq C_1 \|u\|_\varepsilon. \end{aligned} \quad (6.5.92)$$

Для оценок двух последних интегралов в (6.5.87) заметим, что в силу теоремы Ролля и того, что  $g_i(t, \varepsilon)$  линейно интерполирует  $G^*(t, t_i)$  на каждом частичном отрезке  $[t_j, t_{j+1}]$ ,

$$g'_i(t, \varepsilon) = \frac{\partial G^*}{\partial t}(\xi_j, t_i), \quad t \in [t_j, t_{j+1}], \quad \xi_j \in [t_j, t_{j+1}], \quad j = m + 1, \dots, 2m - 1, \quad (6.5.93)$$

а в силу оценок (5.3.6) (см. гл. 5) функции Грина

$$\left| \frac{\partial^2 G^*}{\partial t^2}(t, t_i) \right| \leq \frac{C}{\varepsilon^2} \left[ \exp\left(p_0 \frac{|t-t_i|}{\varepsilon}\right) + \exp\left(p_0 \frac{t-1}{\varepsilon}\right) \right] + C_1. \quad (6.5.94)$$

Из (6.5.93), (6.5.94), теоремы Лагранжа о конечных приращениях, оценок сингулярной экспоненты в узлах сетки  $\Delta$  имеем

$$\begin{aligned}
& \left| g'_i(t, \varepsilon) - \frac{\partial G^*}{\partial t}(t, t_i) \right| \leq \sup_{s \in [t_j, t_{j+1}]} \left| \frac{\partial^2 G^*}{\partial t^2}(s, t_i) \right| h_j \leq \\
& \leq \frac{C_2}{\varepsilon^{(j-m)}} \left( \exp \left( p_0 \frac{|t_j - t_i|}{\varepsilon} \right) + \exp \left( p_0 \frac{t_j - 1}{\varepsilon} \right) \right) \leq \\
& \leq \frac{C_3}{\varepsilon} \begin{cases} \frac{i-m}{(j-m)^2}, & j \geq i, \\ \frac{j-m}{m^2} - \frac{1}{(i-m)^2}, & i \geq j. \end{cases} \tag{6.5.95}
\end{aligned}$$

Кроме того, в силу леммы 4

$$\left| g_i(t, \varepsilon) - G^*(t, t_i) \right| \leq \begin{cases} \frac{1}{(i-m)^2}, & j \leq i, \\ \frac{1}{(j-m)^2}, & j > i, \end{cases} \quad t \in [t_j, t_{j+1}], \quad j \geq m+1. \tag{6.5.96}$$

Перейдем к оценкам двух последних интегралов в (6.5.87). Интегрируя по частям и используя (6.5.92), (6.5.93), получаем

$$\begin{aligned}
& \left| \int_0^{t_{m+1}} \varepsilon u'(t) (g'_i(t, \varepsilon) - \frac{\partial G^*}{\partial t}(t, t_i)) dt \right| = \\
& = \left| \left[ \sum_{j=m+1}^{2m-1} \varepsilon u(t) (g'_i(t, \varepsilon) - \frac{\partial G^*}{\partial t}(t, t_i)) \right]_{t_j}^{t_{j+1}} + \int_0^{t_{m+1}} \varepsilon u(t) \frac{\partial^2 G^*}{\partial t^2}(t, t_i) dt \right| \leq \\
& \leq C \varepsilon \| u \|_\varepsilon \left( \sum_{j=m+1}^{2m-1} \left( \sum_{j=m+1}^{2m-1} \left| g'_i(t, \varepsilon) - \right. \right. \right. \\
& \quad \left. \left. \left. - \frac{\partial G^*}{\partial t}(t, t_i) \right|_{t_j}^{t_{j+1}} + \right. \right. \\
& \left. \left. + \frac{1}{\varepsilon^2} \int_{t_{m+1}}^1 \left[ \exp \left( p_0 \frac{|t_j - t_i|}{\varepsilon} \right) + \exp \left( p_0 \frac{t_j - 1}{\varepsilon} \right) \right] dt \right) \leq C_1 \| u \|_\varepsilon. \tag{6.5.97}
\end{aligned}$$

$$\begin{aligned}
& \left| \int_0^{t_{m+1}} p(t, \varepsilon) u'(t) (g_i(t, \varepsilon) - G^*(t, t_i)) dt \right| = \\
& = \left| [p(t, \varepsilon) u(t) (g_i(t, \varepsilon) - G^*(t, t_i))]_{t_{m+1}}^1 - \right. \\
& \quad \left. - \int_0^{t_{m+1}} u(t) \frac{d}{dt} [p(t, \varepsilon) (g_i(t, \varepsilon) - G^*(t, t_i))] dt \right| \leq \\
& \leq C \| u \|_\varepsilon \left( 1 + \sum_{j=m+1}^{2m-1} \int_{t_j}^{t_{j+1}} \left| g'_i(t, \varepsilon) - \frac{\partial G^*}{\partial t}(t, t_i) \right| dt + \right.
\end{aligned}$$

$$+\frac{1}{\varepsilon} \int_{t_{m+1}}^1 \exp\left(p_0 \frac{t-1}{\varepsilon}\right) dt \leq C_1 \|u\|_\varepsilon. \quad (6.5.98)$$

Тем самым все необходимые оценки проведены, и из (6.5.84)-(6.5.98) вытекают оценки (6.5.79) при  $i \geq m+1$ . Лемма доказана.

Таким образом, вспомогательные функционалы  $\mu_i$  полностью изучены.

**Замечание 2.** В дальнейшем будем считать, что

$$\langle N_{1,i-1}, \mu_i \rangle = 1.$$

В силу (6.5.61) оценки (6.5.65)-(6.5.65) и (6.5.79) останутся в силе.

Интересующие нас функционалы  $\lambda_i$  будем искать в виде

$$\lambda_i = \sum_{j=1}^{2m-1} \beta_j^i \mu_i. \quad (6.5.99)$$

Из условий биортогональности для отыскания  $\beta_j^i$  получим СЛАУ с правой частью  $e_i = \{e_i^j\}$ ,  $e_i^j = \delta_{i,j}$  и матрицей  $B$  с элементами  $b_{kj} = \langle N_{1,k-1}, \mu_j \rangle$ .

Пусть  $\|B\|_1$  — норма матрицы, согласованная с  $l_1$ -нормой вектора. В силу леммы 9 и замечания 2 матрицу  $B$  можно представить в виде  $B = B_1 + \mathcal{E}$ , где

$$\|\mathcal{E}\|_1 \leq C(1/m + \varepsilon m + 1/|\ln(\varepsilon)|),$$

а  $B_1$  — нижнетреугольная матрица, на главной диагонали которой стоят единицы, прочие же элементы  $\tilde{b}_{kj}$  таковы, что  $\tilde{b}_{kj} = 0$  для  $k \neq j \leq m$ ,  $|\tilde{b}_{kj}| \leq C/(k-m)^2$  для  $k > j \geq m+1$ . Если мы докажем оценку

$$\|B_1^{-1}\| \leq C, \quad (6.5.100)$$

то при малых  $\varepsilon$ ,  $m$ ,  $\varepsilon m$  получим, что матрица  $B$  обратима, и  $|B^{-1}| \leq C_1$ . Но тогда для коэффициентов  $\beta_j^i$  будет справедлива оценка  $\sum_j |\beta_j^i| \leq C_1$ , откуда в силу (6.5.79), (6.5.99) получим, что биортогональные функционалы  $\lambda_i$  существуют, и для них справедливы оценки (6.5.57). Этим завершается доказательство квазиоптимальности метода Галеркина для частного случая  $q(t, \varepsilon) \equiv 0$ . Случай оператора  $M_\varepsilon$  изучается совершенно аналогично.

Итак, докажем (6.5.100). Для этого представим матрицу  $B_1$  в виде

$$B_1 = \begin{pmatrix} B_{11} & 0 & 0 \\ B_{21} & B_{22} & 0 \\ B_{31} & B_{32} & B_{33} \end{pmatrix},$$

где  $B_{11}$  —  $(m \times m)$ -матрица,  $B_{22}$  —  $(i_0 \times i_0)$ -матрица. В силу сказанного выше относительно элементов матрицы  $B_1$ , матрицы  $B_{21}$  и  $B_{31}$  — нулевые,  $B_{11}$  — единичная матрица,  $B_{22}$  — нижняя треугольная матрица с единицами на главной диагонали и равномерно по  $\varepsilon$  и  $m$  ограниченными элементами, матрица  $B_{33}$  имеет вид  $I + \mathcal{E}_3$ , где  $\|\mathcal{E}_3\|_1 \leq C/i_0$ , а  $\|B_{32}\|_1 \leq C$ . Отсюда следует, что при достаточно большом, но не зависящем от  $\varepsilon$  и  $m$  номере  $i_0$ , матрицы  $B_{ii}$  имеют равномерно ограниченные по норме  $\|\cdot\|_1$  обратные, и блоки ниже главной диагонали равномерно по  $\varepsilon$  и  $m$  ограничены. Из этого вытекает оценка (6.5.100).

Итак, квазиоптимальность метода Галеркина для операторов частного вида доказана. Для доказательства ее в общем случае установим предварительно еще одно вспомогательное утверждение.

**Лемма 11** Пусть функция  $u_\varepsilon(t) : u_\varepsilon(0) = u_\varepsilon(1) = 0$  удовлетворяет при  $t \in [0, 1]$  оценкам

$$|u_\varepsilon^{(i)}(t)| \leq C \left(1 + \varepsilon^{-i} \exp\left(p_0 \frac{t-1}{\varepsilon}\right)\right), \quad i = 0, 1. \quad (6.5.101)$$

Тогда найдется такая функция  $v(t)$  из пробного пространства  $E(\varepsilon, m)$ , что при  $j = 1$

$$\|v(t) - u_\varepsilon(t)\|_\varepsilon \leq C/m^j. \quad (6.5.102)$$

Если оценки (6.5.59) справедливы и для  $i = 2$ , то оценки (6.5.60) справедливы для  $j = 2$ .

**Доказательство.** Выберем в качестве  $v(t)$  ломаную, интерполирующую  $u_\varepsilon(t)$  в узлах  $\Delta$ . Оценим разность  $v(t) - u_\varepsilon(t)$  на каждом частичном отрезке  $[t_k, t_{k+1}]$ .

В силу формулы погрешности линейной интерполяции для гладких функций

$$\left|u_\varepsilon^{(i)}(t) - v^{(i)}(t)\right| \leq Ch_k^{j-i} \max_{t \in [t_k, t_{k+1}]} \left|u_\varepsilon^{(j)}(t)\right|, \quad t \in [t_k, t_{k+1}], \quad i = 0, 1. \quad (6.5.103)$$

При  $k \leq m - 1$  из формулы [30, (16.3)] получаем, что

$$\left|u_\varepsilon^{(j)}(t)\right| \leq C, \quad t \in [t_k, t_{k+1}]$$

при  $j = 0, 1$  (и  $j = 2$  соответственно). Поэтому из (6.5.103) следует, что

$$\max_{t \in [0, t_m]} \left|u_\varepsilon^{(i)}(t) - v^{(i)}(t)\right| \leq \frac{C}{m^{j-i}}, \quad i = 0, 1. \quad (6.5.104)$$



При  $k \geq m + 1$  из (6.5.99) имеем при  $j = 1, 2$

$$\begin{aligned} \max_{t \in [t_k, t_{k+1}]} |u_\varepsilon(t) - v(t)| &\leq C \left( \frac{\varepsilon}{k-m} \right)^j \left( 1 + \frac{(k-m)^2}{\varepsilon m^2} \right) = \\ &= C \left[ \left( \frac{\varepsilon}{k-m} \right)^j + \frac{\varepsilon^{j-1}}{(k-m)^{j-2} m^2} \right] \leq C/m^j, \quad k \geq m + 1. \end{aligned} \quad (6.5.105)$$

Наконец, изучим разность  $u_\varepsilon(t) - v(t)$  на  $[t_m, t_{m+1}]$ . Из (42.46) и [30, (16.3)] следует, что

$$\int_{t_m}^{t_{m+1}} |u'_\varepsilon(t)| dt \leq C \left( h_m + \frac{1}{m^2} \right) \leq \frac{C}{m^2}.$$

Значит, в силу формулы Ньютона-Лейбница изменение  $u_\varepsilon(t)$  на  $[t_m, t_{m+1}]$  не превосходит  $O(1/m)$ , откуда получаем, что

$$\max_{t \in [t_m, t_{m+1}]} |u_\varepsilon(t) - v(t)| \leq \frac{C}{m}.$$

Для получения оценки второго порядка введем в рассмотрение полином Тейлора  $\tilde{v}(t)$  первой степени для функции  $u_\varepsilon(t)$  с центром разложения в точке  $t = t_m$ . Из (6.5.101) при  $i = 2$  и формулы Тейлора с остаточным членом в интегральной форме получаем, что

$$|\tilde{v}(t_{m+1}) - v(t_{m+1})| = |\tilde{v}(t_{m+1}) - u_\varepsilon(t_{m+1})| \leq C/\varepsilon.$$

Но тогда, поскольку  $\tilde{v}$  и  $v$  линейные на  $[t_m, t_{m+1}]$  функции, и  $\tilde{v}(t_m) = v(t_m)$ , то  $\|\tilde{v}(t) - v(t)\|_{C[t_m, t_{m+1}]} \leq C_1/m^2$ , откуда

$$\|v(t) - u_\varepsilon(t)\|_{C[t_m, t_{m+1}]} \leq C/m^2. \quad (6.5.106)$$

Из (6.5.103)-(6.5.107) вытекает утверждение леммы. Лемма доказана.

Установим квазиоптимальность в общем случае. Для этого представим оператор  $L_\varepsilon$  в виде

$$L_\varepsilon = L_{\varepsilon,0} + L_{\varepsilon,1},$$

где  $L_{\varepsilon,1}u = q(t, \varepsilon)u$ , и проверим выполнение условий лемм 7, 8. Отметим сразу же, что оценки (6.4.51) вытекают из оценок функции Грина (5.3.6) из главы 5 и замечания 1. По этой же причине выполнено условие 1 леммы 7. Равенства (6.4.48), (6.4.49) непосредственно следуют из определения  $\psi_{L_\varepsilon}$ . Квазиоптимальность для оператора  $L_{\varepsilon,0}$  была установлена выше.

Осталось доказать, что для любой функции  $u \in E_\varepsilon$  такой, что  $\|u\|_\varepsilon \leq 1$ , найдется такая функция  $v \in E(\varepsilon, m)$ , что

$$\|v - Gu\|_\varepsilon \leq C\gamma(\varepsilon, m), \quad (6.5.107)$$

где  $Gu = \int_0^1 \tilde{G}(t, \xi)(\xi, \varepsilon)u(\xi)d\xi$ ,  $\tilde{G}(t, \xi)$  — функция Грина оператора  $L_{\varepsilon,0}$ ;  $\gamma(\varepsilon, m) \rightarrow 0$  при  $\varepsilon \rightarrow 0, m \rightarrow \infty$ .

Положим  $u_\varepsilon = Gu$ . Тогда из оценок (5.3.6) (см. гл. 5) функции Грина следует, что для функции  $u_\varepsilon$  справедливы неравенства (6.5.101). Поэтому в силу (6.5.102) неравенство (??) выполняется с  $\gamma(\varepsilon, m) = 1/m$ . Тем самым квазиоптимальность метода Галеркина доказана для оператора  $L_\varepsilon$ . Доказательство для оператора  $M_\varepsilon$  совершенно аналогично.

Из квазиоптимальности метода Галеркина вытекает утверждение теоремы 1 и оценки (6.1.16). Если  $q(t, \varepsilon), p(t, \varepsilon), f(t)$  ограничены равномерно по  $\varepsilon$  вместе с производными, то, в силу леммы 1 точные решения уравнений (6.1.3), (6.1.4) удовлетворяют оценкам вида (6.5.101) для  $i = 0, 1, 2$ . Поэтому в силу леммы 11 найдется  $v(t) \in E(\varepsilon, m)$ , для которой будут справедливы оценки (6.5.100) при  $j = 2$ . Поэтому оценки (6.1.18) будут вытекать из (6.1.16). Тем самым теорема 1 доказана полностью.

## 6.6 Доказательство теоремы 2

Для доказательства этой теоремы используем ньютоновскую линеаризацию нелинейной задачи. При этом для получающихся линеаризованных задач будет справедлива теорема 1. Опираясь на этот факт, и используя стандартную технику [42], применяемую при исследовании метода Ньютона-Канторовича, докажем теорему 2.

Итак, линеаризуем уравнение (6.1.5) по Ньютону-Канторовичу на точном решении  $w_\varepsilon$  задачи (6.1.5), (6.1.6) и, выделяя главную линейную часть, запишем его в виде

$$\begin{aligned} M_\varepsilon w &\equiv -\varepsilon w'' + (p(t, w_\varepsilon)w)' + \left[ \frac{\partial q}{\partial w}(t, w_\varepsilon) - \frac{\partial p}{\partial t}(t, w_\varepsilon) \right] w = \\ &= (p(t, w_\varepsilon), w)' - (p(t, w), w)' + \left[ \frac{\partial q}{\partial w}(t, w_\varepsilon) - \frac{\partial p}{\partial t}(t, w_\varepsilon) \right] w - q(t, w). \end{aligned} \quad (6.6.108)$$

Обозначим через  $H(t, \xi)$  функцию Грина оператора  $M_\varepsilon$  с краевыми условиями (6.1.6) и сведем (6.6.108) к эквивалентному интегральному уравнению.

Предварительно введем обозначение

$$a(t, w) = \int_0^w p(t, \phi) d\phi.$$

Применим к обеим частям (6.6.108) интегральный оператор с ядром  $H(t, \xi)$  и интегрируя по частям, получим, что задача (6.6.108), (6.1.6) эквивалентна интегральному уравнению

$$\begin{aligned} w(t) = & \int_0^1 \frac{\partial H}{\partial t}(t, \xi) [p(\xi, w_\varepsilon(\xi))w(\xi) - a(\xi, w(\xi))] d\xi + \\ & + \int_0^1 H(t, \xi) \left[ \left( \frac{\partial a}{\partial w}(\xi, w_\varepsilon(\xi)) - \right. \right. \\ & \left. \left. - \frac{\partial p}{\partial \xi}(\xi, w_\varepsilon(\xi)) \right) w(\xi) - q(\xi, w(\xi)) + \frac{\partial a}{\partial \xi}(\xi, w(\xi)) \right] d\xi \equiv T_\varepsilon w(t). \end{aligned}$$

Поскольку оператор  $M_\varepsilon$  — оператор вида (6.1.4) и удовлетворяет всем условиям теоремы 1, а значит для него метод Галеркина квазиоптимален. Обозначим через  $P = P(\varepsilon, m)$  соответствующий галеркинский проектор. Тогда галеркинская задача (6.1.14) будет эквивалентна операторному уравнению

$$w_m = PT_\varepsilon w_m. \quad (6.6.109)$$

Действительно, обозначая правую часть (6.6.108) через  $f = f(t, w_\varepsilon, w)$ , по определению  $P$  при фиксированном  $w$  имеем

$$w_m = PM_\varepsilon^{-1}f = PH(f(t, w_\varepsilon, w)) = PT_\varepsilon W.$$

Но из постановки задачи (6.1.19)-(6.1.21) следует, что  $w = w_m$ , т.к. если преобразовать задачу (6.1.19)-(6.1.21) к виду (6.6.108), то и в левой, и в правой части будет стоять одна и та же функция  $w_m$  (в правой части  $w_m$  будет входить в выражение для  $f$ ).

Легко видеть, что оператор  $T_\varepsilon : E_\varepsilon \rightarrow E_\varepsilon$  дифференцируем по Фреше, причем непосредственная проверка показывает, что  $T'_\varepsilon(w_\varepsilon)$  — нулевой оператор (т.к. переходя от (6.1.5) к (6.6.108), мы фактически добавили и отняли главную линейную часть оператора в окрестности  $w_\varepsilon(t)$ ). Кроме того, в силу замечания 1, оценок вида (5.3.6) (см. гл. 5) для  $H(t, \xi)$  и гладкости  $p(t, u)$ ,  $q(t, u)$ , в некотором шаре пространства  $E_\varepsilon$  положительного радиуса  $\delta > 0$ , не зависящего от  $\varepsilon$ , с центром в  $u_\varepsilon$  будет справедливо неравенство

$$\| T'_\varepsilon(u_1) - T'_\varepsilon(u_2) \|_{E_\varepsilon \rightarrow E_\varepsilon} \leq C_1 \| u_1 - u_2 \|_\varepsilon. \quad (6.6.110)$$

Сделаем в уравнении (6.6.109) замену  $v = u - u_\varepsilon$ . Тогда, учитывая, что  $T_\varepsilon u_\varepsilon = u_\varepsilon$  и  $T'(u_\varepsilon) = 0$ , (6.6.109) можно переписать в виде

$$v = (Pu_\varepsilon - u_\varepsilon) + PR_\varepsilon(v), \quad (6.6.111)$$

причем в силу формулы конечных приращений [15, с. 483] [54, с. 483] и (6.6.110)

$$\| PR(v) \|_\varepsilon \leq C_2 \| v \|_\varepsilon^2, \quad C_2 = C_2(C_1). \quad (6.6.112)$$

Из (6.6.112) и квазиоптимальности метода Галеркина для  $M_\varepsilon$  вытекает, что найдется такое  $\delta_0 > 0$ , зависящее лишь от  $C_1$  и  $C_2$ , что оператор  $PR_\varepsilon$  будет сжимающим в шаре  $E_\varepsilon$  с центром в нуле. Поскольку в силу квазиоптимальности, леммы 11 и оценок (6.1.8)

$$\| Pu_\varepsilon - u_\varepsilon \|_\varepsilon \leq C/m^2,$$

то при малых  $1/m$  оператор  $Q_\varepsilon(v) = (Pu_\varepsilon - u_\varepsilon) + PR_\varepsilon(v)$  будет сжимающим в шаре  $E_\varepsilon$  радиуса  $\delta_0/2$  с центром в  $Pu_\varepsilon - u_\varepsilon$ . Значит, уравнение (6.6.111) будет иметь в этом шаре единственное решение. Применяя метод последовательных приближений, получаем, что решение (6.6.111) удовлетворяет оценке

$$\| v \|_\varepsilon \leq C \| Pu_\varepsilon - u_\varepsilon \|_\varepsilon \leq C/m^2.$$

Возвращаясь к уравнению (6.6.109) и галеркинской задаче (??), получаем утверждение теоремы 2. Теорема 2 доказана.

## Глава 7

# СХОДИМОСТЬ МЕТОДОВ АДАПТАЦИИ СЕТОК В ПРОЕКЦИОННЫХ МЕТОДАХ ДЛЯ СИНГУЛЯРНО ВОЗМУЩЕННЫХ КРАЕВЫХ ЗАДАЧ

В данной главе рассматриваются вопросы сходимости алгоритмов адаптации сеток в методе конечных элементов Галёркина, причем в первой и второй частях раздела берутся сетки, построенные по известной методике Г.И. Шишкина [70], для сингулярно возмущенной краевой задачи с симметричным и несимметричным оператором, а в третьей части рассматриваются задачи, в которых используются сетки Н.С. Бахвалова.

## 7.1 Алгоритм адаптации сеток Г.И. Шишкина для сингулярно-возмущенной краевой задачи с симметричным оператором

### 7.1.1 Постановка задачи

Пусть  $\Delta: -1 = t_{-p} < t_{-p+1} < \dots < t_{p-1} < t_p = 1$  — некоторое разбиение отрезка  $[-1, 1]$ . Через  $N_{1,i}(t)$  будем обозначать нормированные на единицу в  $C[-1, 1]$  сплайны первой степени на разбиении  $\Delta$  с носителем на интервале  $(t_i, t_{i+2})$ , а через  $S(\Delta, 1, 1)$  — пространство линейных сплайнов дефекта 1 на сетке  $\Delta$ .

На отрезке  $[-1, 1]$  рассмотрим краевую задачу для сингулярно возмущенного дифференциального уравнения второго порядка

$$Lx \equiv -\varepsilon^2 \ddot{x} + c(t)x = f(t), \quad (7.1.1)$$

$$x(-1) = x(1) = 0. \quad (7.1.2)$$

Здесь функции  $c(t)$  и  $f(t)$  принадлежат классу  $C^1[-1, 1]$ , причем  $c(t) \geq c_0 > 0$ ,  $t \in [-1, 1]$ ,  $\varepsilon$  - параметр, принимающий произвольные значения из полуинтервала  $(0, 1]$ . При стремлении параметра  $\varepsilon$  к нулю в окрестности точек 1 и  $-1$  возникают пограничные слои. Справедливо [43] асимптотическое разложение решения

$$x(t) = \frac{f(t)}{c(t)} - C_1 e^{-\sqrt{c(-1)} \frac{t+1}{\varepsilon}} - C_2 e^{\sqrt{c(1)} \frac{t-1}{\varepsilon}} + O(\varepsilon).$$

Зафиксируем некоторое натуральное  $m$ . Пусть  $C > 0$  некоторая константа.

**Определение 1.** Будем говорить, что  $a(\varepsilon, C)$  есть  $m$ -граница пограничного слоя, если справедлива оценка

$$\max \left( \max_{t \in [-a, a]} e^{\sqrt{c(1)} \frac{t-1}{\varepsilon}}, \max_{t \in [-a, a]} e^{-\sqrt{c(-1)} \frac{t+1}{\varepsilon}} \right) \leq \frac{C}{m^2}.$$

**Определение 2.** Число  $\tilde{a} = \tilde{a}(\varepsilon, m) = \sup a(\varepsilon, C)$  будем называть точной  $m$ -границей погранслоя.

Мы будем предполагать, что нам известно расположение погранслоев, но неизвестна их точная  $m$ -граница. Поэтому будем рассматривать адаптационные алгоритмы, позволяющие определить эту границу.

*Замечание.* Последнее определение аналогично определению ширины пограничного слоя, введенному Г.И. Шишкина в [71] с пороговым значением  $\delta = m^{-2}$ .

## 7.1.2 Формулировки основных результатов

### Численный метод решения задачи

Для данного  $m \in N$  определим на отрезке  $[-1, 1]$  кусочно-равномерную сетку узлов  $\Delta$ , которая представляет собой комбинацию двух равномерных сеток: густой сетки в области погранслоев и редкой сетки вне погранслоев, в соответствии с известной методикой Шишкина [70]. Пусть  $p_0 > 0$ ,  $a = 1 - \frac{2}{p_0} \varepsilon \ln m$ ,

$$t_i = \begin{cases} a \frac{i}{m}, & i = 0, 1, \dots, m \\ a + (1 - a) \frac{i-m}{k^*-m}, & i = m+1, m+2, \dots, k^*, \quad t_{-i} = -t_i, \quad i = 1, \dots, k^*, \end{cases} \quad (7.1.3)$$

где  $k^* = m + \left[ \frac{2}{p_0} m |\ln m| \right] + 1$ .

Построенное разбиение будем называть сеткой Шишкина с параметром  $p_0$ . Заметим, что если в качестве значения этого параметра взято число  $p_0 = c_0$  определенное в предыдущем разделе, что узлы сетки  $t_{-m} = -a$  и  $t_m = a$  являются точными границами пограничного слоя в окрестности точек  $-1$  и  $1$ , соответственно.

Введем пространство

$$E = \{x_m = x_m(t) \in S(\Delta, 1, 1), x_m(-1) = x_m(1) = 0\},$$

где  $S(\Delta, 1, 1)$  - пространство линейных сплайнов дефекта 1 на сетке Шишкина  $\Delta$ , определяемой равенством (7.1.3). Размерность пространства  $E$  равна  $2k^* - 1$ .

Для нахождения приближенного решения задачи (7.1.1) - (7.1.2) будем использовать метод конечных элементов Галеркина, суть которого состоит в отыскании  $x_m(t) \in E$ , такой, что для любой функции  $y(t) \in E$  имеет место

$$F_\varepsilon(x_m, y) \equiv \varepsilon(x'_m, y') + (x_m, c(t)y) = (f, y), \quad (7.1.4)$$

где скалярное произведение понимается в смысле  $L_2[-1, 1]$ .

**Теорема 1** *Найдутся такие константы  $\varepsilon_0 > 0$ ,  $m_0 \in N$ ,  $C > 0$ , что для любых  $\varepsilon \in (0, \varepsilon_0]$ ,  $m > m_0$ :  $\varepsilon m \leq 1$  существует единственное решение  $x_m(t)$  задачи (7.1.4), причем для решения  $x_m(t)$  справедлива оценка:*

$$\|x_m(t) - x(t)\| \leq \frac{C}{m^2}.$$

## Алгоритм адаптации сеток в случае неизвестной границы погранслоя

Расположение точки  $a = 1 - \frac{2}{p_0} \varepsilon \ln m$ ,  $p_0 = c_0$  - точки перехода между крупной и мелкой сеткой разбиения, зависит от константы  $c_0$  из уравнения (7.1.1). Будем предполагать, что эта константа нам неизвестна, и построим последовательность сеток, согласно следующему алгоритму:

- I. Задается некоторое значение  $p^0 \geq p_0 = c_0$  и для него строится соответствующая сетка Шишкина по правилу (7.1.3), где  $a = a_0 = 1 - \frac{2}{p^0} \varepsilon \ln m$ . В результате решения задачи (7.1.4) на сетке (7.1.3) получается приближенное решение  $x_{m,p^0}(t)$ . Полагаем  $k = 0$ .
- II. Задается следующее значение  $p^{k+1} = p^k - \tau_k$ , где  $\tau_k$  выбирается так, чтобы  $|a_k - a_{k+1}| = \varepsilon \ln \ln m$ . Здесь  $a_k = t_{m,p^k}(t)$ ,  $a_{k+1} = t_{m,p^{k+1}}$  - границы между густым и редким разбиениями сетки Шишкина (7.1.3) соответственно при  $p = p^k$  и  $p = p^{k+1}$ . В результате решения задачи (7.1.4) при  $p = p^{k+1}$  получается приближенное решение  $x_{m,p^{k+1}}(t)$ .
- III. Ищем величину  $\bar{\mu}_k = \|x_{m,p^{k+1}}(t) - x_{m,p^k}(t)\|_{C[a_{k+1}, a_k]}$ .
- IV. Если  $k = 0$ , тогда  $k := k + 1$  и происходит переход к пункту II, иначе - переход к пункту V.
- V. Если  $\bar{\mu}_k > \frac{\ln m}{m^2}$ , тогда  $k := k + 1$  и происходит переход к пункту II, иначе - конец алгоритма.

**Теорема 2** *Найдутся такие константы  $\varepsilon_0 > 0$ ,  $m_0 \in N$ ,  $\gamma > 0$ ,  $C_1 > 0$ ,  $C_2 > 0$ , что для любых  $\varepsilon \in (0, \varepsilon_0]$ ,  $m \geq m_0$ :  $\varepsilon |\ln m| \leq \frac{\gamma}{m}$  алгоритм (I) - (V) параграфа 7.1.2 закончит работу при  $k < C_2 \ln m / \ln \ln m$ , причем для решения  $x_m^{(k)}$  на сетке, определяемой параметром  $p^k$ , будет справедлива оценка:*

$$\|x_m^{(k)} - x\| \leq \frac{C_1}{m^2}.$$

### 7.1.3 Галёркинский проектор

**Определение 3** Оператор  $P: E \rightarrow E$  называется *галеркинским проектором*, если  $Px = x_m$ , где  $x$  - точное решение задачи (7.1.1) - (7.1.2),  $x_m$  - решение задачи (7.1.4).



Как было показано в [30], галеркинский проектор  $P$  может быть представлен в виде

$$Px = \sum_{j=-k^*+1}^{k^*-1} F(\lambda_j, x) N_{1,j-1}(t), \quad (7.1.5)$$

где  $F_\varepsilon(\lambda_j, x) = \varepsilon^2(\lambda'_j, x') + (\lambda_j, c(t)x)$ ;  $\{N_{1,i}(t)\}$ ,  $i = \overline{-k^*, k^* - 2}$  — совокупность нормированных на единицу в  $C[-1, 1]$  сплайнов из пространства  $E$  с носителем  $(t_i, t_{i+2})$ ;  $\{\lambda_j(t)\}$ ,  $j = -k^* + 1, \dots, k^* - 1$  — совокупность функций из  $S(\Delta, 1, 1)$ , образующих биортогональный к  $\{N_{1,i}(t)\}$  базис в смысле формы  $F_\varepsilon$ , т. е.

$$F_\varepsilon(N_{1,i}, \lambda_j) = \delta_{i,j-1}. \quad (7.1.6)$$

Будем говорить, что галеркинский проектор обладает свойством квазиоптимальности на  $E$ , если найдется такая не зависящая от  $m$  и  $\varepsilon$  константа  $C > 0$ , что

$$\| P \|_{C_{[-1,1]} \rightarrow C_{[-1,1]}} \leq C. \quad (7.1.7)$$

Для оценки погрешности приближенного решения и обоснования сходимости алгоритма адаптации принципиальной является оценка (7.1.7).

Целью работы является доказательство квазиоптимальности галеркинской проекции приближенного решения  $x_m(t)$  задачи (7.1.4), т. е. оценки (7.1.7), и теоремы о сходимости алгоритма адаптации.

Основной конструкцией при доказательстве (7.1.7) служит биортогональный базис  $\{\lambda_i(t)\}$ . Представление галеркинского проектора (7.1.5) через базис из В-сплайнов и биортогональный к нему в  $L_2[-1, 1]$  базис позволит доказать равномерную по  $\varepsilon$  и  $m$  ограниченность норм галеркинских проекторов и тем самым основной результат.

В дальнейшем нам удобно рассматривать  $\lambda_i(t)$  как элементы сопряженного к пространству  $E^*$ , понимая  $\langle u, \lambda_i \rangle = F_\varepsilon(u, \lambda_i)$ . Поэтому функции  $\lambda_i(t) \in E$  будем называть функционалами над  $E$ .

Для построения биортогональных функционалов  $\lambda_i(t)$  сначала построим вспомогательные локальные функционалы  $\mu_i^1(t)$  на  $[-a, a]$  и  $\mu_i^2(t)$  в погранслоях.

## 7.1.4 Построение биортогональных функционалов

### Построение локальных функционалов на отрезке $[-a, a]$

Будем искать локальный функционал  $\mu_i^1(t) \in S(\Delta, 1, 1)$ ,  $t \in [-a, a]$ ,  $-m \leq i \leq m$ , такой, что

$$F_\varepsilon(N_{1,j}, \mu_i^1) = \delta_{i-1,j}, \quad -m-1 \leq j \leq m-1, \quad (7.1.8)$$

где  $F_\varepsilon(N_{1,j}, \mu_i^1) = \varepsilon^2(N'_{1,j}, \mu_i^1) + (N_{1,j}, c(t)\mu_i^1)$ , в виде

$$\mu_i^1(t) = \sum_{k=-m-1}^{m-1} \gamma_k N_{1,k}(t).$$

Здесь  $\{\gamma_k\}$ ,  $k = -m-1, \dots, m-1$  — неизвестные коэффициенты, подлежащие определению, интегралы при вычислении  $F_\varepsilon(u, v)$  берутся по  $[t_{-m}, t_m]$ .

Из условия биортогональности в смысле формы  $F_\varepsilon$  (7.1.8) имеем:

$$\sum_{k=-m-1}^{m-1} \gamma_k F_\varepsilon(N_{1,j}, N_{1,k}) = \delta_{i-1,j}, \quad -m-1 \leq j \leq m-1. \quad (7.1.9)$$

(7.1.9) есть СЛАУ относительно  $\gamma_{-m-1}, \gamma_{-m}, \dots, \gamma_{m-1}$ . Матрица этой системы представляет собой матрицу Грама  $A = \{a_{sl}\}_{s,l=-m-1}^{m-1}$  относительно скалярного произведения  $[u, v] = F_\varepsilon(u, v)$ . Тогда (7.1.9) можно записать в векторно-матричной форме

$$A\gamma = b,$$

где  $\gamma = (\gamma_{-m-1}, \gamma_{-m}, \dots, \gamma_{m-1})^t$ ,  $b = (b_{-m-1}, b_{-m}, \dots, b_{m-1})^t$ ,  $A = \{a_{sl}\}_{s,l=-m-1}^{m-1}$ .

Очевидно, что матрица  $A$  трехдиагональна, т.е.  $a_{sl} = 0$  при  $|s - l| > 1$ , а вектор  $b$  имеет только одну, отличную от нуля, компоненту  $b_{i-1} = 1$ .

**Лемма 1** *Найдется такая константа  $C_1 > 0$ , не зависящая от  $i, m$ , что при  $\varepsilon t \leq 1$  матрица  $A$  обратима, и справедливы оценки*

$$\|A^{-1}\|_2 \leq C_1 m. \quad (7.1.10)$$

Доказательство этой и последующих леммы будут даны в главе Вспомогательные результаты.

*Замечание.* Нормировкой базисных функций на единицу в  $L_2[-1, 1]$  мы можем заменить оценку (7.1.10) на оценку

$$\|A^{-1}\|_2 \leq C_2. \quad (7.1.11)$$

**Лемма 2** Для нормированных на единицу в  $L_2[-1, 1]$  функций  $\tilde{N}_{1,i}(t)$  справедливы оценки:

$$|F(\tilde{N}_{1,i}, \tilde{N}_{1,j})| \leq C_3. \quad (7.1.12)$$

**Теорема 3 (Демко, [5])** Для любой константы  $C_4 > 0$  найдутся такие константы  $C_5 > 0$ ,  $q \in (0, 1)$ , что если трехдиагональная матрица  $A$  такова, что  $\max\{\|A\|_2, \|A^{-1}\|_2\} \leq C_4$ , тогда элементы матрицы  $A^{-1} = \{a_{s,l}^{rev}\}_{s,l=-m-1}^{m-1}$  удовлетворяют оценкам

$$|a_{s,l}^{rev}| \leq C_5 q^{|s-l|}, \quad s, l = \overline{-m-1, m-1}.$$

Из формул (7.1.11), (7.1.12) и теоремы Демко получаем:

$$|a_{s,l}^{rev}| \leq C_5 m q^{|s-l|}, \quad s, l = \overline{-m-1, m-1}. \quad (7.1.13)$$

Используя оценки (7.1.13) для системы (7.1.9), имеем:

$$\begin{pmatrix} \gamma_{-m-1} \\ \gamma_{-m} \\ \vdots \\ \gamma_{m-1} \end{pmatrix} = A^{-1}b = \begin{pmatrix} a_{-m-1,i-1}^{rev} \\ a_{-m,i-1}^{rev} \\ \vdots \\ a_{m-1,i-1}^{rev} \end{pmatrix} \implies |\gamma_k| = |a_{k,i-1}^{rev}| \leq C_6 m q^{|k-i+1|}, \quad k = \overline{-m-1, m-1}.$$

Итак, доказана оценка

$$|\gamma_k| \leq C_6 m q^{|k-i+1|}, \quad k = \overline{-m-1, m-1}. \quad (7.1.14)$$

Из (7.1.14) вытекает оценка локального функционала  $\mu_i^1(t)$  при  $t \in [t_s, t_{s+1}]$ :

$$|\mu_i^1(t)| = |\gamma_{s-1} N_{1,s-1}(t) + \gamma_s N_{1,s}(t)| \leq C_7 m q^{|s-i|}. \quad (7.1.15)$$

И, в частности, справедливо  $\mu_m^1(a) = O(m)$ ,  $\mu_m^1(-a) = O(mq^{2m})$ .

Оценки (7.1.15) позволяют доказать следующую лемму

**Лемма 3** Найдется такая константа  $C > 0$ , не зависящая от  $i, m$ , что справедливы оценки

$$\int_{t_{-m}}^{t_m} |\mu_i^1(t)| dt \leq C, \quad -m \leq i \leq m.$$

## Построение локальных функционалов в пограничных слоях

Для определенности рассмотрим построение локального биортогонального функционала в правом погранслое на отрезке  $[a, 1]$  (на отрезке  $[-1, -a]$  построение проводится аналогично). Обозначим через  $G_\varepsilon(t, \xi)$  функцию Грина задачи (7.1.1)-(7.1.2).

Пусть

$$G_\varepsilon(t, t_i) = \begin{cases} g_{\varepsilon,i}^1(t), & t \in [a, t_i] \\ g_{\varepsilon,i}^2(t), & t \in [t_i, 1] \end{cases}, \quad i = \overline{m+1, k^*-1} \quad (7.1.16)$$

функция Грина краевой задачи для уравнения (7.1.1) на отрезке  $[a, 1]$  с условиями

$$x_m(a) = x_m(1) = 0.$$

Определим функционал

$$\nu_i(t) = \begin{cases} \tilde{g}_i^1(t), & t \in [a, t_i] \\ \tilde{g}_i^2(t), & t \in [t_i, 1] \end{cases}$$

как кусочно-линейный интерполянт функции Грина (7.1.16) при  $i = \overline{m+1, k^*-1}$ , где  $\tilde{g}_i^1(t)$  и  $\tilde{g}_i^2(t)$  - кусочно-линейные интерполянты функций  $g_{\varepsilon,i}^1(t)$  и  $g_{\varepsilon,i}^2(t)$ . В случае  $i = m$  соответствующий функционал  $\nu_m(t)$  определим как кусочно-линейный интерполянт  $\tilde{g}_m^2$ , удовлетворяющего условию  $\tilde{g}_m^2(1) = 0$ . Заметим, что из оценок функции Грина вытекает, что

$$|\nu_m(t)| = O^*\left(\varepsilon^{-1}e^{-\frac{t-t_m}{\varepsilon}}\right), \quad |\nu_i(t)| = O^*\left(\varepsilon^{-1}e^{-\frac{|t-t_i|}{\varepsilon}}\right), \quad i = \overline{m+1, k^*-1}. \quad (7.1.17)$$

В случае  $m+1 \leq i \leq k^*-1$  будем искать локальный функционал  $\mu_i^2(t)$  в виде

$$\mu_i^2(t) = \sum_{k=m+1}^{k^*-1} \alpha_{k,i} \nu_k(t), \quad t \in [a, 1],$$

причем  $\mu_i^2(a) = \mu_i^2(1) = 0$  и коэффициенты  $\{\alpha_{k,i}\}$ ,  $k = m+1, \dots, k^*-1$  определяются из выполнения условий биортогональности в смысле формы  $F_\varepsilon$

$$F_\varepsilon(N_{1,j}, \mu_i^2(t)) = \delta_{i-1,j}. \quad (7.1.18)$$

Интегралы при вычислении  $F_\varepsilon(u, v)$  берутся по  $[t_m, 1]$ . Совокупность равенств (7.1.18) представляет собой СЛАУ порядка  $(k^* - m - 2)$  относительно неизвестных  $\{\alpha_{k,i}\}$ ,  $k = m+1, \dots, k^*-1$ :

$$\sum_{k=m+1}^{k^*-1} \alpha_k F_\varepsilon(N_{1,j}, \nu_k(t)) = \delta_{i-1,j}, \quad m \leq j \leq k^* - 2, \quad m+1 \leq i \leq k^* - 1. \quad (7.1.19)$$

Из оценки  $t_{i+1} - t_i = O^*\left(\frac{\varepsilon}{m}\right)$  и оценок кусочно-линейной интерполяции можно получить

$$|F_\varepsilon(N_{1,j}, \nu_k(t))| = \begin{cases} O\left(\frac{1}{m^3}\right), & j < k-1, \\ 1 + O\left(\frac{1}{m^3}\right), & j = k-1, \\ O\left(\frac{1}{m^3}\right), & j > k-1. \end{cases}$$

Тогда СЛАУ (7.1.19) имеет вид

$$\begin{pmatrix} 1 + O\left(\frac{1}{m^3}\right) & O\left(\frac{1}{m^3}\right) & \cdots & O\left(\frac{1}{m^3}\right) \\ O\left(\frac{1}{m^3}\right) & 1 + O\left(\frac{1}{m^3}\right) & \cdots & O\left(\frac{1}{m^3}\right) \\ \cdots & \cdots & \cdots & \cdots \\ O\left(\frac{1}{m^3}\right) & O\left(\frac{1}{m^3}\right) & \cdots & 1 + O\left(\frac{1}{m^3}\right) \end{pmatrix} \begin{pmatrix} \alpha_{m+1,i} \\ \alpha_{m+2,i} \\ \vdots \\ \alpha_{k^*-1,i} \end{pmatrix} = \begin{pmatrix} 0 \\ \vdots \\ 0 \\ 1 \\ 0 \\ \vdots \\ 0 \end{pmatrix} \leftarrow i-1 \quad (7.1.20)$$

Таким образом, чтобы определить все функционалы  $\mu_i^2(t)$ ,  $m+1 \leq i \leq k^*-1$  необходимо решить  $k^* - m - 2$  систем вида (7.1.20). Введем обозначения

$$\begin{pmatrix} \alpha_{m+1,i} \\ \alpha_{m+2,i} \\ \vdots \\ \alpha_{k^*-1,i} \end{pmatrix} = \alpha_i \begin{pmatrix} 1 & 0 & \cdots & 0 \\ 0 & 1 & \cdots & 0 \\ \vdots & \vdots & \vdots & \vdots \\ 0 & 0 & \cdots & 1 \end{pmatrix} = I_i$$

$$\begin{pmatrix} O\left(\frac{1}{m^3}\right) & O\left(\frac{1}{m^3}\right) & \cdots & O\left(\frac{1}{m^3}\right) \\ O\left(\frac{1}{m^3}\right) & O\left(\frac{1}{m^3}\right) & \cdots & O\left(\frac{1}{m^3}\right) \\ \vdots & \vdots & \vdots & \vdots \\ O\left(\frac{1}{m^3}\right) & O\left(\frac{1}{m^3}\right) & \cdots & O\left(\frac{1}{m^3}\right) \end{pmatrix} = E_i \quad b_i = \begin{pmatrix} 0 \\ \vdots \\ 0 \\ 1 \\ 0 \\ \vdots \\ 0 \end{pmatrix} \leftarrow i-1.$$

и систему (7.1.20) для определения функционала  $\mu_i^2(t)$  перепишем в векторно-матричном виде  $(I_i + E_i)\alpha_i = b_i$ ,  $i = \overline{m+1, k^*-1}$ , где  $\|E_i\|_\infty \leq \frac{C}{m^3}$ . Оценим

элементы вектора  $\alpha_i = \{\alpha_{k,i}\}$ ,  $k = \overline{m+1, k^* - 1}$ .

$$\alpha_i = (I_i + E_i)^{-1} b_i = \left( I_i + \sum_{j=1}^{\infty} (-1)^j E_i^j \right) b_i.$$

Так как  $\left\| \sum_{j=1}^{\infty} E_i^j \right\| \leq \sum_{j=1}^{\infty} \|E_i\|^j \leq \sum_{j=1}^{\infty} \left(\frac{C}{m^3}\right)^j = \frac{\frac{C}{m^3}}{1 - \frac{C}{m^3}} = O\left(\frac{1}{m^3}\right)$ , получаем, что

$$\alpha_{k,i} = \begin{cases} 1 + O\left(\frac{1}{m^3}\right), & k = i \\ O\left(\frac{1}{m^3}\right), & k \neq i \end{cases} \quad (7.1.21)$$

Итак, локальные биортогональные функционалы в правом погранслое имеют вид

$$\mu_i^2(t) = \sum_{k=m+1}^{k^*-1} \alpha_k \nu_k(t) = \left(1 + O\left(\frac{1}{m^3}\right)\right) \nu_i(t) + \sum_{k=m+1, k \neq i}^{k^*-1} \alpha_{k,i} \nu_k(t), \quad (7.1.22)$$

$$m+1 \leq i \leq k^* - 1, \quad t \in [a, 1],$$

где  $\alpha_{k,i}$  удовлетворяют оценкам (7.1.21). В случае  $i = m$  определим локальный функционал следующим образом

$$\mu_m^2(t) = \sum_{k=m}^{k^*-1} \alpha_{k,m} \nu_k(t), \quad t \in [t_m, 1].$$

Для определенного таким образом функционала также справедлива оценка

$$\mu_m^2(t) = \sum_{k=m}^{k^*-1} \alpha_{k,m} \nu_k(t) = \left(1 + O\left(\frac{1}{m^3}\right)\right) \nu_m(t) + \sum_{k=m+1}^{k^*-1} \alpha_{k,i} \nu_k(t), \quad t \in [a, 1],$$

Тогда с учетом условия (7.1.17) имеем

$$\mu_m^2(a) = O(\varepsilon^{-1}). \quad (7.1.23)$$

**Лемма 4** *Найдется такая константа  $C > 0$ , не зависящая от  $i, m$ , что справедливы оценки*

$$\int_{t_m}^1 |\mu_i^2(t)| dt \leq C, \quad m \leq i \leq k^* - 1.$$

## Продолжение локальных функционалов на $[-1,1]$

Определим для каждого локального функционала  $\mu_i^2(t)$ ,  $i = \overline{-k^* + 1, -m}$ ,  $\mu_i^2(t)$ ,  $\overline{m, k^* - 1}$  и  $\mu_i^1(t)$ ,  $i = \overline{-m, m}$  функционал  $\mu_i(t)$ ,  $i = -k^* + 1, \dots, k^* - 1$  как его продолжение по непрерывности на  $[-1,1]$ . Положим

$$\mu_i(t) = \begin{cases} \alpha_{-m}^i \mu_{-m}^2(t), & t \in [-1, -a], \\ \mu_i^1(t), & t \in [-a, a], \\ \alpha_m^i \mu_m^2(t), & t \in [a, 1], \quad i = -m + 1, \dots, m - 1, \end{cases}$$

для локальных функционалов из погранслоев

$$\mu_i(t) = \begin{cases} 0, & t \in [-1, a], \\ \mu_i^2(t), & t \in [a, 1], \quad i = m + 1, \dots, k^* - 1, \end{cases}$$

$$\mu_i(t) = \begin{cases} \mu_i^2(t), & t \in [-1, -a], \\ 0, & t \in [-a, 1], \quad i = -k^* + 1, \dots, -m - 1. \end{cases}$$

Коэффициенты  $\alpha_{\pm m}^i$  обеспечивают непрерывность функций  $\mu_i(t)$  в точках  $t = \pm a$ . Нетрудно видеть, что из оценок (7.1.15), (7.1.23) вытекает, что

$$\alpha_m^i = O(\varepsilon m q^{m-i}), \quad \alpha_{-m}^i = O(\varepsilon m q^{m+i}) \quad (7.1.24)$$

В случае  $i = \pm m$  сначала определим два вспомогательных функционала

$$\bar{\mu}_m(t) = \begin{cases} \alpha_{-m} \mu_{-m}^2(t), & t \in [-1, -a], \\ \mu_m^1(t), & t \in [-a, a], \\ \alpha_m \mu_m^2(t), & t \in [a, 1], \end{cases} \quad (7.1.25)$$

$$\bar{\mu}_{-m}(t) = \begin{cases} \beta_{-m} \mu_{-m}^2(t), & t \in [-1, -a], \\ \mu_{-m}^1(t), & t \in [-a, a], \\ \beta_m \mu_m^2(t), & t \in [a, 1], \end{cases} \quad (7.1.26)$$

Множители  $\alpha_{\pm m}$  и  $\beta_{\pm m}$  выбираем так, чтобы функции (7.1.25), (7.1.26) были непрерывными при  $t = \pm a$ . Рассмотрим построение функционала  $\mu_m(t)$ .

Из оценок предыдущих пунктов имеем

$$\mu_m^1(a) = O(m), \quad \mu_m^1(-a) = O(mq^{2m}), \quad \mu_m^2(a) = O\left(\frac{1}{\varepsilon}\right),$$

и, следовательно,

$$\alpha_m = O(\varepsilon m), \quad \alpha_{-m} = O(\varepsilon m q^{2m}). \quad (7.1.27)$$

Из условий (7.1.25), (7.1.27) вытекает, что

$$F_\varepsilon(N_{1,m-1}, \bar{\mu}_m) = 1 + O(\varepsilon m). \quad (7.1.28)$$

Положим теперь

$$\mu_m(t) = \Delta_1 \bar{\mu}_m(t),$$

где нормирующий множитель  $\Delta_1$  подбирается из условия  $F_\varepsilon(N_{1,m-1}, \mu_m) = 1$ , согласно (7.1.28), имеем

$$\Delta_1 = 1 + O(\varepsilon m)$$

Аналогично определяется функционал  $\mu_{-m}(t)$ .

Имеем

$$F_\varepsilon(N_{1,k}, \mu_m) = \begin{cases} 1, & k = m - 1 \\ 0, & k \neq -m - 1, m - 1 \\ O(\varepsilon m q^{2m}), & k = -m - 1, \end{cases} \quad (7.1.29)$$

$$F_\varepsilon(N_{1,k}, \mu_{-m}) = \begin{cases} 1, & k = -m - 1 \\ 0, & k \neq -m - 1, m - 1 \\ O(\varepsilon m q^{2m}), & k = m - 1. \end{cases} \quad (7.1.30)$$

Непосредственно из построения функционалов  $\mu_i(t)$ ,  $i = \overline{-m+1, m-1}$  и (7.1.24) следует, что

$$F_\varepsilon(N_{1,m-1}, \mu_i) = F_\varepsilon(N_{1,m-1}, \mu_i^1) + \alpha_m^i F_\varepsilon(N_{1,m-1}, \mu_m^2) = \alpha_m^i = O(\varepsilon m q^{m-i})$$

$$F_\varepsilon(N_{1,-m+1}, \mu_i) = F_\varepsilon(N_{1,-m+1}, \mu_i^1) + \alpha_{-m}^i F_\varepsilon(N_{1,-m+1}, \mu_{-m}^2) = \alpha_{-m}^i = O(\varepsilon m q^{m+i}). \quad (7.1.31)$$

### Обеспечение выполнения условия биортогональности

Заметим, что для построенных в предыдущем пункте функционалов  $\mu_i$ ,  $i = -k^* + 1, \dots, k^* - 1$  нарушаются условия (7.1.6) биортогональности в смысле формы  $F_\varepsilon$

$$F_\varepsilon(N_{1,j}, \mu_i(t)) = \delta_{i-1,j}. \quad (7.1.32)$$



на базисных функциях  $N_{1,-m-1}(t)$  и  $N_{1,m-1}(t)$ . Теперь наша задача скорректировать эти функционалы  $\mu_i$ ,  $i = -k^* + 1, \dots, k^* - 1$  так, чтобы условия (7.1.32) выполнялись для всех  $j = -k^*, \dots, k^* - 2$ .

Идея состоит в следующем: сначала определим биортогональные функционалы  $\lambda_m(t)$  и  $\lambda_{-m}(t)$  удовлетворяющие условиям (7.1.6), а затем с их помощью скорректируем остальные функционалы.

Определим  $\lambda_m(t)$  и  $\lambda_{-m}(t)$  по формулам

$$\lambda_m(t) = \alpha_m \mu_m(t) + \alpha_{-m} \mu_{-m}(t), \quad \lambda_{-m}(t) = \beta_m \mu_m(t) + \beta_{-m} \mu_{-m}(t), \quad (7.1.33)$$

где константы  $\alpha_{\pm m}$ ,  $\beta_{\pm m}$  определяются из выполнения условия (7.1.6) при  $i = \pm m$ .

Из (7.1.29), (7.1.30) имеем

$$\alpha_m = 1 + O(\varepsilon^2 m^2 q^{4m}), \quad \alpha_{-m} = O(\varepsilon m q^{2m}), \quad \beta_m = O(\varepsilon m q^{2m}), \quad \beta_{-m} = 1 + O(\varepsilon^2 m^2 q^{4m}). \quad (7.1.34)$$

Остальные функционалы  $\lambda_i(t)$  определим формулами

$$\lambda_i(t) = \mu_i(t) + \delta_1 \lambda_{-m}(t) + \delta_2 \lambda_m(t), \quad i = \overline{-k^* + 1, k^* - 1}, \quad i \neq \pm m,$$

где коэффициенты  $\delta_1$ ,  $\delta_2$  подбираем такими, чтобы выполнялось

$$F_\varepsilon(N_{1,-m-1}, \lambda_i) = 0, \quad F_\varepsilon(N_{1,m-1}, \lambda_i) = 0.$$

Имеем

$$\begin{aligned} F_\varepsilon(N_{1,-m-1}, \lambda_i) = 0 &\Rightarrow F_\varepsilon(N_{1,-m-1}, \mu_i) + \delta_1 F_\varepsilon(N_{1,-m-1}, \lambda_{-m}) + \delta_2 F_\varepsilon(N_{1,-m-1}, \lambda_m) = \\ &= F_\varepsilon(N_{1,-m-1}, \mu_i) + \delta_1 = 0 \Rightarrow \delta_1 = -F_\varepsilon(N_{1,-m-1}, \mu_i), \end{aligned}$$

$$\begin{aligned} F_\varepsilon(N_{1,m-1}, \lambda_i) = 0 &\Rightarrow F_\varepsilon(N_{1,m-1}, \mu_i) + \delta_1 F_\varepsilon(N_{1,m-1}, \lambda_{-m}) + \delta_2 F_\varepsilon(N_{1,m-1}, \lambda_m) = \\ &= F_\varepsilon(N_{1,m-1}, \mu_i) + \delta_2 = 0 \Rightarrow \delta_2 = -F_\varepsilon(N_{1,m-1}, \mu_i). \end{aligned}$$

Итак, биортогональный базис  $\lambda_i(t)$ ,  $i = \overline{-k^* + 1, k^* - 1}$ ,  $i \neq \pm m$ , построен

$$\lambda_i(t) = \mu_i(t) - F_\varepsilon(N_{1,-m-1}, \mu_i) \lambda_{-m}(t) - F_\varepsilon(N_{1,m-1}, \mu_i) \lambda_m(t).$$

Из (7.1.33), (7.1.34), (7.1.25), (7.1.26) вытекает, что для  $\lambda_m(t)$  справедливы оценки

$$|\lambda_m(t)| \leq |\alpha_m| \cdot |\mu_m(t)| + |\alpha_{-m}| \cdot |\mu_{-m}(t)| \leq C_1 |\mu_m(t)| + C_2 |\mu_{-m}(t)| \leq$$

$$\leq \begin{cases} C_{11}|\mu_{-m}^2(t)| & t \in [-1, t_{-m}] \\ C_{12}|\mu_m^1(t)| + C_{13}|\mu_{-m}^1(t)|, & t \in [t_{-m}, t_m] \\ C_{14}|\mu_m^2(t)| & t \in [t_m, 1] \end{cases} \quad (7.1.35)$$

Аналогично, для  $\lambda_{-m}(t)$ :

$$|\lambda_{-m}(t)| \leq \begin{cases} C_{21}|\mu_{-m}^2(t)| & t \in [-1, t_{-m}] \\ C_{22}|\mu_m^1(t)| + C_{23}|\mu_{-m}^1(t)|, & t \in [t_{-m}, t_m] \\ C_{24}|\mu_m^2(t)| & t \in [t_m, 1] \end{cases}$$

## 7.1.5 Доказательства и вспомогательные результаты

### Квазиоптимальность галеркинського проектора

Как было показано в [30], галеркинський проектор можно представить в виде (7.1.5).

Имеет место теорема о квазиоптимальности галеркинського проектора.

**Теорема 4** *Найдется положительная константа  $C$ , независящая от  $\varepsilon$ ,  $m$  такая, что справедлива оценка*

$$\| P \|_{C_{[-1,1]} \rightarrow C_{[-1,1]}} \leq C.$$

**Доказательство:**

В силу финитности  $N_{1,j}(t)$  имеем

$$\begin{aligned} \| Px \| &= \left\| \sum_{j=-k^*+1}^{k^*-1} F_\varepsilon(\lambda_j(t), x(t)) N_{1,j-1}(t) \right\|_{C_{[-1,1]}} \\ &\leq \max_{t_{-k^*} \leq t \leq t_{-k^*+1}} \left| F_\varepsilon(\lambda_{-k^*+1}(t), x(t)) \right| \\ &\quad + \max_{-k^*+1 \leq j \leq k^*-2} \max_{t_j \leq t \leq t_{j+1}} \left( \left| F_\varepsilon(\lambda_j(t), x(t)) \right| + \left| F_\varepsilon(\lambda_{j+1}(t), x(t)) \right| \right) \\ &\quad + \max_{t_{k^*-1} \leq t \leq t_{k^*}} \left| F_\varepsilon(\lambda_{k^*-1}(t), x(t)) \right|. \end{aligned}$$

Если мы докажем, что

$$\begin{aligned} &\max_{t_j \leq t \leq t_{j+1}} \left( \left| F_\varepsilon(\lambda_j(t), x(t)) \right| + \left| F_\varepsilon(\lambda_{j+1}(t), x(t)) \right| \right) \leq \\ &\leq C \max_{-1 \leq t \leq 1} |x(t)| = C \|x\|, \quad j = \overline{-k^*+1, k^*-2}, \end{aligned}$$

тогда будет справедлива оценка

$$\| Px(t) \| \leq C \| x(t) \|, \quad (7.1.1)$$

или

$$\| P \|_{C_{[-1,1]} \rightarrow C_{[-1,1]}} \leq C.$$

Оценка (7.1.1) является обоснованием квазиоптимальности галеркинського проектора (7.1.5). Для доказательства (7.1.1) достаточно установить оценку

$$\left| F_\varepsilon(\lambda_j(t), x(t)) \right| \leq C \| x(t) \|. \quad (7.1.2)$$

Пусть  $x_I(t) \in S(\Delta, 1, 1) : x_I(t_i) = x(t_i)$  - кусочно-линейный интерполянт  $x(t)$ . Представим его в виде

$$x_I(t) = \sum_{i=-k^*}^{k^*-2} \varphi_i N_{1,i}(t).$$

Тогда

$$\begin{aligned} \left| F_\varepsilon(\lambda_j(t), x(t)) \right| &= \left| F_\varepsilon(\lambda_j(t), x - x_I) + F_\varepsilon(\lambda_j(t), x_I) \right| = \\ &= \left| F_\varepsilon(\lambda_j(t), x - x_I) + x(t_j) \right| \leq \left| F_\varepsilon(\lambda_j(t), x - x_I) \right| + C_1 \| x \|, \end{aligned}$$

так как

$$\begin{aligned} F_\varepsilon(\lambda_j(t), x_I) &= F_\varepsilon\left(\lambda_j(t), \sum_{i=-k^*}^{k^*-2} \varphi_i N_{1,i}(t)\right) = \sum_{i=-k^*}^{k^*-2} \varphi_i \overbrace{F_\varepsilon(\lambda_j, N_{1,i}(t))}^{\delta_{i,j-1}} \\ &= \varphi_{j-1} F_\varepsilon(\lambda_j, N_{1,j-1}) = \varphi_{j-1} = x_I(t_j) = x(t_j). \end{aligned}$$

Тогда вместо (7.1.2) достаточно доказать

$$\left| F_\varepsilon(\lambda_j, x - x_I) \right| \leq C \| x \|. \quad (7.1.3)$$

Имеем

$$\left| F_\varepsilon(\lambda_j, x - x_I) \right| \leq \left| \varepsilon^2 (\lambda_j', (x - x_I)') + (\lambda_j, c(t)(x - x_I)) \right| = \left| (\lambda_j, c(t)(x - x_I)) \right|, \quad (7.1.4)$$

Заметим, что функционал  $\lambda_j(t)$  представляет собой кусочно-линейную функцию, поэтому на каждом частичном отрезке  $(t_i, t_{i+1})$  функция  $\lambda_j(t)$  является линейной и, следовательно, ее производная  $\lambda_j'(t)$  - некоторая константа  $C_i$ . Получаем

$$(\lambda_j', x - x_I') = \int_{-1}^1 \lambda_j' \cdot (x - x_I)' dt = \sum_{i=-k^*}^{k^*-1} \int_{t_i}^{t_{i+1}} \lambda_j' \cdot (x - x_I)' dt =$$

$$= \sum_{i=-k^*}^{k^*-1} C_i \int_{t_i}^{t_{i+1}} (x - x_I)' dt = \sum_{i=-k^*}^{k^*-1} C_i (x - x_I) \Big|_{t_i}^{t_{i+1}} = 0.$$

Продолжаем оценку для (7.1.4)

$$\begin{aligned} & \left| (\lambda_j, c(t)(x - x_I)) \right| = \left| \int_{-1}^1 c(t) \lambda_j(t) (x - x_I) dt \right| = \\ & = \left| \int_{t_{-m}}^{t_m} c(t) \lambda_j(t) (x - x_I) dt + \int_{-1}^{t_{-m}} c(t) \lambda_j(t) (x - x_I) dt + \int_{t_m}^1 c(t) \lambda_j(t) (x - x_I) dt \right| \leq \\ & \leq \left| \int_{t_{-m}}^{t_m} c(t) \lambda_j(t) (x - x_I) dt \right| + \left| \int_{t_m}^1 c(t) \lambda_j(t) (x - x_I) dt \right| + \\ & \quad + \left| \int_{-1}^{t_{-m}} c(t) \lambda_j(t) (x - x_I) dt \right| = I_1 + I_2 + I_3. \end{aligned} \quad (7.1.5)$$

Рассмотрим случаи  $t_j \in [t_{-m}, t_m]$  и  $t_j \in [-1, t_{-m}] \cup [t_m, 1]$ .

Пусть  $t_j \in [t_{-m}, t_m]$ . Оценим последовательно все слагаемые из (7.1.5)

$$I_1 = \left| \int_{t_{-m}}^{t_m} c(t) \lambda_j(t) (x - x_I) dt \right| \leq \int_{t_{-m}}^{t_m} |c(t)| \cdot |\lambda_j(t)| \cdot |x - x_I| dt \leq C \cdot \|x(t)\|_{C[-1,1]} \int_{t_{-m}}^{t_m} |\lambda_j(t)| dt$$

По построению функционалов  $\lambda_j(t)$  с учетом (7.1.31), (7.1.35) и леммы 3 последний интеграл

$$\begin{aligned} & \int_{t_{-m}}^{t_m} |\lambda_j(t)| dt = \int_{t_{-m}}^{t_m} |\mu_j(t) - F_\varepsilon(N_{1,-m-1}, \mu_j) \lambda_{-m}(t) - F_\varepsilon(N_{1,m-1}, \mu_j) \lambda_m(t)| dt \leq \\ & \leq \int_{t_{-m}}^{t_m} |\mu_j(t)| dt + |F_\varepsilon(N_{1,-m-1}, \mu_j)| \int_{t_{-m}}^{t_m} |\lambda_{-m}(t)| dt + |F_\varepsilon(N_{1,m-1}, \mu_j)| \int_{t_{-m}}^{t_m} |\lambda_m(t)| dt \leq \\ & \leq \int_{t_{-m}}^{t_m} |\mu_j(t)| dt + O(\varepsilon m q^{m+j}) \int_{t_{-m}}^{t_m} |\lambda_{-m}(t)| dt + O(\varepsilon m q^{m-j}) \int_{t_{-m}}^{t_m} |\lambda_m(t)| dt \leq \\ & \leq C_1 + C_2 \int_{t_{-m}}^{t_m} |\mu_{-m}^1(t)| dt + C_3 \int_{t_{-m}}^{t_m} |\mu_m^1(t)| dt \leq C_1 + \bar{C}_2 + \bar{C}_3 = C_4. \end{aligned}$$

Тогда для интеграла  $I_1$  имеем

$$I_1 \leq C \|x(t)\| \int_{t_{-m}}^{t_m} |\lambda_j(t)| dt \leq C C_4 \|x(t)\| \leq C_5 \|x(t)\|.$$

Рассмотрим интеграл  $I_2$

$$I_2 = \left| \int_{t_m}^1 c(t) \lambda_j(t) (x - x_I) dt \right| \leq \int_{t_m}^1 |c(t)| \cdot |\lambda_j(t)| \cdot |x - x_I| dt \leq C \cdot \|x(t)\|_{C[-1,1]} \int_{t_m}^1 |\lambda_j(t)| dt$$

Отсюда, используя оценки (7.1.31) и лемму 4, имеем

$$\begin{aligned} \int_{t_m}^1 |\lambda_j(t)| dt &= \int_{t_m}^1 |\mu_j(t) - F_\varepsilon(N_{1,-m-1}, \mu_j) \lambda_{-m}(t) - F_\varepsilon(N_{1,m-1}, \mu_j) \lambda_m(t)| dt \leq \\ &\leq \int_{t_m}^1 |\mu_j(t)| dt + |F_\varepsilon(N_{1,-m-1}, \mu_j)| \int_{t_m}^1 |\lambda_{-m}(t)| dt + |F_\varepsilon(N_{1,m-1}, \mu_j)| \int_{t_m}^1 |\lambda_m(t)| dt \leq \\ &\leq C_6 \int_{t_m}^1 |\mu_m^2(t)| dt + O(\varepsilon m q^{m+j}) \int_{t_m}^1 |\lambda_{-m}(t)| dt + O(\varepsilon m q^{m-j}) \int_{t_m}^1 |\lambda_m(t)| dt \leq \\ &\leq C_7 + C_8 \int_{t_m}^1 |\mu_m^2(t)| dt + C_9 \int_{t_m}^1 |\mu_m^2(t)| dt \leq C_7 + \bar{C}_{10} + \bar{C}_{11} = C_{12}. \end{aligned}$$

Получили

$$I_2 \leq C \|x(t)\| \int_{t_m}^1 |\lambda_j(t)| dt \leq C C_{12} \|x(t)\| \leq C_{13} \|x(t)\|$$

Аналогично, доказывається, что  $I_3 \leq C_{14} \|x(t)\|$ .

Таким образом, показано, что в случае  $t_j \in [t_{-m}, t_m]$  имеет место оценка (7.1.3).

Пусть теперь  $t_j$  принадлежит пограничному слою, для определенности пусть  $t_j \in [t_m, 1]$ .

$$I_1 = \left| \int_{t_{-m}}^{t_m} c(t) \lambda_j(t) (x - x_I) dt \right| \leq \int_{t_{-m}}^{t_m} |c(t)| \cdot |\lambda_j(t)| \cdot |x - x_I| dt \leq C \cdot \|x(t)\|_{C[-1,1]} \int_{t_{-m}}^{t_m} |\lambda_j(t)| dt$$

Имеем также

$$\begin{aligned} |F_\varepsilon(N_{1,m-1}, \mu_j)| &= |F_\varepsilon(N_{1,m-1}, \mu_j^2)| \leq \sum_{k=m+1}^{k^*-1} |F_\varepsilon(N_{1,m-1}, \nu_k)| \leq C_1 \sum_{k=m+1}^{k^*-1} O\left(\frac{1}{m^3}\right) \leq \\ &\leq \frac{C_2(k^*-m-2)}{m^3} \leq \frac{C_3 m \ln(m)}{m^3} = \frac{C_3 \ln(m)}{m^2} \leq C_4, \end{aligned}$$

$$|F_\varepsilon(N_{1,-m-1}, \mu_j)| \equiv 0.$$

Тогда

$$\begin{aligned}
\int_{t_{-m}}^{t_m} |\lambda_j(t)| dt &= \int_{t_{-m}}^{t_m} |\mu_j(t) - F_\varepsilon(N_{1,-m-1}, \mu_j)\lambda_{-m}(t) - F_\varepsilon(N_{1,m-1}, \mu_j)\lambda_m(t)| dt \leq \\
&\leq |F_\varepsilon(N_{1,-m-1}, \mu_j)| \int_{t_{-m}}^{t_m} |\lambda_{-m}(t)| dt + |F_\varepsilon(N_{1,m-1}, \mu_j^2)| \int_{t_{-m}}^{t_m} |\lambda_m(t)| dt \leq \\
&\leq C_4 \int_{t_{-m}}^{t_m} |\lambda_m(t)| dt \leq C_5 \int_{t_{-m}}^{t_m} |\mu_{-m}^1(t)| dt + C_6 \int_{t_{-m}}^{t_m} |\mu_m^1(t)| dt \leq \bar{C}_5 + \bar{C}_6 = C_7.
\end{aligned}$$

Тогда для интеграла  $I_1$  имеем

$$I_1 \leq C \|x(t)\| \int_{t_{-m}}^{t_m} |\lambda_j(t)| dt \leq C C_7 \|x(t)\| \leq C_8 \|x(t)\|.$$

Рассмотрим интеграл  $I_2$

$$I_2 = \left| \int_{t_m}^1 c(t)\lambda_j(t)(x - x_I) dt \right| \leq \int_{t_m}^1 |c(t)| \cdot |\lambda_j(t)| \cdot |x - x_I| dt \leq C \cdot \|x(t)\|_{C[-1,1]} \int_{t_m}^1 |\lambda_j(t)| dt$$

Имеем

$$\begin{aligned}
\int_{t_m}^1 |\lambda_j(t)| dt &= \int_{t_m}^1 |\mu_j(t) - F_\varepsilon(N_{1,-m-1}, \mu_j)\lambda_{-m}(t) - F_\varepsilon(N_{1,m-1}, \mu_i)\lambda_m(t)| dt \leq \\
&\leq \int_{t_m}^1 |\mu_j(t)| dt + |F_\varepsilon(N_{1,-m-1}, \mu_j)| \int_{t_m}^1 |\lambda_{-m}(t)| dt + |F_\varepsilon(N_{1,m-1}, \mu_j)| \int_{t_m}^1 |\lambda_m(t)| dt \leq \\
&\leq C_9 + C_4 \int_{t_m}^1 |\lambda_m^2(t)| dt \leq C_9 + C_4 C_{10} \leq C_{11}.
\end{aligned}$$

Отсюда

$$I_2 \leq C \|x(t)\| \int_{t_m}^1 |\lambda_j(t)| dt \leq C C_{11} \|x(t)\| \leq C_{12} \|x(t)\|$$

Для интеграла  $I_3$  аналогичные рассуждения приводят к оценке  $I_3 \leq C_{12} \|x(t)\|$ . Таким образом, показано, что и в случае  $t_j \in [t_m, 1]$  имеет место оценка (7.1.3). В случае  $t_j \in [-1, t_{-m}]$  рассуждения проводятся по той же схеме.

Тем самым, установлена оценка (7.1.3) и, теорема доказана.

## Обоснование сходимости алгоритма адаптации сетки (I)-(V) из п.7.1.2

**Доказательство Теоремы 2.** Алгоритм (I) - (V), суть которого состоит в процессе подбора параметра  $p^k$ , где  $k$  - число итераций, продолжает свою работу до тех пор, пока будет иметь место оценка

$$\|x_{m,p^{k+1}}(t) - x_{m,p^k}(t)\|_{C[a_{k+1},a_k]} > \ln m/m^2 \quad (7.1.6)$$

Доказательство теоремы проводится в два этапа. На первом этапе будет показано, что оценки (7.1.6) достаточно для достижения точной границы пограничного слоя  $\tilde{a}$ . На втором этапе рассматривается вопрос о том, не произойдет ли в процессе реализации алгоритма переход точной границы при уменьшении параметра сетки  $p^k$ .

*I этап.* Имеем

$$\|Px - x\|_{C[a_{k+1},a_k]} \leq \|Px - \tilde{x}\|_{C[a_{k+1},a_k]} + \|x - \tilde{x}\|_{C[a_{k+1},a_k]}$$

где  $\tilde{x} \in E$  - наилучшее приближение точного решения на заданном отрезке.

Далее

$$\|Px - \tilde{x}\|_{C[a_{k+1},a_k]} \leq \|Px - \tilde{x}\|_{C[-1,1]} \leq \|P\|_{C \rightarrow C} \|x - \tilde{x}\|_{C[-1,1]} \leq C_1 \|x - \tilde{x}\|_{C[-1,1]}$$

Оценим  $\|x - \tilde{x}\|_{C[-1,1]}$  на сетке с границей  $a_k$

$$\|x - \tilde{x}\|_{C[-1,1]} \leq C_2 \left( e^{c_0 \frac{a_k - 1}{\varepsilon}} + \frac{1}{m^2} \right)$$

Тогда

$$C_3 \left( e^{c_0 \frac{a_k - 1}{\varepsilon}} + \frac{1}{m^2} \right) \leq \|Px - x\|_{C[a_{k+1},a_k]} \leq C_4 \left( e^{c_0 \frac{a_k - 1}{\varepsilon}} + \frac{1}{m^2} \right)$$

(Нижняя оценка следует из невозможности приближения сингулярной экспоненты на сетке с шагом  $O^*(\frac{1}{m})$  с точностью лучше, чем  $O^*(1)$ )

Для разбиения с границей погранслоя  $a_{k+1}$ , получаем аналогичные оценки

$$C_5 \left( e^{c_0 \frac{a_{k+1} - 1}{\varepsilon}} + \frac{1}{m^2} \right) \leq \|Px - x\|_{C[a_{k+1},a_k]} \leq C_6 \left( e^{c_0 \frac{a_{k+1} - 1}{\varepsilon}} + \frac{1}{m^2} \right)$$

Остановка работы алгоритма (I)-(V) параграфа 7.1.2 произойдет в том случае, когда

$$e^{c_0 \frac{a_{k+1} - 1}{\varepsilon}} < \frac{\ln m}{m^2}$$

Отсюда

$$a_{k+1} < \tilde{a} + \frac{\varepsilon}{c_0} \ln \ln m$$

Это значит, что

$$a_{k+1} = \tilde{a} + O\left(\varepsilon \ln \ln m\right)$$

Таким образом, граница пограничного слоя будет достигнута с точностью  $O\left(\varepsilon \ln \ln m\right)$ . Требуемое число итераций имеет оценку

$$N = O\left(\frac{\varepsilon \ln m}{\varepsilon \ln \ln m}\right) = O\left(\frac{\ln m}{\ln \ln m}\right)$$

*II этап.* Предположим, что переход за точную границу пограничного слоя произошел. Но тогда пространство  $E$  содержит аппроксимацию точного решения порядка  $O\left(\frac{1}{m^2}\right)$ . В силу квазиоптимальности метода Галеркина в норме  $C[-1, 1]$  для рассматриваемой задачи норма разности в п. III рассматриваемого алгоритма будет величиной такого же порядка, и уже на следующем шаге алгоритм закончит свою работу. Теорема доказана.

## Вспомогательные результаты

**Доказательство Леммы 1.** Поскольку система  $\{N_{1,k}\}$  линейно независима, то матрица  $A$  есть симметричная положительно определенная матрица. Действительно, рассмотрим квадратичную форму этой матрицы

$$\begin{aligned} (A\gamma, \gamma) &= \sum_{s=-m-1}^{m-1} \left( \sum_{k=-m-1}^{m-1} a_{sk} \gamma_k \right) \gamma_s = \sum_{s=-m-1}^{m-1} \sum_{k=-m-1}^{m-1} F_\varepsilon(N_{1,s}, N_{1,k}) \gamma_k \gamma_s = \\ F_\varepsilon \left( \sum_{s=-m-1}^{m-1} \gamma_s N_{1,s}, \sum_{k=-m-1}^{m-1} \gamma_k N_{1,k} \right) &= F_\varepsilon \left( \sum_{s=-m-1}^{m-1} \gamma_s N_{1,s}, \sum_{s=-m-1}^{m-1} \gamma_s N_{1,s} \right) = \left[ \sum_{s=-m-1}^{m-1} \gamma_s N_{1,s} \right]^2, \end{aligned}$$

где  $[u]^2 = F_\varepsilon(u, u)$ .

Докажем, что

$$\left[ \sum_{s=-m-1}^{m-1} \gamma_s N_{1,s} \right]^2 \geq \frac{C_0}{m} \sum_{s=-m-1}^{m-1} |\gamma_s|^2, \quad (7.1.7)$$

где  $C_0 > 0$  не зависит от  $i, m, \gamma$ .



$$\begin{aligned}
\left[ \sum_{s=-m-1}^{m-1} \gamma_s N_{1,s} \right]^2 &= \varepsilon^2 \left( \sum_{s=-m-1}^{m-1} \gamma_s N'_{1,s}, \sum_{s=-m-1}^{m-1} \gamma_s N'_{1,s} \right) + \left( c(t) \sum_{s=-m-1}^{m-1} \gamma_s N_{1,s}, \sum_{s=-m-1}^{m-1} \gamma_s N_{1,s} \right) \geq \\
\left( c(t) \sum_{s=-m-1}^{m-1} \gamma_s N_{1,s}, \sum_{s=-m-1}^{m-1} \gamma_s N_{1,s} \right) &= \sum_{\nu=-m-1}^{m-1} \int_{t_\nu}^{t_{\nu+1}} c(t) \left( \sum_{s=-m-1}^{m-1} \gamma_s N_{1,s} \right)^2 dt = \\
\sum_{\nu=-m-1}^{m-1} \int_{t_\nu}^{t_{\nu+1}} c(t) (\gamma_{\nu-1} N_{1,\nu-1} + \gamma_\nu N_{1,\nu})^2 dt &\geq \\
\sum_{\nu=-m-1}^{m-1} \int_{t_\nu}^{t_{\nu+1}} c(t) (\gamma_{\nu-1}^2 N_{1,\nu-1}^2(t) + \gamma_\nu^2 N_{1,\nu}^2(t)) dt &\geq \frac{h}{3} \sum_{\nu=i}^{m-1} \min_{t_\nu \leq t \leq t_{\nu+1}} c(t) (\gamma_{\nu-1}^2 + \gamma_\nu^2) \geq \\
\frac{2h}{3} \min_{t_i \leq t \leq t_m} c(t) \sum_{\nu=-m-1}^{m-1} |\gamma_\nu|^2 &= \frac{C_0}{m} \sum_{\nu=-m-1}^{m-1} |\gamma_\nu|^2,
\end{aligned}$$

где  $C_0$  ни от чего не зависит. Оценка (7.1.7) доказана.

Получили, что

$$|(A\gamma, \gamma)| \geq \frac{C_0}{m} \sum_{\nu=-m-1}^{m-1} |\gamma_\nu|^2.$$

Отсюда очевидно, что

$$\|A^{-1}\|_2 \leq C_1 m$$

и утверждение леммы доказано.

**Доказательство Леммы 2.** Нормированные на единицу в  $L_2[-1, 1]$  базисные функции  $N_{1,i}(t)$  имеют вид:

$$\begin{aligned}
N_{1,i}(t) &= O^*(\sqrt{m}) \begin{cases} \frac{t-t_i}{h}, & t \in [t_i, t_{i+1}), \\ \frac{t_{i+2}-t}{h}, & t \in [t_{i+1}, t_{i+2}), \\ 0, & t \notin [t_i, t_{i+2}). \end{cases} \\
N'_{1,i}(t) &= O^*(\sqrt{m}) \begin{cases} \frac{1}{h}, & t \in [t_i, t_{i+1}), \\ -\frac{1}{h}, & t \in [t_{i+1}, t_{i+2}), \\ 0, & t \notin [t_i, t_{i+2}). \end{cases}
\end{aligned}$$

Тогда

$$\begin{aligned}
|F_\varepsilon(N_{1,i}, N_{1,j})| &= |\varepsilon^2(N'_{1,i}, N'_{1,j}) + (c(t)N_{1,i}, N_{1,j})| \leq \\
\varepsilon^2 \|N'_{1,i}\|_2 \|N'_{1,j}\|_2 + \max_{t \in \text{supp } N_{1,i} \cap \text{supp } N_{1,j}} c(t) &= \\
\sqrt{\varepsilon^2(N'_{1,i}, N'_{1,i})} \sqrt{\varepsilon^2(N'_{1,j}, N'_{1,j})} + \max_{t \in \text{supp } N_{1,i} \cap \text{supp } N_{1,j}} c(t). &\quad (7.1.8)
\end{aligned}$$

Так как

$$\varepsilon^2(N'_{1,i}, N'_{1,i}) = \varepsilon^2 O^*(m) \int_{t_i}^{t_{i+2}} \frac{dt}{h^2} = O^*(\varepsilon^2 m^2),$$

$$\max_{t \in \text{supp } N_{1,i} \cap \text{supp } N_{1,j}} c(t) = O(1),$$

то оценка (7.1.8) примет вид

$$|F_\varepsilon(N_{1,i}, N_{1,j})| = O^*(\varepsilon^2 m^2) + O(1) = O(1)$$

в силу условия  $\varepsilon m \leq 1$ .

**Доказательство Леммы 3.** При  $-m + 1 \leq i \leq m - 1$  имеем:

$$\begin{aligned} \int_{t_{-m}}^{t_m} |\mu_i^1(t)| dt &= C \sum_{k=-m}^{m-1} \int_{t_k}^{t_{k+1}} |\mu_i^1(t)| dt \leq C \sum_{k=-m}^{m-1} \int_{t_k}^{t_{k+1}} m q^{|k-i|} dt = \\ &= C_1 \sum_{k=-m}^{i-1} \int_{t_k}^{t_{k+1}} m q^{i-k} + C_2 \sum_{k=i}^{m-1} \int_{t_k}^{t_{k+1}} m q^{k-i} dt \leq \left[ h = \frac{a}{m} \right] \\ &\leq C_1 \sum_{k=-m}^{i-1} q^{i-k} + C_2 \sum_{k=i}^{m-1} q^{k-i} \leq \bar{C}_1 + \bar{C}_2 = C_3. \end{aligned}$$

При  $i = m$  имеем:

$$\begin{aligned} \int_{t_{-m}}^{t_m} |\mu_m^1(t)| dt &\leq C \sum_{k=-m}^{m-1} \int_{t_k}^{t_{k+1}} |\mu_m^1(t)| dt \leq \\ &\leq C \sum_{k=-m}^{m-1} \int_{t_k}^{t_{k+1}} m q^{m-k} dt = C_1 \sum_{k=-m}^{m-1} \int_{t_k}^{t_{k+1}} m q^{m-k} \leq \left[ h = \frac{a}{m} \right] \\ &\leq \bar{C}_1 \sum_{k=-m}^{m-1} q^{m-k} \leq C_2. \end{aligned}$$

Для  $i = -m$  оценки проводятся аналогично. Лемма доказана.

**Доказательство Леммы 4.** При  $m \leq i \leq k^* - 1$  (7.1.22) имеем:

$$\mu_i^2(t) = \sum_{k=m+1}^{k^*-1} \alpha_k \nu_k(t) = \left( 1 + O\left(\frac{1}{m^3}\right) \right) \nu_i(t) + \sum_{k=m, k \neq i}^{k^*-1} \alpha_{k,i} \nu_k(t), \quad t \in [a, 1],$$

где

$$\sum_{k=m+1, k \neq i}^{k^*-1} |\alpha_k| = \sum_{k=m+1, k \neq i}^{k^*-1} \frac{C}{m^3} = \frac{C(k^* - m - 3)}{m^3} \leq \frac{C(k^* - m)}{m^3} \leq \frac{Cm \ln m}{m^3} \leq \frac{C_1 \ln m}{m^2}$$

Тогда

$$\begin{aligned}
|\mu_i^2(t)| &\leq \sum_{k=m+1}^{k^*-1} \alpha_k |\nu_k(t)| \leq \alpha_i |\nu_i(t)| + \sum_{k=m+1, k \neq i}^{k^*-1} \alpha_k |\nu_k(t)| \leq \\
&\leq \left(1 + \frac{C_2}{m^3}\right) |\nu_i(t)| + \sum_{k=m+1, k \neq i}^{k^*-1} |\alpha_k| \max_{t \in [a, 1]} |\nu_k(t)| \leq \\
&\leq \frac{C_3}{\varepsilon} e^{-\frac{|t-t_i|}{\varepsilon}} + \frac{C_4}{\varepsilon} \sum_{k=m+1, k \neq i}^{k^*-1} |\alpha_k| \leq \frac{C_3}{\varepsilon} e^{-\frac{|t-t_i|}{\varepsilon}} + \frac{C_4 \ln m}{\varepsilon m^2}.
\end{aligned}$$

Имеем

$$\begin{aligned}
\int_a^1 |\mu_i^2(t)| dt &\leq \int_a^1 \left( \frac{C_3}{\varepsilon} e^{-\frac{|t-t_i|}{\varepsilon}} + \frac{C_4 \ln m}{\varepsilon m^2} \right) dt = \\
&= \frac{C_3}{\varepsilon} \int_a^{t_i} e^{\frac{t-t_i}{\varepsilon}} dt + \frac{C_3}{\varepsilon} \int_{t_i}^1 e^{-\frac{t-t_i}{\varepsilon}} dt + \frac{C_4 \ln m}{\varepsilon m^2} \int_a^1 dt \leq \\
&\leq C_3 \left[ e^{\frac{t-t_i}{\varepsilon}} \Big|_a^{t_i} - e^{-\frac{t-t_i}{\varepsilon}} \Big|_{t_i}^1 \right] + \frac{C_4 \ln m}{\varepsilon m^2} (1-a) \leq \\
&\leq C_3 \left[ 1 - e^{\frac{a-t_i}{\varepsilon}} - e^{-\frac{1-t_i}{\varepsilon}} + 1 \right] + \frac{C_5 \ln m}{\varepsilon m^2} \varepsilon \ln m \leq \\
&\leq C_3 C_6 + C_5 \left( \frac{\ln m}{m} \right)^2 \leq C_7
\end{aligned}$$

Лемма доказана.

## 7.1.6 Численный эксперимент

Алгоритм адаптации был реализован на модельной сингулярно возмущенной задаче (7.1.1) - (7.1.2) при  $c(t) \equiv 1, f(t) \equiv 1$  и дал следующие результаты. (Начальное значение  $p^0$ , при котором начинается процесс адаптации, приняли равным 10, а шаг его изменения равным  $\tau = \frac{(p^k)^2 \ln \ln m}{2 \ln m + p^k \ln \ln m}$ . При таком выборе  $\tau$  разность  $|a_k - a_{k+1}| = \varepsilon \ln \ln m$ .)

	$\varepsilon=0.001$	$\varepsilon=0.0001$
m=4	$p^k = 1.239387 \quad k = 6$ $pogr = 0.073891$	$p^k = 1.239387 \quad k = 6$ $pogr = 0.071562$
m=8	$p^k = 1.020238 \quad k = 5$ $pogr = 0.027402$	$p^k = 1.020238 \quad k = 5$ $pogr = 0.027003$
m=16	$p^k = 0.980853 \quad k = 5$ $pogr = 0.008576$	$p^k = 0.980853 \quad k = 5$ $pogr = 0.008457$
m=32	$p^k = 1.003430 \quad k = 5$ $pogr = 0.003229$	$p^k = 1.003431 \quad k = 5$ $pogr = 0.003178$
m=64	$p^k = 0.886448 \quad k = 6$ $pogr = 0.000336$	$p^k = 0.886448 \quad k = 6$ $pogr = 0.000330$
m=128	$p^k = 0.928904 \quad k = 6$ $pogr = 0.000138$	$p^k = 0.928904 \quad k = 6$ $pogr = 0.000135$
m=256	$p^k = 0.973982 \quad k = 6$ $pogr = 0.000063$	$p^k = 0,973982 \quad k = 6$ $pogr = 0.000061$

Здесь  $p^k$  - значение, при котором прекращается выполнение алгоритма на  $k$ -ой итерации,  $pogr = \|x_{m,p^{k+1}}(t) - x_{m,p^k}(t)\|_{[a_{k+1}, a_k]}$ .

## 7.2 Алгоритм адаптации сеток Г.И. Шишкина для сингулярно возмущенной краевой задачи с несимметричным оператором

### 7.2.1 Постановка задачи и основные результаты

Рассмотрим на отрезке  $[0, 1]$  краевую задачу

$$L_\varepsilon u \equiv -\varepsilon u'' + p(t)u' + q(t)u = f(t), \quad u(0) = u(1) = 0 \quad (7.2.1)$$

**Предположение 1.** Предположим, что  $p(t), q(t) \in C^2[0, 1]$ ,  $f(t) \in C[0, 1]$ ,  $p(t) \geq p_0 > 0$  при  $t \in [0, 1]$ , а решение задачи Коши  $p(t)u_0' + q(t)u_0 = f(t)$ ,  $u_0(0) = 0$  отлично от нуля при  $t = 1$ .

При сделанных предложениях задачи в [31] было установлено, что справедлива

**Лемма 1** Для достаточно малых  $\varepsilon > 0$  существует единственное решение  $u_\varepsilon(t)$  задачи (7.2.1), причем справедливы оценки

$$|u_\varepsilon^{(i)}(t)| \leq C \left( 1 + \varepsilon^{-1} e^{p_0 \frac{t-1}{\varepsilon}} \right), \quad i = 0, 1, 2. \quad (7.2.2)$$

Перейдем к описанию проекционно сеточного метода. Разбиение  $\Delta$  отрезка  $[0, 1]$  выберем по известной методике Шишкина [70]. Зафиксируем натуральное  $n$ . Пусть  $\varphi_\varepsilon = 1 - \frac{2}{p_0} \varepsilon \ln n$ ,

$$t_i = \begin{cases} \varphi_\varepsilon \frac{i}{n}, & i = 0, 1, \dots, n, \\ \varphi_\varepsilon + (1 - \varphi_\varepsilon) \frac{i-n}{n}, & i = n+1, n+2, \dots, 2n. \end{cases} \quad (7.2.3)$$

Построенное разбиение будем называть сеткой Шишкина  $\Delta = \Delta_{n, p_0}$  с параметром  $p_0$ . Будем предполагать, что

$$\varepsilon n \leq C. \quad (7.2.4)$$

Приближенные решения задачи (7.2.1) будем искать в пространстве

$$E_\varepsilon^n = \{u \in C[0, 1] : u(0) = u(1) = 0, u(t) = A_i + B_i(t - t_i), t \in [t_i, t_{i+1}], i = 0, 1, \dots, 2n-1\}.$$

Пространство  $E_\varepsilon^n$  будем называть пространством пробных функций.

Введем пространство, которое будем называть пространством тестовых функций. Пусть

$$f_i(t) = \begin{cases} 1, & t \in [t_{i-1}, t_i], \\ 0, & t \notin [t_{i-1}, t_i], \end{cases} \quad i = 1, \dots, n-1,$$

$$f_n(t) = \begin{cases} 1, & t \in [t_{n-1}, t_n], \\ \frac{t_{n+1}-t}{t_{n+1}-t_n}, & t \in [t_n, t_{n+1}] \\ 0, & t \notin [t_{n-1}, t_{n+1}], \end{cases} \quad (7.2.5)$$

$$f_i(t) = \begin{cases} \frac{t-t_{i-1}}{t_i-t_{i-1}}, & t \in [t_{i-1}, t_i], \\ \frac{t_{i+1}-t}{t_{i+1}-t_i}, & t \in [t_i, t_{i+1}], \\ 0, & t \notin [t_{i-1}, t_{i+1}], \end{cases} \quad i = n+1, n+2, \dots, 2n-1,$$

Пространство  $F_\varepsilon^n$  определим как линейную оболочку функций  $f_i(t)$ .

Предлагаемый вариант метода Галеркина для задачи (7.2.1) состоит в отыскании такой функции  $u \in E_\varepsilon^n$ , что

$$-\varepsilon u'(t_i + 0) + \varepsilon u'(t_{i-1} + 0) + (pu' + qu, f_i) = (f, f_i) \quad i = 1, 2, \dots, n-1,$$

$$\varepsilon u'(t_{n-1} + 0) + (\varepsilon u', f'_n) + (pu' + qu, f_n) = (f, f_n), \quad (7.2.6)$$

$$(\varepsilon u', f'_i) + (pu' + qu, f_i) = (f, f_i), \quad i = n+1, n+2, \dots, 2n-1.$$

Здесь  $(\cdot, \cdot)$  означает скалярное произведение в  $L_2[0, 1]$ .

**Замечание 1.** Первые из уравнений (7.2.6) и первое слагаемое во втором уравнении выглядят нетрадиционными для метода Галеркина и нуждаются в комментариях. В [63, с. 43-45] показано, что разрешимость задачи метода Галеркина и сходимость приближенных решений определяются свойствами главной части оператора задачи. Для нежестких задач это члены, содержащие старшие производные. В случае сингулярно возмущенной задачи при условии (7.2.4) главной частью оператора задачи на  $[0, \varphi_\varepsilon]$  является член  $p(t)u'$ , а на  $[\varphi_\varepsilon, 1]$ , как обычно, — член  $\varepsilon u''$ , поскольку там  $h \leq C_\varepsilon$ . Поэтому на  $[0, \varphi_\varepsilon]$  тестовые функции — это базисные функции образа пространства непрерывных ломаных при действии оператора дифференцирования, а на  $[\varphi_\varepsilon, 1]$  тестовые функции выбираются традиционным образом. При этом члены вида  $\varepsilon u(t_i + 0)$  в (7.2.6) получаются при вычислении выражений вида  $\varepsilon(u', f'_i)$ , в котором  $f'_i$  понимается в смысле теории обобщенных функций (как разность  $\sigma$ -функций).

**Теорема 1** Найдутся такие числа  $\varepsilon_0 > 0$ ,  $n_0 > 0$ ,  $\gamma_0 > 0$ ,  $C > 0$ , что для всех  $\varepsilon \in (0, \varepsilon_0]$ ,  $n \geq n_0$  :  $\varepsilon n \leq \gamma_0$  существует единственное решение  $u_\varepsilon^n(t)$  задачи (7.2.6), причём

$$\|u_\varepsilon^n - u_\varepsilon\|_{C[0,1]} \leq \left(\frac{\ln n}{n}\right)^2 \quad (7.2.7)$$

**Замечание 2.** Вопросы построения и обоснования численных методов второго порядка точности, равномерных относительно малого параметра, в том числе для сеток Шишкина, в части получения априорных оценок погрешности для задач вида (7.2.1) в настоящее время хорошо изучены (см., например, [1, 14, 23]). Теорема 1 получается и приводится здесь как простое следствие свойства равномерной ограниченности семейства галеркинских проекторов, которое затем применяется для доказательства сходимости алгоритмов адаптации, что и является основным результатом статьи.

**Предположение 2.** Для алгоритмов адаптации будем предполагать, что  $p_0 = p(1)$ . В этом случае главный член погранслойной составляющей асимптотического разложения [43] имеет вид  $-u_0(1)e^{p_0 \frac{t-1}{\varepsilon}}$ .

Рассмотрим теперь алгоритм адаптации расчетной сетки в случае неизвестной границы пограничного слоя.

**Определение 1.** Будем говорить, что  $\varphi = \varphi(\varepsilon, n)$  есть  $n$ -граница пограничного слоя, если справедлива оценка  $\max e^{p_0 \frac{t-1}{\varepsilon}} \leq \frac{1}{n^2}$

**Определение 2.** Число  $\tilde{\varphi} = \tilde{\varphi}(\varepsilon, n) = \sup \varphi(\varepsilon, n)$  будем называть точной  $n$ -границей пограничного слоя.

Последнее определение аналогично определению ширины пограничного слоя, введенному Г.И. Шишкиным в [71] с пороговым значением  $\delta = n^{-2}$ .

Очевидно, что

$$\tilde{\varphi} = \varphi_\varepsilon = 1 - \frac{2}{p_0} \varepsilon \ln n. \quad (7.2.8)$$

Будем предполагать, что нам известно расположение пограничного слоя (окрестность точки  $t = 1$ ), но не известна его точная  $n$ -граница. Приведем алгоритм приближенного отыскания этой  $n$ -границы.

Шаг 1. Задаем некоторое достаточно большое  $p^0 \geq p_0$ . Полагаем  $k = 0$ .

Шаг 2. Определяем сетку Шишкина  $\Delta_{n,p^k}$  по формулам (7.2.3), в которых  $\varphi_\varepsilon$  заменяем на  $\varphi_k = 1 - \frac{2}{p^k} \varepsilon \ln n$ .

Шаг 3. Находим решение  $u_{n,p^k}(t)$  на сетке  $\Delta_{n,p^k}$ .

Шаг 4. Полагаем  $p^{k+1} = p^k - \tau_k$ , где  $\tau_k$  выбирается так, чтобы  $\varphi_k - \varphi_{k+1} = \varepsilon \ln \ln n$ .

Шаг 5. Находим решение  $u_{n,p^{k+1}}(t)$  на сетке  $\Delta_{n,p^{k+1}}$ .

Шаг 6. Вычисляем  $\mu_k = \|u_{n,p^{k+1}}(t) - u_{n,p^k}(t)\|_{C[\varphi_{k+1}, \varphi_k]}$

Шаг 7. Если  $k = 0$ , то  $k := k + 1$ , переходим к шагу 2, иначе к шагу 8.

Шаг 8. Если  $\mu_k > \frac{\ln^3 n}{n^2}$ , то  $k := k + 1$ , переходим к шагу 2, иначе  $\varphi \approx \varphi_{k+1}$  и конец алгоритма.

**Теорема 2** *Найдутся такие положительные константы  $\varepsilon_0, n_0, \gamma_0, C_1, C_2, C_3$ , что для любых  $\varepsilon \in (0, \varepsilon_0]$ ,  $n \geq n_0 : \varepsilon \leq \gamma_0$  алгоритм 1-8 закончит свою работу при  $k < C_1 \frac{\ln n}{\ln \ln n}$ , причём для параметра  $\varphi_{k+1}$  и приближённого решения  $u_{n,p^{k+1}}(t)$  на сетке  $\Delta_{n,p^{k+1}}$  будут справедливы оценки*

$$|\tilde{\varphi} - \varphi_{k+1}| \leq C_2 \varepsilon \ln \ln n, \quad (9)$$

$$\|u_{n,p^{k+1}}(t) - u\|_{C[0,1]} \leq C_3 \frac{\ln^3 n}{n^2}. \quad (7.2.9)$$

### Метод галеркинских проекций

Для доказательства основных результатов применим метод галеркинских проекций, распространённый в [31] на семейства уравнений, зависящих от параметра.

Пусть в банаховых пространствах  $H_\varepsilon$ ,  $0 < \varepsilon \leq \varepsilon_0$ , рассматривается семейство линейных операторов  $\{L_\varepsilon, 0 < \varepsilon \leq \varepsilon_0\}$  имеющих области определения  $D(L_\varepsilon)$  и семейство конечномерных пространств линейных на  $H_\varepsilon$  функционалов  $\{\Phi_\varepsilon^n, 0 < \varepsilon \leq \varepsilon_0, n = 0, 1, 2, \dots\}$  с базисами  $\{\varphi_1^{n,\varepsilon}, \varphi_2^{n,\varepsilon}, \dots, \varphi_{k_n}^{n,\varepsilon}\}$ .

Определим на  $D(L_\varepsilon)$  линейные функционалы  $\kappa_i^{n,\varepsilon}$ , полагая  $\langle u, \kappa_i^{n,\varepsilon} \rangle = \langle L_\varepsilon u, \varphi_i^{n,\varepsilon} \rangle$ . Предположим, что при каждом  $\varepsilon \in (0, \varepsilon_0]$  функционалы  $\kappa_i^{n,\varepsilon}$ , могут быть линейно продолжены на некоторое более широкое линейное многообразие  $D_\varepsilon$ . Продолженные функционалы обозначим через  $\psi_i^{n,\varepsilon}$ , а их линейную оболочку — через  $\Psi_\varepsilon^n$ .

Выберем в  $D_\varepsilon$  семейство конечномерных пространств  $\{H_\varepsilon^n\}$  размерности  $k_n$ . Для каждого  $u \in D_\varepsilon$  поставим задачу отыскания такого элемента  $u_\varepsilon^n \in H_\varepsilon^n$ , что для любого  $\psi \in \Psi_\varepsilon^n$

$$\langle u_\varepsilon^n - u, \psi \rangle = 0. \quad (7.2.10)$$



Задачу (7.2.10) будем называть галеркинской задачей для оператора  $L_\varepsilon$ . Предположим, что при некоторых  $n, \varepsilon$  задача (7.2.10) единственным образом разрешима для любого  $u \in D_\varepsilon$ . Тогда определен линейный оператор  $P_\varepsilon^n : D_\varepsilon \rightarrow H_\varepsilon^n$ ,  $P_\varepsilon^n u = u_\varepsilon^n$ . Очевидно, что  $P_\varepsilon^n P_\varepsilon^n = P_\varepsilon^n$ , т.е.  $P_\varepsilon^n$  — проектор.

**Определение 3.** Оператор  $P_\varepsilon^n$  будем называть галеркинским проектором для оператора  $L_\varepsilon$ , а  $u_\varepsilon^n$  — галеркинской проекцией элемента  $u$ .

В дальнейшем, говоря, что  $P_\varepsilon^n$  существует, автоматически имеем в виду, что соответствующая задача (7.2.10) единственным образом разрешима при любом  $u \in D_\varepsilon$ .

Предположим, что  $P_\varepsilon^n$  существует для некоторого семейства пар индексов  $NE = \{(n, \varepsilon)\}$  и при любых  $(n, \varepsilon) \in NE$  является линейным ограниченным в  $H_\varepsilon$  оператором.

**Определение 4.** Метод Галеркина (7.2.10) будем называть квазиоптимальным на  $NE$ , если найдется такая константа  $C > 0$ , что для любой пары  $(n, \varepsilon) \in NE$

$$\|P_\varepsilon^n\|_{E_\varepsilon \rightarrow E_\varepsilon} \leq C. \quad (7.2.11)$$

В нашем случае положим  $H_\varepsilon = \{u \in C[0, 1] : u' \in L_\infty[0, \varphi_\varepsilon], u(0) = u(1) = 0\}$  — пространство с нормой  $\|u\|_\varepsilon = \varepsilon \|u'\|_{L_\infty[0, \varphi_\varepsilon]} + \|u\|_{C[0, 1]}$ . Пусть  $H_\varepsilon^n = E_\varepsilon^n$ ,  $L_\varepsilon$  — оператор (7.2.1),  $D_\varepsilon$  — множество функций из  $H_\varepsilon$ , имеющих в каждой точке правосторонние конечные производные. Определим функционалы  $\psi_i^{n, \varepsilon}$ ,  $i = 1, 2, \dots, 2n - 1$  на функциях из  $D_\varepsilon$  выражениями, стоящими в левых частях (7.2.6). Их линейную оболочку по-прежнему будем обозначать через  $F_\varepsilon^n$ . Нетрудно убедиться, что точное решение уравнения (7.2.1) удовлетворяет (7.2.6). Поэтому задача (7.2.6) эквивалентна галеркинской задаче (7.2.10) для оператора  $L_\varepsilon$ .

Существование галеркинского проектора и квазиоптимальность метода (7.2.6) будут доказаны далее. Опираясь на квазиоптимальность, докажем теоремы 1 и 2.

Вначале изучим аппроксимационные свойства пространства  $E_\varepsilon^n$ . Если вместо  $p_0$  при построении разбиения  $\Delta$  используется другой параметр  $p^k$ , то соответствующее пространство обозначим через  $E_\varepsilon^n(p^k)$ . Узлы соответствующего разбиения  $\Delta_{n, p^k}$  обозначим через  $t_{i, k}$ .

**Лемма 2** Пусть  $p^k \geq C > 0$  — параметр, определяющий сетку Шижкина из алгоритма адаптации, а функция  $u_\varepsilon(t)$  удовлетворяет оценкам (7.2.2). Тогда

найдутся  $C_1 > 0$  и такая функция  $\tilde{u}(t) \in E_\varepsilon^n(p^k)$ , что

$$\|\tilde{u}(t) - u_\varepsilon(t)\|_\varepsilon \leq C_1 \left( \left( \frac{\ln n}{n} \right)^2 + e^{p_0 \frac{t_{n,k}-1}{\varepsilon}} \right). \quad (7.2.12)$$

**Доказательство.** Пусть  $\tilde{u}(t)$  — кусочно-линейная функция, интерполирующая  $u_\varepsilon(t)$  в узлах сетки  $\Delta_{n,p^k}$ . Тогда при  $t \in [t_{i,k}, t_{i+1,k}]$ , применяя формулу Тейлора с остаточным членом в интегральной форме, имеем

$$\begin{aligned} u_\varepsilon(t) - \tilde{u}(t) &= u_\varepsilon(t) - u_\varepsilon(t_{i,k}) - \frac{u_\varepsilon(t_{i+1,k}) - u_\varepsilon(t_{i,k})}{t_{i+1,k} - t_{i,k}} (t - t_{i,k}) = \\ &= \int_{t_{i,k}}^t (t-s) u_\varepsilon''(s) ds - \frac{t - t_{i,k}}{t_{i+1,k} - t_{i,k}} \int_{t_{i,k}}^{t_{i+1,k}} (t_{i+1,k} - s) u_\varepsilon''(s) ds. \end{aligned} \quad (7.2.13)$$

Далее, для  $i \leq n-1$  в силу (7.2.2) при  $t \in [t_{i,k}, t_{i+1,k}]$  имеем

$$\begin{aligned} \left| \int_{t_{i,k}}^t (t-s) u_\varepsilon''(s) ds \right| &\leq C \int_{t_{i,k}}^t (t-s) \left( 1 + \varepsilon^{-2} e^{p_0 \frac{s-1}{\varepsilon}} \right) ds \leq \\ &\leq \int_{t_{n-1,k}}^{t_{n,k}} (t_{n,k} - s) \left( 1 + \varepsilon^{-2} e^{p_0 \frac{s-1}{\varepsilon}} \right) ds = \\ &= \frac{C}{2} (t_{n,k} - t_{n-1,k})^2 + \frac{C}{\varepsilon} e^{p_0 \frac{t_{n,k}-1}{\varepsilon}} \int_{t_{n-1,k}}^{t_{n,k}} \frac{t_{n,k} - s}{\varepsilon} e^{p_0 \frac{s-t_{n,k}}{\varepsilon}} ds \leq \\ &\leq C_1 \left( n^{-2} + e^{p_0 \frac{t_{n,k}-1}{\varepsilon}} \right) \leq C_1 \left( \left( \frac{\ln n}{n} \right)^2 + e^{p_0 \frac{t_{n,k}-1}{\varepsilon}} \right). \end{aligned} \quad (7.2.14)$$

Из (7.2.13)–(7.2.14) вытекает оценка

$$\|\tilde{u}(t) - u_\varepsilon(t)\|_{C[t_{i,k}, t_{i+1,k}]} \leq C_1 \left( \left( \frac{\ln n}{n} \right)^2 + e^{p_0 \frac{t_{n,k}-1}{\varepsilon}} \right) \quad i \leq n-1. \quad (7.2.15)$$

Аналогично, с учетом того что  $\varepsilon \leq Cn^{-1}$ , доказывается оценка

$$\varepsilon \|\tilde{u}'(t) - u_\varepsilon'(t)\|_{C[t_{i,k}, t_{i+1,k}]} \leq C_1 \left( \left( \frac{\ln n}{n} \right)^2 + e^{p_0 \frac{t_{n,k}-1}{\varepsilon}} \right) \quad i \leq n-1.$$

Наконец, оценка (7.2.15) при  $i \geq n$  вытекает из (7.2.2), того, что при этих  $i$  будет  $t_{i+1,k} \simeq t_{i,k} \leq C \frac{\varepsilon \ln n}{n}$ , и обычных оценок погрешности лагранжевой интерполяции.

Лемма доказана.

Теорема 1 вытекает из квазиоптимальности и оценки (7.2.12) при  $p^k = p_0$  :

$$\begin{aligned} \|u_\varepsilon^n - u_\varepsilon\|_{C[0,1]} &\leq \|u_\varepsilon^n - u_\varepsilon\|_\varepsilon = \|P_\varepsilon^n u_\varepsilon - u_\varepsilon\|_\varepsilon \leq \\ &\leq \|P_\varepsilon^n u_\varepsilon - \tilde{u}\|_\varepsilon + \|\tilde{u} - u_\varepsilon\|_\varepsilon \leq (1 + C) \|\tilde{u} - u_\varepsilon\|_\varepsilon \leq \\ &\leq C_2 \left[ \left( \frac{\ln n}{n} \right)^2 + e^{p_0 \frac{\ln n - 1}{\varepsilon}} \right] = C_2 \left[ \left( \frac{\ln n}{n} \right)^2 + n^{-2} \right] \leq 2C_2 \left( \frac{\ln n}{n} \right)^2. \end{aligned}$$

Докажем теорему 2. Алгоритм адаптации, суть которого состоит в процессе подбора параметра  $p^k$ , продолжает свою работу до тех пор, пока имеет место оценка

$$\mu_k > \frac{\ln^3 n}{n^2} \quad (7.2.16)$$

(см. шаг 8 алгоритма). Доказательство проведем в два этапа. На первом этапе будет показано, что оценки (7.2.16) достаточно для достижения точной границы пограничного слоя  $\tilde{\varphi}$ . На втором этапе рассматривается вопрос о том, не произойдет ли в процессе реализации алгоритма перехода точной границы при уменьшении параметра  $p^k$ .

**Замечание 3.** Поскольку в соответствии с оценкой (9) точная граница пограничного слоя ищется с точностью  $O(\varepsilon \ln \ln n)$ , то для удобства доказательства можно считать, что в качестве границы погранслоя ищется величина

$$\tilde{\psi} = 1 - \frac{2}{p_0} \varepsilon (\ln n - \ln \ln n), \quad (7.2.17)$$

которой соответствует значение параметра

$$\tilde{p}_0 = p_0 \frac{\ln n}{\ln n - \ln \ln n}. \quad (7.2.18)$$

**Этап I.** Зафиксируем  $k \geq .1$

**Лемма 3** Пусть  $p^{k+1} \geq \tilde{p}_0 > 0$ . Тогда найдутся такие константы  $C > 0$ ,  $C_3 > 0$ ,  $n_0 \in \mathbb{N}$ , что при  $\varepsilon n \leq C$ ,  $n \geq n_0$  будет справедливо неравенство

$$\|u_{n,p^k} - u_\varepsilon\|_{C[\varphi_{k+1}, \varphi_k]} \geq C_3 e^{p_0 \frac{\varphi_k - 1}{\varepsilon}}. \quad (7.2.19)$$

**Доказательство.** Поскольку  $|\varphi_{k+1} - \varphi_k| = \varepsilon \ln \ln n$ , то достаточно доказать оценку

$$\|u_{n,p^k} - u_\varepsilon\|_{C[\varphi_k - C_1 \varepsilon, \varphi_k]} \geq C_3 e^{p_0 \frac{\varphi_k - 1}{\varepsilon}}, \quad (7.2.20)$$

где константа  $C_1 > 0$  такова, что  $[\varphi_k - C_1\varepsilon, \varphi_k] \subset [t_{n-1,k}, \varphi_k] = [t_{n-1,k}, t_{n,k}]$ ,  $C_1$  не зависит от  $\varepsilon, n$ . Такая  $C_1$  найдется в силу условия (7.2.5) и определения сетки Шишкина. Докажем (7.2.20).

Асимптотическое разложение решения  $u_\varepsilon(t)$  [43] имеет вид

$$u_\varepsilon(t) = u_0(t) + \varepsilon u_1(t) + \Pi u_0\left(\frac{t-1}{\varepsilon}\right) + \varepsilon \Pi_1\left(\frac{t-1}{\varepsilon}\right) + O(\varepsilon^2) = u_{\varepsilon,1}(t) + \Pi u_{\varepsilon,1}(t) + R(t, \varepsilon),$$

где  $u_i(t) \in C^2[0, 1]$  не зависят от  $\varepsilon$ ,  $\Pi u_0(\tau) = -u(1)e^{p_0\tau}$ ,  $\Pi u_1(\tau) = Q(\tau)e^{p_0\tau} \in C^2(-\infty, 0)$ , где  $\tau = (t-1)/\varepsilon$ ,  $Q(\tau)$  — полином. Пусть  $u_I(t)$ ,  $u_{I,1}(t)$ ,  $\Pi u_I(t)$ ,  $R_I(t, \varepsilon)$  — линейные интерполянты функций  $u_\varepsilon(t)$ ,  $u_{\varepsilon,1}(t)$ ,  $\Pi u_{\varepsilon,1}(\tau)$ ,  $R(t, \varepsilon)$  на отрезке  $[\varphi_k - C_1\varepsilon, \varphi_k]$ . В силу гладкости интерполируемых функций и оценок погрешности линейной интерполяции будем иметь

$$\begin{aligned} & \|u_{n,p^k} - u_\varepsilon\|_{C[\varphi_k - C_1\varepsilon, \varphi_k]} \geq \inf_{a, b \in \mathbb{R}} \|at + b - u\|_{C[\varphi_k - C_1\varepsilon, \varphi_k]} = \\ & = \inf_{a, b \in \mathbb{R}} \|at + b - (u_I - u_\varepsilon)\|_{C[\varphi_k - C_1\varepsilon, \varphi_k]} \geq \inf_{a, b \in \mathbb{R}} (\|at + b - (\Pi u_I - \Pi u_{\varepsilon,1})\|_{C[\varphi_k - C_1\varepsilon, \varphi_k]} - \\ & \quad - \|u_{I,1} - u_{\varepsilon,1}\|_{C[\varphi_k - C_1\varepsilon, \varphi_k]} - \|R_I - R\|_{C[\varphi_k - C_1\varepsilon, \varphi_k]}) \geq \\ & \geq \inf_{a, b \in \mathbb{R}} (\|at + b - (\Pi u_I - \Pi u_{\varepsilon,1})\|_{C[\varphi_k - C_1\varepsilon, \varphi_k]} - C\varepsilon^2) = \\ & = \inf_{a, b \in \mathbb{R}} (\|at + b - (\Pi u_I - \Pi u_{\varepsilon,1})\|_{C[\varphi_k - C_1\varepsilon, \varphi_k]}) - C\varepsilon^2 = \\ & = \inf_{a, b \in \mathbb{R}} (\|at + b - \Pi u_{\varepsilon,1}\|_{C[\varphi_k - C_1\varepsilon, \varphi_k]}) - C\varepsilon^2. \end{aligned}$$

Но при достаточно малых  $\varepsilon > 0$ , учитывая также, что  $u_0(1) \neq 0$ , имеем

$$\begin{aligned} & \inf_{a, b \in \mathbb{R}} \|at + b - \Pi u_{\varepsilon,1}\|_{C[\varphi_k - C_1\varepsilon, \varphi_k]} = \inf_{a, b \in \mathbb{R}} \|a\tau + b - (-u_0(1) + \varepsilon Q(\tau)) e^{p_0\tau}\|_{C[\frac{\varphi_k-1}{\varepsilon} - C_1, \frac{\varphi_k-1}{\varepsilon}]} \geq \\ & \geq C_3 \inf_{a, b \in \mathbb{R}} \|a\tau + b + u_0(1)e^{p_0\tau}\|_{C[\frac{\varphi_k-1}{\varepsilon} - C_1, \frac{\varphi_k-1}{\varepsilon}]} \geq C_5 \|u_0(1)e^{p_0\tau}\|_{C[\frac{\varphi_k-1}{\varepsilon} - C_1, \frac{\varphi_k-1}{\varepsilon}]} \geq C_6 e^{p_0 \frac{\varphi_k-1}{\varepsilon}}, \end{aligned} \quad (7.2.21)$$

поскольку погрешность приближения экспоненты линейной функцией на отрезке длины порядка  $O(1)$  не может быть меньше величины порядка  $C$ -нормы экспоненты на этом отрезке.

Наконец, в силу условия  $p^{k+1} \geq \tilde{p}_0 > 0$  и (7.2.19)-(7.2.20) будет  $\varphi_k = \varphi_{k+1} + \varepsilon \ln \ln n \geq \tilde{\psi} + \varepsilon \ln \ln n$ , откуда

$$e^{p_0 \frac{\varphi_k-1}{\varepsilon}} \geq e^{p_0 \frac{\tilde{\psi}-1}{\varepsilon}} (\ln n)^{p_0} = \left(\frac{\ln n}{n}\right)^2 (\ln n)^{p_0}. \quad (7.2.22)$$

Из (7.2.1)–(7.2.22) с учетом (7.2.4) при достаточно большом  $n$  вытекает (7.2.20). Лемма доказана.

Пусть  $p^{k+1} \geq \tilde{p}_0$ . Тогда в силу квазиоптимальности и леммы 2 аналогично (7.2.1) имеем

$$\|u_{n,p^k} - u_\varepsilon\|_{C[0,1]} \leq C_2 \left[ \left( \frac{\ln n}{n} \right)^2 + e^{p_0 \frac{\varphi_k - 1}{\varepsilon}} \right]. \quad (7.2.23)$$

Тогда в силу (7.2.19), (7.2.23), поскольку при  $p^k \geq p^{k+1} \geq \tilde{p}_0$  в силу (7.2.22) будет  $e^{p_0 \frac{\varphi_k - 1}{\varepsilon}} \geq C \left( \frac{\ln n}{n} \right)^2$ , получаем

$$C_4 e^{p_0 \frac{\varphi_k - 1}{\varepsilon}} \leq \|u_{n,p^k} - u_\varepsilon\|_{C[\varphi_{k+1}, \varphi_k]} \leq C_5 e^{p_0 \frac{\varphi_k - 1}{\varepsilon}}. \quad (7.2.24)$$

Аналогично (7.2.23) имеем

$$\|u_{n,p^{k+1}} - u_\varepsilon\|_{C[0,1]} \leq C_6 \left[ \left( \frac{\ln n}{n} \right)^2 + e^{p_0 \frac{\varphi_{k+1} - 1}{\varepsilon}} \right]. \quad (7.2.25)$$

Оценим величину  $\mu_k$ , вычисляемую на шаге 6 алгоритма адаптации. С учетом (7.2.24), (7.2.25) будет

$$\begin{aligned} \mu_k &= \|u_{n,p^{k+1}} - u_{n,p^k}\|_{C[\varphi_{k+1}, \varphi_k]} \geq \\ &\geq \|u_{n,p^k} - u_\varepsilon\|_{C[\varphi_{k+1}, \varphi_k]} - \|u_{n,p^{k+1}} - u_\varepsilon\|_{C[\varphi_{k+1}, \varphi_k]} \geq \\ &\geq C_4 e^{p_0 \frac{\varphi_k - 1}{\varepsilon}} - C_6 \left[ \left( \frac{\ln n}{n} \right)^2 + e^{p_0 \frac{\varphi_{k+1} - 1}{\varepsilon}} \right]. \end{aligned}$$

Но, так как  $\varphi_k = \varphi_{k+1} + \varepsilon \ln \ln n$ , с учетом (7.2.22) из (7.2.1) при достаточно большом  $n$  получим

$$\mu_k \geq C_7 e^{p_0 \frac{\varphi_k - 1}{\varepsilon}}. \quad (7.2.26)$$

Наконец, из (7.2.22), (7.2.24), (7.2.25) вытекает  $\mu_k \leq C_8 e^{p_0 \frac{\varphi_k - 1}{\varepsilon}}$ . Поэтому, с учетом (7.2.26), при  $p^{k+1} \geq \tilde{p}_0$  будет

$$C_7 e^{p_0 \frac{\varphi_k - 1}{\varepsilon}} \leq \mu_k \leq C_8 e^{p_0 \frac{\varphi_k - 1}{\varepsilon}}. \quad (7.2.27)$$

Остановка алгоритма произойдет, если будет  $\mu_k \leq \frac{\ln^3 n}{n^2}$ , что в силу (7.2.27) означает, что  $e^{p_0 \frac{\varphi_k - 1}{\varepsilon}} \leq C_9 \frac{\ln^3 n}{n^2}$ , откуда

$$\varphi_k \leq 1 - \frac{2}{p_0} \varepsilon \ln n + \frac{\varepsilon}{p_0} (\ln C_9 + \varepsilon \ln \ln n) = \varphi_\varepsilon + \frac{\varepsilon}{p_0} (\ln C_9 + \varepsilon \ln \ln n)$$

Таким образом, алгоритм не завершит свою работу, пока не будет выполнена оценка

$$\varphi_k \leq \varphi_\varepsilon + O(\varepsilon \ln \ln n). \quad (7.2.28)$$

**Этап II.** Поскольку граница погранслоя  $\varphi_k$  сдвигается с шагом  $\varepsilon \ln \ln n$ , а точная граница имеет вид  $\varphi_\varepsilon = 1 - \frac{2}{p_0} \varepsilon \ln n$ , то она будет достигнута не более чем за  $O\left(\frac{\ln n}{\ln \ln n}\right)$  шагов с точностью (7.2.28). Докажем, что после достижения границы алгоритм остановит свою работу. Действительно, пусть  $\varphi_k \leq \varphi_\varepsilon$ . Тогда и  $\varphi_{k+1} \leq \varphi_k \leq \varphi_\varepsilon$ . Тогда в силу леммы 2, того, что  $e^{p_0 \frac{\varphi_\varepsilon - 1}{\varepsilon}} = n^{-2}$ , и квазиоптимальности будет иметь место оценка

$$\begin{aligned} \mu_k &= \|u_{n,p^{k+1}} - u_{n,p^k}\|_{C[\varphi_{k+1}, \varphi_k]} \leq \|u_{n,p^k} - u_\varepsilon\|_{C[\varphi_{k+1}, \varphi_k]} + \|u_{n,p^{k+1}} - u_\varepsilon\|_{C[\varphi_{k+1}, \varphi_k]} \leq \\ &\leq \|u_{n,p^k} - u_\varepsilon\|_\varepsilon + \|u_{n,p^{k+1}} - u_\varepsilon\|_\varepsilon \leq C \left[ \left(\frac{\ln n}{n}\right)^2 + n^{-2} \right] \leq 2C \left(\frac{\ln n}{n}\right)^2. \end{aligned}$$

Но критерий выхода имеет вид  $\mu_k \leq \frac{\ln^3 n}{n^2}$ , и при достаточно больших  $n$  он будет выполнен.

Докажем оценку (7.2.9). В силу леммы 2 и того, что  $\varphi_k = t_{n,k}$ , в случае  $p^{k+1} \geq \tilde{p}_0$ , учитывая (7.2.26), получаем

$$\begin{aligned} \|u_{n,p^{k+1}} - u_\varepsilon\|_{C[0,1]} &\leq C \left[ \left(\frac{\ln n}{n}\right)^2 + e^{p_0 \frac{\varphi_{k+1} - 1}{\varepsilon}} \right] \leq \\ &\leq C \left[ \left(\frac{\ln n}{n}\right)^2 + e^{p_0 \frac{\varphi_k - 1}{\varepsilon}} \right] \leq C_1 \left[ \left(\frac{\ln n}{n}\right)^2 + \mu_k \right] \leq C_2 \frac{\ln^3 n}{n^2}, \end{aligned}$$

а при  $p^{k+1} \leq \tilde{p}_0$  будет и  $e^{p_0 \frac{\varphi_{k+1} - 1}{\varepsilon}} \leq e^{p_0 \frac{\tilde{p} - 1}{\varepsilon}} = \left(\frac{\ln n}{n}\right)^2$ , и

$$\|u_{n,p^{k+1}} - u_\varepsilon\|_{C[0,1]} \leq C \left[ \left(\frac{\ln n}{n}\right)^2 + e^{p_0 \frac{\varphi_{k+1} - 1}{\varepsilon}} \right] \leq 2C \left(\frac{\ln n}{n}\right)^2.$$

Теорема 2 доказана.

## 7.2.2 Доказательство квазиоптимальности

Для доказательства квазиоптимальности воспользуемся схемой из [31]. Пусть  $D_\varepsilon$  – множество функций из  $E_\varepsilon$ , имеющих в каждой точке конечные правосторонние производные. Определим функционалы  $\psi_i^{n,\varepsilon} u = \langle u, f_i \rangle$ ,  $i = 1, 2, \dots, 2n - 1$ , на

функциях из  $D_\varepsilon$  выражениями, стоящими в левых частях (7.2.6). Их линейную оболочку обозначим через  $F_\varepsilon^n$ . В [31] было получено представление галеркинско-го проекта в виде

$$P_\varepsilon^n u = \sum_{i=1}^{2n-1} \langle u, \lambda_i^{n,\varepsilon} \rangle B_i^{n,\varepsilon},$$

где  $B_i^{n,\varepsilon}$  —  $B$ -сплайны первой степени (7.2.5),  $\{\lambda_i^{n,\varepsilon}\}$  — биортогональный к  $\{B_i^{n,\varepsilon}\}$  базис в  $F_\varepsilon^n$ , т.е.

$$\langle B_i^{n,\varepsilon}, \lambda_j^{n,\varepsilon} \rangle = \delta_{ij} = \begin{cases} 1, & i = j, \\ 0, & i \neq j. \end{cases}$$

В [31] показано, что для доказательства квазиоптимальности достаточно установить существование  $\{\lambda_j^{n,\varepsilon}\}$  и оценки

$$|\langle u, \lambda_i^{n,\varepsilon} \rangle| \leq C_1 \|u\|_\varepsilon, \quad i = 1, 2, \dots, 2n-1, \quad (7.2.29)$$

справедливые для любой  $u \in D_\varepsilon$  с константой  $C_1$ , не зависящей от  $u, i, \varepsilon, n$ . В [31] также было показано, что оценки (7.2.29) достаточно установить для частного случая  $q(t, \varepsilon) \equiv 0$ . Вначале построим вспомогательные функционалы  $\mu_i^{n,\varepsilon}$ . Пусть

$$\mu_j(t, \varepsilon) = \sum_{i=1}^j \alpha_i f_i(t), \quad i = 1, 2, \dots, n-1, \quad (7.2.30)$$

где  $f_i(t)$  — функции (7.2.5),

$$\alpha_j = \left[ \frac{1}{t_j - t_{j-1}} \int_{t_{j-1}}^{t_j} p(t) dt \right], \quad j = i, i-1, \dots, 2, 1. \quad (7.2.31)$$

Пусть  $g_i(t, \varepsilon)$  — кусочно-линейная функция, интерполирующая функцию Грина  $G_\varepsilon(t, t_i)$  краевой задачи  $-\varepsilon u'' - (p(t)u)' = f(t)$ ,  $u(0) = u(1) = 0$  в узлах разбиения  $\Delta$ . Из явного вида функции Грина и оценок погрешности линейной интерполяции с шагом  $O\left(\frac{\varepsilon \ln n}{n}\right)$  вытекают оценки (7.2.32)

$$\left| \frac{\partial^s}{\partial t^s} G_\varepsilon(t, t_i) \right| \leq C \begin{cases} 1 + \varepsilon^{-s} e^{-p_0 \frac{t}{\varepsilon}}, & 0 \leq t \leq t_i, \\ 1 + \varepsilon^{-s} e_{-p_0 \frac{t-t_i}{\varepsilon}}, & t_i \leq t \leq 1, \end{cases} \quad s = 0, 1, 2, \quad (7.2.32)$$

$$\|g_i(t, \varepsilon) - G_\varepsilon(t, t_i)\|_{C[t_n, 1]} \leq C \left( \frac{\ln n}{n} \right)^2 \quad (7.2.33)$$

Положим

$$\mu_i(t, \varepsilon) = \begin{cases} \frac{g_i(t_n, \varepsilon)}{\alpha_n} \sum_{j=1}^n \alpha_j f_j(t), & t \in [0, t_n], \\ g_i(t, \varepsilon), & t \in [t_n, 1], \quad i = n, n+1, \dots, 2n-1. \end{cases} \quad (7.2.34)$$

Пусть  $\mu_i^{n, \varepsilon}$  — линейные функционалы на  $D_\varepsilon$ , определяемые формулами (7.2.30), (7.2.34) согласно (7.2.5).

**Лемма 4** *Справедливы оценки*

$$\langle u, \mu_i^{n, \varepsilon} \rangle \leq C \|u\|_\varepsilon, \quad (7.2.35)$$

где  $u \in D_\varepsilon$  — произвольная, а  $C$  не зависит от  $u$ ;

$$\langle B_j, \mu_i^{n, \varepsilon} \rangle \leq C \left( \frac{\ln n}{n} \right)^2, \quad i = 1, 2, \dots, 2n-1; \quad j \neq i, i+1, n, \quad (7.2.36)$$

$$\langle B_{i+1}, \mu_i^{n, \varepsilon} \rangle \leq C \max \left\{ \varepsilon n, \left( \frac{\ln n}{n} \right)^2 \right\}, \quad i = 1, 2, \dots, 2n-1, \quad (7.2.37)$$

$$\langle B_n, \mu_i^{n, \varepsilon} \rangle \leq C n^{-1}, \quad i = 1, 2, \dots, 2n-1; \quad i \neq n, n-1, \quad (7.2.38)$$

$$\langle B_i, \mu_i^{n, \varepsilon} \rangle \geq C > 0, \quad i = 1, 2, \dots, 2n-1. \quad (7.2.39)$$

**Доказательство.** Докажем оценки (7.2.36). Простой подсчет показывает, что

$$\langle B_j, \mu_i^{n, \varepsilon} \rangle = \frac{\varepsilon n}{\varphi_\varepsilon} |\alpha_{j+1} - 2\alpha_j + \alpha_{j-1}|, \quad j < i \leq n-1.$$

Но в силу (7.2.31) и предположения о гладкости  $p(t)$  имеем  $|\alpha_{j+1} - 2\alpha_j + \alpha_{j-1}| \leq C n^{-2}$ . Отсюда с учетом (7.2.4) вытекает (7.2.36) для этих  $i, j$ . Аналогично из (7.2.32)–(7.2.34) получаем (7.2.36) при  $i \geq n, j \leq n-1$ . При  $i \leq n-1, j \geq i+2$  будет  $\langle B_j, \mu_i^{n, \varepsilon} \rangle = 0$  в силу дизъюнктивности носителей. При  $i \geq n, j \geq n+1$  в силу (7.2.34) будет

$$\langle B_j, \mu_i^{n, \varepsilon} \rangle = (\varepsilon B'_j, g'_i) + (p(t)B'_j, g_j). \quad (7.2.40)$$

Поскольку по определению функции Грина

$$\left( \varepsilon B_j, \frac{\partial G_\varepsilon}{\partial t}(t, t_i) \right) + \left( p(t)B'_j, G_\varepsilon(t, t_i) \right) = B_j(t_i) = \delta_{ij}, \quad (7.2.41)$$

то из (7.2.40), (7.2.41) имеем

$$\langle B_j, \mu_i^{n, \varepsilon} \rangle = \left( \varepsilon B'_j, g'_i - \frac{\partial G_\varepsilon}{\partial t}(t, t_i) \right) + \left( p(t)B'_j, g_i - G_\varepsilon(t, t_i) \right) + \delta_{ij}. \quad (7.2.42)$$



Интегрируя по частям и учитывая, что  $g_i(t_k) = G_\varepsilon(t_k, t_i)$ , получаем, что первое слагаемое в правой части (7.2.42) равен нулю, т.е.

$$\langle B_j, \mu_i^{n,\varepsilon} \rangle = (p(t)B'_j, g_i - G_\varepsilon(t, t_i)) + \delta_{ij}. \quad (7.2.43)$$

Из (7.2.33), (7.2.43) получаем (7.2.36) при  $i \geq n$ ,  $j \geq n+1$ . Тем самым оценка (7.2.36) доказана.

Докажем (7.2.37). При  $i \leq n-1$  будем иметь

$$\langle B_{i+1}, \mu_i^{n,\varepsilon} \rangle = | -\varepsilon B'_{i+1}(t_i + 0) | \leq C\varepsilon n,$$

а при  $i \geq n$ , аналогично (7.2.36),  $\langle B_{i+1}, \mu_i^{n,\varepsilon} \rangle \leq C \left( \frac{\ln n}{n} \right)^2$ . Оценка (7.2.37) доказана.

Докажем (7.2.38). При  $i \leq n-2$  будет  $\langle B_n, \mu_i^{n,\varepsilon} \rangle = 0$  в силу дизъюнктивности носителей. При  $i \geq n+1$  в силу (7.2.34) имеем

$$\begin{aligned} \langle B_n, \mu_i^{n,\varepsilon} \rangle &= \varepsilon \frac{n}{\varphi_\varepsilon} \left( 1 - \frac{\alpha_{n-1}}{\alpha_n} \right) g_i(t_n, \varepsilon) + g_i(t_n, \varepsilon) \int_{t_{n-1}}^{t_n} p(t) B'_n(t) dt + \\ &+ \int_{t_n}^{t_{n+1}} \varepsilon B'_n(t) g'_i(t, \varepsilon) dt + \int_{t_n}^{t_{n+1}} p(t) B'_n(t) g_i(t, \varepsilon) dt. \end{aligned} \quad (7.2.44)$$

В силу предположений о гладкости  $p(t)$  и определения  $\alpha_i$ , будет  $\left| 1 - \frac{\alpha_{n-1}}{\alpha_n} \right| \leq Cn^{-1}$ , откуда с учетом (7.2.32)

$$\left| \varepsilon \frac{n}{\varphi_\varepsilon} \left( 1 - \frac{\alpha_{n-1}}{\alpha_n} \right) g_i(t_n, \varepsilon) \right| \leq C\varepsilon. \quad (7.2.45)$$

Далее заметим, что для  $i \geq n+1$  в силу (7.2.32) при  $t \in [t_{n-1}, t_{n+1}]$  будет  $|g'_i(t)| \leq C$ , откуда с учетом гладкости  $p(t)$

$$\begin{aligned} g_i(t_n, \varepsilon) \int_{t_{n-1}}^{t_n} p(t) B'_n(t) dt &= g_i(t_n, \varepsilon) p(t_n) + O(n^{-1}), \\ \int_{t_n}^{t_{n+1}} p(t) B'_n(t) g_i(t, \varepsilon) dt &= -g_i(t_n, \varepsilon) p(t_n) + O(n^{-1}) \\ \int_{t_n}^{t_{n+1}} \varepsilon B'_n(t) g'_i(t) dt &= O(\varepsilon). \end{aligned} \quad (7.2.46)$$

Из (7.2.44)–(7.2.46) вытекает (7.2.38) при  $i \geq n + 1$ . Оценка (7.2.38) доказана.

Докажем (7.2.39). При  $i \geq n + 1$  (7.2.39) вытекает из (7.2.43) аналогично (7.2.36). При  $i \leq n - 1$  имеем

$$\langle B_i, \mu_i^{n,\varepsilon} \rangle = \varepsilon \frac{n}{\varphi_\varepsilon} (\alpha_i - \alpha_{i-1}) + \int_{t_{n-1}}^{t_n} p(t) B_i'(t) dt = O(n^{-1}) + p(t_i) \geq p_0 + O(n^{-1}),$$

откуда получаем (7.2.39). При  $i = n$  оценка (7.2.39) доказывается аналогично (7.2.38) с учетом того, что в этом случае в (7.2.46) все слагаемые будут одного знака. Оценки (7.2.35) вытекают из определения функционалов  $\mu_i^{n,\varepsilon}$  и формул (7.2.31)–(7.2.33). Лемма доказана.

Докажем квазиоптимальность. Будем искать функционалы  $\lambda_i^{n,\varepsilon}$  в виде

$$\lambda_i^{n,\varepsilon} = \sum_{j=1}^{2n-1} \beta_j^i \mu_j^{n,\varepsilon}. \quad (7.2.47)$$

Из условий биортогональности для отыскания  $\{\beta_j^i\}$  получим систему линейных алгебраических уравнений с правой частью  $e_i = \{e_j^i\}$ ,  $e_j^i = \delta_{ij}$  и матрицей  $B$  с элементами  $b_{ij} = \langle B_j, \mu_i^{n,\varepsilon} \rangle$ . Будем считать, что  $b_{ii} = \langle B_i, \mu_i^{n,\varepsilon} \rangle = 1$ . При этом в силу (7.2.39) оценки (7.2.36)–(7.2.38) останутся в силе.

Пусть  $\|B\|_1$  — норма матрицы, согласованная с  $l_1$ -нормой вектора. В силу леммы 4 матрицу  $B$  можно представить в виде  $B = I + B_1$ , где  $I$  — единичная матрица, и справедлива оценка  $\|B\|_1 \leq C \left( \varepsilon n + \frac{\ln^2 n}{n} \right)$ . Поэтому при достаточно малых  $\varepsilon$ ,  $n^{-1}$ ,  $\varepsilon n$  матрица  $B$  обратима и  $\|B^{-1}\|_1 \leq C$ . В этом случае для коэффициентов  $\{\beta_j^i\}$  будет справедлива оценка  $\sum_{j=1}^{2n-1} |\beta_j^i| \leq 1$  и, следовательно, в силу (7.2.35)  $\lambda_i^{n,\varepsilon}$  существуют и являются ограниченными на  $E_\varepsilon$  функционалами. Тем самым квазиоптимальность для задачи (7.2.1) доказана.

**Замечание 4.** Мы доказали равномерную ограниченность галеркинских проекторов для сетки Шишкина с параметром  $p_0$ . Однако в случае гладких, не зависящих от  $\varepsilon$  коэффициентов уравнения (7.2.1) при значении параметра  $p^k : 0 < C_1 < p^k < C_2$  доказательство совершенно аналогично, а все константы в оценках можно считать не зависящими от параметра  $p^k$ .

**Замечание 5.** Аналогично [31] рассматриваемый проекционный метод, алгоритмы адаптации и теоремы 1 и 2 обобщаются на задачи вида

$$L_\varepsilon u \equiv -\varepsilon u'' + p(t, \varepsilon) u' + q(t, \varepsilon) u = f(t), \quad u(0) = u(1) = 0,$$

$$M_\varepsilon v \equiv -\varepsilon v'' + (p(t, \varepsilon)v)' + q(t, \varepsilon)v = g(t), \quad v(0) = v(1) = 0,$$

в предположении, что выполнены условия  $p(t, \varepsilon) \in C^4[0, 1]$ ,  $q(t, \varepsilon) \in C^2[0, 1]$ ,  $f(t), g(t) \in C[0, 1]$ , и

$$|p^{(i)}(t, \varepsilon)| \leq C(1 + \varepsilon^{-i} \exp(p_0(t-1)/\varepsilon)), \quad i = 0, 1, \dots, 4, \quad p(t, \varepsilon) \geq p_0 > 0,$$

а решения задач Коши  $p(t, \varepsilon)u'_0 + q(t, \varepsilon)u_0 = f(t)$ ,  $u_0(0) = 0$  и  $(p(t, \varepsilon)v_0)' + q(t, \varepsilon)v_0 = g(t)$ ,  $v_0(0) = 0$  отличны от нуля при  $t = 1$ .

### 7.2.3 Численный эксперимент

Рассмотрим две линейные задачи:

$$-\varepsilon u'' + u' + u = 1, \quad u(0) = u(1) = 0, \quad (7.2.48)$$

$$\varepsilon v'' + p(t, \varepsilon)v' = p(t, \varepsilon), \quad v(0) = v(1) = 0, \quad (7.2.49)$$

где  $p(t, \varepsilon) = 1 + e^{\frac{t-1}{\varepsilon}} \left(0.5 + e^{\frac{t-1}{\varepsilon}}\right)^{-1}$

Начальное значение параметра сетки  $p^0$ , при котором начинался процесс адаптации, для обеих задач приняли равными 10, а шаг его изменения  $\tau$  был выбран таким, что разность  $\varphi_k - \varphi_{k+1} = \varepsilon \ln \ln n$ , т.е. равным  $\tau = \frac{(p^k)^2 \ln \ln n}{2 \ln n + p^k \ln \ln n}$ . Результаты расчетов представлены в табл. 1 и 2.

Здесь  $p^k$  — значение, при котором прекращается выполнение алгоритма на  $k$ -й итерации,  $\Delta t$  — погрешность приближенного значения границы пограничного слоя.

**Таблица 1. Результаты для задачи (7.2.48)**

№ итерации	$\varepsilon = 10^{-3}$	$\varepsilon = 10^{-4}$
$n = 16$	$p = 1.1967, k = 4, \Delta t = 0.000911$	$p = 1.1967, k = 4, \Delta t = 0.0000911$
$n = 32$	$p = 1.0034, k = 5, \Delta t = 0.000023$	$p = 1.0034, k = 5, \Delta t = 0.0000023$
$n = 64$	$p = 1.0452, k = 5, \Delta t = 0.000359$	$p = 1.0452, k = 5, \Delta t = 0.0000359$
$n = 128$	$p = 1.0943, k = 5, \Delta t = 0.000836$	$p = 0.9289, k = 6, \Delta t = 0.0000742$
$n = 256$	$p = 0.9739, k = 6, \Delta t = 0.000296$	$p = 0.9739, k = 6, \Delta t = 0.0000296$
$n = 512$	$p = 1.0200, k = 6, \Delta t = 0.000244$	$p = 1.0200, k = 6, \Delta t = 0.0000244$

Таблица 2. Результаты для задачи (7.2.49)

№ итерации	$\varepsilon = 10^{-3}$	$\varepsilon = 10^{-4}$
$n = 16$	$p = 1.1967, k = 4, \Delta t = 0.000911$	$p = 1.1967, k = 4, \Delta t = 0.0000911$
$n = 32$	$p = 1.0034, k = 5, \Delta t = 0.000023$	$p = 1.0034, k = 5, \Delta t = 0.0000023$
$n = 64$	$p = 1.0034, k = 5, \Delta t = 0.000359$	$p = 1.0034, k = 5, \Delta t = 0.0000359$
$n = 128$	$p = 1.0943, k = 5, \Delta t = 0.00083$	$p = 1.0943, k = 5, \Delta t = 0.000083$
$n = 256$	$p = 1.14644, k = 5, \Delta t = 0.00141$	$p = 0.9739, k = 6, \Delta t = 0.0000296$
$n = 512$	$p = 1.0200, k = 6, \Delta t = 0.00024$	$p = 1.0200, k = 6, \Delta t = 0.000024$

Данные вычислительных экспериментов согласуются с теоретическими результатами. Из таблиц видно, что двигаясь с шагом  $\varepsilon \ln \ln n$ , точка  $t_{n,k}$  достигает точной границы погранслоя  $\tilde{\varphi}$  с погрешностью, удовлетворяющей оценке (9), после чего алгоритм заканчивает свою работу.

## 7.3 Алгоритм адаптации сеток Н.С. Бахвалова для несамосопряженных сингулярно-возмущенных краевых задач

### 7.3.1 Постановки задач и предварительные сведения

Рассмотрим на отрезке  $[0, 1]$  краевые задачи

$$L_\varepsilon u_\varepsilon \equiv -\varepsilon u_\varepsilon'' + p(t, \varepsilon) u_\varepsilon' + q(t, \varepsilon) u_\varepsilon = f(t), \quad u_\varepsilon(0) = u_\varepsilon(1) = 0, \quad (7.3.1)$$

$$M_\varepsilon v_\varepsilon \equiv -\varepsilon v_\varepsilon'' + (p(t, \varepsilon) v_\varepsilon)' + q(t, \varepsilon) v_\varepsilon = g(t), \quad v_\varepsilon(0) = v_\varepsilon(1) = 0. \quad (7.3.2)$$

**Предположение 1.** Предположим, что  $p(t, \varepsilon) \in C^4[0, 1]$ ,  $q(t, \varepsilon) \in C^2[0, 1]$ ,  $f(t) \in C[0, 1]$ ,  $g(t) \in C[0, 1]$ , причем

$$|q^{(i)}(t, \varepsilon)| \leq C(1 + \varepsilon^{-i} \exp(p_0(t-1)/\varepsilon)), \quad i = 0, 1, 2, \quad 0 < C_1 \leq p_0 \leq C_2,$$

$$p(t, \varepsilon) \geq p_0 > 0, \quad |p^{(i)}(t, \varepsilon)| \leq C(1 + \varepsilon^{-i} \exp(p_0(t-1)/\varepsilon)), \quad i = 0, 1, 2, 3, 4.$$

При сделанных предположениях в [31] было установлено следующее утверждение.

**Лемма 1** Для достаточно малых  $\varepsilon > 0$  существуют единственные решения  $u_\varepsilon(t)$ ,  $v_\varepsilon(t)$ , задач (7.3.1)-(7.3.2), причем справедливы оценки

$$|u_\varepsilon^{(i)}(t, \varepsilon)| \leq C(1 + \varepsilon^{-i} \exp(p_0(t-1)/\varepsilon)), \quad i = 0, 1. \quad (7.3.3)$$

Если  $p(t, \varepsilon)$ ,  $q(t, \varepsilon)$ ,  $f(t)$  – гладкие функции класса  $C^2$ , ограниченные вместе с производными до второго порядка равномерно по  $\varepsilon$ , то эти оценки справедливы и для  $i = 2$ .

Перейдем к описанию проекционно-сеточного метода. Разбиение  $\Delta$  отрезка  $[0, 1]$  выберем по известной методике Бахвалова [25]. Пусть  $\phi_\varepsilon = 1 - (2\varepsilon/p_0)|\ln \varepsilon|$ ,  $\psi_\varepsilon = \phi_\varepsilon + 2(1 - \varepsilon)/p_0$ . Определим функцию  $\chi(y)$  формулой

$$\chi(y) = \begin{cases} y, & y \in [0, \phi_\varepsilon] \\ 1 + \frac{2\varepsilon}{p_0} \ln\{(p_0/2)[y - \phi_\varepsilon + (2/p_0)\varepsilon]\}, & y \in [\phi_\varepsilon, \psi_\varepsilon]. \end{cases} \quad (7.3.4)$$

Очевидно, что  $\chi(y) \in C^1[0, \psi_\varepsilon]$  и взаимно однозначно переводит  $[0, \psi_\varepsilon]$  в  $[0, 1]$ . Искомое разбиение определим в виде  $\Delta = \chi(\Delta_\tau)$ , где  $\Delta_\tau$  – вспомогательное разбиение отрезка

$[0, \psi_\varepsilon]$ . Определим его. Пусть  $\phi_\varepsilon = \tau_n$ . На отрезке  $[\phi_\varepsilon, \psi_\varepsilon]$  положим  $\tau_i = \tau_{i-1} + (\psi_\varepsilon - \phi_\varepsilon)/n$ ,  $i = n+1, n+2, \dots, 2n+1$ , а на отрезке  $[0, \phi_\varepsilon]$  положим  $\tau_i = \tau_{i+1} - \phi_\varepsilon/n$ ,  $i = n-1, n-2, \dots, 1, 0$ . Здесь  $n$  – некоторое натуральное число. Будем предполагать, что

$$\varepsilon |\ln(\varepsilon)| \leq C/n. \quad (7.3.5)$$

Узлы искомого разбиения  $\Delta$  имеют вид

$$t_i = \chi(\tau_i), \quad i = 0, \dots, 2n.$$

Построенное разбиение равномерно с шагом  $h = h_i = t_{i+1} - t_i$  на  $[0, \phi_\varepsilon]$ . Из определения разбиения вытекает, что

$$0 < C_1 \varepsilon |\ln(\varepsilon)| \leq h_n \leq C_2 \varepsilon |\ln \varepsilon|, \quad (7.3.6)$$

$$\frac{2\varepsilon}{p_0} (i - n + 2)^{-1} \leq h_i \leq \frac{2\varepsilon}{p_0} (i - n)^{-1}, \quad i \geq n + 1 \quad (7.3.7)$$

Действительно, для  $i \geq n + 1$  имеем, применяя формулу конечных приращений,

$$\begin{aligned} h_i = t_{i+1} - t_i &= \chi(\tau_{i+1}) - \chi(\tau_i) = \frac{2\varepsilon}{p_0} \left\{ \ln \left( \frac{p_0}{2} \left[ \tau_{j+1} - \phi_\varepsilon + \frac{2\varepsilon}{p_0} \right] \right) - \right. \\ &- \left. \ln \left( \frac{p_0}{2} \left[ \tau_j - \phi_\varepsilon + \frac{2\varepsilon}{p_0} \right] \right) \right\} = \frac{2\varepsilon}{p_0} \left\{ \ln \left( \tau_{j+1} - \phi_\varepsilon + \frac{2\varepsilon}{p_0} \right) - \ln \left( \tau_j - \phi_\varepsilon + \frac{2\varepsilon}{p_0} \right) \right\} = \\ &= \frac{2\varepsilon}{p_0} \left\{ \ln \left( (j - n + 1) \frac{\psi_\varepsilon - \phi_\varepsilon}{n} + \frac{2\varepsilon}{p_0} \right) - \ln \left( (j - n) \frac{\psi_\varepsilon - \phi_\varepsilon}{n} + \frac{2\varepsilon}{p_0} \right) \right\} = \\ &= \frac{2\varepsilon}{p_0} \frac{1}{(j - n + \theta_j) \frac{\psi_\varepsilon - \phi_\varepsilon}{n} + \frac{2\varepsilon}{p_0}} \cdot \frac{\psi_\varepsilon - \phi_\varepsilon}{n} = \frac{2\varepsilon}{p_0} \frac{1}{(j - n + \theta_j) + \frac{2\varepsilon n}{(\psi_\varepsilon - \phi_\varepsilon) p_0}}, \end{aligned}$$

где  $0 < \theta_j < 1$ . Отсюда в силу (7.3.5) при малых  $\varepsilon$  следует (7.3.7). Аналогично получаем (7.3.6).

Приближенные решения  $u_n, v_n$  задач (7.3.1), (7.3.2) будем искать в пространстве пробных функций

$$\begin{aligned} E &= \{u \in C[0, 1] : u(0) = u(1) = 0, u(t) = \\ &= A_i + B_i(t - t_i), t \in [t_i, t_{i+1}], i = 0, 1, \dots, 2n - 1\}. \end{aligned}$$

Введем пространство, которое будем называть пространством тестовых функций. Пусть

$$f_i(t) = \begin{cases} 1, & t \in [t_{i-1}, t_i] \\ 0, & t \in [t_{i-1}, t_i], i = 1, 2, \dots, n, \end{cases} \quad (7.3.8)$$

$$f_{n+1}(t) = \begin{cases} 1, & t \in [t_n, t_{n+1}] \\ (t_{n+2} - t)/(t_{n+2} - t_{n+1}), & t \in [t_{n+1}, t_{n+2}] \\ 0, & t \in [t_n, t_{n+2}], \end{cases} \quad (7.3.9)$$

$$f_{n+1}(t) = \begin{cases} (t - t_{i-1})/(t_i - t_{i-1}), & t \in [t_{i-1}, t_i] \\ (t_{i+1} - t)/(t_{i+1} - t_i), & t \in [t_i, t_{i+1}] \\ 0, & t \in [t_{i-1}, t_{i+1}], i = n + 2, n + 3, \dots, 2n - 1. \end{cases} \quad (7.3.10)$$

Тестовое пространство определим как линейную оболочку функций  $f_i(t)$ .

Рассматриваемый метод для задачи (7.3.1) состоит в отыскании такой функции  $u_n(t) \in E$ , что

$$-\varepsilon u'_n(t_i + 0) + \varepsilon u'_n(t_{i-1} + 0) + (pu'_n + qu_n, f_i) = (f, f_i), i = 1, 2, \dots, n, \quad (7.3.11)$$

$$\varepsilon u'_n(t_n + 0) + (\varepsilon u'_n, f'_{n+1}) + (pu'_n + qu_n, f_{n+1}) = (f, f_{n+1}), \quad (7.3.12)$$

$$(\varepsilon u'_n, f'_i) + (pu'_n + qu_n, f_i) = (f, f_i), i = n + 2, n + 3, \dots, 2n - 1. \quad (7.3.13)$$

Напомним, что  $(\cdot, \cdot)$  означает скалярное произведение в  $L_2[0, 1]$ . Аналогично ставится ПСМ-задача для (7.3.2).

**Замечание 1.** В монографии [63, с. 43-45], показано, что разрешимость задачи метода Галеркина и сходимость приближенных решений определяется свойствами главной части оператора исходной задачи. Для нежестких задач это члены, содержащие старшие производные. В случае сингулярно возмущенной задачи при условии (7.3.5) главной частью оператора задачи на  $[0, \phi_\varepsilon]$  является член  $p(t)u'_\varepsilon$ , а на  $[\phi_\varepsilon, 1]$ , как обычно,  $-\varepsilon u''_\varepsilon$ , поскольку там  $h_i \leq C\varepsilon$ . Поэтому на  $[0, \phi_\varepsilon]$  тестовые функции – это базисные функции образа пространства непрерывных ломаных при действии оператора дифференцирования, а на  $[\phi_\varepsilon, 1]$  тестовые функции выбираются традиционным образом. При этом члены вида  $\varepsilon u_\varepsilon(t_i + 0)$  в (7.3.11) получают при вычислении выражений вида  $\varepsilon(u', f'_i)$ , в котором  $f'_i$  понимается в смысле теории обобщенных функций (как разность  $\delta$ -функций).

В [31] было доказано следующее утверждение.

**Теорема 1** Найдутся такие числа  $\varepsilon_0 > 0$ ,  $n_0$  — натуральное,  $\gamma_0 > 0$ ,  $C_1 > 0$ , что для всех  $\varepsilon \in (0, \varepsilon_0]$ ,  $n \geq n_0$ :  $|\ln(\varepsilon)| \leq \frac{\gamma_0}{n}$  существуют единственные решения  $u_n(t)$  задачи (7.3.11)-(7.3.13) и  $v_n(t)$  соответствующей задачи для (7.3.2), причем

$$\|u_n - u_\varepsilon\|_{C[0,1]} \leq C_1 \inf_{u \in E} \|u - u_\varepsilon\|_{C[0,1]}, \quad (7.3.14)$$

$$\|v_n - v_\varepsilon\|_{C[0,1]} \leq C_1 \inf_{v \in E} \|v - v_\varepsilon\|_{C[0,1]}. \quad (7.3.15)$$

Если  $p(t, \varepsilon)$ ,  $q(t, \varepsilon)$ ,  $f(t)$  — достаточно гладкие функции, ограниченные в  $C[0, 1]$  равномерно по  $\varepsilon$  вместе со своими производными до второго порядка, то

$$\|u_n - u_\varepsilon\|_{C[0,1]} \leq C_1/n^2, \quad \|v_n - v_\varepsilon\|_{C[0,1]} \leq C_1/n^2. \quad (7.3.16)$$

### 7.3.2 Адаптация сетки и основной результат

Рассмотрим теперь алгоритм адаптации расчетной сетки в случае неизвестной границы пограничного слоя.

**Предположение 2.** Для алгоритмов адаптации предположим, что  $p(t, \varepsilon) = p(t)$ ,  $q(t, \varepsilon) = q(t)$  не зависящие от  $\varepsilon$  функции, а решения задач Коши  $p(t)u'_0 + q(t)u_0 = f(t)$ ,  $u_0(0) = 0$  и  $(p(t)v_0)' + q(t)v_0 = f(t)$ ,  $v_0(0) = 0$  отличны от нуля при  $t = 1$ .

В этом случае главный член погранслоевой составляющей асимптотического разложения [43] имеет вид  $-u_0(1)e^{p_0 \frac{t-1}{\varepsilon}}$ .

**Определение 1.** Будем говорить, что  $\phi = \phi(\varepsilon, n)$  есть  $n$ -граница пограничного слоя, если справедлива оценка  $\max_{t \in [0, \phi]} e^{p_0 \frac{t-1}{\varepsilon}} \leq \frac{1}{n^2}$ .

**Определение 2.** Число  $\tilde{\phi} = \tilde{\phi}(\varepsilon, n) = \sup_{\phi} \phi(\varepsilon, n)$  будем называть точной  $n$ -границей пограничного слоя.

Очевидно, что

$$\tilde{\phi} = 1 - \frac{2}{p_0} \varepsilon \ln n. \quad (7.3.17)$$

Будем предполагать, что нам известно расположение пограничного слоя (окрестность точки  $t = 1$ ), но неизвестна его точная  $n$ - граница (или же параметр  $p_0$ ). Приведем алгоритм приближенного отыскания этой  $n$ - границы.

**Замечание 2.** Из (7.3.5), (7.3.17) следует, что

$$t_{n+1} = \chi(\tau_{n+1}) = 1 + \frac{2\varepsilon}{p_0} \ln \left( \frac{1}{n} - \frac{\varepsilon}{n} + \varepsilon \right) = \tilde{\phi} + O(\varepsilon). \quad (7.3.18)$$

Поэтому, если  $\tilde{\phi}$  ищется с точностью  $O(\varepsilon)$ , то можно положить  $\tilde{\phi} \approx t_{n+1}$ .



**Замечание 3.** Для рассматриваемых в данном разделе задач граница пограничного слоя известна и определяется значением  $p(1)$ . Однако в случае нелинейных задач или же жестких линейных систем высоких порядков (см. например, [43]) такая информация недоступна, либо требует отыскания границ спектра несимметричных матриц высоких порядков. Приведенный ниже алгоритм легко обобщается на такие задачи, а целью проделанной работы являлось строгое теоретическое исследование его свойств для модельных несамоспряженных задач.

Шаг 1. Задаем некоторое достаточно большое  $p^0 \geq p_0$ . Полагаем  $k = 0$ .

Шаг 2. Определяем разбиение  $\Delta_{n,p^k}$  как сетку Бахвалова, в построении которой параметр  $p_0$  заменяем на  $p^k$ .

Шаг 3. Находим решение  $u_{n,p^k}(t)$  на сетке  $\Delta_{n,p^k}$ .

Шаг 4. Полагаем  $p^{k+1} = p^k - \tau_k$ , где  $\tau_k$  выбирается так, чтобы  $t_{n+1,k} - t_{n+1,k+1} = \varepsilon \ln \ln n$ .

Шаг 5. Находим решение  $u_{n,p^{k+1}}(t)$  на сетке  $\Delta_{n,p^{k+1}}$ .

Шаг 6. Вычисляем  $\mu_k = \|u_{n,p^{k+1}}(t) - u_{n,p^k}(t)\|_{C[t_{n+1,k+1}, t_{n+1,k}]}$ , где  $t_{n+1,k}$  - узел разбиения  $\Delta_{n,p^k}$ .

Шаг 7. Если  $k = 0$ , то  $k := k + 1$  и переход к шагу 2, иначе к шагу 8.

Шаг 8. Если  $\mu_k > \frac{\ln n}{n^2}$ , то  $k := k + 1$  и переход к шагу 2, иначе  $\tilde{\phi} \approx t_{n+1,k+1}$  и конец алгоритма.

**Теорема 2** Найдутся такие числа  $\varepsilon_0 > 0$ ,  $n_0$  - натуральное,  $\gamma_0 > 0$ ,  $C_1 > 0$ ,  $C_2 > 0$ ,  $C_3 > 0$ , что для любых  $\varepsilon \in (0, \varepsilon_0]$ ,  $n \geq n_0$ :  $\varepsilon |\ln(\varepsilon)| \leq \frac{\gamma_0}{n}$  алгоритм 1-8 закончит свою работу при  $k < C_1 \frac{\ln n}{\ln \ln n}$ , причем будут справедливы оценки

$$|\tilde{\phi} - t_{n+1,k+1}| \leq C_2 \varepsilon \ln \ln n, \quad (7.3.19)$$

$$\|u_{n,p^{k+1}}(t) - u_\varepsilon(t)\|_{C[0,1]} \leq C_3 \frac{\ln n}{n^2}. \quad (7.3.20)$$

**Замечание 4.** Теорема 2 сформулирована для задачи (7.3.1). Аналогичный результат справедлив и для задачи (7.3.2).

### 7.3.3 Метод галеркинских проекций и доказательство основного результата

В [31] теорема 1 была доказана на основе представления решения задачи (7.3.1) (и аналогично задачи (7.3.2)) в виде

$$u_n = P_\varepsilon^n u_\varepsilon, \quad (7.3.21)$$

где  $P_\varepsilon^n$  — оператор, ставящий в соответствие решению задачи (7.3.1) решение задачи (7.3.11)-(7.3.13). Этот оператор называется галеркинским проектором [11].

Пусть  $E_\varepsilon = \{u \in C[0, 1] : u' \in L_\infty[0, t_n], u(0) = u(1) = 0\}$  — пространство с нормой  $\|u\|_\varepsilon = \varepsilon \|u'\|_{L_\infty[0, t_n]} + \|u\|_{C[0, 1]}$ ,  $D_\varepsilon$  — подмножество функций из  $E_\varepsilon$ , имеющих кусочно-непрерывные справа ограниченные на  $[0, 1]$  производные с конечным числом точек разрыва первого рода. Пусть  $NE = \{(\varepsilon, n)\}$  множество пар, удовлетворяющих условиям теоремы 1.

В [31] было показано, что для пар  $(\varepsilon, n) \in NE$ , галеркинский проектор  $P_\varepsilon^n$  существует и является линейным в  $E_\varepsilon$  оператором, с областью определения  $D_\varepsilon$ .

**Определение 3.** *Метод Галеркина (7.3.11)-(7.3.13) будем называть квазиоптимальным на  $NE$ , если найдется такая константа  $C > 0$ , что для любой пары  $(k, \varepsilon) \in NE$  галеркинский проектор существует, и справедливо неравенство*

$$\|P_\varepsilon^n\|_{E_\varepsilon \rightarrow E_\varepsilon} \leq C.$$

В [31] была доказана квазиоптимальность метода Галеркина (7.3.11)-(7.3.13) для задачи (7.3.1) и аналогичного метода для задачи (7.3.2). Из квазиоптимальности и аппроксимационных свойств пространств  $E_\varepsilon^n$  непосредственно следует теорема 1.

**Замечание 5.** *В [31] была доказана равномерная ограниченность галеркинских проекторов для сетки Бахвалова с параметром  $p_0$ . Однако в случае гладких не зависящих от  $\varepsilon$  коэффициентов уравнений (7.3.1), (7.3.2), при значении параметра  $p^k : 0 < C_1 \leq p^k \leq C_2$  доказательство совершенно аналогично, а все константы в оценках можно считать не зависящими от параметра  $p^k$ .*

Далее, опираясь на квазиоптимальность, будет доказана теорема 2.

Вначале изучим аппроксимационные свойства пространства  $E_\varepsilon^n$ . Если вместо  $p_0$  при построении разбиения  $\Delta$  используется другой параметр  $p^k$ , то соответствующее пространство обозначим  $E_\varepsilon^n(p^k)$ . Узлы соответствующего разбиения  $\Delta_{n, p^k}$  обозначим  $t_{i, k}$ .

**Лемма 2** *Пусть  $p^k \geq p_0 > 0$  — параметр, определяющий сетку Бахвалова из алгоритма адаптации, а функция  $u_\varepsilon(t)$  удовлетворяет оценкам (7.3.3) при  $i = 0, 1, 2$ . Тогда найдется такая функция  $\tilde{u} \in E_\varepsilon^n(p^k)$ , что*

$$\|\tilde{u}(t) - u_\varepsilon(t)\|_\varepsilon \leq C_1 \left( n^{-2} + e^{p_0 \frac{t_{n+1, k} - 1}{\varepsilon}} \right). \quad (7.3.22)$$

**Доказательство.** Пусть  $\tilde{u}(t)$  — кусочно-линейная функция, интерполирующая  $u_\varepsilon(t)$  в узлах сетки  $\Delta_{n, p^k}$ . Тогда при  $t \in [t_{i, k}, t_{i+1, k}]$ , применяя формулу Тейлора с

остаточным членом в интегральной форме, имеем

$$\begin{aligned}
u_\varepsilon(t) - \tilde{u}(t) &= u_\varepsilon(t) - u(t_{i,k}) - \frac{u_\varepsilon(t_{i+1,k}) - u_\varepsilon(t_{i,k})}{t_{i+1,k} - t_{i,k}}(t - t_{i,k}) = \\
&= \int_{t_{i,k}}^t (t-s)u_\varepsilon''(s)ds - \frac{t-t_{i,k}}{t_{i+1,k}-t_{i,k}} \cdot \int_{t_{i,k}}^t (t_{i+1,k}-s)u_\varepsilon''(s)ds. \tag{7.3.23}
\end{aligned}$$

Далее для  $i \leq n$  в силу (7.3.3)-(7.3.6) при  $t \in [t_{i,k}, t_{i+1,k}]$  имеем

$$\begin{aligned}
&\left| \int_{t_{i,k}}^t (t-s)u_\varepsilon''(s)ds \right| \leq C \int_{t_{i,k}}^t (t-s) \left( 1 + \frac{1}{\varepsilon^2} e^{p_0 \frac{s-1}{\varepsilon}} \right) ds \leq \\
&\leq C \int_{t_{n-1,k}}^{t_{n+1,k}} (t_{n+1,k}-s) \left( 1 + \frac{1}{\varepsilon^2} e^{p_0 \frac{s-1}{\varepsilon}} \right) ds = \frac{C}{2} (t_{n+1,k} - t_{n-1,k})^2 + \\
&+ \frac{C}{\varepsilon} \int_{t_{n-1,k}}^{t_{n+1,k}} \frac{t_{n+1,k}-s}{\varepsilon} e^{p_0 \frac{s-t_{n+1,k}}{\varepsilon}} ds \cdot e^{p_0 \frac{t_{n+1,k}-1}{\varepsilon}} \leq C_1 \left( n^{-2} + e^{p_0 \frac{t_{n+1,k}-1}{\varepsilon}} \right). \tag{7.3.24}
\end{aligned}$$

Из (7.3.23)-(7.3.24) вытекает оценка

$$\|\tilde{u}(t) - u_\varepsilon(t)\|_{C[t_{i,k}, t_{i+1,k}]} \leq C_1 \left( n^{-2} + e^{p_0 \frac{t_{n+1,k}-1}{\varepsilon}} \right), \quad i \leq n. \tag{7.3.25}$$

Аналогично, с учетом (7.3.5) доказывається оценка

$$\varepsilon \left\| \tilde{u}'(t) - u'_\varepsilon(t) \right\|_{C[t_{i,k}, t_{i+1,k}]} \leq C_1 \left( n^{-2} + e^{p_0 \frac{t_{n+1,k}-1}{\varepsilon}} \right), \quad i \leq n. \tag{7.3.26}$$

Пусть  $i \in [n+1, 2n-1]$ . Тогда из оценок погрешности лагранжевой интерполяции, (7.3.3), (7.3.7) (где  $p_0$  заменяется на  $p^k$ ) и условия  $p^k \geq p_0$  имеем

$$\begin{aligned}
&\|\tilde{u}(t) - u_\varepsilon(t)\|_{C[t_{i,k}, t_{i+1,k}]} \leq Ch_i^2 \left( 1 + \varepsilon^{-2} e^{p_0 \frac{t_{i+1,k}-1}{\varepsilon}} \right) = Ch_i^2 \left( 1 + \varepsilon^{-2} e^{-\frac{p_0}{\varepsilon} \sum_{j=i+2}^{2n-1} h_j} \right) \leq \\
&\leq C_1 \frac{\varepsilon^2}{(i-n)^2} \left( 1 + \varepsilon^{-2} e^{-\frac{p_0}{\varepsilon} \sum_{j=i+2}^{2n-1} \frac{2}{p^k} \frac{\varepsilon}{j-n+2}} \right) \leq C_2 \frac{\varepsilon^2}{(i-n)^2} \left( 1 + \varepsilon^{-2} e^{-2(\ln(n+1) - \ln(i-n+2))} \right) = \\
&= C_2 \frac{\varepsilon^2}{(i-n)^2} \left( 1 + \varepsilon^{-2} \frac{(i-n+2)^2}{(n+1)^2} \right) \leq C_3(\varepsilon^2 + n^{-2}) \leq C_4 n^{-2}, \quad i \geq n+1. \tag{7.3.27}
\end{aligned}$$

Аналогично учетом условия (7.3.5) доказывається оценка

$$\varepsilon \|\tilde{u}'(t) - u'_\varepsilon(t)\|_{C[t_{i,k}, t_{i+1,k}]} \leq C_1 \left( n^{-2} + e^{p_0 \frac{t_{n+1,k}-1}{\varepsilon}} \right), \quad i \geq n+1. \tag{7.3.28}$$

Из (7.3.25)-(7.3.28) вытекает (7.3.22). Лемма доказана.

**Докажем теорему 2.** Алгоритм адаптации, суть которого состоит в процессе подбора параметра  $p^k$  продолжает свою работу до тех пор, пока имеет место оценка

$$\mu_k > \frac{\ln n}{n^2}. \quad (7.3.29)$$

(см. шаг 8 алгоритма). Доказательство проведем в два этапа. На первом этапе будет показано, что оценки (7.3.29) достаточно для достижения точной границы пограничного слоя  $\tilde{\phi}$ . На втором этапе рассматривается вопрос о том, не произойдет ли в процессе реализации алгоритма переход точной границы пограничного слоя при уменьшении параметра  $p^k$ .

I Этап. Зафиксируем  $k \geq 1$ .

**Лемма 3** Пусть  $p^{k+1} \geq p_0 > 0$ . Тогда найдутся такие константы  $C_3 > 0$ ,  $C > 0$ ,  $n_0 \in \mathbb{N}$ , что при  $\varepsilon n \leq C$ ,  $n \geq n_0$  будет справедливо неравенство

$$\|u_{n,p^k} - u_\varepsilon(t)\|_{C[t_{n+1,k+1}, t_{n+1,k}]} \geq C_3 e^{p_0 \frac{t_{n+1,k}-1}{\varepsilon}} \quad (7.3.30)$$

**Доказательство.** Поскольку  $t_{n+1,k} - t_{n+1,k+1} = \varepsilon \ln \ln n$ , то достаточно доказать оценку

$$\|u_{n,p^k} - u_\varepsilon(t)\|_{C[t_{n+1,k}-C_1\varepsilon, t_{n+1,k}]} \geq C_3 e^{p_0 \frac{t_{n+1,k}-1}{\varepsilon}}, \quad (7.3.31)$$

где константа  $C_1 > 0$  такова, что  $[t_{n+1,k} - C_1\varepsilon, t_{n+1,k}] \subset [t_{n,k}, t_{n+1,k}]$  и не зависит от  $\varepsilon$ ,  $n$ . Такая  $C_1$  найдется в силу условия (7.3.6). Докажем (7.3.31). Обозначим  $\tau = \frac{t-1}{\varepsilon}$ .

Асимптотическое разложение [43] решения  $u_\varepsilon(t)$  имеет вид

$$u_\varepsilon(t) = u_0(t) + \varepsilon u_1(t) + \Pi u_0\left(\frac{t-1}{\varepsilon}\right) + \varepsilon \Pi u_1\left(\frac{t-1}{\varepsilon}\right) + O(\varepsilon^2) = u_{\varepsilon,1}(t) + \Pi u_{\varepsilon,1}(t) + R(t, \varepsilon),$$

где  $u_i(t) \in C_2[0, 1]$ ,  $\Pi u_i(\tau) \in C_2(-\infty, 0]$  не зависят от  $\varepsilon$ ,  $\Pi u_0(\tau) = -u_0(1)e^{p_0\tau}$ ,  $\Pi u_1(\tau) = Q(\tau)e^{p_0\tau}$ , где  $Q(\tau)$  — полином,  $\|R(t, \varepsilon)\|_{C[0,1]} \leq C\varepsilon^2$ . Пусть  $u_I(t)$ ,  $u_{I,1}(t)$ ,  $\Pi u_I(t)$ ,  $R_I(t)$  — линейные интерполянты функций  $u_\varepsilon(t)$ ,  $u_{\varepsilon,1}(t)$ ,  $\Pi u_{\varepsilon,1}(t)$ ,  $R(t, \varepsilon)$  на отрезке  $[t_{n+1,k} - C_1\varepsilon, t_{n+1,k}]$ . В силу гладкости интерполируемых функций и оценок погрешности линейной интерполяции будем иметь

$$\|u_{I,1}(t) - u_{\varepsilon,1}\|_{C[t_{n+1,k}-C_1\varepsilon, t_{n+1,k}]} \leq C\varepsilon^2, \quad \|R(t, \varepsilon) - R_I(t, \varepsilon)\|_{C[t_{n+1,k}-C_1\varepsilon, t_{n+1,k}]} \leq C\varepsilon^2.$$

Поэтому

$$\|u_{n,p^k} - u_\varepsilon(t)\|_{C[t_{n+1,k}-C_1\varepsilon, t_{n+1,k}]} \geq \inf_{a,b \in \mathbb{R}} \|at + b - u_\varepsilon\|_{C[t_{n+1,k}-C_1\varepsilon, t_{n+1,k}]} =$$

$$\begin{aligned}
&= \inf_{a,b \in R} \|at + b - (u_I - u_\varepsilon)\|_{C[t_{n+1,k} - C_1\varepsilon, t_{n+1,k}]} = \\
&\inf_{a,b \in R} \left\| at + b - (u_{I,1} - u_{\varepsilon,1}) - (\Pi u_I - \Pi u_{\varepsilon,1}) - (R(t, \varepsilon) - R_I(t, \varepsilon)) \right\|_{C[t_{n+1,k} - C_1\varepsilon, t_{n+1,k}]} \geq \\
&\geq \inf_{a,b \in R} (\|at + b - (\Pi u_I - \Pi u_{\varepsilon,1})\|_{C[t_{n+1,k} - C_1\varepsilon, t_{n+1,k}]} - C\varepsilon^2) = \\
&= \inf_{a,b \in R} (\|at + b - (\Pi u_I - \Pi u_{\varepsilon,1})\|_{C[t_{n+1,k} - C_1\varepsilon, t_{n+1,k}]} - C\varepsilon^2) = \\
&= \inf_{a,b \in R} (\|at + b - \Pi u_{\varepsilon,1}\|_{C[t_{n+1,k} - C_1\varepsilon, t_{n+1,k}]} - C\varepsilon^2). \tag{7.3.32}
\end{aligned}$$

Но при достаточно малых  $\varepsilon > 0$ , имеем

$$\begin{aligned}
&\inf_{a,b \in R} (\|at + b - \Pi u_{\varepsilon,1}\|_{C[t_{n+1,k} - C_1\varepsilon, t_{n+1,k}]} - C\varepsilon^2) = \\
&= \inf_{a,b \in R} (\|a\tau + b - (-u_0(1) + \varepsilon Q(\tau))e^{p_0\tau}\|_{C[\frac{t_{n+1,k}-1}{\varepsilon} - C_1, \frac{t_{n+1,k}-1}{\varepsilon}]} - C\varepsilon^2) \geq \\
&\geq C_3 \inf_{a,b \in R} (\|a\tau + b - (-u_0(1))e^{p_0\tau}\|_{C[\frac{t_{n+1,k}-1}{\varepsilon} - C_1, \frac{t_{n+1,k}-1}{\varepsilon}]} - C\varepsilon^2). \tag{7.3.33}
\end{aligned}$$

Для завершения доказательства установим вспомогательное

**Предложение 1.** Пусть  $M > 0$ ,  $p_0 > 0$ ,  $\alpha, \beta$  — константы,  $\beta - \alpha \geq M$ .

Тогда найдется такая константа  $m > 0$ , зависящая только от  $M, p_0$ , что справедливо неравенство

$$\inf_{a,b \in R} (\|a\tau + b - e^{p_0\tau}\|_{C[\alpha, \beta]}) \geq m e^{p_0\beta}.$$

Действительно,

$$\begin{aligned}
&\inf_{a,b \in R} (\|a\tau + b - e^{p_0\tau}\|_{C[\alpha, \beta]}) = e^{p_0\beta} \inf_{a,b \in R} (\|a\tau + b - e^{p_0(\tau-\beta)}\|_{C[\alpha, \beta]}) = \\
&= e^{p_0\beta} \inf_{a,b \in R} (\|at + b - e^{p_0t}\|_{C[\alpha-\beta, 0]}) \geq e^{p_0\beta} \inf_{a,b \in R} (\|at + b - e^{p_0t}\|_{C[-M, 0]})
\end{aligned}$$

Но  $m = \inf_{a,b \in R} (\|at + b - e^{p_0t}\|_{C[-M, 0]}) > 0$ , т.к. иначе было бы  $e^{p_0t} \equiv at + b$ , причем  $m$  зависит только от  $M, p_0$ . Предложение доказано.

Из предложения 1 и (7.3.33), учитывая также, что  $u_0(1) \neq 0$ , имеем

$$\begin{aligned}
&\inf_{a,b \in R} (\|at + b - \Pi u_{\varepsilon,1}\|_{C[t_{n+1,k} - C_1\varepsilon, t_{n+1,k}]} - C\varepsilon^2) \geq C_5 m \|u_0(1)\| e^{p_0\tau} \|_{C[\frac{t_{n+1,k}-1}{\varepsilon} - C_1, \frac{t_{n+1,k}-1}{\varepsilon}]} \\
&\geq C_6 e^{p_0 \frac{t_{n+1,k}-1}{\varepsilon}} \tag{7.3.34}
\end{aligned}$$

Наконец, в силу условия  $p_{k+1} \geq p_0 > 0$  будет  $t_{n+1,k} = t_{n+1,k+1} + \ln \ln n \geq t_{n+1} + \ln \ln n$ , откуда с учетом замечания 2 и (7.3.17)

$$e^{p_0 \frac{t_{n+1,k}-1}{\varepsilon}} \geq e^{p_0 \frac{t_{n+1,k}-1}{\varepsilon}} e^{p_0 \ln \ln n} = e^{p_0 \frac{\tilde{\phi} + O(\varepsilon) - 1}{\varepsilon}} (\ln n)^{p_0} = e^{O(1)} e^{p_0 \frac{\tilde{\phi}-1}{\varepsilon}} (\ln n)^{p_0} =$$

$$= e^{O(1)} e^{-2 \ln n} (\ln n)^{p_0} \geq C_7 n^{-2} (\ln n)^{p_0}. \quad (7.3.35)$$

Из (7.3.32)-(7.3.35) вытекает (7.3.30). Лемма доказана.

Пусть  $p^{k+1} \geq p_0 > 0$ ,  $\tilde{u}$  — функция из леммы 2. Тогда в силу квазиоптимальности, замечания 5 и леммы 2 имеем

$$\begin{aligned} \|u_{n,p^k} - u_\varepsilon\|_{C[0,1]} &\leq \|u_{n,p^k} - u_\varepsilon\|_\varepsilon = \|P_\varepsilon^n u_\varepsilon - u_\varepsilon\|_\varepsilon \leq \|P_\varepsilon^n u_\varepsilon - \tilde{u}\|_\varepsilon + \|\tilde{u} - u_\varepsilon\|_\varepsilon = \\ &\|P_\varepsilon^n (u_\varepsilon - \tilde{u})\|_\varepsilon + \|\tilde{u} - u_\varepsilon\|_\varepsilon \leq \| (P_\varepsilon^n \|_{E_\varepsilon^n \rightarrow E_\varepsilon^n} + 1) \| \tilde{u} - u_\varepsilon \|_\varepsilon \leq \\ &\leq (C + 1) \|\tilde{u} - u_\varepsilon\|_\varepsilon \leq C_8 \left( n^{-2} + e^{p_0 \frac{t_{n+1,k}-1}{\varepsilon}} \right). \end{aligned} \quad (7.3.36)$$

Тогда в силу (7.3.30), (7.3.36), поскольку при  $p_{k+1} \geq p_0$  в силу (7.3.35) будет  $e^{p_0 \frac{t_{n+1,k}-1}{\varepsilon}} \geq C n^{-2}$ , получаем

$$C_9 e^{p_0 \frac{t_{n+1,k}-1}{\varepsilon}} \leq \|u_{n,p^k} - u_\varepsilon\|_{C[t_{n+1,k+1}, t_{n+1,k}]} \leq C_{10} e^{p_0 \frac{t_{n+1,k}-1}{\varepsilon}} \quad (7.3.37)$$

Аналогично (7.3.36) имеем

$$\|u_{n,p^{k+1}} - u_\varepsilon\|_{C[0,1]} \leq C_{11} \left( n^{-2} + e^{p_0 \frac{t_{n+1,k+1}-1}{\varepsilon}} \right). \quad (7.3.38)$$

Оценим величину  $\mu_k$ , вычисляемую на шаге 6 алгоритма адаптации. С учетом (7.3.37), (7.3.38) будет

$$\begin{aligned} \mu_k &= \|u_{n,p^{k+1}} - u_{n,p^k}\|_{C[t_{n+1,k+1}, t_{n+1,k}]} \geq \|u_{n,p^k} - u_\varepsilon\|_{C[t_{n+1,k+1}, t_{n+1,k}]} - \\ &- \|u_{n,p^{k+1}} - u_\varepsilon\|_{C[t_{n+1,k+1}, t_{n+1,k}]} \geq C_9 e^{p_0 \frac{t_{n+1,k}-1}{\varepsilon}} - C_{11} \left( n^{-2} + e^{p_0 \frac{t_{n+1,k+1}-1}{\varepsilon}} \right). \end{aligned} \quad (7.3.39)$$

Но так как  $t_{n+1,k} = t_{n+1,k+1} + \ln \ln n$ , то с учетом (7.3.35) из (7.3.39) при достаточно большом  $n$  получим

$$\mu_k \geq C_{12} e^{p_0 \frac{t_{n+1,k}-1}{\varepsilon}}. \quad (7.3.40)$$

Наконец, из (7.3.35), (7.3.37), (7.3.38) вытекает, что  $\mu_k \leq C_{13} e^{p_0 \frac{t_{n+1,k}-1}{\varepsilon}}$ . Поэтому, с учетом (7.3.40), при  $p^{k+1} \geq p_0 > 0$  будет

$$C_{11} e^{p_0 \frac{t_{n+1,k}-1}{\varepsilon}} \leq \mu_k \leq C_{12} e^{p_0 \frac{t_{n+1,k}-1}{\varepsilon}}. \quad (7.3.41)$$

Остановка алгоритма произойдет, если будет  $\mu_k \leq \frac{\ln n}{n^2}$ , что в силу (7.3.41) означает, что

$$e^{p_0 \frac{t_{n+1,k}-1}{\varepsilon}} \leq C_{13} \frac{\ln n}{n^2}, \quad (7.3.42)$$

откуда с учетом замечания  $2 t_{n+1,k} \leq 1 - \frac{2}{p_0} \varepsilon \ln n + \frac{\varepsilon}{p_0} (\ln C_{14} + \ln \ln n) = \tilde{\phi} + \frac{2}{p_0} \varepsilon (\ln C_{14} + \ln \ln n) + O(\varepsilon)$ . Таким образом, алгоритм не завершит свою работу, пока не будет выполнена оценка

$$t_{n+1,k} \leq \tilde{\phi} + \frac{2}{p_0} \varepsilon \ln \ln n + O(\varepsilon). \quad (7.3.43)$$

II Этап. Поскольку граница погранслоя  $t_{n+1,k}$  сдвигается с шагом  $\varepsilon \ln \ln n$ , а точная граница имеет вид  $\tilde{\phi} = 1 - \frac{2}{p_0} \varepsilon \ln n$ , то она будет достигнута не более, чем за  $O(\frac{\ln n}{\ln \ln n})$  шагов с точностью (7.3.43). Докажем, что после достижения границы алгоритм остановит свою работу. Действительно, пусть  $t_{n+1,k} \leq \tilde{\phi}$ . При этом  $t_{n+1,k} = \tilde{\phi} + O(\varepsilon \ln \ln n)$ . Тогда в силу леммы 2, того, что  $e^{p_0 \frac{\tilde{\phi}-1}{\varepsilon}} = n^{-2}$ , и квазиоптимальности будет иметь место оценка

$$|\mu_k| \leq \|u_{n,p^k} - u_\varepsilon\|_{C[0,1]} \leq \|u_{n,p^k} - u_\varepsilon\|_\varepsilon \leq Cn^{-2}.$$

Но критерий выхода имеет вид  $\mu_k \leq \frac{\ln n}{n^2}$ , и при достаточно больших  $n$  он будет выполнен.

Докажем оценку (7.3.20). В силу (7.3.38), (7.3.42) и условия  $t_{n+1,k+1} = t_{n+1,k} - \varepsilon \ln \ln n$  имеем

$$\|u_{n,p^{k+1}} - u_\varepsilon\|_{C[0,1]} \leq C_{11}(n^{-2} + e^{p_0 \frac{t_{n+1,k+1}-1}{\varepsilon}}) \leq C \frac{\ln n}{n^2}.$$

Теорема 2 доказана.

### 7.3.4 Численный эксперимент

Рассмотрим две линейные задачи

$$-\varepsilon u'' + u' + u = 1, \quad u(0) = u(1) = 0 \quad (7.3.44)$$

$$-\varepsilon v'' + (p(t, \varepsilon)v)' = p(t, \varepsilon), \quad v(0) = v(1) = 0 \quad (7.3.45)$$

где  $p(t, \varepsilon) = 1 + e^{\frac{t-1}{\varepsilon}} \cdot (0,5 + e^{\frac{t-1}{\varepsilon}})^{-1}$ .

Начальное значение параметра сетки  $p^0$ , при котором начинался процесс адаптации, для обеих задач приняли равными 10, а шаг его изменения выбран таким, что разность  $t_{n+1,k} - t_{n+1,k+1} = \varepsilon \ln \ln n$ , т.е.

$$p^{k+1} = \frac{2p^k \ln(\frac{1}{n} - \frac{\varepsilon}{n} + \varepsilon)}{2 \ln(\frac{1}{n} - \frac{\varepsilon}{n} + \varepsilon) - p^k \ln \ln n}.$$

Результаты расчетов представлены в таблицах 1 и 2. В таблице 1 приведены данные для задачи (7.3.44), а в таблице 2 — для (7.3.45). Здесь  $p^k$  — значение, при котором прекращается выполнение алгоритма на  $k$ -й итерации,  $\Delta t = |\tilde{\phi} - t_{n+1,k+1}|$  — погрешность приближенного значения точной границы пограничного слоя.

Данные вычислительных экспериментов согласуются с теоретическими результатами. Из таблиц видно, что двигаясь с шагом  $\varepsilon \ln \ln n$ , точка  $t_{n+1,k}$  достигает точной границы погранслоя  $\tilde{\phi}$  с погрешностью, удовлетворяющей оценке (7.3.19), после чего алгоритм заканчивает работу.



Таблица 7.1: Результаты расчетов для задачи (7.3.44)

	$\varepsilon = 10^{-3}$	$\varepsilon = 10^{-4}$
n=16	$k = 4$ $p^k = 1.19105987705427$ $\Delta t = 0.00088951104911$	$k = 4$ $p^k = 1.19615120602892$ $\Delta t = 00009093275481$
n=32	$k = 5$ $p^k = 0.99547168728069$ $\Delta t = 0.00003153065260$	$k = 5$ $p^k = 1.00262456857185$ $\Delta t = 0.00000181445016$
n=64	$k = 5$ $p^k = 1.03143622185818$ $\Delta t = 0.00025350975372$	$k = 5$ $p^k = 1.04379328663531$ $\Delta t = 0.00003489793646$
n=128	$k = 5$ $p^k = 1.07027343140011$ $\Delta t = 0.00063716206700$	$k = 5$ $p^k = 1.09181775283100$ $\Delta t = 0.00008160748703$
n=256	$k = 5$ $p^k = 1.10467448487700$ $\Delta t = 0.00105087715974$	$k = 6$ $p^k = 0.96998860181910$ $\Delta t = 0.00003431350182$
n=512	$k = 6$ $p^k = 0.95898765009500$ $\Delta t = 0.00053358007753$	$k = 6$ $p^k = 1.01268268491564$ $\Delta t = 0.00001562556698$

Таблица 7.2: Результаты расчетов для задачи (7.3.45)

	$\varepsilon = 10^{-3}$	$\varepsilon = 10^{-4}$
n=16	$k = 4$ $p^k = 1.19105987705427$ $\Delta t = 0.00088951104911$	$k = 4$ $p^k = 1.19615120602892$ $\Delta t = 00009093275481$
n=32	$k = 4$ $p^k = 1.21412395846338$ $\Delta t = 0.00122244040293$	$k = 4$ $p^k = 1.22263462293137$ $\Delta t = 0.00012621805263$
n=64	$k = 5$ $p^k = 1.03143622185818$ $\Delta t = 0.00025350975372$	$k = 5$ $p^k = 1.04379328663531$ $\Delta t = 0.00003489793646$
n=128	$k = 5$ $p^k = 1.07027343140011$ $\Delta t = 0.00063716206700$	$k = 5$ $p^k = 1.09181775283100$ $\Delta t = 0.00008160748703$
n=256	$k = 5$ $p^k = 1.10467448487700$ $\Delta t = 0.00105087715974$	$k = 6$ $p^k = 0.96998860181910$ $\Delta t = 0.00003431350182$
n=512	$k = 6$ $p^k = 0.95898765009500$ $\Delta t = 0.00053358007753$	$k = 6$ $p^k = 1.01268268491564$ $\Delta t = 0.00001562556698$

# Литература

- [1] *Abramsson L.R., Keller H.B., Kreiss H.O.* Difference approximation for singular perturbations of systems of ordinary differential equations // Numer. Math., 1974, 22, P. 367-391.
- [2] *Ahlberg J.H., Nilson E.N., Walsh J.L.* The theory of splines and their applications. New York: Academic Press, 1967.
- [3] *Blatov I.A., Strygin V.V.* On best possible order of convergence estimates in the collocation method and Galerkin's method for singularly perturbed boundary value problems for systems of first order ordinary differential equations // Math. Comput. – 68 (1999). – P. 683-715.
- [4] *Blatov I.A., Zadorin A.I., Kitaeva E.V.* An application of the exponential spline for the approximation of a function and its derivatives in the presence of a boundary layer // Journal of Physics: Conference Series.– 2018.– V. 1050.– 012012.
- [5] *Demko S.* Inverses of band matrices and local convergence of spline projections // SIAM J. Numer. Anal. – 1977. – V. 14, № 4, P. 616-619.
- [6] *Flaherty J.E., Mathon W.* Collocation methods for singularly perturbed boundary value problems.— Boundary and Inter. Lauers Comput. and Asympt. Meth. Proc. BAIL. I. Conf. Dublin, 1980. P.77-92.
- [7] *Kellog R.B., Tsan A.* Analysis of some difference approximations for a singular perturbation problem without turning points // Mathematics of computation. — 1978. — V. 32, № 144. — P. 1025–1039.
- [8] *Lins T.* The Necessity of Shishkin Decompositions // Applied Mathematics Letters. – 2001. – V. 14, P. 891-896.

- [9] *Liseikin V.D.* Grid generation methods. Springer, Berlin, 1999.
- [10] *Miller J.J.H., O’Riordan E., and Shishkin G.I.* Fitted Numerical Methods for Singular Perturbation Problems: Error Estimates in the Maximum Norm for Linear Problems in One and Two Dimensions (Revised Edition). Singapore: World Scientific, 2012.
- [11] *Natterer F.* Uniform convergence of Galerkin method for splines on highly nonuniform meshes // *Math. Comput.* – 1977. – V.31. – P. 457-468.
- [12] *Schoneberg I.J.* Contribution to the problem of approximation of equidistant data by analytic function // *Quart. Appl. Math.*, 1946, 4, P. 45-46, 112-141.
- [13] *Scymczak W., Babuska I.* Adaptivity and error estimation for the finite element method applied to convection-diffusion problems // *SIAM J. Numer. Anal.* 1984, V. 21, No. 5, P. 910-954.
- [14] *Stynes M., Roos H.-G.* The midpoint scheme // *Appl. Numer. Math.* 1997, 23, P. 361-374.
- [15] *Stynes M., Riordan E.*  $L^1$  and  $L^\infty$  uniform convergence of a difference scheme for a semilinear singular perturbation problem // *Numer. Math.* 1987, V. 80, No. 5, P. 519-531.
- [16] *Surla K., Herceg D.* Exponential spline difference scheme for singular perturbation problem // *Spline Numer. Anal. Conf. Int. Semin. ISAM-89, Weisig, April 24-28 1989* – Berlin, 1989, P. 171-180.
- [17] *Volkov Yu.S.* Interpolation by splines of even degree according to Subbotin and Marsden // *Ukrainian Mathematical Journal.* – 2014.– V. 66, № 7, P. 994-1012.
- [18] *Zadorin A.I., Guryanova M.V.* Analogue of a Cubic Spline for a Function with a Boundary Layer Component // *Proceedings of the Fifth Conference on Finite Difference Methods: Theory and Applications, 2010.* Rousse: Rousse University, 2011. P. 166-173.
- [19] *Zadorin A.I.* Spline interpolation of functions with a boundary layer component // *International Journal of Numerical Analysis and Modeling, series B.* – 2011. – V. 2, № 2-3, P. 262-279.

- [20] *Zadorin A. I., Zadorin N. A.* Interpolation formula for functions with a boundary layer component and its application to derivatives calculation // Siberian Electronic Mathematical Reports.– 2012.– V. 9.– P. 445–455.
- [21] *Zadorin Alexander, Tikhovskaya Svetlana* Formulas of numerical differentiation on a uniform mesh for functions with the exponential boundary layer // International Journal of Numerical Analysis and Modeling, 2019, v. 16, № 4, p. 590-608.
- [22] *Zadorin A.I.* Interpolation Formulas for Functions with Large Gradients in the Boundary Layer and their Application // Modeling and Analysis of Information Systems, 2016, v. 23, № 3, p. 377-384.
- [23] *Андреев В.Б., Контева Н.В.* О равномерной по малому параметру сходимости монотонных трехточечных разностных схем // Дифф. уравн., 1998, 34, №7, С. 921-928.
- [24] *Боглаев И.П.* Вариационно-разностная схема для краевой задачи с малым параметром при старшей производной // Журн. вычисл. матем. и матем. физики. – 1981. – Т. 21, N 4, С. 887-896.
- [25] *Бахвалов Н.С.* К оптимизации методов решения краевых задач при наличии пограничного слоя // Журн. вычисл. матем. и мат.физики. – 1969. – Т. 9, № 4, С. 841-890.
- [26] *Бахвалов Н.С.* Численные методы. Москва: Наука, 1975.
- [27] *Блатов И.А., Китаева Е.В.* Сходимость метода адаптации сеток Н.С. Бахвалова для сингулярно возмущенных краевых задач // Сиб. журн. вычисл. математики. – 2016. – Т. 19, № 1, С. 43–55.
- [28] *Блатов И.А.* О методах неполной факторизации для систем с разреженными матрицами // Журн. вычисл. матем. и мат. физики. – 1993. – Т. 33, № 7, С. 819-836.
- [29] *Блатов И.А.* О методе конечных элементов Галеркина для сингулярно возмущенных параболических начально-краевых задач // Дифференциальные уравнения. – 1996. – Т. 32, N 5, С. 661-669.

- [30] *Блатов И.А., Стрыгин В.В.* Элементы теории сплайнов и метод конечных элементов для задач с пограничным слоем. Воронеж: ВГУ, 1997.
- [31] *Блатов И.А.* О проекционном методе для сингулярно возмущенных краевых задач // Журн. вычисл. матем. и матем. физики. – 1990. – Т. 30, №7, С. 1031-1045.
- [32] *Блатов И.А., Стрыгин В.В.* Сходимость метода Галёркина для нелинейной двухточечной сингулярно возмущенной краевой задачи в пространстве  $C[a, b]$  // Журн. вычисл. матем. и мат. физики. – 1985. – Т. 25, № 7, С. 1001-1008.
- [33] *Блатов И.А., Задорин А.И., Китаева Е.В.* Об интерполяции кубическими сплайнами функций с большими градиентами в пограничном слое // Ж. вычисл. матем. и матем. физ. – 2017. – Т. 57, № 1, С. 7-26.
- [34] *Блатов И.А., Задорин А.И., Китаева Е.В.* Об интерполяции параболическим сплайном функций с большими градиентами в пограничном слое // Сиб. матем. журнал. – 2017. – Т. 58, № 4, С. 745-760.
- [35] *Блатов И.А., Задорин А.И., Китаева Е.В.* О равномерной сходимости параболической сплайн-интерполяции на классе функций с большими градиентами в пограничном слое // Сиб. журнал вычисл. математики, – 2017.– Т. 20, № 2ю. С. 131–144.
- [36] *Блатов И.А., Задорин А.И., Китаева Е.В.* О равномерной по параметру сходимости экспоненциальной сплайн-интерполяции при наличии пограничного слоя // Ж. вычисл. матем. и матем. физ.– 2018.– Т. 58, № 3. С. 365–382.
- [37] *Блатов И.А., Задорин А.И., Китаева Е.В.* Аппроксимация функции и ее производных на основе кубической сплайн-интерполяции при наличии пограничного слоя // Ж. вычисл. матем. и матем. физ.– 2019.– Т. 59, № 3.– С. 367-379.
- [38] *Блатов И.А.* Об оценках элементов обратных матриц и о модификации метода матричной прогонки // Сибирский математический журнал. – 1992. – Т. 33, № 2, С. 10-21.
- [39] *Блатов И.А., Добробог Н.В., Китаева Е.В.* Условная  $\varepsilon$ -равномерная ограниченность галеркинских проекторов и сходимость метода адаптации сеток для

- сингулярно возмущенных краевых задач // Ж. вычисл. матем. и матем. физ. – 2016. – Т. 56, N 7, С. 1323-1334.
- [40] *Блатов И.А., Добробог Н.В.* Условная  $\varepsilon$ -равномерная сходимость алгоритмов адаптации в методе конечных элементов для сингулярно возмущенных задач // Журн.вычисл. матем. и матем. физики. – 2010. – Т. 50, N 9, С. 1550-1568.
- [41] *Бор К.Де.* Практическое руководство по сплайнам. Москва: Радио и связь, 1985.
- [42] *Вайникко Г.М.* Компактная аппроксимация и приближенное решение уравнений. Тарту.: Изд-во Тартусского университета, 1970.
- [43] *Васильева А.Б., Бутузов В.Ф.* Асимптотические разложения решений сингулярно возмущенных уравнений. М.: Наука, 1973.
- [44] *Вишик М.И., Люстерник Л.А.* Регулярное вырождение и пограничный слой для линейных дифференциальных уравнений с малым параметром // Успехи математический журнал. – 1957. – Т. 12, № 5, С. 3-122.
- [45] *Воеводин В.В., Кузнецов Ю.А.* Матрицы и вычисления. Москва: Наука, 1984.
- [46] *Волков Ю.С.* О нахождении полного интерполяционного сплайна через В-сплайны // Сибирские электронные математические известия. – 2008. – Т. 5, С. 334-338.
- [47] *Волков Ю.С.* Интерполяция сплайнами четной степени по Субботину и по Марсдену // Украинский математический журнал. – 2014. – Т. 66, № 7, С. 891-908.
- [48] *Гильманов А.Н.* Методы адаптивных сеток в задачах газовой динамики. М.: Наука. ФИЗМАТЛИТ, 2000.
- [49] *Дулан Э., Миллер Дж., Шилдерс У.* Равномерные численные методы для задач с пограничным слоем. М.: Мир, 1983.
- [50] *Завьялов Ю.С., Квасов Б.И., Мирошниченко В.Л.* Методы сплайн-функций. Москва: Наука, 1980.
- [51] *Задорин А.И.* Метод интерполяции для задачи с пограничным слоем // Сиб. журн. вычисл. математики. – 2007. – Т. 10, № 3, С. 267-275.

- [52] *Задорин А.И.* Интерполяция Лагранжа и формулы Ньютона-Котеса для функций с погранслойной составляющей на кусочно-равномерных сетках // Сиб. журн. вычисл. математики. – 2015. – Т. 18, № 3, С. 289-303.
- [53] *Задорин А.И.* Анализ формул численного дифференцирования на сетке Шишкина при наличии пограничного слоя // Сиб. журн. вычисл. математики. – 2018. – Т. 21, № 3, С. 243-254.
- [54] *Задорин А.И., Задорин Н.А.* Квадратурные формулы для функций с погранслойной составляющей // Ж. вычисл. матем. и матем. физ. – 2011. – Т. 51, № 11, С. 1952-1962.
- [55] *Задорин А.И., Задорин Н.А.* Аналог формул Ньютона-Котеса для численного интегрирования функций с погранслойной составляющей // Ж. вычисл. матем. и матем. физ. – 2016. – Т. 56, № 3, С. 368-376.
- [56] *Зматраков Н.Л.* Сходимость интерполяционного процесса для параболических и кубических сплайнов // Труды МИАН. – 1975. – Т. 138, С. 71-93.
- [57] *Зматраков Н.Л.* Необходимое условие сходимости интерполяционных параболических и кубических сплайнов // Матем. заметки. – 1976. – Т. 19, № 2, С. 165-178.
- [58] *Ильин А.М.* Разностная схема для дифференциального уравнения с малым параметром при старшей производной // Матем. заметки. – 1969. – Т. 6, № 2, С. 237-248.
- [59] *Калиткин Н.Н.* Численные методы. М.: Наука, 1977. 512 с.
- [60] *Лебедев В.И.* Функциональный анализ и вычислительная математика. М.: Физматлит, 2000. 295 с.
- [61] *Лисейкин В.Д.* Обзор методов построения структурных адаптивных сеток // ЖВМ и МФ. – 1994. – Т. 36, N 1, С. 3-41.
- [62] *Марчук Г.И.* Методы вычислительной математики. М.: Наука, 1989.
- [63] *Марчук Г.И., Агошков В.И.* Введение в проекционно-сеточные методы. М.: Наука, 1981.



- [64] *Миллер Дж., Риордан Е.* Метод конечных элементов для двухточечных краевых задач с сингулярными возмущениями // Числ. методы механ. сплошной среды. Новосибирск: ИТПМ АН СССР. – 1983. – Т. 14, N 2, С. 142-154.
- [65] *Самарский А.А., Николаев В.С.* Методы решения сеточных уравнений. Москва: Наука, 1978.
- [66] *Стечкин С.Б., Субботин Ю.Н.* Сплайны в вычислительной математике. Москва: Наука, 1976.
- [67] *Стрелкова Е.В., Шевалдин В.Т.* О равномерных константах Лебега локальных экспоненциальных сплайнов с равноотстоящими узлами // Труды Института математики и механики УрО РАН. – 2015. – Т.21, № 4, С. 261–272.
- [68] *Фихтенгольц Г.М.* Курс дифференциального и интегрального исчисления. Том II. М.: Наука, 1970.
- [69] *Флетчер К.* Численные методы на основе метода Галеркина. М.: Мир, 1988.
- [70] *Шшишкин Г.И.* Сеточные аппроксимации сингулярно возмущенных эллиптических и параболических уравнений. Екатеринбург: УрО РАН, 1992.
- [71] *Шшишкин Г.И.* Сеточная аппроксимация параболического уравнения конвекции-диффузии на априорно адаптирующихся сетках;  $\varepsilon$ -равномерно сходящиеся схемы // Ж. вычисл. матем. и матем. физ. – 2008 – Т.48, N 6, С. 1014-1033.
- [72] *Шшишкин Г.И.* Сеточная аппроксимация сингулярно возмущенных краевых задач на локально переизмельчаемых сетках. Уравнение конвекции-диффузии// Ж. вычисл. матем. и матем. физ. – 2000 – Т.40, N 5, С. 680-691.
- [73] *Шшишкин Г.И.* Апостериорно адаптируемые (по градиенту решения) в аппроксимации сингулярно возмущенных уравнений конвекции-диффузии // Ж. Вычислительные технологии. – 2001. – Т. 6, N 1, С. 72-87
- [74] *Шшишкин Г.И.* Аппроксимация сингулярно возмущенных уравнений реакции-диффузии на адаптивных сетках // Математическое моделирование. – 2001. – Т. 13, N 3, С. 103-118 и 1999. – Т. 11, N 12, С. 87-104.

Федеральное государственное бюджетное образовательное  
учреждение высшего образования  
"Поволжский государственный университет  
телекоммуникаций и информатики"  
443010, г. Самара, ул. Льва Толстого, 23

---

Подписано в печать 05.06.2019 г. Формат 60x84/16  
Бумага офсетная №1. Гарнитура Таймс.  
Заказ №1012326. Печать оперативная. Усл. печ. л. 14,649. Тираж 100 экз.

---

Отпечатано в издательстве учебной и научной литературы  
Поволжского государственного университета  
телекоммуникаций и информатики  
443090, г. Самара, Московское шоссе, 77, т. (846) 228-00-44